



EACC 2030 - Proyecto GLORIA-ARAGÓN

(Estudio de los efectos del cambio climático sobre la flora de la alta montaña en Aragón)

«Mantenimiento de las zonas piloto y de la red de termómetros. Año 2024»



José Luis Benito Alonso

Doctor en Biología

Jolube Consultoría Ambiental

Jaca, noviembre de 2024



EACC 2030

Estrategia Aragonesa
de Cambio Climático

HORIZONTE 2030



EACC 2030 – Proyecto GLORIA-ARAGÓN (Estudio de los efectos del cambio climático sobre la flora de la alta montaña en Aragón)

«Mantenimiento de las zonas piloto y de la red de termómetros. Año 2024»

Unidad administrativa que lo propone:

SERVICIO DE CAMBIO CLIMÁTICO Y EDUCACIÓN AMBIENTAL

Dirección General de Calidad Ambiental

Departamento de Medio Ambiente y Turismo

Gobierno de Aragón

Realiza: José Luis Benito Alonso (Jolube Consultoría Ambiental)



EACC 2030
Estrategia Aragonesa
de Cambio Climático
HORIZONTE 2030



Fotos de portada. Arriba panorámica de la cima Vértice de Anayet (ES-CPY-ANA) y el pico Anayet desde los ibones de Anayet. Abajo izquierda, descarga en Punta Acuta (ES-CPY-ACU). Abajo derecha, cima del Moncayo (ES-MON-MON) vista desde la cima de Peña Negrilla (ES-MON-NEG).

Contenido

| | |
|---|----|
| 1. Resumen..... | 5 |
| 2. Objeto de la propuesta | 5 |
| 3. Antecedentes | 5 |
| 3.1.El proyecto GLORIA..... | 6 |
| 3.2.Implicación de la C.A. de Aragón en el proyecto GLORIA | 8 |
| 3.3.Justificación de los trabajos | 9 |
| 3.4.Perspectivas a largo plazo | 10 |
| 4. Metodología..... | 10 |
| 5. Trabajos de mantenimiento de la red GLORIA-ARAGÓN..... | 11 |
| 5.1.Logística, material y métodos | 11 |
| 5.2.Equipo de trabajo..... | 12 |
| 6. Mantenimiento de la zona piloto ES-CPY (Ordesa, Pirineo calizo) | 13 |
| 6.1.Punta Acuta (ACU), 2242 m, (ecoton subalpino-alpino)..... | 14 |
| 6.2.Punta Custodia o Arrablo (CUS), 2519 m (Piso alpino inferior) | 16 |
| 6.3.Punta Tobacor (TOB), 2779 m (Piso alpino superior) | 19 |
| 6.4.Punta de las Olas (OLA), 3022 m (Piso subnival)..... | 19 |
| 7. Mantenimiento de la zona piloto ES-SPY (Pirineo silíceo) | 20 |
| 7.1.Pico de las Tres Güegas (GUE), 2302 m (ecoton piso subalpino-alpino) | 20 |
| 7.2.Vértice de Anayet (ANA), 2555 m (piso alpino inferior) | 21 |
| 7.3.Pico Bacías (BAC), 2758 m (piso alpino superior) | 23 |
| 7.4.Robiñera-Morrón de Sobresplucas (ROB), 2827 m (ecoton piso alpino superior-subnival) | |
| | 23 |
| 8. Mantenimiento de la zona piloto ES-MON (Sistema Ibérico, Moncayo) | 25 |
| 8.1.Desarrollo de los trabajos, resultados preliminares e incidencias reseñables | 25 |
| 8.2.Peña Negrilla (NEG), 2116 m..... | 26 |
| 8.3.Peña Lobera (LOB), 2226 m..... | 27 |
| 8.4.Morca (MOR) (Alto del Corralejo o del Collado de las Piedras), 2274 m..... | 27 |
| 8.5.Moncayo o Pico de San Miguel (MON), 2314 m | 30 |
| 9. Resultados preliminares sobre la temperatura del suelo y el periodo vegetativo y de la red GLORIA-Aragón | 34 |
| 9.1.La T y el PV en la zona piloto ES-CPY (Pirineo calizo)..... | 34 |
| 9.1.1. Evolución de la temperatura del suelo | 34 |
| 9.1.2. Evolución del periodo vegetativo..... | 40 |
| 9.2.La T y el PV en la zona piloto ES-SPY (Pirineo silíceo) | 47 |

| | | |
|--------|--|-----|
| 9.2.1. | Evolución de la temperatura del suelo | 47 |
| 9.2.2. | Evolución del periodo vegetativo..... | 57 |
| 9.3. | La T y el PV en la zona piloto ES-MON (Sistema Ibérico - Moncayo)..... | 65 |
| 9.3.1. | Evolución de la temperatura del suelo | 65 |
| 9.3.2. | Evolución del periodo vegetativo..... | 76 |
| 10. | Especies de plantas localizadas en las cimas GLORIA-Aragón | 84 |
| 10.1. | Tabla de taxones inventariados en la zona piloto ES-CPY (Ordesa)..... | 84 |
| 10.2. | Tabla de taxones inventariados en la zona piloto ES-SPY (Pirineo silíceo) | 87 |
| 10.3. | Tabla de taxones inventariados en la zona piloto ES-MON (Moncayo)..... | 90 |
| 11. | Proyección de GLORIA..... | 92 |
| 11.1. | Presencia pública..... | 92 |
| 11.2. | Las bases de datos de GLORIA en GrassPlot | 92 |
| 11.3. | Proyecto SoilTemp | 93 |
| 11.4. | Proyecto ReSurveyEurope..... | 93 |
| 11.5. | Nuevas zonas piloto pirenaicas | 94 |
| 11.6. | Otras repercusiones internacionales | 94 |
| 12. | Posibles consecuencias del calentamiento global sobre la flora de alta montaña..... | 95 |
| 12.1. | El ascenso altitudinal de las especies de flora | 95 |
| 12.2. | La actividad biológica del suelo en las cimas GLORIA ES-CPY (Ordesa) | 96 |
| 12.3. | La importancia del pastoreo..... | 99 |
| 12.4. | Microtopografía y microclimas en alta montaña | 99 |
| 12.5. | El cierre de las masas boscosas..... | 100 |
| 12.6. | Temperatura mínima y duración del período vegetativo en el límite superior de los pastizales en las altas montañas europeas..... | 101 |
| 13. | Últimas publicaciones relacionadas con el proyecto GLORIA..... | 102 |
| 14. | Bibliografía | 103 |

1. Resumen

El objetivo del proyecto de investigación *GLORIA* (*Global Observation Research Initiative in Alpine Environments* o Iniciativa para la investigación y el seguimiento global de los ambientes alpinos), es el estudio comparativo de los impactos del cambio climático en la flora vascular de la alta montaña. Para ello, se ha establecido una red de seguimiento a largo plazo, en cimas de más de 100 cordilleras de los cinco continentes. Consiste en una serie de parcelas permanentes para el muestreo de la flora, que al repetirse cada siete años nos permite hacer comparaciones y ver la evolución de la vegetación de la alta montaña. Además, incluye una red de termómetros automáticos (cuatro en cada cima) que monitorizan la temperatura del suelo, lo que nos permite saber la evolución del periodo apto para el desarrollo de las plantas, es decir, el periodo vegetativo.

Al analizar los datos de temperatura que hemos ido obteniendo todos estos años, a pesar de las variaciones interanuales vemos cómo hay una tendencia a un aumento de las temperaturas medias que se traduce en un aumento del periodo vegetativo.

En un análisis de sólo siete años que hicimos con los datos conjuntos de las cimas europeas del proyecto GLORIA (2001-2008), ya constatamos este calentamiento que ahora se ve confirmado. En aquel estudio se ponía de manifiesto que ello estaba provocando la colonización de especies de las zonas más bajas, que paulatinamente van llegando a las cimas. En las montañas del norte de Europa está provocando un enriquecimiento de la flora alpina. Sin embargo, a medida que descendemos a latitudes más bajas, como en los Pirineos o más significativamente en las montañas mediterráneas, el aumento de temperatura comporta un aumento de la evapotranspiración, por lo que algunas de las especies de la alta montaña mediterránea se están empezando a hacer más raras y pueden llegar a desaparecer, siendo sustituidas por especies de ambientes actuales más cálidos.

2. Objeto de la propuesta

El objetivo de esta propuesta es descargar los datos y comprobar el correcto funcionamiento de los termómetros automáticos dispuestos en las cimas 12 de las tres ZP del Proyecto Gloria en Aragón, Ordesa-Pirineo Calizo (ES-CPY), Valle de Tena-Pirineo Silíceo (ES-SPY) y el Moncayo (ES-MON), cuatro en cada una de ellas, 48 en total, lo que incluye sustituir alguno si hiciera falta, así como recolocar las estacas que se hayan perdido y repintar las marcas borradas o deterioradas.

3. Antecedentes

El incremento de temperatura atmosférica debido a causas antrópicas, sus adversas consecuencias en los procesos ecológicos y las negativas afecciones sobre nuestro modo de vida, dan lugar a la Convención Marco de Naciones Unidas de Lucha Contra el Cambio Climático, y en su desarrollo, al Protocolo de Kioto de 1997, orientado básicamente a la reducción y control de las emisiones de los llamados gases de efecto invernadero (GEI).

El Gobierno de España ha puesto en marcha, entre otras iniciativas, la Estrategia Española de Lucha contra el Cambio Climático y de Energía Limpia (EECCEL) aprobada el 11 noviembre de 2007 y el Plan Nacional de Adaptación al Cambio Climático. La puesta en marcha de ambos planes implica una participación activa de las Comunidades Autónomas (CC. AA.), tanto en su elaboración como en su desarrollo, con el fin de conseguir un cambio hacia el uso eficiente de la energía por parte de toda la sociedad.

En este contexto, la Comunidad Autónoma de Aragón puso en marcha la Estrategia Aragonesa de Cambio Climático y Energías Limpias (EACCEL), ahora actualizada con la Estrategia Aragonesa de Cambio Climático Horizonte 2030 (EACC 2030). En este sentido, una de las

herramientas básicas para alcanzar el objetivo de referencia para la reducción de GEI en la comunidad autónoma de Aragón, establecidos por la EACCEL, estaba la de “Fomentar la investigación, el desarrollo y la innovación” en los sectores que contempla la actuación entre los que se encuentran los recursos naturales y biodiversidad. Entre las líneas de actuación de adaptación a escala autonómica contempladas por la antigua EACCEL estaba la número “4.3.3.1.4. Creación de una red de seguimiento ecológico de los efectos del cambio climático sobre los ecosistemas terrestres y acuáticos en Aragón, tomando como referencia los hábitats y taxones a priori más sensibles y especialmente los integrados en espacios protegidos y de la Red Natura 2000”.

Es en dicho marco en que se encuadra el proyecto GLORIA, que en la actualidad ya viene recogido en la EACC 2030 como uno de los *planeamientos estratégicos de Aragón frente al cambio climático para 2030*. Dicha Estrategia es la referencia en Aragón en cuanto a objetivos y líneas de acción que, de modo coordinado con la estrategia española, contribuya desde esta comunidad autónoma a cumplir con los compromisos establecidos en la planificación nacional e internacional. Al mismo tiempo y con la misma importancia, la EACC 2030 debe ser la base para la elaboración de los planes de acción que las entidades aragonesas pongan en práctica.

3.1. El proyecto GLORIA

En este sentido, el proyecto de investigación *GLORIA (Global Observation Research Initiative in Alpine Environments)* o Iniciativa para la investigación y el seguimiento global de los ambientes alpinos), tiene por objeto establecer una red para la observación a largo plazo y el estudio comparativo de los impactos del cambio climático en la biodiversidad de la alta montaña (Grabherr & al., 2000; Pauli & al., 2004, 2015), especialmente la flora vascular, iniciada en las montañas de Europa en 2001 (Figura 1), más tarde extendida a las principales cordilleras de los cinco continentes (Figura 2). El proyecto está coordinado a nivel mundial por la universidad de Viena (Austria) y la Academia de Ciencias de Austria,

El objetivo final del proyecto *GLORIA* consiste en vislumbrar los riesgos de pérdidas de biodiversidad, así como la vulnerabilidad de los ecosistemas de la alta montaña ante la presión del cambio climático. A este fin, las observaciones sobre las especies vegetales llevadas a cabo *in situ* son cruciales, ya que las comunidades vegetales no responderán al calentamiento climático como conjunto, sino que cada especie componente dará su propia respuesta. Lo que para una especie es demasiado cálido, para otra puede ser apropiado o allí donde una especie responde con una migración, otra puede ver muy restringidas las posibilidades de desplazarse hacia nuevos hábitats. Así pues, la migración de las especies provocada por el calentamiento del clima conduciría a nuevas combinaciones, tanto en el lugar estudiado como en nuevos parajes.

En consecuencia, los objetivos básicos del *Estudio de las cimas* en el ámbito de *GLORIA* son los siguientes:

- (a)** Suministrar datos estándar cuantitativos sobre las diferencias altitudinales en la riqueza de especies, composición específica, cobertura de la vegetación, temperatura del suelo y período de innivación en las cordilleras de todo el mundo.
- (b)** Calibrar los riesgos potenciales de pérdidas de biodiversidad por causa del cambio climático mediante la comparación de los patrones actuales de distribución de las especies y sus comunidades con los factores ambientales, todo ello a lo largo de gradientes verticales y horizontales (biogeográficos).
- (c)** Aportar información básica para el seguimiento y observación a largo plazo de especies y vegetación con el fin de detectar los cambios inducidos por el clima en la cobertura de la

vegetación y en su composición específica, así como en la migración de las especies, a intervalos de 7 años.

(d) Cuantificar los cambios temporales de biodiversidad y vegetación de modo que los datos obtenidos nos permitan simular situaciones ante los diversos riesgos de pérdida de biodiversidad e inestabilidad de los ecosistemas.



Figura 1. Mapa de Europa donde se localizan las 18 zonas piloto GLORIA originales (2001-)

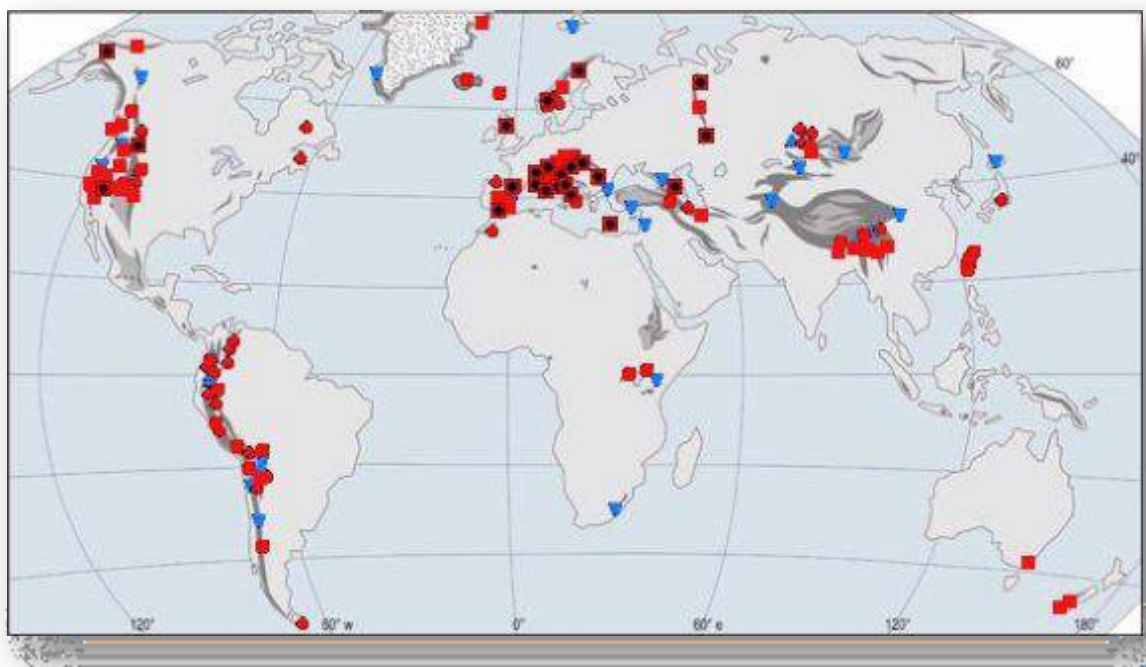


Figura 2. Mapa mundial donde están representadas las 138 zonas piloto de muestreo de flora alpina con metodología GLORIA (2022)

3.2. Implicación de la C.A. de Aragón en el proyecto GLORIA

Aragón participa en este proyecto desde 2001, primero a través del Instituto Pirenaico de Ecología-CSIC de Jaca (Huesca), con el establecimiento de una zona piloto de referencia en el Pirineo central calizo (ES-CPY), concretamente en el Parque Nacional de Ordesa y Monte Perdido (PNOMP), habiéndose realizado hasta el momento cuatro campañas de estudio, en 2001 y 2008 (Villar & Benito, 2003 a, b), 2015 y 2022.



Figura 2. Ubicación en Aragón de las zonas piloto del proyecto GLORIA-ARAGÓN.

El Gobierno de Aragón se suma a esta iniciativa desde sus inicios, primero dando apoyo logístico a través del personal del Parque Nacional de Ordesa y Monte Perdido (PNOMP), y más tarde en el año 2008, ayudando con la repetición de los muestreos realizados en la zona piloto ES-CPY del PNOMP, también con apoyo logístico y de personal del propio parque nacional y de

la empresa pública SODEMASA, así como una pequeña ayuda económica aportada por dicha empresa pública del Gobierno de Aragón¹.

Por otra parte, en 2009 el Gobierno de Aragón encarga un informe² sobre la información disponible de elementos de la biodiversidad aragonesa más vulnerables ante los efectos del cambio climático. En dicho trabajo, entre los indicadores seleccionados para el seguimiento de los efectos del CC sobre la flora se propone la ampliación en Aragón de la red GLORIA. A partir de entonces, el proyecto GLORIA ha sido incluido en la Estrategia Aragonesa de Cambio Climático y Energías Limpias (EACCEL), ahora actualizada con la Estrategia Aragonesa de Cambio Climático Horizonte 2030 (EACC 2030), dentro del Observatorio del Cambio Climático en Aragón.

Siguiendo dicha recomendación, en 2010 las Direcciones Generales de Calidad Ambiental y de Conservación del Medio Natural, del entonces Departamento de Medio Ambiente del Gobierno de Aragón, encargan un informe para localizar posibles nuevas zonas piloto GLORIA en Aragón³, y completar así la red en la comunidad autónoma. En dicho informe se propone ampliar la red GLORIA-ARAGÓN al Pirineo silíceo y al Sistema Ibérico. De esta forma, en 2011 Gobierno de Aragón cofinancia, con fondos FEDER de la UE, el establecimiento de una zona piloto en el Pirineo silíceo, concretamente en los valles de Tena y Bielsa (bajo el acrónimo ES-SPY), mientras que en 2012 encarga el establecimiento de otra zona piloto en la alta montaña mediterránea, en concreto en el Sistema Ibérico-Moncayo (ES-MON). Desde entonces el Gobierno de Aragón, a través del Servicio de Cambio Climático y Educación Ambiental, apoya económicamente el mantenimiento, así como la repetición de los muestreos de cada zona que se realiza a intervalos de siete años.

Con estas ampliaciones, la C.A. de Aragón se pone a la cabeza de estos estudios a nivel español y europeo, ya que ninguna otra región alberga tres zonas piloto GLORIA.

3.3. Justificación de los trabajos

Hasta la puesta en marcha del proyecto GLORIA, sólo se tenían datos de estudios locales que evidenciaban muestras de efectos del calentamiento global sobre la vegetación, pero no había una red coherente y global que permitiera ver los efectos del cambio climático sobre estos ecosistemas desde una perspectiva mundial.

En estos momentos GLORIA lleva ya en marcha diecinueve años en las 18 zonas piloto (ZP) de Europa en las que se inició el estudio (incluye el Parque Nacional de Ordesa y Monte Perdido) en 2001. Es sin duda la serie de datos sobre flora y temperatura del suelo, en alta montaña, más larga que existe, de forma simultánea y coordinada en Europa. Además, se han ido agregando muchas más montañas (como en nuestro caso las del Pirineo silíceo, serie de 9 años, y el Moncayo, con una serie de 8 años), de forma que ahora ya hay zonas piloto GLORIA en todos los

¹ Benito Alonso, J.L. (2008). *Informe de actividad del Proyecto GLORIA - 2008 en el Parque Nacional de Ordesa y Monte Perdido*. 47 pp. Informe inédito para la Unidad de Investigación del PNOMP. Sociedad de Desarrollo Medioambiental de Aragón, S.L.U. – Gobierno de Aragón.

² *Revisión, análisis y propuesta de trabajo sobre la información disponible de elementos de la biodiversidad aragonesa más vulnerables ante los efectos del cambio climático*. Diciembre de 2009. Consultores en Biología de la Conservación, S.L. para la Dirección General de Calidad Ambiental y Cambio Climático del Gobierno de Aragón.

³ Benito Alonso, J.L. (2010). *Puesta en marcha de nuevas zonas piloto para el estudio de los efectos del cambio climático sobre la flora de la alta montaña en Aragón, con metodología GLORIA, año 2010 (GLORIA-ARAGÓN, 2010)*. 30 pp. Informe inédito para las Direcciones Generales de Desarrollo Sostenible y Biodiversidad, y Calidad Ambiental y Cambio Climático del Gobierno de Aragón.

grandes macizos montañosos del mundo, hasta completar 130. Se trata sin duda se la mayor red global de estudio de un ecosistema.

En las 18 zonas piloto iniciales se repitió el muestreo en 2008 y en verano de 2015. Realizamos la segunda repetición, gracias a la financiación del Gobierno de Aragón y de fondos FEDER de la Unión Europea. En 2018 realizamos la repetición del muestreo de la ZP Pirineo Silíceo (ES-SPY) y en 2019 repetimos el muestreo en el Moncayo (ES-MON).

Gracias a la repetición cada 7 años de estos nuestros podremos ver los cambios producidos en la flora alpina, además de tener una serie continua de datos de temperatura del suelo en alta montaña.

Mientras tanto, es preciso realizar el mantenimiento de las ZP. Se trata de ir todos los años a cada cima para comprobar el correcto funcionamiento de los termómetros automáticos, descargar sus datos, cambiar baterías, así como recolocar las estacas que se hayan perdido y repintar las marcas borradas o deterioradas. Si algún termómetro fallara habría que reponerlo lo antes posible.

3.4. Perspectivas a largo plazo

Las próximas fechas de repetición previstas para los muestreos completos de flora son las siguientes:

- **ES-SPY Pirineo Silíceo: verano de 2025.**
- ES-MON Moncayo: verano de 2026.
- ES-SPY Ordesa-Pirineo calizo: verano de 2029.

4. Metodología

La metodología usada para los trabajos objeto de esta propuesta es la especificada por el *Manual para el trabajo de campo del Proyecto GLORIA*⁴ en su versión 5^a, de 2015, accesible en sus versiones española, inglesa, china y rusa en la web del proyecto, www.gloria.ac.at.

En nuestro caso, el equipo de coordinación de GLORIA en Austria, revisó, actualizó y publicó en marzo de 2015, en inglés, la versión 5^a del Manual de campo, y nos encargó su traducción al español a José Luis Benito y a Luis Villar. De esta manera desde 2015 trabajamos con la versión más actualizada del manual de campo y además en nuestro idioma.

Las modificaciones realizadas en el *Manual* han sido mejoras que han afectado tanto a la forma de hacer los recuentos de flora que se realizan en cada uno de los cuadrados de 1×1 m, como a los muestreos secundarios en las secciones de área cimera, haciéndolos más ágiles y rápidos, así como a la inclusión de actividades y muestreos complementarios que antes no estaban recogidos en la documentación del proyecto. Una parte de estas modificaciones ya las pusimos en práctica en los años 2011 y 2012 al establecer las zonas piloto ES-SPY y ES-MON por en cargo del

⁴ Pauli, H.; Gottfried, M.; Lamprecht, A.; Niessner, S.; Rumpf, S.; Winkler, M.; Steinbauer, K. & Grabherr, G., coordinadores y editores (2015). *Manual para el trabajo de campo del proyecto GLORIA. Aproximación al estudio de las cimas. Métodos básicos, complementarios y adicionales. 5^a edición*. GLORIA-Coordinación, Academia Austriaca de Ciencias y Universidad de Recursos Naturales y Ciencias de la Vida, Viena, Austria. 150 pp. Edición en español a cargo de Benito, J.L. & Villar, L., Jaca, España.

Gobierno de Aragón, con resultados satisfactorios⁵. En nuestro caso también hemos llevado a cabo una actividad complementaria como es la toma de muestras de suelo alpino gracias a la participación del Dr. Juan José Fernández, investigador del IPE-CSIC de Jaca.

5. Trabajos de mantenimiento de la red GLORIA-ARAGÓN

Como ya hemos comentado, este estudio tiene una proyección a largo plazo y los muestreos de flora se repiten cada 7 años. Para que ello hay que hacer un mantenimiento anual de las zonas piloto para comprobar que todos los termómetros funcionen correctamente, descargar sus datos, relocalizar y en su caso reponer las estacas y marcas de las parcelas y observar cualquier otra eventualidad que surja y que pueda alterar el estudio.



5.1. Logística, material y métodos

La descarga de los termómetros de campo la hacemos con un ordenador portátil dotado de una antena de 433 MHz que permite la recogida inalámbrica de datos. El programa nos permite saber el estado en el que se encuentra la batería de los termómetros, así como hacer los ajustes que fueran precisos, como la sincronización de su reloj interno.



Estos termómetros automáticos tienen comunicación inalámbrica. Los datos se recogerán en el campo mediante un miniordenador provisto de una antena y un programa de descarga.

Las visitas a las 12 cimas de las tres zonas piloto de GLORIA-ARAGÓN (ES-CPY, ES-SPY y ES-MON) se realizaron desplazándonos en vehículo todoterreno hasta la base de las montañas y después continuamos a pie.

Como material de trabajo hemos usado cartografía básica, fotos en papel de las parcelas, formularios de localización, GPS, altímetro, termómetros de repuesto (modelo *Geo-Precision MLog5W Data logger*), cintas métricas, cámara de fotos digital, ordenador portátil, antena para comunicación con los termómetros, estacas metálicas y pintura en aerosol.

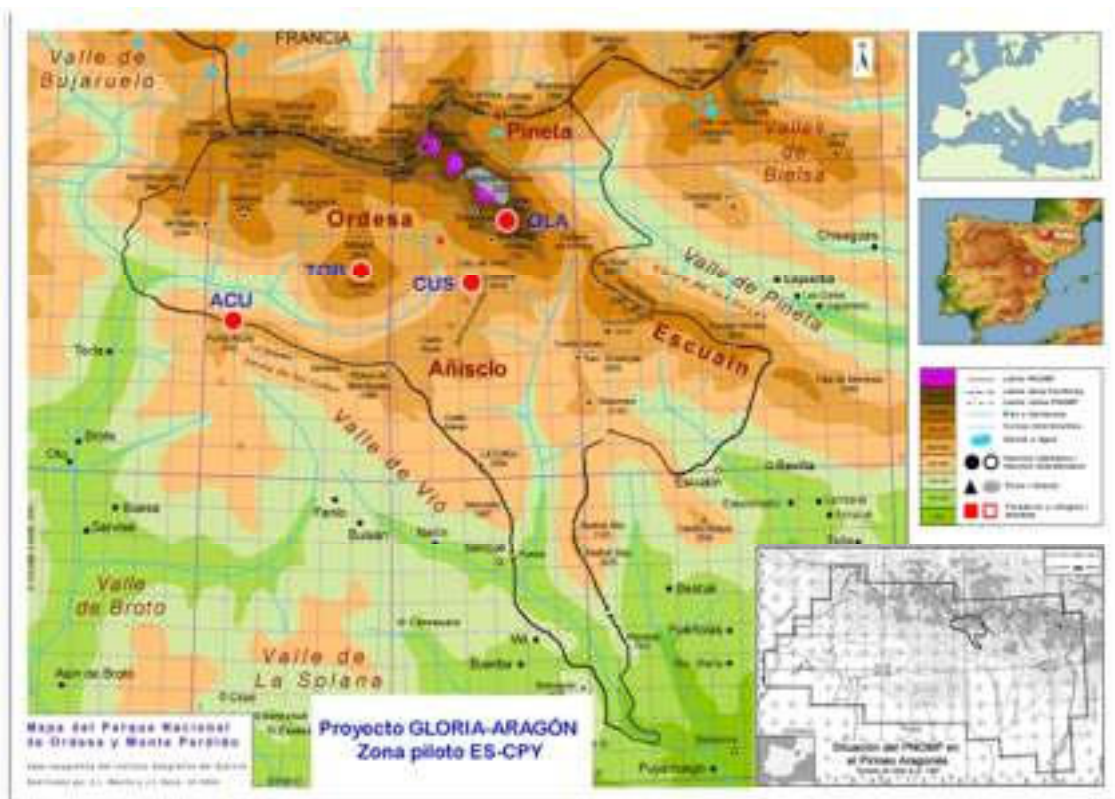
⁵ Benito Alonso, J.L. (2011). *Puesta en marcha de la zona piloto ES-SPY (Pirineo silíceo) con metodología GLORIA, para el estudio de los efectos del cambio climático sobre la flora de la alta montaña en Aragón, año 2011 (GLORIA-ARAGÓN, 2011)*. 24 pp. + 3 anexos. Informe inédito para las Direcciones Generales de Desarrollo Sostenible y Biodiversidad, y Calidad Ambiental y Cambio Climático del Gobierno de Aragón.

5.2. Equipo de trabajo

El trabajo de campo para descargar los termómetros de las ZP lo ha realizado el autor de este informe y contratista, José Luis Benito Alonso, con apoyo puntual de Luis Villar, Investigador Científico jubilado del Instituto Pirenaico de Ecología-CSIC (IPE-CSIC) y del biólogo Víctor Ezquerro. En las cimas del Moncayo contamos con la ayuda de Ana Puyuelo, técnico del Servicio de Medio Ambiente de Soria de la Junta de Castilla y León e Ivana Lasheras, Agente Medioambiental de la misma institución.

6. Mantenimiento de la zona piloto ES-CPY (Ordesa, Pirineo calizo)

En esta temporada de descarga de termómetros de 2024 ha sido particularmente difícil el acceso a las cimas. A pesar de contar con los permisos correspondientes del Gobierno de Aragón y del Parque Nacional de Ordesa y Monte Perdido, el ayuntamiento de Fanlo nos ha puesto las continuas trabas, negativas y dilaciones en la concesión de los permisos para circular por la pista de las Cutas que transita por su término municipal. Los muestreos los dejamos para septiembre-octubre, por cuestiones logísticas propias y también para evitar que el mayor número de investigadores y de turistas circulando por la pista sirviera de excusa para negarnos los permisos. No ha servido de nada. Además, este final de verano y comienzo de otoño ha sido particularmente lluvioso-tormentoso, motivo por el cual las ventanas de buen tiempo eran cortas y a veces inciertas. Todo ello unido a las trabas que nos ha puesto el ayuntamiento, denegando permisos y a veces enviando la autorización a media noche del día que tenía previsto ir, de facto nos ha impedido ir a las dos cimas más lejanas y que más planificación y logística necesitan Tobacor y Punta de las Olas, ya que requieren hacer noche en el refugio de Góriz. Además, para evitar problemas y minimizar los riesgos intentamos siempre ir con compañía, personas que muchas veces se desplazan de propio desde zonas alejadas a las que no se les puede decir a las doce de la noche cuando nos llega el permiso que al día siguiente tienen que madrugar para acompañarnos al monte.



Recordemos que el último muestreo completo de flora de esta zona piloto se realizó el año 2002, y que el resultado es de 1778 especies, que incluye la lista de 2001.



Panorámica del valle de Ordesa desde sierra Custodia desde donde se ven las 4 cimas GLORIA ES-CPY.

6.1. Punta Acuta (ACU), 2242 m, (ecotono subalpino-alpino)

Es la cima más baja a la que se accede en todoterreno por la pista que parte desde Torla y sube por Diazas en aproximadamente 45 minutos, la llamada pista de las Cutas. Se deja el vehículo al pie y en menos media hora se llega a la cima.

En esta ocasión no ha habido que reseñar ningún daño por hozada de jabalí, al contrario que en el año 2018 en la que estos animales nos destrozaron una parcela y desapareció un termómetro. No obstante, desde 2022 apreciamos una mayor frecuentación turística de la cima desde que se abriera el acceso desde Buesa y desde que diversas compañías de guías que no tiene permiso para acceder por la pista de Diazas usan la pista de Buesa para traer a sus clientes hasta Punta Acuta. Es tal la afluencia que se ha hecho un camino en la hierba que se aprecia a simple vista que va de la cara oeste a la este. La frecuentación continúa y se nota con la formación del citado camino y la aparición de alguna especie nitrófila en la cima.

En la visita de este año nos hemos encontrado desenterrado y en la superficie el termómetro de la cara Sur B50376, que colocamos el 11 de septiembre de 2023. Los datos se desvían a partir del día 19 de septiembre, con fuertes altibajos, lo que nos indica que ya en ese momento el termómetro ya estaría desenterrado, probablemente por algún animal. Hemos sustituido dicho termómetro por el A5033C.

Sustitución del termómetro de la cara Sur de Acuta.





También hemos sustituido el DL Acuta Oeste A50367 por A522D4 debido a que hemos detectado una bajada de voltaje sostenida en la batería.

Sustitución del termómetro de la cara Oeste de Punta Acuta.







El día en Punta Acuta estuvo todo el día con niebla y baja visibilidad.

6.2. Punta Custodia o Arrablo (CUS), 2519 m (Piso alpino inferior)

Accedimos con vehículo todoterreno por la pista de tierra que parte desde Torla hasta el paraje denominado Siarracils, en la sierra de las Cutas. Desde allí a pie, llegamos en dos horas al pico. Este año tampoco hemos podido acceder hasta Cuello Gordo como hacíamos otros años pues el ayuntamiento de Fanlo ha prohibido el acceso, lo que nos ha supuesto dos horas extra de caminata.

No hemos podido detectar ni localizar el termómetro de la cara Sur. Hemos instalado un nuevo DL modelo Log5W-FG2, número de serie A54D40.

Seguimos observando signos de pisoteo y sesteo, con abundantes excrementos, no sólo de ovejas que vienen desde Capradiza, como otros años, sino que también suben también vacas.

Para esta cima se hemos contado con la ayuda de Víctor Ezquerra.



Sustitución del termómetro de la cara Sur de Custodia.

6.3. Punta Tobacor (TOB), 2779 m (Piso alpino superior)

No hemos podido descargar los termómetros debido a que no hemos obtenido el permiso del ayuntamiento de Fanlo para circular por la pista de Diazas.

6.4. Punta de las Olas (OLA), 3022 m (Piso subnival)

No hemos podido descargar los termómetros debido a que no hemos obtenido el permiso del ayuntamiento de Fanlo para circular por la pista de Diazas.

7. Mantenimiento de la zona piloto ES-SPY (Pirineo silíceo)



Mapa de situación de la ZP ES-SPY (Pirineo silíceo)

7.1. Pico de las Tres Güegas (GUE), 2302 m (ecotono piso subalpino-alpino)

Este pico está situado junto al collado de Izas en Formigal (Sallent de Gállego), que separa del valle del Aragón del Gállego. Se accede con vehículo todoterreno por la pista asfaltada de Formigal que lleva a la zona de Sarrios. Desde allí tomamos la pista de tierra que sube a la zona de Izas donde cogemos la pista paralela al telesquí Escarra hasta donde éste acaba.

Este verano de 2024 hemos podido descargar los cuatro termómetros sin novedad.

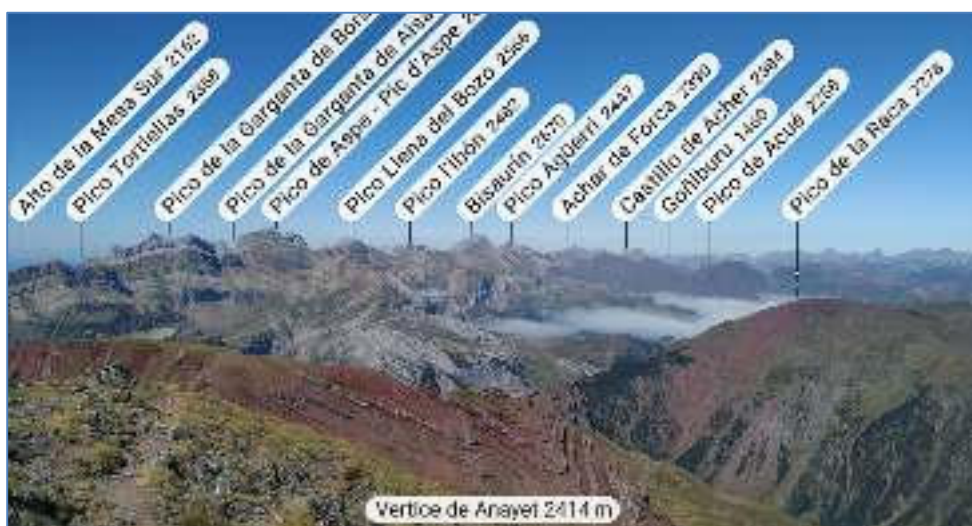


Tres Güegas-HSP. Cerca de la cima han instalado la infraestructura de los cañones antialudes que se accionan mediante explosiones de gas.

Recordemos que en la visita del verano de 2019 nos llevamos la desagradable sorpresa de que la estación de Formigal había instalado en la cresta un cañón de gas para provocar avalanchas controladas, uno de cuyos tubos pasa a menos de medio metro de la parcela de muestreo del Este, aunque afortunadamente no la atraviesa. Cerca de la cima han instalado un casetón para la maquinaria, como se puede apreciar en la foto. Por la parcela W hay una tubería enterrada que alimenta a un cañón de gas, que han sido instalada levantando el césped y volviéndolo a colocar en su sitio. Habrá que tener en cuenta esta circunstancia de cara a los análisis y muestreos posteriores.

7.2. Vértice de Anayet (ANA), 2555 m (piso alpino inferior)

Se accede por la estación de Formigal desde la zona de Portalet, por una pista, asfaltada primero y de tierra después, que nos conduce hasta lo alto del telesilla de Batallero. Después se llega andando a la cima tras dos horas y media de caminata por la senda que pasa al sur de los ibones de Anayet.



Los termómetros se han podido descargar sin incidencias. No obstante, hemos sustituido el DL del Norte A5033B por el FG2-A54DED al advertir una bajada de voltaje que podría provocar un fallo futuro.

Como ya venimos comentando en anteriores informes, desde hace unos años venimos advirtiendo que se acrecienta la presencia de montañeros en esta cima, lo que provoca el aumento de la erosión que afecta a alguna de nuestras parcelas. Además, también pasa por aquí una prueba deportiva, la carrera de montaña Canfranc-Canfranc.







7.3. Pico Bacías (BAC), 2758 m (piso alpino superior)

Subimos a este pico a pie desde el Balneario de Panticosa (1640 m), tomando la senda que sube hacia los ibones de Brazato y el collado de Batanes, con un desnivel superior a los 1100 m y unas 5 horas de caminata. Contamos con la inestimable ayuda de Víctor Ezquerra.

Hemos sustituido el termómetro del Sur A50379 por el DL A50384 al advertir que estaba disminuyendo la capacidad de la batería.

7.4. Robiñera-Morrón de Sobresplucas (ROB), 2827 m (ecotono piso alpino superior-subnival)

Se accede por pista de tierra desde la localidad de Chisagüés, hasta un pequeño aparcamiento situado a 1900 m de altitud, en el paraje denominado fuente de Pietramula (1920 m). Desde allí se llega andando unas 4 horas con unos 1100 m de desnivel, por el camino que sube en dirección hacia el collado Las Puertas-La Munia. Nos desviamos del camino antes de llegar al collado, tomando la senda que va hacia el este en dirección a Robiñera. A unos 2700 m de altitud dejamos el camino y vamos a media ladera hacia el sureste en busca de esta cima secundaria de Robiñera. Contamos con la ayuda de Víctor Ezquerra.

Hemos tenido una incidencia en uno de los aparatos. El termómetro del Norte, B503396, no funcionaba por lo que lo hemos rescatado y cambiado por el modelo Log5W-FG2 A54DF5. Cuando hemos desmontado el DL B503396 hemos descubierto que la batería había derramado el líquido estropeando el termómetro sin posibilidad de reparación, por lo que hemos perdido los datos.



8. Mantenimiento de la zona piloto ES-MON (Sistema Ibérico, Moncayo)



Mapa de situación y panorámica desde Soria de la ZP ES-MON (Sistema Ibérico - Moncayo)

8.1. Desarrollo de los trabajos, resultados preliminares e incidencias reseñables

Las cuatro cimas están situadas en el Sistema Ibérico septentrional, en la Sierra del Moncayo (Zaragoza-Soria). El acceso lo realizamos desde la parte soriana de la sierra. Hay dos pistas de tierra que nos permiten llegar a las distintas cimas: una que parte desde cerca de Beratón (Soria) y que llega hasta el collado de Santa Lucía, ideal para acceder a Peña Lobera, Morca y Moncayo. La otra pista parte desde la carretera de Ágreda a la Aldehuela de Ágreda hacia el paraje denominado Canto Hincado, ascendiendo hasta los 1900 m de altitud. Desde allí

se accede andando en hora y cuarto a la cima de Peña Negrilla. Para ello nos pusimos en contacto con Ana Puyuelo Hernández, técnico del Servicio Territorial de Medio Ambiente en Soria de la Junta de Castilla y León, que nos proporcionó los permisos de acceso, así como el contacto con los Agentes Medioambientales de Ágreda-Ólvega, Chema y Alberto, que amablemente nos acompañaron y dieron apoyo logístico. Vaya desde aquí nuestro agradecimiento.

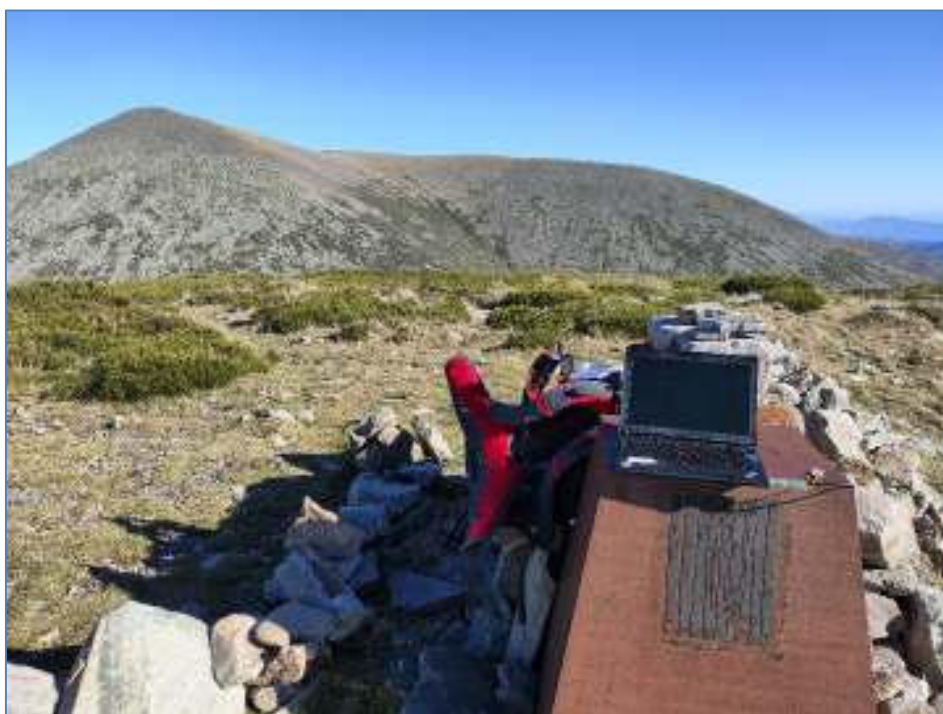
Esta vez el cierzo se apiadó de nosotros y no fue tan molesto como en otras ocasiones.



El autor, José Luis Benito, junto con los dos agentes medioambientales de la Junta de Castilla y León en Peña Lobera.

8.2. Peña Negrilla (NEG), 2116 m

Hemos podido descargar los termómetros sin ninguna novedad que reseñar. Hemos reubicado unos hitos para desviar a los montañeros del paso directo por alguna de las parcelas.



Descarga de termómetros en Peña Negrilla.

8.3. Peña Lobera (LOB), 2226 m

Hemos podido descargar todos los datos correctamente. Todas las estacas estaban presentes y sólo ha habido que repintar alguna marca. Hemos vuelto a reubicar unos hitos para desviar a los montañeros del paso directo por alguna de las parcelas.



Descarga de termómetros en Peña Lobera.

8.4. Morca (MOR) (Alto del Corralejo o del Collado de las Piedras), 2274 m

El termómetro del Este, FG2-A53D51 está estropeado. Lo sustituimos por el FG2-54DBF. No obstante, hemos podido recuperar prácticamente todos los registros.



Descarga de datos en Morca, HSP.







8.5. Moncayo o Pico de San Miguel (MON), 2314 m



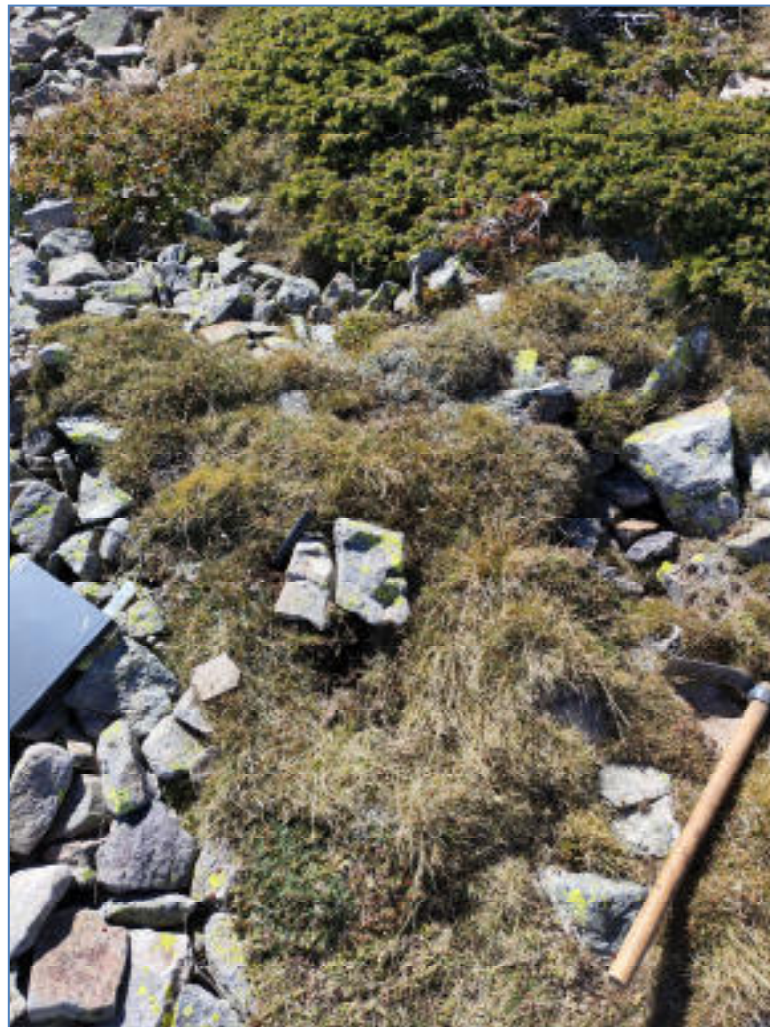
Vista del vértice geodésico de San Miguel del Moncayo. Descarga de termómetros en la cima

Los datos del termómetro de Moncayo Este (A50384), a partir del 12/03/2024, no son fiables ya que se produce un descenso considerable del voltaje de la batería. Los registros a partir de

entonces son muy inferiores a los obtenidos en las demás orientaciones de la cima por lo que entendemos que los datos son erróneos y los descartamos de los análisis. Procedemos a sustituir dicho termómetro por el A50367.







9. Resultados preliminares sobre la temperatura del suelo y el periodo vegetativo y de la red GLORIA-Aragón

Las biotas alpinas dependen mucho de la temperatura y de la innivación, entre otros factores climáticos. Los datos relacionados con su régimen son relativamente fáciles de obtener (directamente para la temperatura, indirectamente para la nieve) mediante termómetros de registro automático en miniatura (*T-loggers o data-loggers*) enterrados en el suelo, en nuestro caso, a 10 cm de profundidad. Si un punto determinado queda o no cubierto por la nieve se puede deducir por la forma que adopta la oscilación térmica diurna. En contraste con la temperatura aérea, la medida de la temperatura a 10 cm de profundidad nos permite obtener de un modo fácil e invisible un registro continuo muy importante para la vida vegetal, lo que nos permite calcular el periodo vegetativo (PV), entendido como el lapso de tiempo en el cual la temperatura media diaria es superior o igual a 4°C, y por tanto permite el desarrollo de la vida vegetal, en particular de las raíces que pueden acceder al agua para poner en marcha la maquinaria fisiológica.

Para ello, en cada una de las 12 cimas de GLORA-Aragón tenemos instalados en el suelo 4 termómetros automáticos (48 en total), uno en cada una de las cuatro orientaciones principales (N, S, E, O) de cada cima.

9.1. La T y el PV en la zona piloto ES-CPY (Pirineo calizo)

Hemos analizado los datos de los 16 termómetros automáticos que tenemos instalados desde 2001 en la ZP ES-CPY (Parque Nacional de Ordesa y Monte Perdido).

Debemos advertir de que hay algunos huecos, sobre todo en los años 2003-08, pues algunos de los termómetros fallaron. En esa época usábamos el modelo *Tid-Bit* de Hobo, que obligaba a desenterrar el termómetro para tomar los datos, lo cual era un problema, por lo que espaciamos demasiado su descarga, además de no poder cambiar la batería. A partir de 2008 cambiamos el modelo de termómetro, ahora usamos el *GeoPrecision MLog5W* que no hace falta desenterrar pues se descargan mediante una antena de radio a 433 MHz y la batería tiene una vida útil de unos 8 años. En la actualidad ya no se producen tantos fallos de registro, aunque sí que se han producido otros fallos relacionados con errores de programación o agotamiento prematuro de la batería.

Los huecos de información de ACU-S en 2017-2018 se deben a que un jabalí removió toda la parcela y el termómetro desapareció; en verano de 2018 lo repusimos. La falta de datos de TOB-S se debe a que un topo nos robó el aparato. El hueco de TOB-W se debe a un error de programación del termómetro, de forma que sólo tomó datos cada 12 horas en vez de cada hora; en verano de 2019 lo solucionamos. El resto son fallos de batería.

Tal como venimos diciendo en anteriores informes, a pesar de la variabilidad anual que registramos, se confirma la **tendencia de ascenso**, tanto en la temperatura media del suelo, y más marcadamente en la duración del periodo vegetativo (PV), tal como podemos observar en las gráficas que se pueden ver a continuación.

9.1.1. Evolución de la temperatura del suelo

Hemos hecho un análisis de la evolución de la temperatura media diaria del suelo. En esta primera tabla podemos ver un resumen anual de la media de las temperaturas de los cuatro termómetros de cada cima.

Durante el periodo 2002-23, en **Punta Acuta** (2242 m) la T media de la cima ha pasado de **5,18** en 2002 a **6,33°C**, que además ha sido el año más cálido de la serie (el promedio de los 20 años es de 5,6°C); recordemos que durante el verano de 2022 se sucedieron al menos tres episodios de olas de calor prolongadas, la primera de ellas en junio. La orientación más cálida

(media de los 20 años) es la Sur ($6,2 \pm 0,7^{\circ}\text{C}$), mientras que la más fría es la Norte ($4,8 \pm 0,6^{\circ}\text{C}$). El año más frío de la serie ha sido el 2013 ($4,52^{\circ}\text{C}$), mientras que los más cálidos han sido 2022 y 2023 ($6,33^{\circ}\text{C}$).

La T promedio de **Custodia** (2519 m) ha pasado de **3,89°C** en 2002 a **5,08°C** en 2022 (promedio de 20 años: $3,93^{\circ}\text{C}$); la orientación más cálida es la Sur ($4,5 \pm 0,5^{\circ}\text{C}$), mientras que la más fría es la Norte ($3,5 \pm 0,6^{\circ}\text{C}$). El año más frío de la serie ha sido el 2008 ($2,7^{\circ}\text{C}$), mientras que el más cálido ha sido el 2021 ($5,08^{\circ}\text{C}$).

La T promedio del **Tobacor** (2779 m) ha pasado de **1,88°C** en 2002 a **2,81°C** en 2022 (promedio de 20 años: $2,18^{\circ}\text{C}$); la orientación más cálida es la Sur, si bien tiene una gran variabilidad debido a que faltan datos de siete años ($3,3^{\circ}\text{C}$). La orientación más fría es la Norte ($1,1^{\circ}\text{C}$). El año más frío de la serie ha sido el 2013 ($1,3^{\circ}\text{C}$), mientras que el más cálido ha sido el 2011 ($3,08^{\circ}\text{C}$).

Por último, la T media de la **Punta de las Olas** (3022 m) ha pasado de **0,59°C** en 2002 a **2,14°C** en 2022 (promedio de 20 años: $1,23^{\circ}\text{C}$); la orientación más cálida es la Sur ($2,8 \pm 0,6^{\circ}\text{C}$), mientras que la más fría es la Este ($0,67 \pm 0,9^{\circ}\text{C}$). El año más frío de la serie ha sido el 2008 ($-0,03^{\circ}\text{C}$), mientras que el más cálido ha sido el 2022 ($2,81^{\circ}\text{C}$). Cabe decir que la cara oeste tiene mucho afloramiento de roca viva y muy poco suelo que no atenúa tanto las temperaturas extremas.

Hemos calculado el **gradiente térmico del suelo** en nuestra zona piloto. La T media desciende **0,56°C ($\pm 0,06$)** cada 100 metros de altitud.

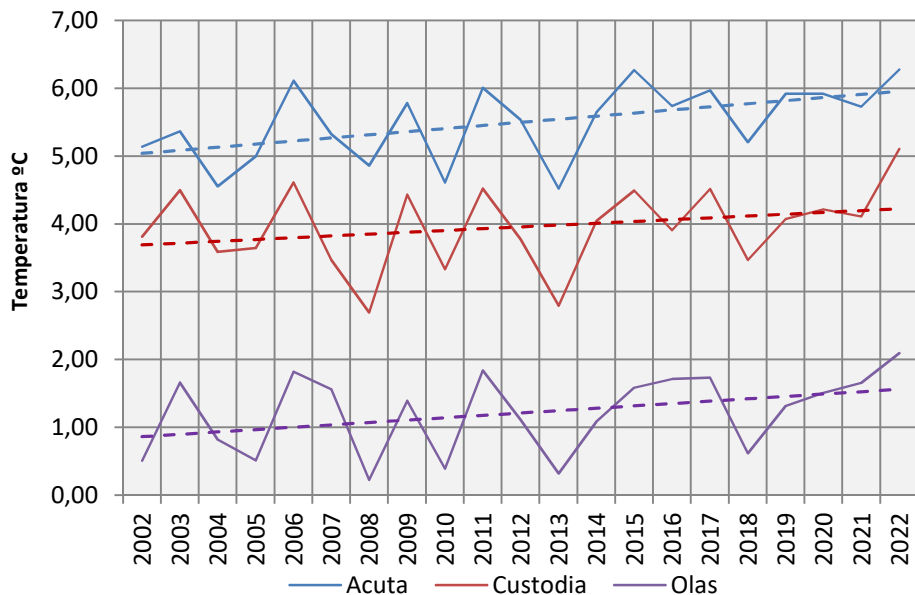
Tablas de la temperatura media anual (°C) por orientaciones y promedio, en ES-CPY, 2002-2023

| T (°C) | Punta Acuta (2242 m) | | | | Punta Custodia (2519 m) | | | | | | |
|-------------|----------------------|-------------|-------------|-------------|-------------------------|------|-------------|-------------|-------------|-------------|------|
| | AÑO | N | S | E | W | MED | N | S | E | W | MED |
| 2002 | 4,49 | 5,94 | 5,22 | 5,05 | 5,18 | 5,18 | 3,40 | 4,45 | 4,06 | 3,64 | 3,89 |
| 2003 | 4,90 | 5,70 | 5,84 | 5,22 | 5,42 | 5,42 | 4,47 | 4,85 | 4,30 | * | 4,54 |
| 2004 | 3,60 | 5,16 | 4,74 | 4,87 | 4,59 | 4,59 | 3,19 | 4,20 | 3,47 | * | 3,62 |
| 2005 | 4,76 | 5,56 | 5,20 | 5,33 | 5,21 | 5,21 | 3,08 | 4,31 | 3,69 | 2,52 | 3,40 |
| 2006 | * | * | 6,07 | 6,24 | 6,15 | 6,15 | 4,25 | 5,37 | 4,54 | 4,45 | 4,65 |
| 2007 | * | * | 5,28 | 5,45 | 5,36 | 5,36 | 3,16 | 4,42 | 3,17 | 3,27 | 3,50 |
| 2008 | 6,01 | 7,35 | 4,87 | 5,03 | 5,81 | 5,81 | 2,02 | 3,41 | 2,51 | 3,03 | 2,74 |
| 2009 | 4,97 | 6,52 | 5,90 | 5,90 | 5,82 | 5,82 | 4,05 | 5,03 | 4,60 | 4,23 | 4,48 |
| 2010 | 3,81 | 5,29 | 4,46 | 5,08 | 4,66 | 4,66 | 3,33 | 4,02 | 3,18 | 2,98 | 3,38 |
| 2011 | 4,95 | 6,69 | 6,11 | 6,44 | 6,05 | 6,05 | 4,22 | 5,04 | 4,84 | 4,15 | 4,56 |
| 2012 | 4,44 | 6,40 | 5,65 | 5,91 | 5,60 | 5,60 | 3,39 | 4,40 | 3,89 | 3,71 | 3,85 |
| 2013 | 3,53 | 5,16 | 4,60 | 4,97 | 4,57 | 4,57 | 2,27 | 3,41 | 2,95 | 2,75 | 2,85 |
| 2014 | 4,78 | 6,18 | 5,74 | 6,02 | 5,68 | 5,68 | 3,65 | 4,64 | 4,35 | 3,69 | 4,08 |
| 2015 | 5,27 | 6,78 | 6,47 | 6,78 | 6,33 | 6,33 | 3,86 | 4,99 | 4,75 | 4,58 | 4,55 |
| 2016 | 5,19 | 6,00 | 6,04 | 5,87 | 5,78 | 5,78 | 3,37 | 4,38 | 4,25 | 3,75 | 3,94 |
| 2017 | 5,24 | * | 6,24 | 6,52 | 6,00 | 6,00 | 3,79 | 5,13 | 4,59 | 4,72 | 4,56 |
| 2018 | 4,38 | * | 5,45 | 5,55 | 5,12 | 5,12 | 2,89 | 3,99 | 3,87 | 3,32 | 3,52 |
| 2019 | 4,84 | 6,83 | 6,06 | 6,13 | 5,96 | 5,96 | 3,41 | 4,72 | 4,22 | 4,10 | 4,11 |
| 2020 | 5,13 | 6,70 | 6,19 | 5,85 | 5,97 | 5,97 | 3,90 | 4,65 | 4,73 | 3,79 | 4,27 |
| 2021 | 4,31 | 6,17 | 5,14 | 5,46 | 5,27 | 5,27 | 3,50 | 3,64 | 2,46 | 2,66 | 3,06 |

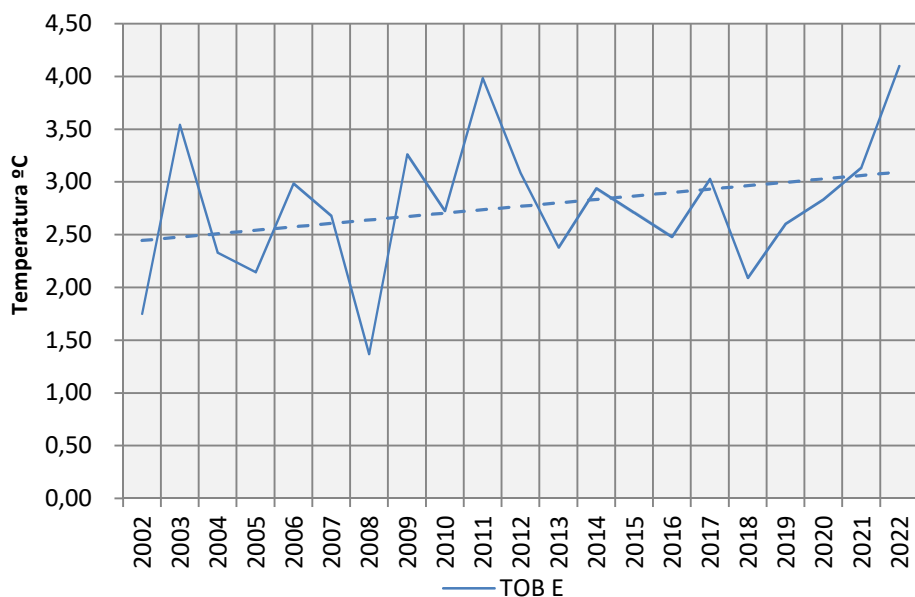
| | | | | | | | | | | |
|-------------|-------------|-------------|-------------|-------------|-------------|-------------|-------------|-------------|-------------|-------------|
| 2022 | 5,28 | 7,35 | 6,57 | 6,12 | 6,33 | 4,77 | 5,73 | 5,60 | 4,21 | 5,08 |
| 2023 | 5,54 | 6,33 | 6,44 | 6,53 | 6,33 | * | * | 5,66 | * | * |
| MED | 4,77 | 6,23 | 5,65 | 5,74 | 5,60 | 3,52 | 4,61 | 4,00 | 3,66 | 3,93 |
| DEST | 0,63 | 0,68 | 0,63 | 0,57 | 0,55 | 0,67 | 0,75 | 0,81 | 0,66 | 0,64 |
| MAX | 6,01 | 7,35 | 6,57 | 6,78 | 6,33 | 4,77 | 6,65 | 5,60 | 4,72 | 5,08 |
| MIN | 3,53 | 5,16 | 4,46 | 4,87 | 4,57 | 2,02 | 3,41 | 2,46 | 2,52 | 2,74 |

| T (°C) | | Punta Tobacor (2779 m) | | | | Punta de las Olas (3022 m) | | | | | |
|-------------|--------------|------------------------|-------------|-------------|-------------|----------------------------|-------------|--------------|-------------|--------------|-----|
| AÑO | | N | S | E | W | MED | N | S | E | W | MED |
| 2002 | 0,73 | 3,33 | 1,75 | 1,68 | 1,88 | -0,17 | 1,79 | -0,09 | 0,83 | 0,59 | |
| 2003 | 1,88 | * | 3,54 | 3,21 | 2,88 | 1,67 | * | 1,81 | 1,63 | 1,70 | |
| 2004 | 1,44 | * | 2,33 | 2,13 | 1,97 | 0,86 | * | 0,69 | 1,01 | 0,85 | |
| 2005 | 0,84 | * | 2,15 | 1,16 | 1,38 | 0,16 | 1,72 | -0,52 | 1,45 | 0,70 | |
| 2006 | * | * | 2,99 | 2,50 | 2,74 | 0,52 | 3,20 | * | * | 1,86 | |
| 2007 | * | * | 2,68 | 2,28 | 2,48 | 0,90 | 2,27 | * | * | 1,58 | |
| 2008 | 1,95 | * | 1,37 | 1,59 | 1,64 | -0,84 | 1,81 | -1,91 | 0,83 | -0,03 | |
| 2009 | 1,59 | * | 3,26 | 2,38 | 2,41 | 1,15 | 3,02 | -0,03 | 1,54 | 1,42 | |
| 2010 | 0,52 | * | 2,73 | 1,67 | 1,64 | -1,44 | 2,90 | -0,21 | 0,42 | 0,42 | |
| 2011 | 1,53 | 4,45 | 3,98 | 2,34 | 3,08 | 1,32 | 3,51 | 1,38 | 1,29 | 1,87 | |
| 2012 | 0,98 | 3,03 | 3,09 | 1,36 | 2,11 | 0,80 | 2,85 | -0,27 | 1,24 | 1,15 | |
| 2013 | -0,16 | 2,71 | 2,38 | 0,48 | 1,35 | -0,22 | 2,55 | -1,21 | 0,33 | 0,36 | |
| 2014 | 0,90 | 2,95 | 2,94 | 1,70 | 2,12 | 0,92 | 2,35 | 0,08 | 1,11 | 1,11 | |
| 2015 | 1,39 | 3,74 | 2,71 | 1,76 | 2,40 | 1,45 | 3,25 | 0,50 | 1,36 | 1,64 | |
| 2016 | 1,08 | 3,37 | 2,48 | 1,49 | 2,11 | 1,32 | 3,45 | 0,62 | 1,57 | 1,74 | |
| 2017 | 1,27 | 3,49 | 3,03 | 2,43 | 2,55 | 1,39 | 3,46 | 0,51 | 1,68 | 1,76 | |
| 2018 | 0,23 | 2,97 | 2,09 | * | 1,76 | -0,57 | 3,04 | -0,62 | 0,81 | 0,66 | |
| 2019 | 1,08 | 3,66 | 2,60 | * | 2,45 | 0,94 | 2,85 | 0,08 | 1,53 | 1,35 | |
| 2020 | 1,31 | 2,18 | 2,83 | 1,99 | 2,08 | 0,90 | 2,61 | 1,18 | 1,49 | 1,55 | |
| 2021 | 0,76 | N/D | 3,13 | 2,10 | 2,00 | 1,36 | 2,80 | 0,44 | 0,86 | 1,37 | |
| 2022 | 2,05 | N/D | 4,10 | 2,27 | 2,81 | 1,70 | 3,69 | 1,02 | 2,17 | 2,14 | |
| 2023 | N/D | N/D | N/D | N/D | N/D | N/D | N/D | N/D | N/D | N/D | |
| MED | 1,13 | 3,26 | 2,77 | 1,92 | 2,18 | 0,67 | 2,80 | 0,18 | 1,22 | 1,23 | |
| DEST | 0,57 | 0,60 | 0,66 | 0,60 | 0,48 | 0,87 | 0,59 | 0,90 | 0,46 | 0,59 | |
| MAX | 2,05 | 4,45 | 4,10 | 3,21 | 3,08 | 1,70 | 3,69 | 1,81 | 2,17 | 2,14 | |
| MIN | -0,16 | 2,18 | 1,37 | 0,48 | 1,35 | -1,44 | 1,72 | -1,91 | 0,33 | -0,03 | |

**Promedio anual de la Tº media y tendencia (línea discontinua)
de las cimas de ES-CPY (Ordesa), 2002-22**

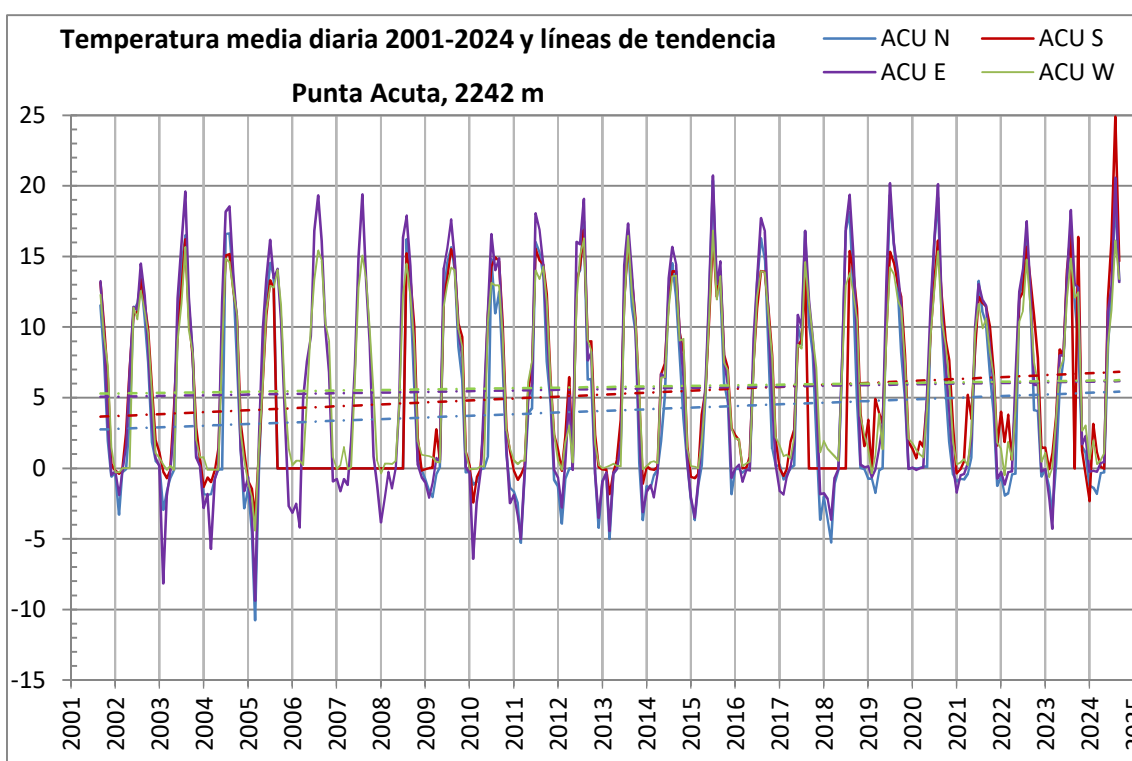


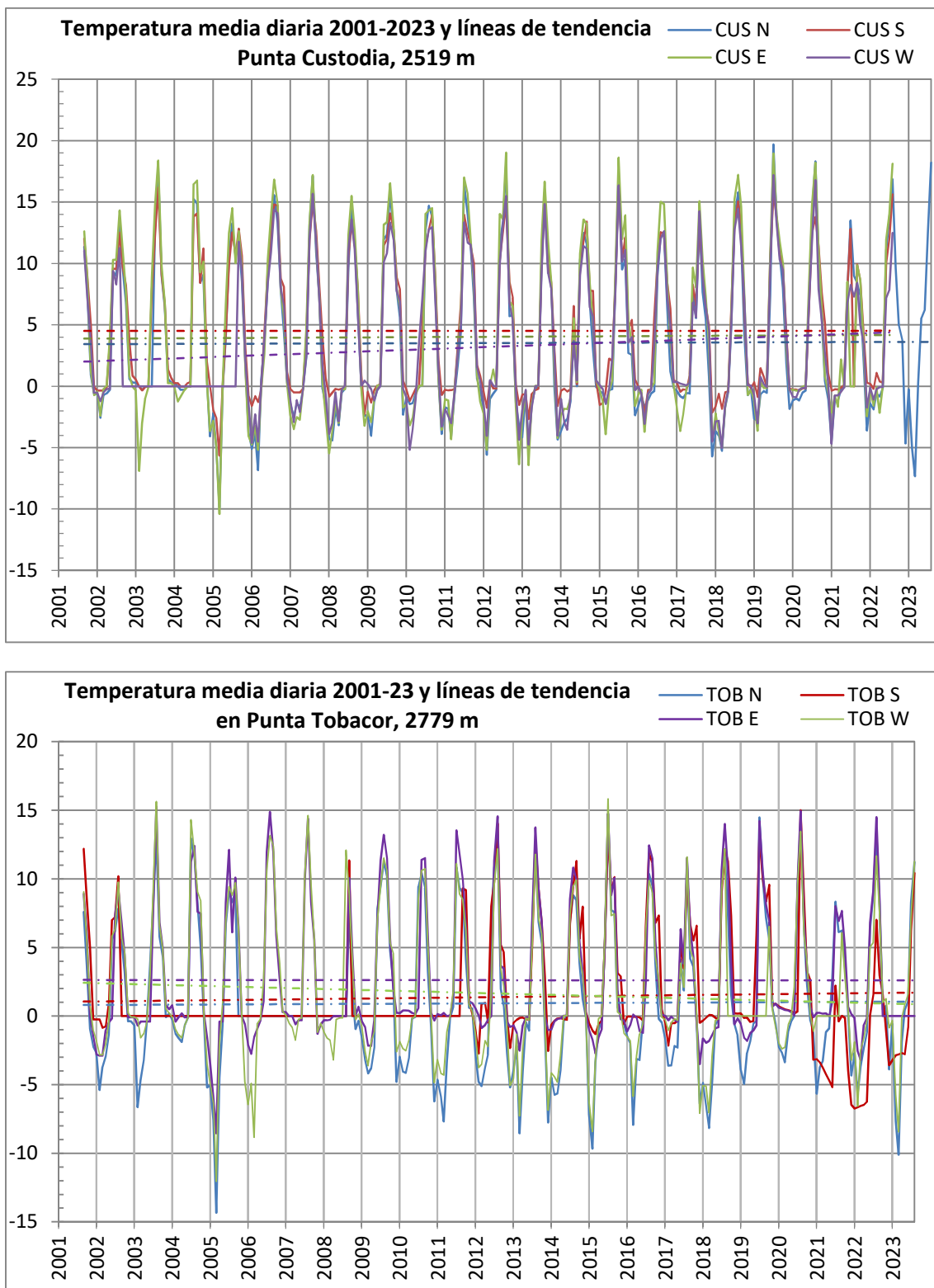
**Promedio anual de la Tº media y tendencia (línea discontinua)
de las cimas Tobacor E de ES-CPY (Ordesa), 2002-22**

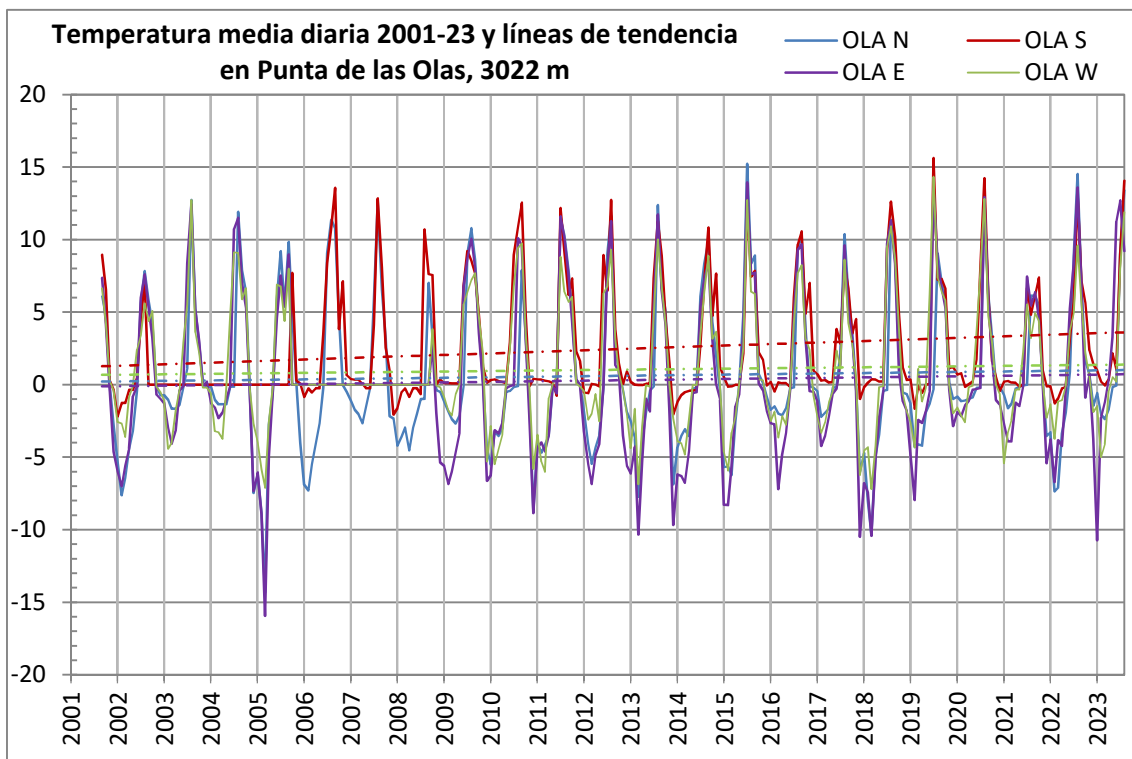


Debido a que tenemos diversos huecos de datos en la cima del Tobacor, damos la gráfica de la única serie completa correspondiente a la ladera Este.

| Tabla de temperaturas mínimas y máximas absolutas, por orientación, en ES-CPY (Ordesa), 2001-2021 | | | | | | | | |
|---|---------------------|--------------------|---------------------------|--------------------|-------------------------|------------------|-------------------------|------------------|
| | MÍNIMAS ABSOLUTAS | | | | MÁXIMAS ABSOLUTAS | | | |
| | N | S | E | W | N | S | E | W |
| ACU | -13,24 01/3/2005 | -4,45 12/2/10 | -12,96 01/3/05 | -6,33 28/02/05 | 27,97 14/7/15 | 23,89 18/7/23 | 30,04 14/7/15 | 22,43 18/8/12 |
| CUS | -13,91 23/02/05 | -11,04 5/02/15 | -14,56 13/02/12 | -12,73 13/02/12 | 32,19 17/7/22 | 28,28 14/7/15 | 29,12 21/7/05 | 23,36 14/7/15 |
| TOB | -17,44 6/02/15 | -13,86 13/02/12 | -11,79 21/01/05 | -14,73 6/02/15 | 20,38 14/7/15 | 24,53 06/8/21 | 23,64 24/7/06 | 25,74 3/8/03 |
| OLA | -17,25 01/3/05 | -7,28 14/12/01 | -17,98 27/01/05 | -14,17 6/02/15 | 23,75 18/7/22 | 28,67 5/8/20 | 22,28 7/8/08 | 25,44 25/7/08 |







9.1.2. Evolución del periodo vegetativo

El **periodo vegetativo** (PV) medio es el tiempo teórico durante el cual las plantas pueden realizar un ciclo vital, desde el desarrollo de sus estructuras vegetativas, pasando por la floración hasta la fructificación. Se estima que el desarrollo de las plantas se puede iniciar y mantener cuando la temperatura media diaria es igual o superior a los 4 °C; a partir de entonces el agua del suelo está disponible para las raíces y comienza el desarrollo.

Durante el periodo 2002-23, hemos calculado que en **Punta Acuta** (2242 m) el PV ha pasado de **175 días** en 2002 a **204 días** en 2023 (la media de estos 21 años es de menos de **6 meses, 180,6 días**); la orientación con un PV más prolongado es la Sur (199 días; 6,6 meses), mientras que la que lo tiene más corto es la Norte (159,8 días, 5,3 meses), con una diferencia de PV entre ambas de más de un mes (39,1 días).

El PV promedio de **Custodia** (2519 m) el PV ha pasado de **149 días** en 2002 a **157 días** en 2023 (la media de estos 210 años es de algo más de **5 meses (150,9 días)**; la orientación en la que es más corto es la Norte (141,1 días; 4,7 meses), y más largo en el Sur (160,6 días; 5,4 meses), con una diferencia de PV entre ambas de 19,5 días.

El PV del **Tobacor** (2779 m) el PV ha pasado de **104 días** en 2002 a **128 días** en 2022 (la media de estos 20 años es de **casi 4 meses (115,3 días)**). No obstante, debemos advertir que tenemos huecos por fallos en los termómetros de la cara Sur desde 2002 a 2011, y en la cara Norte de 2005 a 2008, por ello, además de la gráfica general de PV hemos elaborado las correspondientes a las orientaciones E y O donde se confirma más claramente la tendencia ascendente del PV. La ladera más fría es la Norte (109,9 días; 3,7 meses), mientras que la más caliente es la Sur (126,2 días; 4,2 meses), con una diferencia de PV entre ambas de 16,3 días.

Por último, el PV de la **Punta de las Olas** (3022 m) el PV ha pasado de **83 días** en 2002 a **125 días** en 2022 (la media de estos 20 años es de **3,3 meses (99 días)**). La vertiente con el PV más corto es la Norte (86,8 días; 2,9 meses) y la que lo tiene más amplio es la Sur (113 días; 3,8 meses), con una diferencia de PV entre ambas de 26,2 días.

Hemos calculado el **gradiente altitudinal de descenso del PV**. Así, cada 100 metros de altitud el PV desciende 9,1 días (± 3), es decir, casi un mes (27,3 días) cada 300 m de desnivel.

Gracias a los datos de la **estación meteorológica de Góriz** (2195 m) que tenemos desde 2001-2019, podemos decir que, cuando se registra la primera nevada en Góriz, el suelo en la cumbre de Punta de las Olas (3022 m) se congela de manera continua, y generalmente una semana antes se produce el descenso de la temperatura media diaria por debajo de los 4°C.

Entre los **datos extremos**, cabe destacar los dos períodos vegetativos más cortos que hemos podido medir en la cara norte de la Punta de las Olas, los años 2008 y 2010, con 39 y 26 días respectivamente (frente a la media del periodo de 86,8 días), en los que la innivación fue especialmente copiosa y se mantuvo hasta el mes de agosto (días 6 y 26 respectivamente). El año 2020 el PV también fue corto (56 días en la cara N y 93 en la S) pues, según nuestros datos, el deshielo no finalizó hasta el día 28 de julio.

A continuación, mostramos las tablas de datos correspondiente a las gráficas de evolución del periodo vegetativo (media diaria $\geq 4^{\circ}\text{C}$), por días y meses.

| Tabla del periodo vegetativo (PV) anual en la ZP ES-CPY, 2002-2023 , contado en días, desglosado por orientaciones. En cada orientación indicamos en rojo los valores de PV máximos y en azul los mínimos | | | | | | | | | | | | | | | | |
|--|------------------------------------|------------|------------|------------|---------------------------------------|------------|------------|------------|--------------------------------|------------|------------|------------|--|------------|------------|------------|
| PV ANUAL en días | Punta Acuta (ACU) 2242 m | | | | Punta Custodia (CUS) 2519 m | | | | Tobacor (TOB) 2779 m | | | | Punta de las Olas (OLA) 3022 m | | | |
| | N | S | E | W | N | S | E | W | N | S | E | W | N | S | E | W |
| 2002 | 153 | 198 | 174 | 176 | 136 | 159 | 152 | * | 97 | * | 105 | 111 | 86 | * | 87 | 76 |
| 2003 | 151 | 175 | 169 | 156 | 133 | 154 | 146 | * | 111 | * | 121 | 120 | 82 | * | 108 | 103 |
| 2004 | 135 | 168 | 159 | 154 | 121 | 140 | 126 | * | 109 | * | 103 | 115 | 91 | * | 100 | 113 |
| 2005 | * | * | 182 | 190 | 149 | 163 | 160 | * | * | * | 126 | 124 | 106 | * | * | * |
| 2006 | * | * | 202 | 204 | 165 | 195 | 171 | 184 | * | * | 120 | 136 | 100 | 120 | * | * |
| 2007 | * | * | 179 | 184 | 133 | 171 | 149 | 152 | * | * | 108 | 103 | 86 | 97 | * | * |
| 2008 | * | * | 166 | 160 | 114 | 126 | 116 | 126 | * | * | * | 86 | 39 | 78 | * | * |
| 2009 | 167 | 197 | 184 | 181 | 158 | 173 | 172 | 158 | 120 | * | 123 | 129 | 101 | 121 | 106 | 114 |
| 2010 | 134 | 167 | 160 | 162 | 126 | 138 | 121 | 144 | 95 | * | 91 | 105 | 26 | 100 | 72 | 90 |
| 2011 | 174 | 215 | 204 | 208 | 164 | 175 | 171 | 168 | 126 | * | 141 | 133 | 111 | 135 | 116 | 118 |
| 2012 | 161 | 188 | 168 | 177 | 151 | 159 | 150 | 155 | 111 | 134 | 111 | 111 | 98 | 109 | 95 | 100 |
| 2013 | 148 | 170 | 162 | 162 | 128 | 138 | 139 | 139 | 105 | 111 | 108 | 106 | 85 | 106 | 92 | 98 |
| 2014 | 170 | 206 | 190 | 194 | 158 | 175 | 165 | 168 | 112 | 139 | 124 | 131 | 87 | 107 | 91 | 83 |
| 2015 | 180 | 233 | 203 | 228 | 146 | 187 | 169 | 167 | 108 | 141 | 120 | 115 | 109 | 116 | 97 | 101 |
| 2016 | 150 | 185 | 174 | 174 | 119 | 149 | 141 | 139 | 90 | 120 | 94 | 97 | 75 | 126 | 85 | 94 |
| 2017 | 174 | * | 205 | 210 | 151 | 184 | 175 | 175 | 103 | 149 | 129 | 124 | 100 | 134 | 95 | 118 |
| 2018 | 152 | * | 170 | 159 | 133 | 153 | 152 | 146 | 103 | 115 | 101 | * | 77 | 110 | 95 | 109 |
| 2019 | 161 | 208 | 178 | 187 | 137 | 153 | 143 | 151 | 117 | 128 | 112 | * | 98 | 111 | 106 | 117 |
| 2020 | 152 | 235 | 177 | 199 | 132 | 156 | 139 | 132 | 126 | 99 | 114 | 123 | 56 | 93 | 80 | 93 |
| 2021 | 157 | 211 | 173 | 180 | 146 | 164 | 139 | 132 | 106 | ND | 116 | 49 | 87 | 123 | 98 | 95 |
| 2022 | 176 | 204 | 189 | 191 | 154 | 172 | 172 | 109 | 129 | ND | ND | 126 | 123 | 135 | 120 | 120 |
| 2023 | 181 | 222 | 199 | 212 | 150 | 149 | 173 | ND | ND | ND | ND | ND | ND | ND | ND | ND |
| MED | 159,8 | 198,9 | 180,3 | 184,0 | 141,1 | 160,6 | 151,9 | 149,7 | 109,9 | 126,2 | 114,1 | 116,4 | 86,8 | 113,0 | 96,6 | 102,5 |
| DEST | 14,2 | 22,0 | 14,9 | 20,6 | 14,7 | 17,4 | 17,9 | 19,4 | 11,1 | 16,2 | 12,4 | 13,5 | 23,2 | 15,7 | 12,3 | 13,2 |

| | | | | | | | | | | | | | | | | |
|------------------|---------------------|-----|-----|-----|---------------------|-----|-----|-----|---------------------|-----|-----|-----|-------------------|-----|-----|-----|
| MESES | 5,3 | 6,6 | 6,0 | 6,1 | 4,7 | 5,4 | 5,1 | 5,0 | 3,7 | 4,2 | 3,8 | 3,9 | 2,9 | 3,8 | 3,2 | 3,4 |
| MÁX | 181 | 235 | 205 | 228 | 165 | 195 | 175 | 184 | 129 | 149 | 141 | 136 | 123 | 135 | 120 | 120 |
| MÍN | 134 | 167 | 159 | 154 | 114 | 126 | 116 | 109 | 90 | 99 | 91 | 86 | 26 | 78 | 72 | 76 |
| MED. CIMA | 180,42 (6,01 meses) | | | | 150,88 (5,03 meses) | | | | 115,33 (3,84 meses) | | | | 99,01 (3,3 meses) | | | |
| DEST | 22,11 | | | | 18,43 | | | | 13,65 | | | | 19,38 | | | |

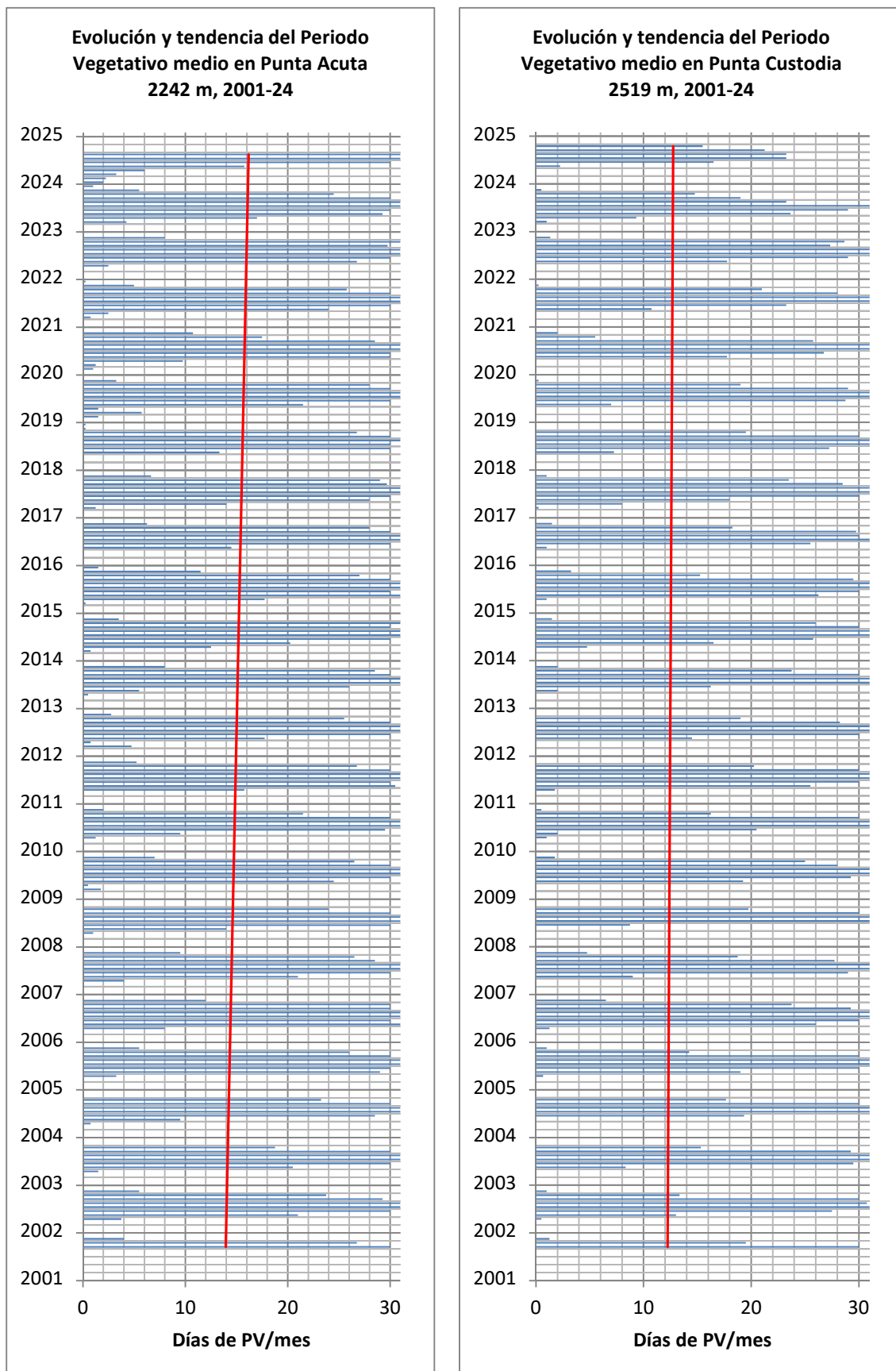
| Días de PV MEDIA DE LA CIMA | | | | |
|-----------------------------|---------------|---------------|---------------|--------------|
| AÑO | Acuta | Custodia | Tobacor | Olas |
| 2002 | 175 | 149 | 104 | 83 |
| 2003 | 163 | 144 | 117 | 98 |
| 2004 | 154 | 129 | 109 | 101 |
| 2005 | 186 | 157 | 125 | 106 |
| 2006 | 203 | 179 | 128 | 110 |
| 2007 | 182 | 151 | 106 | 92 |
| 2008 | 163 | 121 | 86 | 59 |
| 2009 | 182 | 165 | 124 | 111 |
| 2010 | 156 | 132 | 97 | 72 |
| 2011 | 200 | 170 | 133 | 120 |
| 2012 | 174 | 154 | 117 | 101 |
| 2013 | 161 | 136 | 108 | 95 |
| 2014 | 190 | 167 | 127 | 92 |
| 2015 | 211 | 167 | 121 | 106 |
| 2016 | 171 | 137 | 100 | 95 |
| 2017 | 196 | 171 | 126 | 112 |
| 2018 | 160 | 146 | 106 | 98 |
| 2019 | 184 | 146 | 119 | 108 |
| 2020 | 191 | 140 | 116 | 81 |
| 2021 | 180 | 145 | 111 | 101 |
| 2022 | 190 | 152 | 128 | 125 |
| 2023 | 204 | 157 | N/D | N/D |
| MEDIA | 180,64 | 150,68 | 114,62 | 98,20 |
| DEST | 16 | 15 | 12 | 15 |

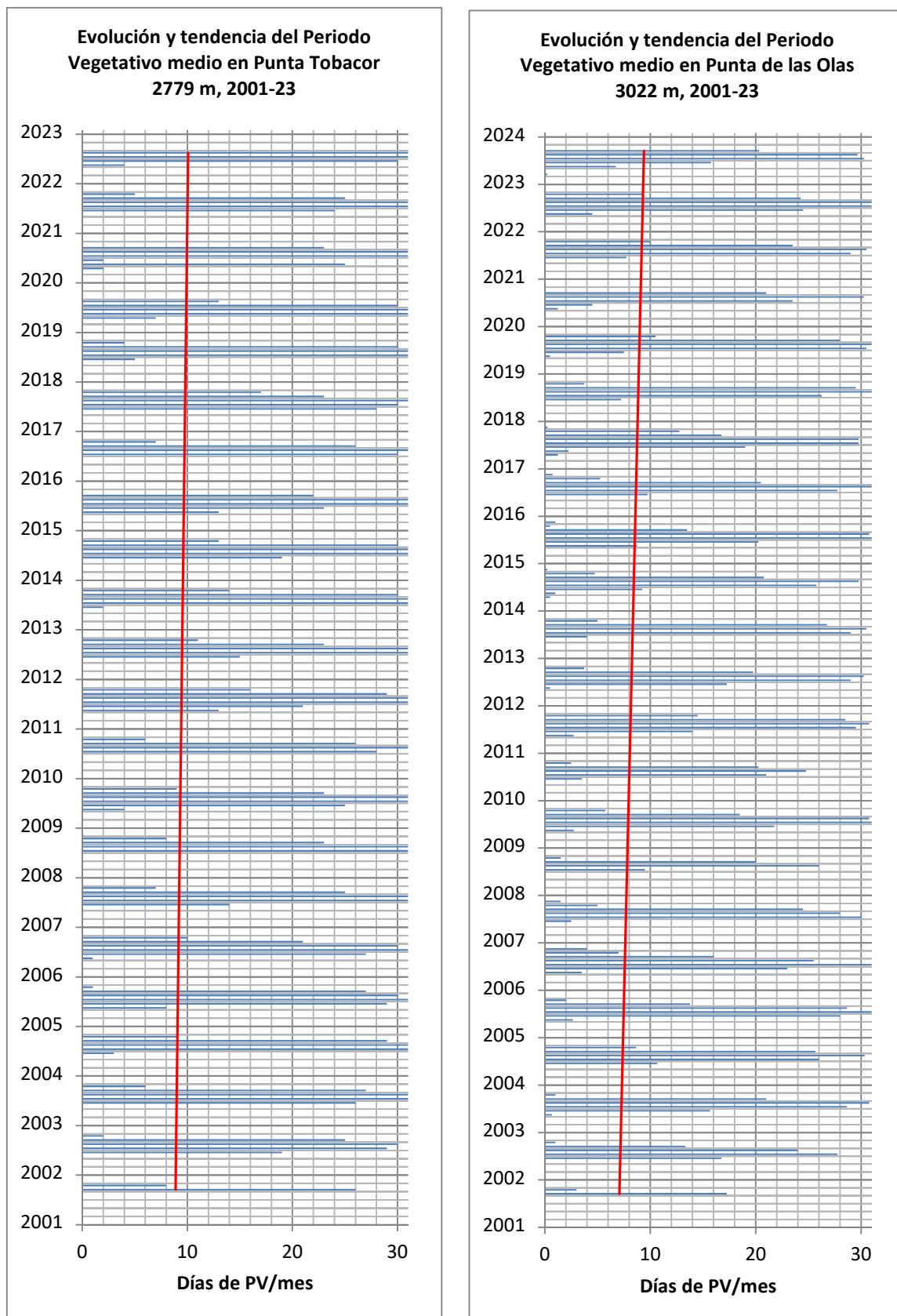
Promedio anual del periodo vegetativo (PV) de las cuatro orientaciones de cada cima. En rojo se indican que faltan datos de alguna de las orientaciones.

Tablas del periodo vegetativo (PV) anual en ES-CPY, 2002-2023, contado en meses, por orientaciones. Se incluye la media del periodo, así como el PV máximo y mínimo (en rojo los años en los que faltan datos de alguna orientación)

| PV ANUAL Meses | MED | Punta Acuta (ACU) 2242 m | | | | Punta Custodia (CUS) 2519 m | | | | |
|-----------------------|------------------|-------------------------------------|------------|------------|------------------|--|------------|------------|------------|------------|
| | | N | S | E | W | MED | N | S | E | |
| 2002 | 5,8 | 5,1 | 6,6 | 5,8 | 5,9 | 5,0 | 4,5 | 5,3 | 5,1 | * |
| 2003 | 5,4 | 5,0 | 5,8 | 5,6 | 5,2 | 4,8 | 4,4 | 5,1 | 4,9 | * |
| 2004 | 5,1 | 4,5 | 5,6 | 5,3 | 5,1 | 4,3 | 4,0 | 4,7 | 4,2 | * |
| 2005 | 6,2 | * | * | 6,1 | 6,3 | 5,2 | 5,0 | 5,4 | 5,3 | * |
| 2006 | 6,8 | * | * | 6,7 | 6,8 | 6,0 | 5,5 | 6,5 | 5,7 | 6,1 |
| 2007 | 6,1 | * | * | 6,0 | 6,1 | 5,0 | 4,4 | 5,7 | 5,0 | 5,1 |
| 2008 | 5,4 | * | * | 5,5 | 5,3 | 4,0 | 3,8 | 4,2 | 3,9 | 4,2 |
| 2009 | 6,1 | 5,6 | 6,6 | 6,1 | 6,0 | 5,5 | 5,3 | 5,8 | 5,7 | 5,3 |
| 2010 | 5,2 | 4,5 | 5,6 | 5,3 | 5,4 | 4,4 | 4,2 | 4,6 | 4,0 | 4,8 |
| 2011 | 6,7 | 5,8 | 7,2 | 6,8 | 6,9 | 5,7 | 5,5 | 5,8 | 5,7 | 5,6 |
| 2012 | 5,8 | 5,4 | 6,3 | 5,6 | 5,9 | 5,1 | 5,0 | 5,3 | 5,0 | 5,2 |
| 2013 | 5,4 | 4,9 | 5,7 | 5,4 | 5,4 | 4,5 | 4,3 | 4,6 | 4,6 | 4,6 |
| 2014 | 6,3 | 5,7 | 6,9 | 6,3 | 6,5 | 5,6 | 5,3 | 5,8 | 5,5 | 5,6 |
| 2015 | 7,0 | 6,0 | 7,8 | 6,8 | 7,6 | 5,6 | 4,9 | 6,2 | 5,6 | 5,6 |
| 2016 | 5,7 | 5,0 | 6,2 | 5,8 | 5,8 | 4,6 | 4,0 | 5,0 | 4,7 | 4,6 |
| 2017 | 6,5 | 5,8 | * | 6,8 | 7,0 | 5,7 | 5,0 | 6,1 | 5,8 | 5,8 |
| 2018 | 5,3 | 5,1 | * | 5,7 | 5,3 | 4,9 | 4,4 | 5,1 | 5,1 | 4,9 |
| 2019 | 6,1 | 5,4 | 6,9 | 5,9 | 6,2 | 4,9 | 4,6 | 5,1 | 4,8 | 5,0 |
| 2020 | 6,4 | 5,1 | 7,8 | 5,9 | 6,6 | 4,7 | 4,4 | 5,2 | 4,6 | 4,4 |
| 2021 | 6,0 | 5,2 | 7,0 | 5,8 | 6,0 | 4,8 | 4,9 | 5,5 | 4,6 | 4,4 |
| 2022 | 6,3 | 5,9 | 6,8 | 6,3 | 6,4 | 5,1 | 5,1 | 5,7 | 5,7 | 3,6 |
| 2023 | 6,8 | 6,0 | 7,4 | 6,6 | 7,1 | 5,4 | 5,0 | * | 5,8 | * |
| MED | 6,0 | 5,3 | 6,6 | 6,0 | 6,1 | 5,0 | 4,7 | 5,4 | 5,1 | 5,0 |
| DEST | 0,6 | 0,5 | 0,7 | 0,5 | 0,7 | 0,5 | 0,5 | 0,6 | 0,6 | 0,6 |
| MÁX | 7,0 | 6,0 | 7,8 | 6,8 | 7,6 | 6,0 | 5,5 | 6,5 | 5,8 | 6,1 |
| MÍN | 5,1 | 4,5 | 5,6 | 5,3 | 5,1 | 4,0 | 3,8 | 4,2 | 3,9 | 3,6 |
| DIF | 1,9 | 1,6 | 2,3 | 1,5 | 2,5 | 1,9 | 1,7 | 2,3 | 2,0 | 2,5 |
| MEDIA CIMA | 6,0 ± 0,7 | | | | 5,0 ± 0,6 | | | | | |

| PV ANUAL Meses | Tobacor (TOB) 2779 m | | | | Punta de las Olas (OLA) 3022 m | | | | | | |
|-------------------|-------------------------|------------------|------------|------------|-----------------------------------|------------------|------------|------------|------------|------------|------------|
| | FECHA | MED | N | S | E | W | MED | N | S | E | W |
| 2002 | | 3,5 | 3,2 | * | 3,5 | 3,7 | 2,8 | 2,9 | * | 2,9 | 2,5 |
| 2003 | | 3,9 | 3,7 | * | 4,0 | 4,0 | 3,3 | 2,7 | * | 3,6 | 3,4 |
| 2004 | | 3,6 | 3,6 | * | 3,4 | 3,8 | 3,4 | 3,0 | * | 3,3 | 3,8 |
| 2005 | | 4,2 | * | * | 4,2 | 4,1 | 3,5 | 3,5 | * | * | * |
| 2006 | | 4,3 | * | * | 4,0 | 4,5 | 3,7 | 3,3 | 4,0 | * | * |
| 2007 | | 3,5 | * | * | 3,6 | 3,4 | 3,1 | 2,9 | 3,2 | * | * |
| 2008 | | 2,9 | * | * | * | 2,9 | 2,0 | 1,3 | 2,6 | * | * |
| 2009 | | 4,1 | 4,0 | * | 4,1 | 4,3 | 3,7 | 3,4 | 4,0 | 3,5 | 3,8 |
| 2010 | | 3,2 | 3,2 | * | 3,0 | 3,5 | 2,4 | 0,9 | 3,3 | 2,4 | 3,0 |
| 2011 | | 4,4 | 4,2 | * | 4,7 | 4,4 | 4,0 | 3,7 | 4,5 | 3,9 | 3,9 |
| 2012 | | 3,9 | 3,7 | 4,5 | 3,7 | 3,7 | 3,4 | 3,3 | 3,6 | 3,2 | 3,3 |
| 2013 | | 3,6 | 3,5 | 3,7 | 3,6 | 3,5 | 3,2 | 2,8 | 3,5 | 3,1 | 3,3 |
| 2014 | | 4,2 | 3,7 | 4,6 | 4,1 | 4,4 | 3,1 | 2,9 | 3,6 | 3,0 | 2,8 |
| 2015 | | 4,0 | 3,6 | 4,7 | 4,0 | 3,8 | 3,5 | 3,6 | 3,9 | 3,2 | 3,4 |
| 2016 | | 3,3 | 3,0 | 4,0 | 3,1 | 3,2 | 3,2 | 2,5 | 4,2 | 2,8 | 3,1 |
| 2017 | | 4,2 | 3,4 | 5,0 | 4,3 | 4,1 | 3,7 | 3,3 | 4,5 | 3,2 | 3,9 |
| 2018 | | 3,5 | 3,4 | 3,8 | 3,4 | * | 3,3 | 2,6 | 3,7 | 3,2 | 3,6 |
| 2019 | | 4,0 | 3,9 | 4,3 | 3,7 | * | 3,6 | 3,3 | 3,7 | 3,5 | 3,9 |
| 2020 | | 3,9 | 4,2 | 3,3 | 3,8 | 4,1 | 2,7 | 1,9 | 3,1 | 2,7 | 3,1 |
| 2021 | | 3,7 | 3,5 | * | 3,9 | * | 3,4 | 2,9 | 4,1 | 3,3 | 3,2 |
| 2022 | | 4,3 | 4,3 | * | * | 4,2 | 4,2 | 4,1 | 4,5 | 4,0 | 4,0 |
| | | * | * | * | * | * | * | * | * | * | * |
| MED | | 3,8 | 3,7 | 4,2 | 3,8 | 3,9 | 3,3 | 2,9 | 3,8 | 3,2 | 3,4 |
| DEST | | 0,4 | 0,4 | 0,5 | 0,4 | 0,4 | 0,5 | 0,8 | 0,5 | 0,4 | 0,4 |
| MÁX | | 4,4 | 4,3 | 5,0 | 4,7 | 4,5 | 4,2 | 4,1 | 4,5 | 4,0 | 4,0 |
| MÍN | | 2,9 | 3,0 | 3,3 | 3,0 | 2,9 | 2,0 | 0,9 | 2,6 | 2,4 | 2,5 |
| DIF | | 1,6 | 1,3 | 1,7 | 1,7 | 1,7 | 2,2 | 3,2 | 1,9 | 1,6 | 1,5 |
| MEDIA CIMA | | 3,8 ± 0,5 | | | | 3,3 ± 0,6 | | | | | |





9.2. La T y el PV en la zona piloto ES-SPY (Pirineo silíceo)

A continuación, analizamos los datos de los 16 termómetros automáticos que tenemos instalados desde verano de 2011 en la zona piloto ES-SPY, Valle de Tena y Robiñera, correspondiente a la alta montaña del Pirineo silíceo.

9.2.1. Evolución de la temperatura del suelo

Durante el periodo 2012-22, en la cima de las **Tres Güegas** (2302 m) la T media de la cima ha pasado de **4,97** en 2002 a **5,85°C** (el promedio del periodo es de 4,98°C); la orientación más cálida es la Sur ($6,14 \pm 0,5^\circ\text{C}$), mientras que la más fría es la Norte ($4,06 \pm 0,6^\circ\text{C}$). El año más frío de la serie ha sido el 2013 (4,05°C), mientras que el más cálido fue 2022 (5,55°C).

La T promedio del **Vértice de Anayet** (2555 m) ha pasado de **4,07** en 2012 a **5,13°C** (el promedio del periodo es de 4,45°C); la orientación más cálida es la Sur ($6,22 \pm 0,6^\circ\text{C}$). La orientación más fría es la Norte ($2,62 \pm 0,5^\circ\text{C}$). El año más frío de la serie ha sido el 2013 (3,12°C), mientras que el más cálido fue 2015 (5,2°C).

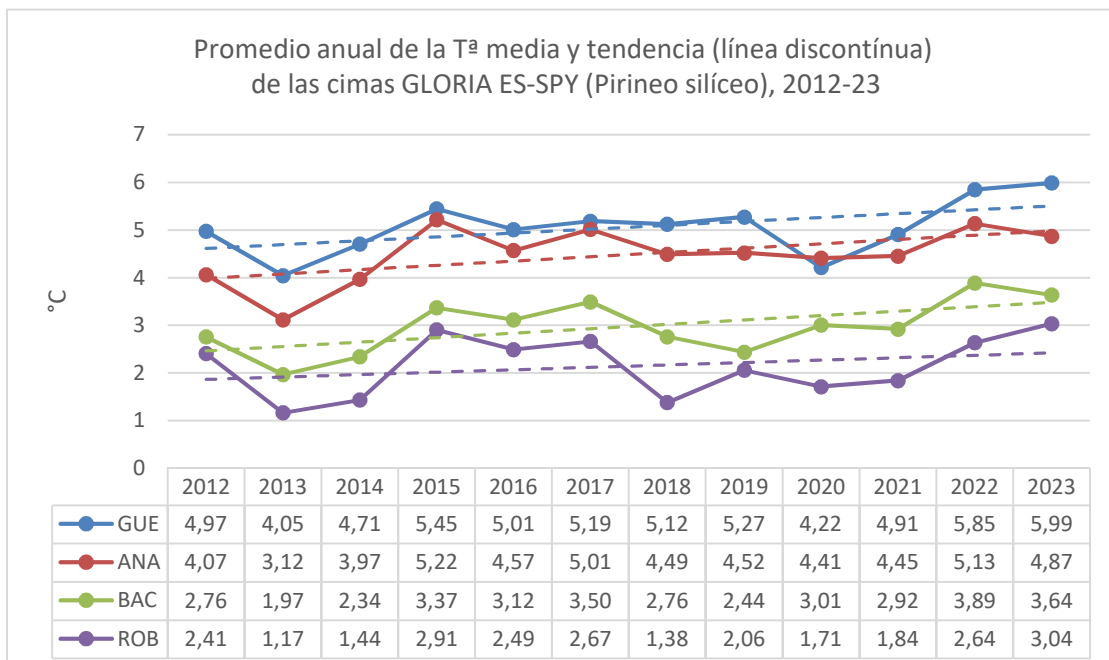
La T promedio del **Bacías** (2731 m) ha pasado de **2,76** en 2012 a **3,9°C** (el promedio del periodo es de 2,9°C); la orientación más cálida es la Sur ($4,91 \pm 0,6^\circ\text{C}$), mientras que la más fría es la Oeste ($1,1 \pm 0,6^\circ\text{C}$). En esta cima la orientación occidental está bien protegida de los vientos que puedan barrer la nieve por lo que se puede acumular en mayor cantidad. El año más frío de la serie ha sido el 2013 (1,97°C), mientras que el más cálido han sido el 2022 (3,9°C).

Por último, la T promedio la cima superior, el **Morrón de Sobresplucas de la cresta meridional de Robiñera** (2827 m) ha pasado de **2,41** en 2012 a **2,64°C** (el promedio del periodo es de 2,07°C); su orientación más cálida es la Oeste ($3,19 \pm 0,7^\circ\text{C}$), mientras que la más fría es la Este ($0,8 \pm 0,8^\circ\text{C}$). En esta cima la orientación meridional tiene un buen suelo que alberga un pasto denso, motivo por el cual creemos que ejerce un efecto tampon que impide un mayor calentamiento veraniego. Por el contrario, las vertientes norte y este son muy pedregosas, tiene poco suelo y en verano se calienta más. El año más frío de la serie ha sido el 2013 (1,17°C), mientras que el más cálido ha sido el 2015 (2,9°C).

| Tablas de las temperaturas medias anuales en ES-SPY (Pirineo silíceo), de 2012 a 2023, por orientaciones y en promedio de la cima | | | | | | | | | | | |
|---|--------------------------------------|-------------|-------------|-------------|-------------------------------|---|-------------|-------------|-------------|-------------|-------------|
| T °C | Punta de las Tres Güegas (2302 m) | | | | Vértice de Anayet (2555 m) | | | | | | |
| | AÑO | MED | N | S | E | W | MED | N | S | E | W |
| 2012 | 4,97 | 4,36 | 6,42 | 4,72 | 4,51 | | 4,07 | 2,16 | 6,33 | 5,70 | 2,26 |
| 2013 | 4,05 | 2,82 | 5,32 | 4,08 | 4,12 | | 3,12 | 1,44 | 5,09 | 4,76 | 1,39 |
| 2014 | 4,71 | 3,64 | 5,69 | 4,73 | 4,90 | | 3,97 | 2,35 | 5,32 | 5,59 | 2,75 |
| 2015 | 5,45 | 3,96 | 7,02 | 5,52 | 5,49 | | 5,22 | 3,19 | 7,09 | 6,91 | 3,86 |
| 2016 | 5,01 | 3,95 | 6,11 | 5,03 | 5,04 | | 4,57 | 2,41 | 6,61 | 6,41 | 2,99 |
| 2017 | 5,19 | 4,02 | 6,50 | 4,84 | 5,54 | | 5,01 | 3,00 | 6,82 | 6,81 | 3,49 |
| 2018 | 5,12 | 4,13 | 5,98 | 5,61 | 4,92 | | 4,49 | 2,73 | 5,93 | 6,07 | 3,41 |
| 2019 | 5,27 | 4,47 | 6,39 | 4,85 | N/D | | 4,52 | 2,50 | 6,45 | 6,46 | 2,87 |
| 2020 | 4,22 | N/D | 6,41 | 4,61 | N/D | | 4,41 | 3,24 | 6,09 | 5,80 | 3,31 |
| 2021 | 4,91 | 4,15 | 5,47 | 4,92 | 5,25 | | 4,45 | 2,47 | 5,96 | 5,97 | 2,46 |
| 2022 | 5,85 | 5,12 | 6,25 | 5,97 | 6,05 | | 5,13 | 3,36 | 6,75 | 6,89 | 3,55 |
| 2023 | 5,99 | 5,65 | 5,95 | 6,05 | N/D | | 4,87 | 3,20 | 6,64 | 6,81 | 2,84 |
| PROMEDIO | 5,06 | 4,21 | 6,13 | 5,08 | 5,09 | | 4,49 | 2,67 | 6,26 | 6,18 | 2,93 |

| | | | | | | | | | | |
|-------------|------|------|------|------|------|------|------|------|------|------|
| DEST | 0,57 | 0,74 | 0,48 | 0,59 | 0,58 | 0,58 | 0,56 | 0,61 | 0,66 | 0,68 |
|-------------|------|------|------|------|------|------|------|------|------|------|

| T °C | Bacías (2731 m) | | | | | Robiñera, Morrón de Sobreplucas (2827 m) | | | | | |
|-----------------|-----------------|-------------|-------------|-------------|--------------|--|-------------|-------------|-------------|--------------|-------------|
| | AÑO | MED | N | S | E | W | MED | N | S | E | W |
| 2012 | 2,76 | 1,26 | 4,76 | 4,68 | 0,49 | | 2,41 | 2,15 | 2,76 | 1,26 | 3,58 |
| 2013 | 1,97 | 0,34 | 4,17 | 3,97 | -0,18 | | 1,17 | 0,26 | 1,93 | -0,02 | 2,45 |
| 2014 | 2,34 | 1,55 | 4,26 | 3,91 | 1,10 | | 1,44 | 0,74 | 2,34 | 0,65 | 3,02 |
| 2015 | 3,37 | 2,11 | 5,64 | 5,13 | 1,70 | | 2,91 | 3,10 | 3,80 | 2,34 | 3,51 |
| 2016 | 3,12 | 1,76 | 4,90 | 4,53 | 1,40 | | 2,49 | 1,92 | 2,99 | 1,51 | 3,62 |
| 2017 | 3,50 | 2,12 | 5,16 | 5,27 | 1,50 | | 2,67 | 1,23 | 3,90 | 1,24 | 4,35 |
| 2018 | 2,76 | 1,17 | 4,68 | 4,46 | 0,91 | | 1,38 | 0,77 | 2,39 | -0,59 | 3,12 |
| 2019 | 2,44 | 1,35 | 4,87 | 3,13 | 0,95 | | 2,06 | 1,28 | 2,73 | 0,44 | 3,96 |
| 2020 | 3,01 | 1,52 | 4,58 | 4,56 | 1,47 | | 1,71 | 2,30 | 2,55 | 0,45 | 1,63 |
| 2021 | 2,92 | 1,15 | 4,83 | 4,52 | 1,07 | | 1,84 | 2,09 | 2,23 | 0,27 | 2,90 |
| 2022 | 3,89 | 1,86 | 6,23 | 5,73 | 1,75 | | 2,64 | 3,09 | 3,27 | 1,25 | 2,95 |
| 2023 | 3,64 | 1,90 | 6,00 | N/D | 1,65 | | 3,04 | N/D | 3,43 | 2,28 | 2,87 |
| PROMEDIO | 2,98 | 1,51 | 5,01 | 4,54 | 1,15 | | 2,15 | 1,72 | 2,86 | 0,92 | 3,16 |
| DEST | 0,57 | 0,50 | 0,65 | 0,71 | 0,56 | | 0,63 | 0,94 | 0,63 | 0,89 | 0,71 |



| Tablas de las temperaturas medias mensuales en ES-SPY, durante el periodo septiembre 2011-septiembre 2023, por orientaciones y en promedio de la cima | | | | | | | | | | |
|---|------------|-----------------------------------|----------|----------|----------|------------|----------------------------|----------|----------|----------|
| T °C | | Punta de las Tres Güegas (2302 m) | | | | | Vértice de Anayet (2555 m) | | | |
| MES | MED | N | S | E | W | MED | N | S | E | W |
| 09/2011 | 11,49 | 9,43 | 13,64 | 11,91 | 10,96 | 11,30 | 8,22 | 14,46 | 13,79 | 8,74 |
| 10/2011 | 6,03 | 2,56 | 9,51 | 5,75 | 6,31 | 6,56 | 2,00 | 11,55 | 10,42 | 2,29 |
| 11/2011 | 1,37 | 0,62 | 2,50 | 1,07 | 1,28 | 1,43 | 0,22 | 2,43 | 2,68 | 0,37 |

| | | | | | | | | | | |
|---------|-------|-------|-------|-------|-------|-------|-------|-------|-------|-------|
| 12/2011 | -0,52 | -1,61 | 1,15 | -1,33 | -0,27 | -0,11 | -0,36 | 0,84 | 0,57 | -1,48 |
| 01/2012 | -1,33 | -1,28 | 0,76 | -3,09 | -1,71 | -1,55 | -2,46 | 0,93 | 0,49 | -5,15 |
| 02/2012 | -3,05 | -1,51 | -0,25 | -6,17 | -4,26 | -6,26 | -7,76 | -3,12 | -4,45 | -9,73 |
| 03/2012 | -0,09 | -0,99 | 0,99 | -0,67 | 0,33 | -0,39 | -4,79 | 3,76 | 3,06 | -3,59 |
| 04/2012 | 0,37 | -0,07 | 1,68 | -0,20 | 0,06 | -0,51 | -2,59 | 1,28 | 1,01 | -1,72 |
| 05/2012 | 3,88 | 1,75 | 5,20 | 4,16 | 4,39 | 4,38 | 2,26 | 6,32 | 5,97 | 2,98 |
| 06/2012 | 12,23 | 12,50 | 12,23 | 13,64 | 10,55 | 11,09 | 9,78 | 12,29 | 11,48 | 10,81 |
| 07/2012 | 15,23 | 15,53 | 15,24 | 16,77 | 13,40 | 14,01 | 12,62 | 15,30 | 14,55 | 13,56 |
| 08/2012 | 15,88 | 15,46 | 16,50 | 17,19 | 14,36 | 14,93 | 12,63 | 16,99 | 16,15 | 13,93 |
| 09/2012 | 10,59 | 8,51 | 12,98 | 10,73 | 10,14 | 9,56 | 6,37 | 12,90 | 11,83 | 7,14 |
| 10/2012 | 5,69 | 3,84 | 7,85 | 5,30 | 5,77 | 4,83 | 2,69 | 6,97 | 6,73 | 2,95 |
| 11/2012 | 1,05 | -0,16 | 2,84 | 0,29 | 1,22 | 0,78 | -0,47 | 2,28 | 2,13 | -0,82 |
| 12/2012 | -0,77 | -1,47 | 0,73 | -1,81 | -0,52 | -2,06 | -2,87 | -0,44 | -1,11 | -3,84 |
| 01/2013 | -0,58 | -0,90 | 0,82 | -1,20 | -1,05 | -2,02 | -2,98 | -0,06 | -0,77 | -4,26 |
| 02/2013 | -0,93 | -0,42 | 0,67 | -1,98 | -1,98 | -3,84 | -4,60 | -0,38 | -2,90 | -7,45 |
| 03/2013 | -0,80 | -0,28 | 0,55 | -2,13 | -1,36 | -2,87 | -4,18 | -0,94 | -1,50 | -4,86 |
| 04/2013 | 0,09 | -0,13 | 0,41 | -0,42 | 0,52 | -0,32 | -1,25 | -0,10 | 1,45 | -1,38 |
| 05/2013 | 0,67 | -0,02 | 0,74 | 0,13 | 1,85 | 1,00 | -0,17 | 1,48 | 2,46 | 0,21 |
| 06/2013 | 5,25 | 0,00 | 5,25 | 8,42 | 7,32 | 5,33 | 3,11 | 5,66 | 6,74 | 5,83 |
| 07/2013 | 13,93 | 12,51 | 14,32 | 15,93 | 12,94 | 12,90 | 11,28 | 14,17 | 13,65 | 12,51 |
| 08/2013 | 14,57 | 13,58 | 15,39 | 15,76 | 13,54 | 13,59 | 11,09 | 16,26 | 15,47 | 11,56 |
| 09/2013 | 10,43 | 8,28 | 12,58 | 10,47 | 10,40 | 10,03 | 6,56 | 13,87 | 12,76 | 6,94 |
| 10/2013 | 6,01 | 4,18 | 8,31 | 5,54 | 6,03 | 5,32 | 3,15 | 7,61 | 7,24 | 3,30 |
| 11/2013 | 1,21 | -0,48 | 3,25 | 0,35 | 1,72 | -0,18 | -1,21 | 1,43 | 0,77 | -1,69 |
| 12/2013 | -1,30 | -2,91 | 1,14 | -2,46 | -0,96 | -1,52 | -4,05 | 1,54 | 1,14 | -4,70 |
| 01/2014 | -0,27 | -0,64 | 0,79 | -0,80 | -0,41 | -1,46 | -2,83 | 0,27 | -0,08 | -3,21 |
| 02/2014 | -0,40 | -0,43 | 0,64 | -0,80 | -1,02 | -2,24 | -4,31 | 0,37 | -0,52 | -4,49 |
| 03/2014 | -0,36 | -0,25 | 0,49 | -0,96 | -0,71 | -1,87 | -4,14 | 0,26 | 0,48 | -4,09 |
| 04/2014 | 0,54 | -0,06 | 0,47 | -0,29 | 2,03 | 1,08 | -0,33 | 0,12 | 4,42 | 0,11 |
| 05/2014 | 3,12 | -0,03 | 4,26 | 3,79 | 4,47 | 2,72 | 1,46 | 2,25 | 4,91 | 2,25 |
| 06/2014 | 9,23 | 7,07 | 9,19 | 11,00 | 9,67 | 8,74 | 7,00 | 9,81 | 9,64 | 8,52 |
| 07/2014 | 12,07 | 11,69 | 12,17 | 12,74 | 11,66 | 10,55 | 8,98 | 11,98 | 11,35 | 9,89 |
| 08/2014 | 12,87 | 11,73 | 13,89 | 13,34 | 12,51 | 11,47 | 9,65 | 13,12 | 12,77 | 10,34 |
| 09/2014 | 10,97 | 9,40 | 12,59 | 11,11 | 10,78 | 10,42 | 8,03 | 12,78 | 12,40 | 8,48 |
| 10/2014 | 6,96 | 4,74 | 8,99 | 6,66 | 7,47 | 6,91 | 3,93 | 10,11 | 9,38 | 4,24 |
| 11/2014 | 1,90 | 0,83 | 3,46 | 1,38 | 1,94 | 1,54 | 0,34 | 2,77 | 2,77 | 0,29 |
| 12/2014 | -0,15 | -0,65 | 0,95 | -0,86 | -0,04 | -0,26 | -0,02 | -0,40 | -0,74 | 0,15 |
| 01/2015 | -1,72 | -3,00 | 0,65 | -3,12 | -1,40 | -0,07 | -0,92 | 1,01 | -0,11 | -0,25 |
| 02/2015 | -2,51 | -3,71 | 0,51 | -5,04 | -1,80 | -1,54 | -2,60 | -0,61 | -1,19 | -1,76 |
| 03/2015 | -0,37 | -1,16 | 0,45 | -0,47 | -0,28 | -0,75 | -1,55 | -0,05 | 0,10 | -1,52 |
| 04/2015 | 2,21 | -0,15 | 3,37 | 3,25 | 2,36 | 1,61 | -0,66 | 3,43 | 3,94 | -0,28 |
| 05/2015 | 6,77 | 3,58 | 7,68 | 8,55 | 7,29 | 5,70 | 2,74 | 7,64 | 7,29 | 5,12 |
| 06/2015 | 12,24 | 12,37 | 12,22 | 13,44 | 10,94 | 10,75 | 9,23 | 11,58 | 11,57 | 10,64 |
| 07/2015 | 17,91 | 18,16 | 17,45 | 19,72 | 16,31 | 16,83 | 15,18 | 17,66 | 17,99 | 16,49 |
| 08/2015 | 13,92 | 13,07 | 14,81 | 14,63 | 13,18 | 12,89 | 11,10 | 14,26 | 14,44 | 11,74 |
| 09/2015 | 9,05 | 7,00 | 11,49 | 9,03 | 8,69 | 8,20 | 5,61 | 10,72 | 10,56 | 5,91 |
| 10/2015 | 5,24 | 3,05 | 7,59 | 4,65 | 5,66 | 4,51 | 1,99 | 7,09 | 6,74 | 2,23 |
| 11/2015 | 2,81 | 0,18 | 5,63 | 1,64 | 3,80 | 3,57 | -0,16 | 7,69 | 6,86 | -0,13 |
| 12/2015 | -0,22 | -2,52 | 1,95 | -0,88 | 0,56 | 0,91 | -2,20 | 4,12 | 4,15 | -2,42 |
| 01/2016 | -0,15 | -0,68 | 1,14 | -0,99 | -0,07 | -1,23 | -2,35 | 0,08 | -0,18 | -2,49 |

| | | | | | | | | | | |
|---------|-------|-------|-------|-------|-------|-------|-------|-------|-------|-------|
| 02/2016 | -0,45 | -0,51 | 0,85 | -1,94 | -0,18 | -2,00 | -4,31 | 0,54 | 0,19 | -4,43 |
| 03/2016 | -0,69 | -0,45 | 0,70 | -2,32 | -0,69 | -2,32 | -4,66 | 0,06 | -0,06 | -4,63 |
| 04/2016 | -0,13 | -0,13 | 0,55 | -0,78 | -0,15 | -0,86 | -2,03 | 0,18 | 0,27 | -1,87 |
| 05/2016 | 1,29 | -0,04 | 0,89 | 2,25 | 2,08 | 2,11 | -0,16 | 3,52 | 3,78 | 1,31 |
| 06/2016 | 9,28 | 5,81 | 10,12 | 11,64 | 9,57 | 9,19 | 6,72 | 10,62 | 10,45 | 8,96 |
| 07/2016 | 15,25 | 15,23 | 15,06 | 16,75 | 13,97 | 14,20 | 12,49 | 15,35 | 15,34 | 13,63 |
| 08/2016 | 16,18 | 15,08 | 16,86 | 17,31 | 15,47 | 15,75 | 12,70 | 18,18 | 18,22 | 13,89 |
| 09/2016 | 11,48 | 9,44 | 13,70 | 11,50 | 11,28 | 11,02 | 7,88 | 13,88 | 13,83 | 8,50 |
| 10/2016 | 5,95 | 3,12 | 8,70 | 5,26 | 6,72 | 5,96 | 2,36 | 9,61 | 9,17 | 2,72 |
| 11/2016 | 1,58 | 0,04 | 3,67 | 0,99 | 1,61 | 1,48 | -0,00 | 2,93 | 3,03 | -0,05 |
| 12/2016 | 0,53 | 0,19 | 0,91 | 0,41 | 0,59 | 1,59 | -0,10 | 4,02 | 2,51 | -0,07 |
| 01/2017 | -0,62 | -1,28 | 0,20 | -1,33 | -0,08 | -0,16 | -1,13 | 1,58 | -0,40 | -0,70 |
| 02/2017 | -0,53 | -1,36 | 0,23 | -0,79 | -0,19 | -0,78 | -1,69 | -0,26 | -0,00 | -1,17 |
| 03/2017 | -0,16 | -0,80 | 0,60 | -0,36 | -0,08 | 0,66 | -0,78 | 1,41 | 2,72 | -0,72 |
| 04/2017 | 1,43 | -0,17 | 2,86 | -0,16 | 3,21 | 3,08 | -0,21 | 5,87 | 6,96 | -0,31 |
| 05/2017 | 4,51 | 2,58 | 5,65 | 3,32 | 6,50 | 5,00 | 1,44 | 6,81 | 7,29 | 4,46 |
| 06/2017 | 13,81 | 13,93 | 13,36 | 15,51 | 12,45 | 12,32 | 11,08 | 12,80 | 13,15 | 12,23 |
| 07/2017 | 14,25 | 14,06 | 14,08 | 15,52 | 13,34 | 13,31 | 12,53 | 13,79 | 14,15 | 12,77 |
| 08/2017 | 14,11 | 13,34 | 14,79 | 15,09 | 13,21 | 13,77 | 12,22 | 14,96 | 15,20 | 12,69 |
| 09/2017 | 8,24 | 5,85 | 10,99 | 7,91 | 8,21 | 7,60 | 5,06 | 10,24 | 9,87 | 5,25 |
| 10/2017 | 6,94 | 3,76 | 10,17 | 5,93 | 7,91 | 7,01 | 3,02 | 11,21 | 10,60 | 3,20 |
| 11/2017 | 0,92 | -0,30 | 3,71 | -1,45 | 1,72 | 0,76 | -1,52 | 3,40 | 2,48 | -1,30 |
| 12/2017 | -0,68 | -1,84 | 0,88 | -1,58 | -0,17 | -2,39 | -4,12 | -0,21 | -0,55 | -4,68 |
| 01/2018 | 0,08 | -0,20 | 0,99 | -0,29 | -0,18 | -0,75 | -1,80 | 0,08 | 0,15 | -1,44 |
| 02/2018 | -0,25 | -0,85 | 0,79 | -0,71 | -0,23 | -1,65 | -4,58 | 0,42 | 0,08 | -2,52 |
| 03/2018 | -0,20 | -0,66 | 0,61 | -0,58 | -0,15 | -1,25 | -3,15 | 0,35 | 0,05 | -2,26 |
| 04/2018 | -0,00 | -0,17 | 0,48 | -0,22 | -0,11 | -0,37 | -1,15 | 0,23 | 0,19 | -0,76 |
| 05/2018 | 2,61 | -0,04 | 1,16 | 5,45 | 3,86 | 2,35 | 0,53 | 2,39 | 4,64 | 1,84 |
| 06/2018 | 10,22 | 8,11 | 10,12 | 13,01 | 9,63 | 9,26 | 7,65 | 10,29 | 9,90 | 9,21 |
| 07/2018 | 14,52 | 14,72 | 14,48 | 16,26 | 12,63 | 13,88 | 12,80 | 14,59 | 14,70 | 13,43 |
| 08/2018 | 14,78 | 14,10 | 16,21 | 15,85 | 12,95 | 14,50 | 12,21 | 16,42 | 16,63 | 12,74 |
| 09/2018 | 12,03 | 9,87 | 14,41 | 12,16 | 11,66 | 11,67 | 8,39 | 14,87 | 14,67 | 8,73 |
| 10/2018 | 6,00 | 3,55 | 8,52 | 5,46 | 6,45 | 5,33 | 2,47 | 8,27 | 7,82 | 2,77 |
| 11/2018 | 1,28 | 0,40 | 2,37 | 0,77 | 1,56 | 0,65 | -0,08 | 1,47 | 1,48 | -0,27 |
| 12/2018 | 0,44 | 0,24 | 1,21 | -0,30 | 0,60 | 0,30 | -1,13 | 1,31 | 2,04 | -1,01 |
| 01/2019 | -1,29 | -0,68 | 0,29 | -4,00 | -0,76 | -2,91 | -5,30 | -0,31 | -0,32 | -5,71 |
| 02/2019 | -0,86 | -0,69 | 0,00 | -3,09 | 0,35 | -2,41 | -5,65 | 0,14 | 1,00 | -5,12 |
| 03/2019 | -0,07 | -0,31 | 0,79 | -0,68 | ND | 0,48 | -3,51 | 4,31 | 4,21 | -3,08 |
| 04/2019 | 0,39 | -0,13 | 0,85 | 0,45 | ND | 0,66 | -0,93 | 2,15 | 2,16 | -0,76 |
| 05/2019 | 2,52 | -0,03 | 5,22 | 2,38 | ND | 3,25 | 0,85 | 5,48 | 5,24 | 1,43 |
| 06/2019 | 10,85 | 9,58 | 10,78 | 12,20 | ND | 10,02 | 8,79 | 10,31 | 10,68 | 10,28 |
| 07/2019 | 15,88 | 16,95 | 16,16 | 17,89 | 12,54 | 15,26 | 14,18 | 16,04 | 16,36 | 14,46 |
| 08/2019 | 15,12 | 14,49 | 16,36 | 16,01 | 13,62 | 13,98 | 12,14 | 15,50 | 15,61 | 12,68 |
| 09/2019 | 10,77 | 8,66 | 13,18 | 10,60 | 10,64 | 10,00 | 7,42 | 12,67 | 12,34 | 7,57 |
| 10/2019 | 6,40 | 4,14 | 8,61 | 5,97 | 6,86 | 5,75 | 3,23 | 8,47 | 7,82 | 3,50 |
| 11/2019 | 1,38 | 0,80 | 2,62 | 0,57 | 1,54 | 0,59 | -0,40 | 1,52 | 1,26 | -0,00 |
| 12/2019 | 0,32 | 0,38 | 1,29 | -0,68 | 0,28 | -0,40 | -1,45 | 0,59 | 0,64 | -1,37 |
| 01/2020 | -0,06 | 0,33 | 0,83 | -1,46 | 0,06 | -0,84 | -1,49 | 0,45 | 0,49 | -2,82 |
| 02/2020 | 0,12 | 0,26 | 0,65 | -0,54 | ND | -0,17 | -0,68 | 0,40 | 0,41 | -0,82 |
| 03/2020 | 0,12 | 0,21 | 0,65 | -0,50 | ND | -0,09 | -0,40 | 0,33 | 0,29 | -0,56 |

| | | | | | | | | | | |
|---------|-------|-------|-------|-------|-------|-------|-------|-------|-------|-------|
| 04/2020 | 1,42 | 0,20 | 3,49 | 0,56 | ND | 0,89 | -0,24 | 1,79 | 2,22 | -0,23 |
| 05/2020 | 6,74 | 2,01 | 9,35 | 8,86 | ND | 5,44 | 2,65 | 7,45 | 7,39 | 4,26 |
| 06/2020 | 10,03 | 9,19 | 10,77 | 10,13 | ND | 7,90 | 7,06 | 8,76 | 8,15 | 7,64 |
| 07/2020 | 17,35 | ND | 16,74 | 17,95 | ND | 15,57 | 14,26 | 16,86 | 16,51 | 14,66 |
| 08/2020 | 18,08 | ND | 16,64 | 19,53 | ND | 13,67 | 12,45 | 15,97 | ND | 12,60 |
| 09/2020 | 12,25 | ND | 12,25 | ND | ND | 9,42 | 6,86 | 12,06 | 11,85 | 6,92 |
| 10/2020 | 2,34 | 1,17 | 2,54 | 2,58 | 3,06 | 2,27 | 0,77 | 3,39 | 4,16 | 0,78 |
| 11/2020 | 1,60 | 0,06 | 2,67 | 1,34 | 2,33 | 2,52 | -0,15 | 5,00 | 5,15 | 0,07 |
| 12/2020 | -0,53 | -1,02 | 0,11 | -1,37 | 0,15 | -1,33 | -2,45 | 0,23 | -0,08 | -3,00 |
| 01/2021 | -1,27 | -0,39 | -0,08 | -3,90 | -0,72 | 0,27 | -5,15 | 0,56 | 11,85 | -6,18 |
| 02/2021 | -0,32 | -0,12 | -0,29 | -0,73 | -0,12 | -1,10 | -2,28 | 0,37 | 0,02 | -2,50 |
| 03/2021 | -0,21 | 0,05 | -0,31 | -0,57 | 0,00 | -0,88 | -1,60 | 0,31 | 0,43 | -2,65 |
| 04/2021 | 0,91 | 0,10 | 1,88 | -0,21 | 1,86 | 0,79 | -0,51 | 1,61 | 3,32 | -1,25 |
| 05/2021 | 3,41 | 0,04 | 4,72 | 4,20 | 4,70 | 2,88 | 0,81 | 4,23 | 4,46 | 2,02 |
| 06/2021 | 10,43 | 10,08 | 9,91 | 12,14 | 9,60 | 9,32 | 8,06 | 9,87 | 9,92 | 9,42 |
| 07/2021 | 14,72 | 14,86 | 13,89 | 16,65 | 13,47 | 12,71 | 11,85 | 13,62 | 13,33 | 12,03 |
| 08/2021 | 15,76 | 15,02 | 15,89 | 17,08 | 15,03 | 14,27 | 12,20 | 16,44 | 16,18 | 12,27 |
| 09/2021 | 9,90 | 9,03 | 10,35 | 10,21 | 10,02 | 9,44 | 7,88 | 10,77 | 11,02 | 8,10 |
| 10/2021 | 5,29 | 2,51 | 7,27 | 5,18 | 6,18 | 5,99 | 1,86 | 10,09 | 10,09 | 1,90 |
| 11/2021 | 0,49 | -1,02 | 1,54 | -0,34 | 1,76 | 0,53 | -1,46 | 2,43 | 2,48 | -1,33 |
| 12/2021 | -0,20 | -0,78 | 0,38 | -1,20 | 0,80 | -0,76 | -2,33 | 0,74 | 1,19 | -2,65 |
| 01/2022 | -1,00 | -0,59 | -0,02 | -3,31 | -0,08 | -2,43 | -5,01 | 0,57 | 0,23 | -5,50 |
| 02/2022 | -0,76 | -0,81 | -0,13 | -1,40 | -0,71 | -1,68 | -4,06 | 0,50 | 0,83 | -4,00 |
| 03/2022 | -0,42 | -0,41 | -0,18 | -0,90 | -0,20 | -1,11 | -2,48 | 0,34 | 0,35 | -2,64 |
| 04/2022 | 0,14 | -0,10 | 0,12 | -0,19 | 0,74 | 0,10 | -1,04 | 0,29 | 2,40 | -1,23 |
| 05/2022 | 6,62 | 2,87 | 7,71 | 7,23 | 8,67 | 6,13 | 2,56 | 8,52 | 8,94 | 4,51 |
| 06/2022 | 13,04 | 13,05 | 12,24 | 14,78 | 12,09 | 12,04 | 10,90 | 12,73 | 12,54 | 11,97 |
| 07/2022 | 18,02 | 18,26 | 16,78 | 20,20 | 16,82 | 16,73 | 15,47 | 17,90 | 17,42 | 16,14 |
| 08/2022 | 15,38 | 14,33 | 15,94 | 16,61 | 14,63 | 14,37 | 12,30 | 16,38 | 16,24 | 12,57 |
| 09/2022 | 10,17 | 8,58 | 11,27 | 10,56 | 10,28 | 9,65 | 7,44 | 12,04 | 11,89 | 7,23 |
| 10/2022 | 6,97 | 5,54 | 7,93 | 7,11 | 7,31 | 6,48 | 4,31 | 8,51 | 8,67 | 4,45 |
| 11/2022 | 1,72 | 0,78 | 2,54 | 1,32 | 2,23 | 1,48 | 0,31 | 2,73 | 2,79 | 0,08 |
| 12/2022 | 0,29 | -0,06 | 0,75 | -0,35 | 0,84 | -0,15 | -0,36 | 0,44 | 0,33 | -1,02 |
| 01/2023 | -0,22 | 0,22 | 0,25 | -0,73 | -0,62 | -2,14 | -1,46 | -0,74 | -1,09 | -5,26 |
| 02/2023 | -0,86 | 0,32 | 0,01 | -2,14 | -1,65 | -2,12 | -4,58 | 0,85 | 1,79 | -6,56 |
| 03/2023 | 0,24 | 0,13 | 0,67 | -0,06 | 0,21 | -0,41 | -2,43 | 1,58 | 2,03 | -2,83 |
| 04/2023 | 2,00 | 0,04 | 2,56 | 3,17 | 2,22 | 2,01 | -0,60 | 4,47 | 4,83 | -0,67 |
| 05/2023 | 5,32 | 3,92 | 6,11 | 6,06 | 5,17 | 3,98 | 1,97 | 5,65 | 5,75 | 2,52 |
| 06/2023 | 11,00 | 11,24 | 10,21 | 12,07 | 10,47 | 9,38 | 8,71 | 9,74 | 9,65 | 9,42 |
| 07/2023 | 16,25 | 16,31 | 15,20 | 18,13 | 15,36 | 14,69 | 13,96 | 15,41 | 15,29 | 14,12 |
| 08/2023 | 15,53 | 14,21 | 15,76 | 16,89 | 15,24 | 14,20 | 11,76 | 16,44 | 16,46 | 12,15 |
| 09/2023 | 10,93 | 10,61 | 10,77 | 11,08 | 11,26 | 10,14 | 8,10 | 12,08 | 12,32 | 8,08 |
| 10/2023 | 7,96 | 8,19 | 8,37 | 7,34 | N/D | 7,28 | 4,21 | 10,25 | 10,33 | 4,31 |
| 11/2023 | 1,52 | 1,97 | 1,20 | 1,39 | N/D | 1,36 | 0,01 | 2,49 | 2,87 | 0,10 |
| 12/2023 | 0,12 | 0,69 | 0,29 | 0,63 | N/D | 0,08 | 1,26 | 1,42 | 1,51 | 1,35 |
| 01/2024 | 0,38 | 0,25 | 0,04 | 1,35 | N/D | 0,95 | 2,87 | 1,29 | 0,94 | 3,17 |
| 02/2024 | 0,23 | 0,44 | 0,35 | 0,11 | N/D | 0,09 | 2,88 | 2,50 | 2,90 | 2,87 |
| 03/2024 | 0,27 | 1,55 | 0,19 | 0,54 | N/D | 0,54 | 2,39 | 0,34 | 2,16 | 2,28 |
| 04/2024 | 0,81 | 2,92 | 0,39 | 0,12 | N/D | 1,38 | 0,59 | 3,55 | 3,75 | 1,20 |
| 05/2024 | 3,28 | 5,00 | 2,57 | 2,28 | N/D | 2,87 | 0,13 | 4,89 | 4,96 | 1,75 |

| | | | | | | | | | | |
|----------------|--|----------|----------|----------|----------|-----------------------------------|----------|----------|----------|----------|
| 06/2024 | 11,55 | 11,16 | 10,43 | 13,04 | N/D | 9,72 | 7,85 | 10,82 | 10,46 | 9,76 |
| 07/2024 | 15,67 | 14,88 | 14,29 | 17,83 | N/D | 14,42 | 13,59 | 15,43 | 14,85 | 13,80 |
| 08/2024 | 15,80 | 15,11 | 15,07 | 17,23 | N/D | 15,57 | 13,51 | 17,78 | 17,45 | 13,52 |
| 09/2024 | 9,24 | 9,63 | 9,17 | 8,92 | N/D | 8,10 | 6,37 | 9,89 | 9,95 | 6,20 |
| MES | MED | N | S | E | W | MED | N | S | E | W |
| T °C | Punta de las Tres Güegas (2302 m) | | | | | Vértice de Anayet (2555 m) | | | | |

| T °C | Bacías (2731 m) | | | | | Robiñera, Morrón de Sobresplucas (2827 m) | | | | | |
|----------------|-----------------|--------------|--------------|--------------|--------------|---|--------------|--------------|--------------|--------------|---|
| | MES | MED | N | S | E | W | MED | N | S | E | W |
| 09/2011 | 9,67 | 7,42 | 12,60 | 12,36 | 6,30 | 8,86 | -7,94 | 9,75 | 7,36 | 10,41 | |
| 10/2011 | 4,92 | 1,73 | 8,63 | 8,14 | 1,18 | 3,91 | 1,34 | 6,52 | 1,27 | 6,51 | |
| 11/2011 | 0,58 | 0,20 | 1,32 | 0,58 | 0,22 | 0,54 | 0,20 | 1,04 | 0,31 | 0,59 | |
| 12/2011 | -0,77 | -1,16 | 0,27 | -0,40 | -1,78 | 0,29 | 0,13 | 0,57 | 0,13 | 0,31 | |
| 01/2012 | -2,50 | -4,81 | -0,15 | -0,49 | -4,57 | -0,53 | -0,60 | -0,77 | -0,85 | 0,11 | |
| 02/2012 | -6,58 | -8,84 | -4,45 | -3,48 | -9,56 | -3,01 | -2,97 | -4,24 | -4,36 | -0,47 | |
| 03/2012 | -2,23 | -4,84 | 0,85 | 0,29 | -5,23 | -2,27 | -3,09 | -1,63 | -4,17 | -0,20 | |
| 04/2012 | -1,45 | -3,01 | 0,51 | 0,10 | -3,39 | -1,34 | -1,83 | -0,51 | -2,86 | -0,16 | |
| 05/2012 | 1,30 | 0,21 | 2,09 | 3,37 | -0,46 | -0,20 | -0,56 | 1,27 | -1,36 | -0,15 | |
| 06/2012 | 9,84 | 9,18 | 11,29 | 11,05 | 7,85 | 5,77 | 5,82 | 8,08 | 2,19 | 6,99 | |
| 07/2012 | 12,43 | 11,65 | 14,27 | 13,83 | 9,96 | 11,91 | 13,34 | 10,94 | 11,57 | 11,78 | |
| 08/2012 | 12,90 | 11,53 | 15,24 | 14,74 | 10,11 | 13,06 | 13,71 | 12,75 | 12,24 | 13,55 | |
| 09/2012 | 7,95 | 5,38 | 11,20 | 10,72 | 4,51 | 6,40 | 5,86 | 7,11 | 5,19 | 7,45 | |
| 10/2012 | 3,54 | 1,73 | 5,65 | 5,41 | 1,37 | 2,95 | 2,08 | 3,72 | 2,12 | 3,88 | |
| 11/2012 | -0,11 | -0,58 | 0,71 | 0,21 | -0,79 | -0,45 | -0,99 | -0,46 | -0,52 | 0,16 | |
| 12/2012 | -1,98 | -2,90 | -0,57 | -0,05 | -4,39 | -3,35 | -5,26 | -3,40 | -4,50 | -0,23 | |
| 01/2013 | -2,40 | -4,55 | 0,07 | -0,00 | -5,11 | -3,44 | -5,37 | -2,28 | -5,90 | -0,22 | |
| 02/2013 | -3,58 | -6,85 | 0,17 | 0,02 | -7,65 | -5,20 | -7,57 | -4,30 | -8,75 | -0,19 | |
| 03/2013 | -2,60 | -5,12 | 0,15 | 0,01 | -5,42 | -3,52 | -5,62 | -3,27 | -5,01 | -0,19 | |
| 04/2013 | -0,81 | -1,43 | 0,10 | 0,01 | -1,91 | -1,55 | -2,40 | -0,82 | -2,79 | -0,18 | |
| 05/2013 | -0,07 | -0,06 | 0,02 | -0,01 | -0,23 | -0,32 | -0,44 | -0,13 | -0,53 | -0,16 | |
| 06/2013 | 2,42 | 2,80 | 2,40 | 2,66 | 1,81 | 0,58 | -0,21 | 2,90 | -0,19 | -0,16 | |
| 07/2013 | 10,99 | 10,01 | 12,67 | 12,75 | 8,53 | 8,10 | 8,25 | 9,92 | 9,16 | 5,10 | |
| 08/2013 | 11,79 | 10,22 | 14,07 | 14,04 | 8,84 | 11,28 | 11,98 | 11,17 | 10,23 | 11,73 | |
| 09/2013 | 8,32 | 6,05 | 11,27 | 11,13 | 4,82 | 7,78 | 6,56 | 9,18 | 5,50 | 9,89 | |
| 10/2013 | 3,52 | 1,87 | 5,46 | 5,36 | 1,39 | 3,66 | 3,09 | 4,06 | 2,54 | 4,95 | |
| 11/2013 | -1,00 | -3,32 | 1,46 | 0,73 | -2,87 | 0,04 | -0,48 | -0,26 | -0,10 | 1,00 | |
| 12/2013 | -2,93 | -6,19 | 0,48 | -0,64 | -5,39 | -3,41 | -4,30 | -3,41 | -4,49 | -1,46 | |
| 01/2014 | -1,63 | -3,35 | 0,31 | -0,32 | -3,17 | -2,37 | -2,27 | -3,96 | -2,40 | -0,87 | |
| 02/2014 | -2,21 | -4,73 | 0,23 | -0,20 | -4,15 | -2,28 | -1,48 | -4,80 | -2,02 | -0,80 | |
| 03/2014 | -2,47 | -5,15 | 0,17 | -0,14 | -4,75 | -1,61 | -1,29 | -2,83 | -1,78 | -0,53 | |
| 04/2014 | -0,54 | -0,79 | 0,08 | -0,07 | -1,37 | -0,74 | -0,67 | -0,64 | -1,46 | -0,19 | |
| 05/2014 | 0,14 | 0,77 | 0,02 | -0,06 | -0,17 | 0,27 | -0,15 | 1,67 | -0,26 | -0,19 | |
| 06/2014 | 4,31 | 4,84 | 5,07 | 4,49 | 2,84 | 2,03 | -0,14 | 3,76 | -0,12 | 4,60 | |
| 07/2014 | 8,87 | 9,11 | 10,07 | 9,92 | 6,38 | 4,13 | -0,13 | 7,32 | -0,11 | 9,45 | |
| 08/2014 | 9,29 | 8,88 | 10,80 | 10,84 | 6,62 | 6,67 | 4,96 | 7,19 | 5,64 | 8,88 | |
| 09/2014 | 7,86 | 6,91 | 9,70 | 9,59 | 5,23 | 7,22 | 7,41 | 7,11 | 5,62 | 8,72 | |
| 10/2014 | 4,18 | 2,55 | 6,11 | 6,21 | 1,83 | 3,21 | 2,48 | 3,70 | 2,07 | 4,61 | |
| 11/2014 | 0,87 | -0,11 | 1,92 | 1,59 | 0,08 | 0,63 | -0,30 | 1,06 | -0,16 | 1,93 | |
| 12/2014 | -0,52 | -0,76 | 0,46 | -0,50 | -1,29 | 0,06 | -0,09 | 0,23 | -0,12 | 0,25 | |

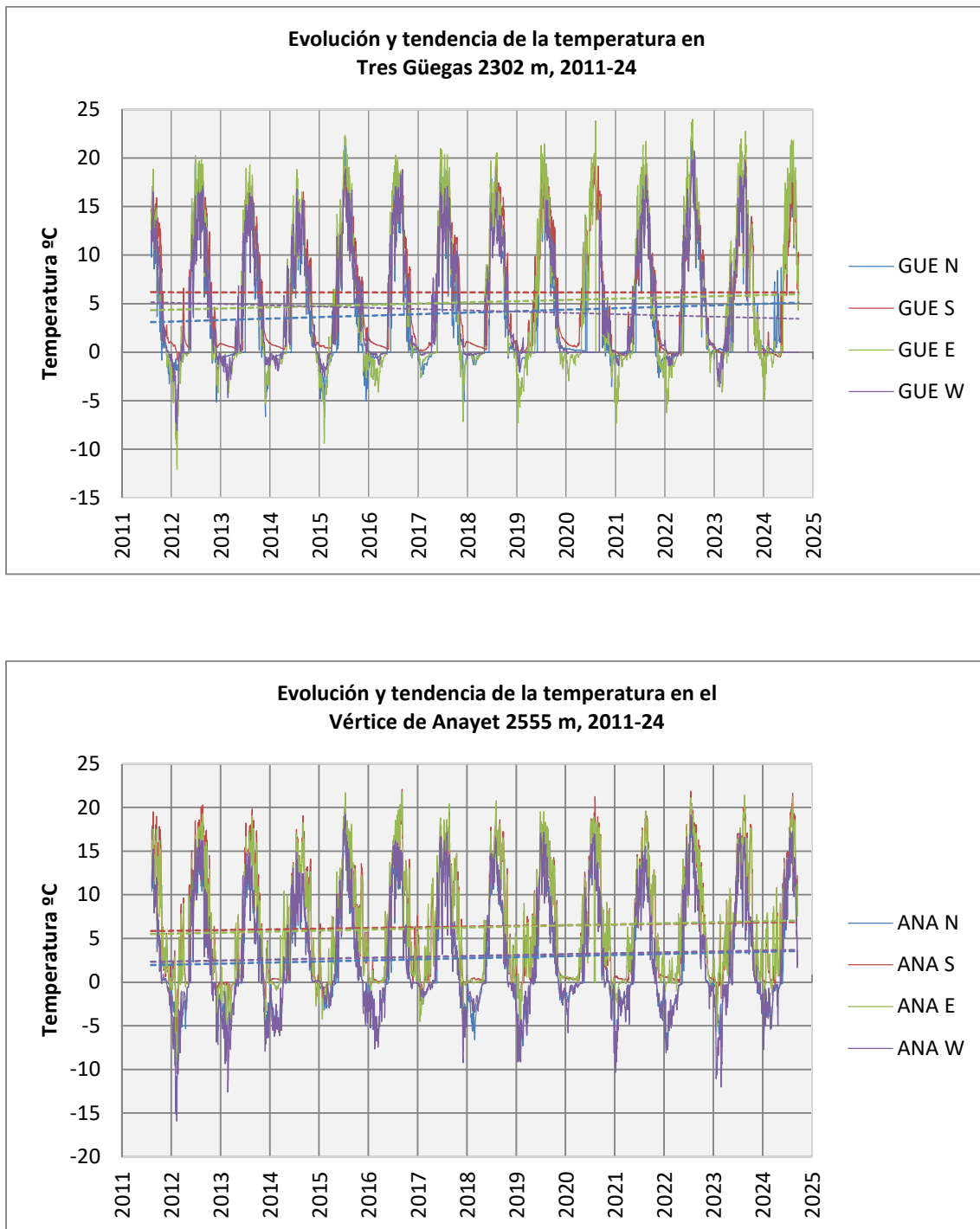
| | | | | | | | | | | |
|---------|-------|-------|-------|-------|-------|-------|-------|-------|-------|-------|
| 01/2015 | -2,81 | -3,78 | -0,74 | -2,40 | -4,35 | -0,28 | -0,52 | -0,06 | -0,64 | 0,11 |
| 02/2015 | -4,15 | -6,65 | -1,19 | -2,32 | -6,42 | -1,16 | -1,56 | -0,89 | -2,17 | 0,00 |
| 03/2015 | -2,01 | -3,44 | -0,39 | -0,71 | -3,51 | -1,08 | -1,23 | -0,50 | -2,56 | -0,03 |
| 04/2015 | -0,14 | -0,63 | 0,88 | -0,04 | -0,76 | -0,52 | -0,71 | -0,13 | -1,20 | -0,05 |
| 05/2015 | 4,30 | 4,19 | 5,78 | 5,23 | 2,02 | 0,38 | -0,18 | 2,03 | -0,21 | -0,11 |
| 06/2015 | 8,63 | 8,59 | 10,03 | 9,92 | 5,97 | 4,60 | 6,36 | 5,68 | 3,01 | 3,37 |
| 07/2015 | 14,49 | 14,41 | 15,94 | 15,58 | 12,03 | 14,37 | 16,83 | 12,69 | 13,11 | 14,85 |
| 08/2015 | 11,36 | 10,08 | 13,15 | 13,14 | 9,09 | 10,28 | 11,20 | 9,86 | 9,65 | 10,41 |
| 09/2015 | 6,60 | 4,36 | 9,33 | 9,06 | 3,65 | 5,25 | 4,95 | 5,86 | 4,18 | 5,99 |
| 10/2015 | 2,96 | 0,80 | 5,40 | 5,09 | 0,54 | 2,20 | 0,90 | 3,42 | 1,02 | 3,47 |
| 11/2015 | 2,04 | -0,46 | 4,28 | 4,49 | -0,14 | 1,37 | 0,08 | 2,10 | 0,25 | 3,04 |
| 12/2015 | -0,83 | -3,04 | 0,94 | 0,47 | -1,71 | -0,53 | -0,96 | -0,06 | -0,64 | -0,46 |
| 01/2016 | -1,14 | -2,90 | 0,59 | 0,02 | -2,26 | -1,00 | -0,64 | -2,11 | -0,70 | -0,55 |
| 02/2016 | -2,01 | -4,22 | 0,45 | 0,10 | -4,36 | -1,10 | -0,43 | -2,81 | -0,77 | -0,40 |
| 03/2016 | -2,30 | -4,75 | 0,35 | 0,14 | -4,92 | -1,51 | -0,59 | -3,53 | -1,53 | -0,39 |
| 04/2016 | -0,96 | -2,09 | 0,23 | 0,11 | -2,08 | -0,80 | -0,50 | -1,18 | -1,25 | -0,25 |
| 05/2016 | -0,32 | -0,72 | 0,06 | 0,05 | -0,65 | -0,36 | -0,30 | -0,19 | -0,77 | -0,18 |
| 06/2016 | 3,84 | 4,52 | 3,83 | 3,21 | 3,82 | 2,11 | -0,14 | 5,54 | -0,14 | 3,18 |
| 07/2016 | 12,69 | 11,75 | 14,24 | 14,21 | 10,54 | 8,20 | 4,57 | 11,72 | 4,16 | 12,34 |
| 08/2016 | 13,94 | 12,15 | 16,66 | 16,15 | 10,80 | 12,85 | 12,61 | 13,56 | 10,83 | 14,41 |
| 09/2016 | 9,20 | 6,74 | 12,36 | 11,79 | 5,90 | 8,29 | 7,83 | 9,17 | 6,88 | 9,28 |
| 10/2016 | 3,91 | 1,28 | 6,81 | 6,36 | 1,17 | 2,91 | 1,65 | 4,20 | 1,62 | 4,16 |
| 11/2016 | 0,62 | -0,75 | 2,21 | 1,94 | -0,93 | 0,31 | -0,85 | 1,02 | -0,28 | 1,35 |
| 12/2016 | -0,05 | -0,26 | 0,62 | -0,02 | -0,54 | 0,02 | -0,32 | 0,20 | -0,06 | 0,27 |
| 01/2017 | -1,42 | -0,82 | -0,98 | -2,03 | -1,86 | -0,29 | -0,71 | 0,22 | -0,52 | -0,16 |
| 02/2017 | -1,36 | -1,61 | -0,76 | -0,79 | -2,28 | -0,54 | -0,85 | 0,04 | -1,01 | -0,35 |
| 03/2017 | -0,72 | -1,22 | -0,18 | -0,06 | -1,41 | -0,32 | -0,41 | 0,08 | -0,79 | -0,17 |
| 04/2017 | 0,24 | -0,35 | -0,09 | 1,83 | -0,41 | -0,14 | -0,20 | 0,06 | -0,31 | -0,11 |
| 05/2017 | 1,96 | -0,08 | 2,84 | 5,18 | -0,12 | 1,75 | -0,14 | 3,87 | -0,13 | 3,39 |
| 06/2017 | 10,71 | 9,78 | 12,96 | 12,76 | 7,33 | 4,89 | -0,12 | 9,69 | -0,13 | 10,12 |
| 07/2017 | 12,30 | 11,67 | 13,73 | 13,34 | 10,45 | 9,92 | 8,29 | 10,66 | 9,18 | 11,55 |
| 08/2017 | 12,22 | 11,20 | 14,04 | 13,48 | 10,16 | 11,78 | 12,17 | 11,71 | 10,84 | 12,42 |
| 09/2017 | 6,51 | 4,15 | 9,33 | 9,17 | 3,42 | 5,75 | 4,78 | 6,89 | 4,15 | 7,17 |
| 10/2017 | 5,31 | 2,00 | 8,60 | 8,91 | 1,74 | 4,48 | 1,71 | 6,91 | 1,89 | 7,40 |
| 11/2017 | -0,83 | -3,29 | 2,04 | 1,21 | -3,28 | -1,32 | -3,63 | -0,05 | -2,90 | 1,31 |
| 12/2017 | -2,97 | -6,04 | 0,11 | -0,08 | -5,86 | -3,96 | -6,25 | -3,42 | -5,51 | -0,65 |
| 01/2018 | -2,38 | -5,35 | 0,34 | -0,04 | -4,46 | -2,67 | -3,09 | -2,55 | -4,70 | -0,33 |
| 02/2018 | -3,66 | -7,50 | 0,35 | -0,09 | -7,41 | -4,31 | -3,91 | -5,31 | -7,73 | -0,28 |
| 03/2018 | -2,39 | -4,81 | 0,27 | -0,10 | -4,93 | -3,10 | -3,35 | -3,71 | -5,11 | -0,22 |
| 04/2018 | -1,05 | -2,08 | 0,16 | -0,06 | -2,22 | -1,79 | -2,12 | -1,43 | -3,41 | -0,19 |
| 05/2018 | -0,07 | -0,08 | 0,02 | -0,04 | -0,19 | -0,81 | -0,87 | -0,14 | -2,09 | -0,15 |
| 06/2018 | 6,23 | 6,02 | 5,74 | 7,90 | 5,25 | 1,89 | -0,15 | 5,76 | -0,13 | 2,09 |
| 07/2018 | 11,62 | 10,70 | 13,47 | 12,94 | 9,37 | 6,88 | 5,00 | 10,40 | 1,84 | 10,27 |
| 08/2018 | 12,07 | 10,28 | 14,65 | 14,06 | 9,29 | 10,52 | 10,77 | 11,11 | 8,63 | 11,55 |
| 09/2018 | 9,68 | 6,97 | 12,97 | 12,55 | 6,21 | 8,52 | 7,89 | 9,60 | 6,58 | 10,03 |
| 10/2018 | 3,49 | 1,15 | 6,10 | 5,73 | 0,97 | 2,41 | 0,84 | 3,91 | 0,99 | 3,89 |
| 11/2018 | 0,08 | -0,63 | 1,11 | 0,35 | -0,52 | -0,33 | -1,04 | 0,27 | -0,82 | 0,26 |
| 12/2018 | -0,43 | -1,24 | 0,55 | 0,02 | -1,06 | -0,62 | -1,15 | 0,17 | -1,69 | 0,18 |
| 01/2019 | -3,73 | -5,34 | -1,25 | -2,39 | -5,94 | -4,24 | -6,99 | -3,13 | -6,53 | -0,32 |
| 02/2019 | -4,23 | -6,14 | -0,54 | ND | -6,02 | -3,36 | -4,70 | -2,85 | -5,45 | -0,43 |

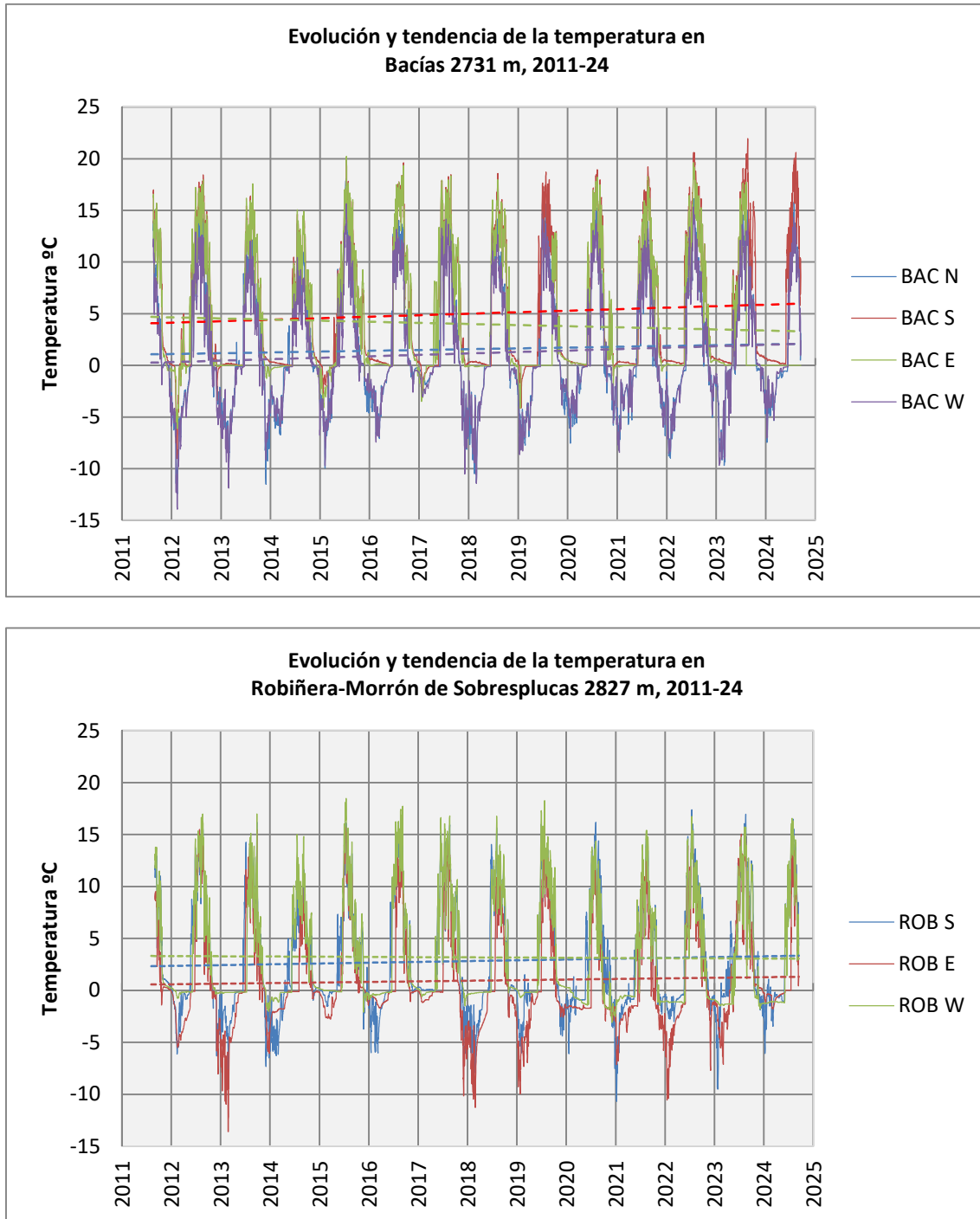
| | | | | | | | | | | |
|---------|-------|-------|-------|-------|-------|-------|-------|-------|-------|-------|
| 03/2019 | -3,30 | -4,90 | -0,10 | ND | -4,91 | -2,41 | -4,97 | -0,27 | -4,20 | -0,18 |
| 04/2019 | -1,22 | -1,70 | -0,08 | ND | -1,88 | -1,17 | -2,56 | -0,27 | -1,68 | -0,17 |
| 05/2019 | 0,32 | -0,11 | 1,28 | ND | -0,19 | -0,56 | -0,93 | -0,13 | -1,04 | -0,16 |
| 06/2019 | 6,77 | 6,15 | 9,64 | ND | 4,50 | 3,49 | 0,88 | 6,52 | -0,16 | 6,74 |
| 07/2019 | 13,23 | 12,86 | 15,44 | ND | 11,39 | 12,81 | 13,64 | 12,84 | 10,75 | 14,01 |
| 08/2019 | 11,67 | 10,67 | 14,69 | ND | 9,64 | 11,42 | 11,99 | 11,33 | 10,35 | 12,02 |
| 09/2019 | 8,37 | 6,43 | 11,01 | 10,28 | 5,78 | 7,64 | 7,00 | 8,36 | 5,39 | 9,80 |
| 10/2019 | 4,10 | 2,35 | 6,01 | 5,93 | 2,12 | 2,92 | 2,34 | 3,67 | 0,72 | 4,95 |
| 11/2019 | -0,11 | -1,32 | 1,31 | 1,14 | -1,57 | -0,75 | -0,37 | -1,57 | -1,58 | 0,53 |
| 12/2019 | -1,03 | -3,28 | 0,63 | 0,60 | -2,05 | -1,07 | -0,58 | -2,23 | -1,83 | 0,35 |
| 01/2020 | -1,99 | -4,69 | 0,39 | 0,35 | -4,03 | -0,93 | -0,41 | -1,96 | -1,58 | 0,25 |
| 02/2020 | -1,86 | -4,24 | 0,27 | 0,23 | -3,68 | -0,75 | -0,37 | -0,73 | -1,58 | -0,30 |
| 03/2020 | -0,90 | -2,14 | 0,20 | 0,20 | -1,87 | -0,91 | -0,26 | -1,00 | -1,64 | -0,74 |
| 04/2020 | -0,28 | -0,71 | 0,12 | 0,14 | -0,69 | -0,95 | -0,12 | -0,92 | -1,77 | -0,97 |
| 05/2020 | 1,61 | 1,51 | 1,33 | 2,75 | 0,86 | -0,44 | -0,09 | 1,29 | -1,67 | -1,28 |
| 06/2020 | 6,88 | 5,88 | 8,44 | 8,15 | 5,06 | 1,26 | -0,11 | 4,56 | -1,70 | 2,30 |
| 07/2020 | 13,82 | 12,96 | 15,46 | 15,19 | 11,67 | 10,53 | 11,51 | 11,53 | 8,40 | 10,66 |
| 08/2020 | 12,34 | 10,85 | 14,56 | 14,02 | 9,94 | 10,07 | 11,63 | 11,06 | 8,57 | 9,02 |
| 09/2020 | 7,19 | 4,36 | 10,17 | 9,51 | 4,70 | 5,48 | 5,88 | 7,39 | 3,59 | 5,05 |
| 10/2020 | 0,38 | -0,77 | 1,18 | 1,23 | -0,13 | -0,23 | 0,30 | 1,51 | -1,42 | -1,30 |
| 11/2020 | 0,70 | -1,63 | 2,56 | 2,84 | -0,96 | -0,56 | -0,13 | 0,84 | -1,73 | -1,23 |
| 12/2020 | -1,78 | -3,45 | 0,06 | -0,27 | -3,47 | -2,01 | -0,48 | -3,19 | -2,35 | -2,02 |
| 01/2021 | -2,81 | -5,54 | 0,34 | -0,08 | -5,94 | -3,28 | -0,99 | -6,01 | -5,08 | -1,04 |
| 02/2021 | -1,97 | -3,09 | 0,30 | ND | -3,12 | -1,48 | -0,46 | -2,05 | -2,78 | -0,64 |
| 03/2021 | -1,26 | -2,75 | 0,27 | 0,01 | -2,57 | -1,18 | -0,34 | -1,05 | -2,79 | -0,52 |
| 04/2021 | -0,91 | -1,93 | 0,16 | 0,03 | -1,88 | -0,82 | -0,16 | -0,72 | -1,87 | -0,53 |
| 05/2021 | 0,38 | 0,58 | 0,12 | 0,14 | 0,67 | -0,06 | -0,10 | 0,92 | -1,52 | 0,46 |
| 06/2021 | 7,32 | 6,41 | 8,28 | 8,47 | 6,10 | 2,68 | -0,08 | 4,97 | 1,18 | 4,66 |
| 07/2021 | 11,60 | 9,95 | 13,87 | 13,07 | 9,52 | 9,45 | 10,97 | 8,86 | 8,53 | 9,46 |
| 08/2021 | 12,76 | 10,30 | 15,79 | 14,99 | 9,96 | 10,78 | 11,76 | 10,91 | 8,86 | 11,58 |
| 09/2021 | 7,33 | 5,25 | 9,43 | 9,18 | 5,45 | 6,30 | 6,86 | 6,59 | 4,56 | 7,19 |
| 10/2021 | 4,03 | 0,55 | 7,37 | 7,55 | 0,67 | 2,93 | 1,08 | 5,42 | -0,30 | 5,52 |
| 11/2021 | -0,75 | -2,36 | 1,11 | 0,60 | -2,33 | -1,33 | -1,96 | -0,49 | -2,30 | -0,58 |
| 12/2021 | -1,86 | -3,85 | 0,48 | -0,06 | -4,03 | -1,86 | -1,88 | -0,99 | -3,48 | -1,08 |
| 01/2022 | -3,01 | -6,16 | 0,43 | 0,10 | -6,40 | -2,71 | -1,15 | -1,46 | -7,19 | -1,06 |
| 02/2022 | -2,55 | -5,24 | 0,38 | 0,03 | -5,36 | -3,03 | -4,19 | -1,86 | -4,93 | -1,13 |
| 03/2022 | -1,39 | -2,84 | 0,28 | 0,03 | -3,04 | -2,07 | -2,59 | -1,41 | -3,16 | -1,10 |
| 04/2022 | -0,89 | -1,74 | 0,20 | 0,00 | -2,00 | -1,32 | -1,20 | -0,67 | -2,31 | -1,10 |
| 05/2022 | 4,11 | 1,30 | 7,29 | 5,93 | 1,92 | -0,22 | -0,28 | 0,92 | -1,32 | -0,19 |
| 06/2022 | 10,30 | 9,11 | 12,04 | 11,31 | 8,74 | 8,75 | 9,92 | 8,75 | 8,10 | 8,25 |
| 07/2022 | 14,63 | 12,90 | 17,12 | 16,24 | 12,25 | 13,26 | 15,02 | 13,22 | 12,08 | 12,74 |
| 08/2022 | 12,65 | 10,04 | 15,76 | 15,12 | 9,69 | 10,55 | 12,01 | 11,02 | 9,17 | 10,00 |
| 09/2022 | 8,29 | 5,50 | 11,33 | 10,88 | 5,45 | 6,38 | 6,92 | 7,03 | 5,12 | 6,44 |
| 10/2022 | 4,97 | 2,67 | 7,30 | 7,12 | 2,76 | 3,61 | 3,19 | 4,73 | 2,56 | 3,94 |
| 11/2022 | 0,36 | -1,02 | 1,88 | 1,51 | -0,91 | -0,36 | -0,18 | 0,10 | -0,82 | -0,53 |
| 12/2022 | -0,79 | -2,26 | 0,72 | 0,49 | -2,10 | -1,18 | -0,43 | -1,08 | -2,35 | -0,87 |
| 01/2023 | -2,18 | -4,68 | 0,56 | 0,40 | -4,99 | -1,90 | -0,26 | -4,58 | -1,73 | -1,05 |
| 02/2023 | -3,30 | -7,05 | 0,44 | 0,24 | -6,83 | -1,97 | -0,42 | -1,73 | -4,36 | -1,36 |
| 03/2023 | -1,55 | -3,31 | 0,32 | 0,04 | -3,24 | -1,38 | -0,48 | -0,14 | -3,56 | -1,36 |
| 04/2023 | -0,53 | -1,17 | 0,58 | 0,23 | -1,78 | -0,56 | -0,25 | 0,99 | -1,67 | -1,31 |

| | | | | | | | | | | |
|----------------|------------------------|-------------|----------|----------|-------------|--|--------------|-------------|-------------|-------------|
| 05/2023 | 3,77 | 2,19 | 5,89 | 5,17 | 1,82 | 0,82 | -0,17 | 2,70 | 0,65 | 0,11 |
| 06/2023 | 8,36 | 7,27 | 9,91 | 9,49 | 6,76 | 5,88 | 5,13 | 6,40 | 6,36 | 5,64 |
| 07/2023 | 13,41 | 11,97 | 15,83 | 14,84 | 10,99 | 11,93 | 13,89 | 11,22 | 11,43 | 11,18 |
| 08/2023 | 13,22 | 10,80 | 16,83 | 15,18 | 10,08 | 10,63 | 8,37 | 12,38 | 10,46 | 11,30 |
| 09/2023 | 7,99 | 6,39 | 11,32 | N/D | 6,27 | 8,58 | 7,88 | 9,75 | 7,99 | 8,69 |
| 10/2023 | 7,99 | 6,39 | 11,32 | N/D | 6,27 | 7,65 | 7,88 | 8,60 | 6,36 | 7,76 |
| 11/2023 | 4,82 | 2,86 | 8,50 | N/D | 3,08 | 4,79 | N/D | 6,16 | 2,85 | 5,36 |
| 12/2023 | 0,02 | 0,56 | 1,04 | N/D | 0,42 | 0,12 | N/D | 0,40 | 0,46 | 0,50 |
| 01/2024 | 1,03 | 1,96 | 0,79 | N/D | 1,91 | 0,81 | N/D | 1,20 | 0,08 | 1,32 |
| 02/2024 | 2,26 | 3,92 | 0,57 | N/D | 3,42 | 1,37 | N/D | 2,29 | 0,59 | 1,23 |
| 03/2024 | 2,12 | 3,74 | 0,46 | N/D | 3,08 | 0,73 | N/D | 0,63 | 0,43 | 1,12 |
| 04/2024 | 1,41 | 2,42 | 0,38 | N/D | 2,19 | 1,23 | N/D | 1,26 | 1,35 | 1,08 |
| 05/2024 | 0,42 | 0,93 | 0,22 | N/D | 0,54 | 0,75 | N/D | 0,56 | 0,58 | 1,12 |
| 06/2024 | 0,00 | 0,66 | 0,93 | N/D | 0,25 | 0,75 | N/D | 0,80 | 0,32 | 1,13 |
| 07/2024 | 6,27 | 4,43 | 10,71 | N/D | 3,68 | 3,76 | N/D | 5,95 | 0,02 | 5,35 |
| 08/2024 | 12,99 | 12,00 | 15,96 | N/D | 11,02 | 9,01 | N/D | 11,51 | 3,65 | 11,86 |
| 09/2024 | 12,70 | 11,01 | 16,40 | N/D | 10,68 | 11,89 | N/D | 12,89 | 10,53 | 12,26 |
| MES | MED | N | S | E | W | MED | N | S | E | W |
| T °C | Bacías (2731 m) | | | | | Robiñera, Morrón de Sobresplucas (2827 m) | | | | |

| Tabla de temperaturas mínimas y máximas absolutas por orientación, 2011-2024 | | | | | | | | |
|--|--------------------|--------------------|---------------------------|--------------------|-------------------|-------------------|-------------------------|------------------|
| | MÍNIMAS ABSOLUTAS | | | | MÁXIMAS ABSOLUTAS | | | |
| | N | S | E | W | N | S | E | W |
| GUE | -7,29 28/11/13 | -1,00 22/02/12 | -12,74 12/02/12 | -8,82 12/02/12 | 26,15 18/7/22 | 26,44 26/7/22 | 31,37 24/7/22 | 30,41 6/9/16 |
| ANA | -10,70 13/02/12 | -10,82 8/02/12 | -11,27 8/02/12 | -16,21 12/02/12 | 22,04 18/7/22 | 27,65 11/8/24 | 28,74 15/7/15 | 23,13 16/7/15 |
| BAC | -12,71 28/11/13 | -10,58 12/02/12 | -6,35 13/02/12 | -14,17 13/02/12 | 24,79 15/7/15 | 28,60 20/8/23 | 28,76 10/8/24 | 19,96 15/7/15 |
| ROB | -13,46 25/02/13 | -12,81 8/01/21 | -15,15 24/02/13 | -3,70 3/12/20 | 24,08 7/7/15 | 23,06 14/07/15 | 25,56 18/7/22 | 24,02 14/7/15 |

A continuación, podemos ver en las gráficas de tendencia de las temperaturas de las cuatro cimas que, en general, se observa una tendencia lenta pero sostenida hacia un aumento de la temperatura, salvo en algunas orientaciones de ANA y BAC. Sin embargo, cuando estos datos los trasladamos al periodo vegetativo (PV, temperatura media diaria $\geq 4^{\circ}\text{C}$), se ve más claramente la tendencia ascendente en las cuatro cimas, a pesar de la variación interanual que podemos ver en las tablas.





9.2.2. Evolución del periodo vegetativo

En la siguiente tabla podemos comparar el PV promedio del periodo estudiado, 2012-23, en la ZP ES-SPY.

El PV de la cima inferior, **Tres Güegas** (2302 m) es de **5,3 meses (160,1 días)**. La orientación con PV más corto es la Norte, con una media de 131 días (4,4 meses); y con PV más largo es la Oeste (174,8 días) seguida de cerca por la Sur con 173,7 días (5,8 meses). La diferencia de PV entre ambas vertientes es de 43,7 días.

En el **Vértice de Anayet** (2555 m) el PV es también de **5,3 meses (160,1 días)**. Su orientación más fría también es la Norte (127,5 días; 4,3 meses), mientras que las más cálidas son la Este (c

191 días; 6,4 meses), y la Sur (186,6 días). La diferencia de PV entre ambas vertientes es de 63,4 días.

En **Bacías** (2731 m), el PV es de **menos de 4,3 meses (129,3 días)**. Su cara con periodo más corto es la W con 108 días (3,6 meses), que por su posición topográfica alberga más tiempo la nieve. El PV mayor está en sus caras Este (149,5 días; 5 meses) y Sur (148,5 días; 5 meses). La diferencia de PV entre ambas vertientes es c. 35,7 días.

En **Robiñera** (2827 m), el PV es de **3,6 meses (107,5 días)**. El PV más corto lo encontramos en su cara Este, 83,4 días (2,8 meses), algo más protegida del viento que la Norte que es de 88,5 días (3 meses). La orientación más propicia para la vegetación es la Sur con 134,5 días (4 meses). La diferencia de PV entre ambas vertientes es de 51,2 días.

Si miramos cual es el **gradiente altitudinal del PV**, en esta zona piloto (ES-SPY) en promedio, el PV desciende 10,1 días cada 100 m de altitud.

| Tablas del periodo vegetativo (PV) anual en la ZP ES-SPY (2012-2023), contado en días, desglosado por cada una de las orientaciones en cada cima. Se incluye la media del periodo, así como el PV máximo (rojo) y mínimo (azul) | | | | | | | | | | | |
|---|--|----------------------|------------|------------|------------|--------------|----------------------------|------------|------------|------------|--------------|
| Días de PV ANUAL | | Tres Güegas (2302 m) | | | | | Vértice de Anayet (2555 m) | | | | |
| AÑO | | N | S | E | W | MED | N | S | E | W | MED |
| 2012 | | 137 | 176 | 156 | 161 | 157,5 | 132 | 190 | 185 | 137 | 161,0 |
| 2013 | | 108 | 150 | 144 | 155 | 139,3 | 115 | 152 | 166 | 124 | 139,3 |
| 2014 | | 135 | 171 | 170 | 179 | 163,8 | 137 | 164 | 194 | 143 | 159,5 |
| 2015 | | 141 | 212 | 184 | 195 | 183,0 | 127 | 240 | 230 | 139 | 184,0 |
| 2016 | | 114 | 163 | 156 | 163 | 149,0 | 119 | 189 | 179 | 127 | 153,5 |
| 2017 | | 136 | 188 | 154 | 194 | 168,0 | 123 | 219 | 216 | 135 | 173,3 |
| 2018 | | 122 | 157 | 168 | 167 | 153,5 | 121 | 166 | 173 | 134 | 148,5 |
| 2019 | | 136 | 173 | 157 | ND | 155,3 | 131 | 200 | 200 | 138 | 167,3 |
| 2020 | | ND | 169 | 156 | ND | 162,5 | 121 | 170 | 177 | 125 | 148,3 |
| 2021 | | 125 | 171 | 154 | 172 | 155,5 | 129 | 176 | 183 | 131 | 154,8 |
| 2022 | | 157 | 181 | 172 | 187 | 174,3 | 148 | 187 | 197 | 155 | 171,8 |
| 2023 | | 165 | 177 | 175 | ND | 172,3 | 147 | 199 | 203 | 152 | 175,3 |
| MEDIA DÍAS | | 134,2 | 174,0 | 162,2 | 174,8 | 161,2 | 129,2 | 187,7 | 191,9 | 136,7 | 161,4 |
| DESV. EST. | | 16,9 | 15,8 | 11,4 | 14,7 | 12,0 | 10,6 | 24,8 | 18,6 | 9,8 | 13,2 |
| MEDIA MESES | | 4,5 | 5,8 | 5,4 | 5,8 | 5,4 | 4,3 | 6,3 | 6,4 | 4,6 | 5,4 |
| MEDIA DÍAS CIMA | | 161 ± 21,8 | | | | | 161,4 ± 33,3 | | | | |
| MEDIA MESES CIMA | | 5,37 | | | | | 5,38 | | | | |

| Días de PV ANUAL | | Bacías (2731 m) | | | | | Robiñera (2827 m) | | | | |
|------------------|--|-----------------|------------|------------|------------|--------------|-------------------|------------|-----------|------------|--------------|
| AÑO | | N | S | E | W | MED | N | S | E | W | MED |
| 2012 | | 118 | 155 | 148 | 114 | 133,8 | 102 | 136 | 94 | 124 | 114,0 |
| 2013 | | 110 | 130 | 129 | 98 | 116,8 | 89 | 116 | 88 | 96 | 97,3 |
| 2014 | | 117 | 144 | 142 | 110 | 128,3 | 58 | 148 | 63 | 140 | 102,3 |
| 2015 | | 126 | 197 | 189 | 112 | 156,0 | 105 | 154 | 91 | 129 | 119,8 |
| 2016 | | 101 | 133 | 127 | 93 | 113,5 | 77 | 126 | 73 | 120 | 99,0 |
| 2017 | | 107 | 163 | 178 | 95 | 135,8 | 76 | 156 | 79 | 154 | 116,3 |
| 2018 | | 109 | 127 | 132 | 108 | 119,0 | 77 | 123 | 68 | 112 | 95,0 |
| 2019 | | 118 | 145 | ND | 110 | 124,3 | 99 | 125 | 89 | 125 | 109,5 |
| 2020 | | 109 | 122 | 132 | 108 | 117,8 | 83 | 117 | 69 | 88 | 89,3 |
| 2021 | | 114 | 148 | 151 | 111 | 131,0 | 90 | 139 | 88 | 138 | 113,8 |
| 2022 | | 123 | 170 | 167 | 126 | 146,5 | 118 | 140 | 115 | 131 | 126,0 |
| 2023 | | 172 | 196 | ND | 161 | 176,3 | 86 | 150 | 119 | 123 | 119,5 |

| | | | | | | | | | | |
|------------------|---------------------|-------|-------|-------|-------|---------------------|-------|------|-------|-------|
| MEDIA DÍAS | 118,7 | 152,5 | 149,5 | 112,2 | 133,2 | 88,3 | 135,8 | 86,3 | 123,3 | 108,5 |
| DESV. EST. | 18,2 | 25,1 | 21,8 | 17,8 | 18,5 | 16,0 | 14,3 | 17,6 | 18,2 | 11,6 |
| MEDIA MESES | 4,0 | 5,1 | 5,0 | 3,7 | 4,4 | 2,9 | 4,5 | 2,9 | 4,1 | 3,6 |
| MEDIA DÍAS CIMA | 132,5 ± 27,2 | | | | | 108,5 ± 27,1 | | | | |
| MEDIA MESES CIMA | 4,42 | | | | | 3,6 | | | | |

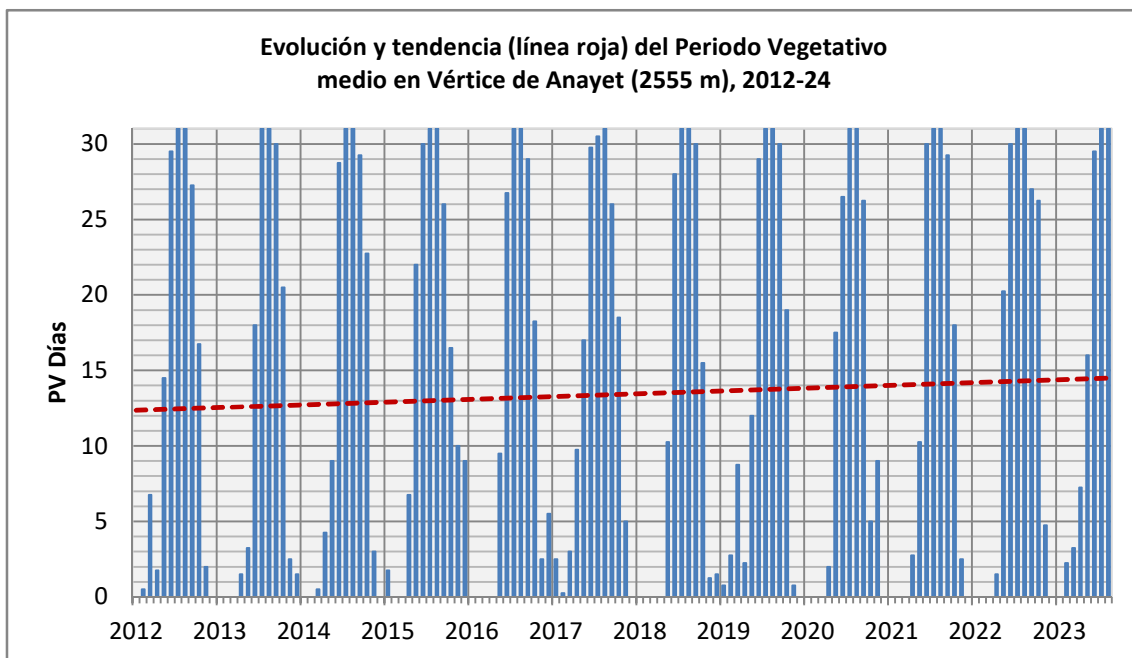
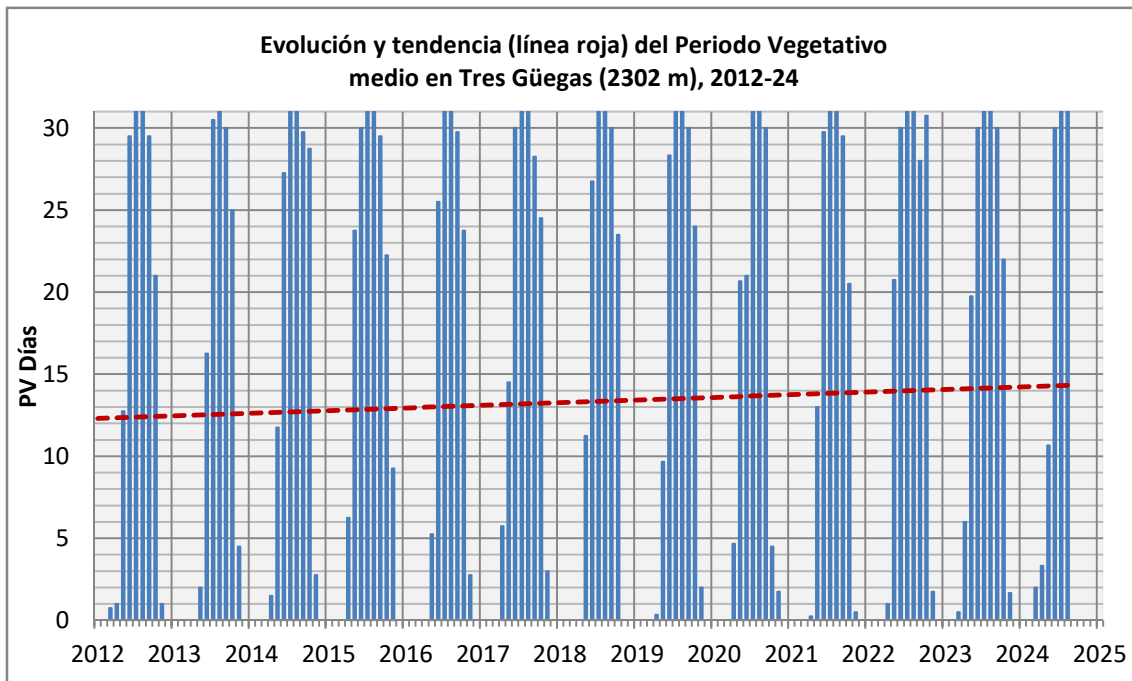
Tabla del periodo vegetativo (días con la temperatura media diaria $\geq 4^{\circ}\text{C}$) por mes, durante el periodo septiembre de 2011-agosto de 2024, por cimas y orientaciones

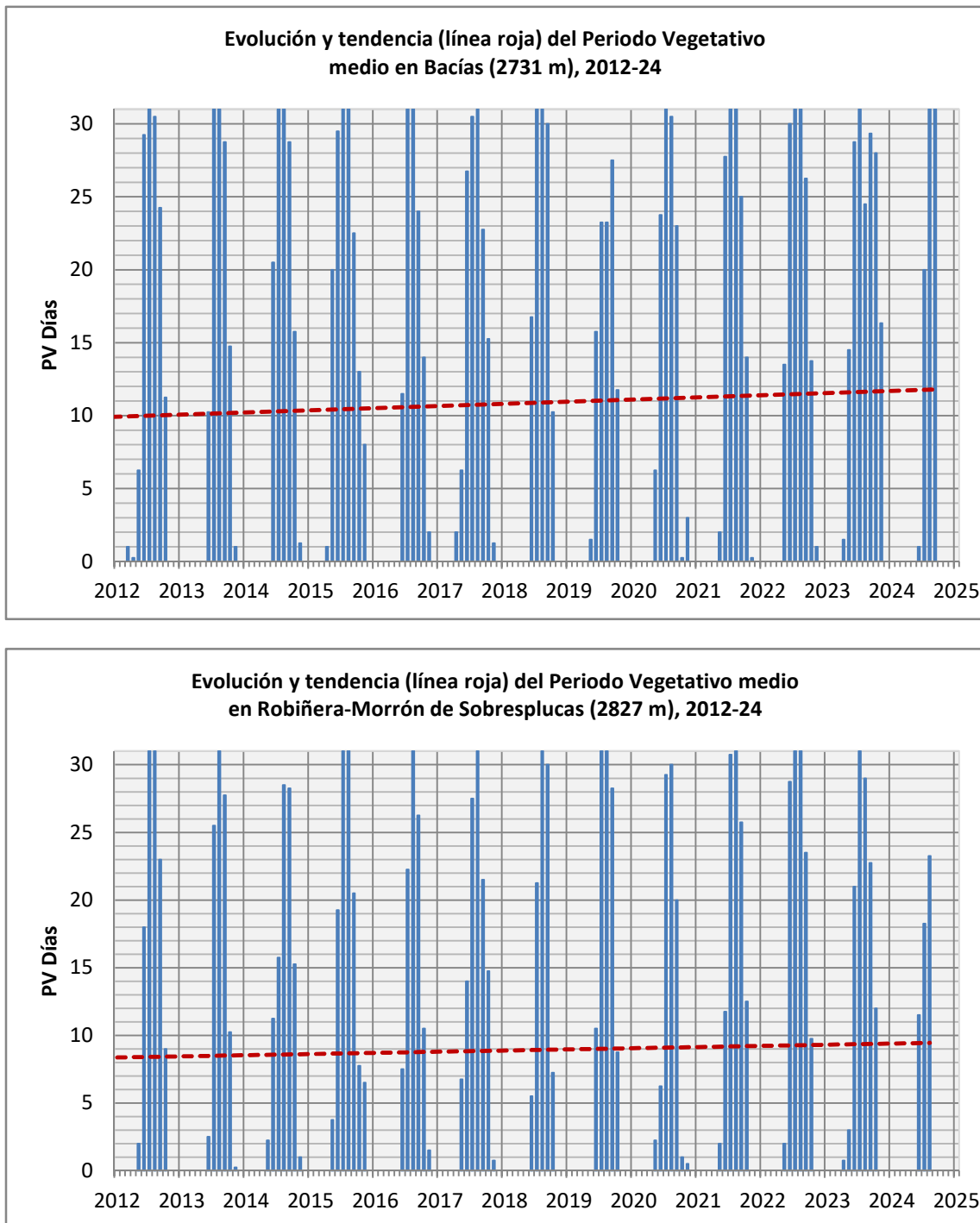
| PV MENSUAL | Punta de las Tres Güegas-GUE (2302 m) | | | | | Vértice de Anayet- ANA (2555 m) | | | | Bacías-BAC (2731 m) | | | | Robiñera, Morrón de Sobresplucas-ROB (2827 m) | | | |
|---------------|--|-----|----|----|----|------------------------------------|-------------|----|----|---------------------|----|-------------|----|---|----|----|--|
| | MESES | MED | N | S | E | W | MED | N | S | E | W | MED | N | S | E | W | |
| 09/2011 | 29,8 | 29 | 30 | 30 | 30 | 30 | 29,5 | 29 | 30 | 30 | 29 | 29,0 | 29 | 30 | 30 | 27 | |
| 10/2011 | 20,5 | 11 | 29 | 19 | 23 | | 16,5 | 6 | 26 | 25 | 9 | 13,5 | 7 | 24 | 23 | 0 | |
| 11/2011 | 0,5 | 0 | 2 | 0 | 0 | 0 | 2,5 | 0 | 5 | 5 | 0 | 0,0 | 0 | 0 | 0 | 0 | |
| 12/2011 | 0,0 | 0 | 0 | 0 | 0 | 0 | 0,3 | 0 | 1 | 0 | 0 | 0,0 | 0 | 0 | 0 | 0 | |
| 01/2012 | 0,0 | 0 | 0 | 0 | 0 | 0 | 0,0 | 0 | 0 | 0 | 0 | 0,0 | 0 | 0 | 0 | 0 | |
| 02/2012 | 0,0 | 0 | 0 | 0 | 0 | 0 | 0,0 | 0 | 0 | 0 | 0 | 0,0 | 0 | 0 | 0 | 0 | |
| 03/2012 | 0,8 | 0 | 3 | 0 | 0 | | 6,3 | 0 | 14 | 11 | 0 | 0,5 | 0 | 2 | 0 | 0 | |
| 04/2012 | 1,0 | 0 | 4 | 0 | 0 | | 2,3 | 0 | 5 | 4 | 0 | 0,8 | 0 | 2 | 1 | 0 | |
| 05/2012 | 12,8 | 5 | 16 | 12 | 18 | | 13,5 | 8 | 18 | 18 | 10 | 5,3 | 3 | 6 | 11 | 1 | |
| 06/2012 | 29,5 | 29 | 30 | 30 | 29 | | 29,5 | 29 | 30 | 30 | 29 | 28,3 | 27 | 30 | 29 | 27 | |
| 07/2012 | 31,0 | 31 | 31 | 31 | 31 | | 31,0 | 31 | 31 | 31 | 31 | 31,0 | 31 | 31 | 31 | 31 | |
| 08/2012 | 31,0 | 31 | 31 | 31 | 31 | | 31,0 | 31 | 31 | 31 | 31 | 31,0 | 31 | 31 | 31 | 31 | |
| 09/2012 | 29,5 | 29 | 30 | 30 | 29 | | 27,3 | 24 | 30 | 30 | 25 | 23,8 | 20 | 30 | 27 | 18 | |
| 10/2012 | 21,0 | 12 | 27 | 22 | 23 | | 16,8 | 8 | 24 | 25 | 10 | 11,3 | 5 | 20 | 15 | 5 | |
| 11/2012 | 1,0 | 0 | 4 | 0 | 0 | | 2,0 | 0 | 5 | 3 | 0 | 0,0 | 0 | 0 | 0 | 0 | |
| 12/2012 | 0,0 | 0 | 0 | 0 | 0 | | 0,0 | 0 | 0 | 0 | 0 | 0,0 | 0 | 0 | 0 | 0 | |
| 01/2013 | 0,0 | 0 | 0 | 0 | 0 | | 0,0 | 0 | 0 | 0 | 0 | 0,0 | 0 | 0 | 0 | 0 | |
| 02/2013 | 0,0 | 0 | 0 | 0 | 0 | | 0,0 | 0 | 0 | 0 | 0 | 0,0 | 0 | 0 | 0 | 0 | |
| 03/2013 | 0,0 | 0 | 0 | 0 | 0 | | 0,0 | 0 | 0 | 0 | 0 | 0,0 | 0 | 0 | 0 | 0 | |
| 04/2013 | 0,0 | 0 | 0 | 0 | 0 | | 1,5 | 0 | 0 | 6 | 0 | 0,0 | 0 | 0 | 0 | 0 | |
| 05/2013 | 2,0 | 0 | 0 | 0 | 8 | | 3,3 | 0 | 5 | 8 | 0 | 0,0 | 0 | 0 | 0 | 0 | |
| 06/2013 | 16,3 | 0 | 17 | 25 | 23 | | 18,0 | 13 | 16 | 22 | 21 | 9,3 | 11 | 8 | 8 | 10 | |
| 07/2013 | 30,5 | 29 | 31 | 31 | 31 | | 31,0 | 31 | 31 | 31 | 31 | 31,0 | 31 | 31 | 31 | 31 | |
| 08/2013 | 31,0 | 31 | 31 | 31 | 31 | | 31,0 | 31 | 31 | 31 | 31 | 31,0 | 31 | 31 | 31 | 31 | |
| 09/2013 | 30,0 | 30 | 30 | 30 | 30 | | 29,3 | 30 | 30 | 30 | 27 | 26,8 | 30 | 30 | 30 | 17 | |
| 10/2013 | 25,0 | 18 | 31 | 24 | 27 | | 18,8 | 10 | 29 | 28 | 8 | 14,5 | 5 | 27 | 23 | 3 | |
| 11/2013 | 4,5 | 0 | 10 | 3 | 5 | | 2,3 | 0 | 3 | 6 | 0 | 1,0 | 0 | 2 | 2 | 0 | |
| 12/2013 | 0,0 | 0 | 0 | 0 | 0 | | 0,3 | 0 | 1 | 0 | 0 | 0,0 | 0 | 0 | 0 | 0 | |
| 01/2014 | 0,0 | 0 | 0 | 0 | 0 | | 0,0 | 0 | 0 | 0 | 0 | 0,0 | 0 | 0 | 0 | 0 | |
| 02/2014 | 0,0 | 0 | 0 | 0 | 0 | | 0,0 | 0 | 0 | 0 | 0 | 0,0 | 0 | 0 | 0 | 0 | |
| 03/2014 | 0,0 | 0 | 0 | 0 | 0 | | 0,0 | 0 | 0 | 0 | 0 | 0,0 | 0 | 0 | 0 | 0 | |
| 04/2014 | 1,5 | 0 | 0 | 0 | 6 | | 3,0 | 0 | 0 | 12 | 0 | 0,0 | 0 | 0 | 0 | 0 | |
| 05/2014 | 11,8 | 0 | 14 | 15 | 18 | | 6,5 | 3 | 5 | 14 | 4 | 0,0 | 0 | 0 | 0 | 0 | |
| 06/2014 | 27,3 | 22 | 27 | 30 | 30 | | 28,0 | 27 | 30 | 30 | 25 | 16,5 | 20 | 19 | 19 | 8 | |
| 07/2014 | 31,0 | 31 | 31 | 31 | 31 | | 30,8 | 31 | 31 | 31 | 30 | 30,5 | 31 | 31 | 31 | 29 | |
| 08/2014 | 31,0 | 31 | 31 | 31 | 31 | | 31,0 | 31 | 31 | 31 | 31 | 30,0 | 31 | 31 | 31 | 27 | |
| 09/2014 | 29,8 | 29 | 30 | 30 | 30 | | 29,0 | 29 | 30 | 30 | 27 | 27,0 | 26 | 30 | 30 | 22 | |
| 10/2014 | 28,8 | 22 | 31 | 31 | 31 | | 21,8 | 16 | 28 | 28 | 15 | 14,8 | 7 | 26 | 25 | 1 | |
| 11/2014 | 2,8 | 0 | 7 | 2 | 2 | | 3,0 | 0 | 6 | 6 | 0 | 1,5 | 0 | 3 | 3 | 0 | |
| 12/2014 | 0,0 | 0 | 0 | 0 | 0 | | 0,0 | 0 | 0 | 0 | 0 | 0,0 | 0 | 0 | 0 | 0 | |
| 01/2015 | 0,0 | 0 | 0 | 0 | 0 | | 0,8 | 0 | 2 | 1 | 0 | 0,0 | 0 | 0 | 0 | 0 | |

| | | | | | | | | | | | | | | | | |
|---------|-------------|----|----|----|----|-------------|----|----|----|----|-------------|----|----|----|----|-------------|
| 02/2015 | 0,0 | 0 | 0 | 0 | 0 | 0,0 | 0 | 0 | 0 | 0 | 0,0 | 0 | 0 | 0 | 0 | 0 |
| 03/2015 | 0,0 | 0 | 0 | 0 | 0 | 0,0 | 0 | 0 | 0 | 0 | 0,0 | 0 | 0 | 0 | 0 | 0 |
| 04/2015 | 6,3 | 0 | 11 | 9 | 5 | 3,8 | 0 | 7 | 8 | 0 | 0,5 | 0 | 2 | 0 | 0 | 0 |
| 05/2015 | 23,8 | 14 | 27 | 28 | 26 | 18,3 | 11 | 28 | 22 | 12 | 15,8 | 16 | 24 | 16 | 7 | 2,0 |
| 06/2015 | 30,0 | 30 | 30 | 30 | 30 | 30,0 | 30 | 30 | 30 | 30 | 27,8 | 29 | 30 | 30 | 22 | 15,8 |
| 07/2015 | 31,0 | 31 | 31 | 31 | 31 | 31,0 | 31 | 31 | 31 | 31 | 31,0 | 31 | 31 | 31 | 31 | 31,0 |
| 08/2015 | 31,0 | 31 | 31 | 31 | 31 | 31,0 | 31 | 31 | 31 | 31 | 29,5 | 28 | 31 | 31 | 28 | 30,0 |
| 09/2015 | 25,3 | 18 | 31 | 29 | 23 | 21,8 | 16 | 29 | 29 | 13 | 16,3 | 6 | 29 | 24 | 6 | 9,8 |
| 10/2015 | 13,5 | 3 | 31 | 9 | 11 | 12,0 | 1 | 23 | 22 | 2 | 3,3 | 1 | 8 | 4 | 0 | 0,5 |
| 11/2015 | 5,3 | 0 | 20 | 0 | 1 | 9,3 | 0 | 19 | 18 | 0 | 3,5 | 0 | 5 | 9 | 0 | 0,5 |
| 12/2015 | 0,0 | 0 | 0 | 0 | 0 | 0,5 | 0 | 1 | 1 | 0 | 0,0 | 0 | 0 | 0 | 0 | 0,0 |
| 01/2016 | 0,0 | 0 | 0 | 0 | 0 | 0,0 | 0 | 0 | 0 | 0 | 0,0 | 0 | 0 | 0 | 0 | 0,0 |
| 02/2016 | 0,0 | 0 | 0 | 0 | 0 | 0,0 | 0 | 0 | 0 | 0 | 0,0 | 0 | 0 | 0 | 0 | 0,0 |
| 03/2016 | 0,0 | 0 | 0 | 0 | 0 | 0,0 | 0 | 0 | 0 | 0 | 0,0 | 0 | 0 | 0 | 0 | 0,0 |
| 04/2016 | 0,0 | 0 | 0 | 0 | 0 | 0,0 | 0 | 0 | 0 | 0 | 0,0 | 0 | 0 | 0 | 0 | 0,0 |
| 05/2016 | 2,0 | 0 | 0 | 5 | 3 | 4,3 | 0 | 9 | 7 | 1 | 0,0 | 0 | 0 | 0 | 0 | 0,0 |
| 06/2016 | 21,5 | 10 | 29 | 25 | 22 | 21,8 | 17 | 26 | 23 | 21 | 9,0 | 10 | 9 | 8 | 9 | 5,8 |
| 07/2016 | 30,8 | 30 | 31 | 31 | 31 | 31,0 | 31 | 31 | 31 | 31 | 30,0 | 29 | 31 | 31 | 29 | 21,3 |
| 08/2016 | 31,0 | 31 | 31 | 31 | 31 | 31,0 | 31 | 31 | 31 | 31 | 31,0 | 31 | 31 | 31 | 31 | 31,0 |
| 09/2016 | 29,0 | 26 | 31 | 30 | 29 | 25,3 | 21 | 30 | 30 | 20 | 20,0 | 13 | 30 | 24 | 13 | 17,5 |
| 10/2016 | 15,3 | 7 | 31 | 10 | 13 | 16,8 | 5 | 29 | 27 | 6 | 7,3 | 0 | 16 | 13 | 0 | 4,0 |
| 11/2016 | 1,8 | 0 | 7 | 0 | 0 | 2,3 | 0 | 5 | 4 | 0 | 0,8 | 0 | 3 | 0 | 0 | 0,0 |
| 12/2016 | 0,0 | 0 | 0 | 0 | 0 | 1,5 | 0 | 6 | 0 | 0 | 0,0 | 0 | 0 | 0 | 0 | 0,0 |
| 01/2017 | 0,0 | 0 | 0 | 0 | 0 | 0,3 | 0 | 1 | 0 | 0 | 0,0 | 0 | 0 | 0 | 0 | 0,0 |
| 02/2017 | 0,0 | 0 | 0 | 0 | 0 | 0,0 | 0 | 0 | 0 | 0 | 0,0 | 0 | 0 | 0 | 0 | 0,0 |
| 03/2017 | 0,0 | 0 | 0 | 0 | 0 | 1,3 | 0 | 2 | 3 | 0 | 0,0 | 0 | 0 | 0 | 0 | 0,0 |
| 04/2017 | 1,5 | 0 | 6 | 0 | 0 | 8,5 | 0 | 16 | 18 | 0 | 0,0 | 0 | 0 | 0 | 0 | 0,0 |
| 05/2017 | 10,3 | 7 | 14 | 8 | 12 | 12,0 | 5 | 16 | 16 | 11 | 4,5 | 0 | 8 | 10 | 0 | 4,0 |
| 06/2017 | 29,8 | 29 | 30 | 30 | 30 | 28,3 | 25 | 30 | 30 | 28 | 23,0 | 20 | 29 | 26 | 17 | 11,0 |
| 07/2017 | 30,3 | 29 | 31 | 31 | 30 | 29,8 | 29 | 31 | 30 | 29 | 29,5 | 29 | 31 | 29 | 29 | 25,3 |
| 08/2017 | 30,5 | 30 | 31 | 31 | 30 | 30,5 | 30 | 31 | 31 | 30 | 29,3 | 28 | 31 | 30 | 28 | 29,0 |
| 09/2017 | 23,3 | 14 | 30 | 24 | 25 | 21,0 | 12 | 29 | 29 | 14 | 14,8 | 4 | 29 | 22 | 4 | 13,0 |
| 10/2017 | 18,8 | 6 | 31 | 16 | 22 | 16,5 | 3 | 30 | 29 | 4 | 12,8 | 1 | 25 | 24 | 1 | 8,5 |
| 11/2017 | 2,0 | 0 | 8 | 0 | 0 | 3,0 | 0 | 8 | 4 | 0 | 0,5 | 0 | 1 | 1 | 0 | 0,0 |
| 12/2017 | 0,0 | 0 | 0 | 0 | 0 | 0,0 | 0 | 0 | 0 | 0 | 0,0 | 0 | 0 | 0 | 0 | 0,0 |
| 01/2018 | 0,0 | 0 | 0 | 0 | 0 | 0,0 | 0 | 0 | 0 | 0 | 0,0 | 0 | 0 | 0 | 0 | 0,0 |
| 02/2018 | 0,0 | 0 | 0 | 0 | 0 | 0,0 | 0 | 0 | 0 | 0 | 0,0 | 0 | 0 | 0 | 0 | 0,0 |
| 03/2018 | 0,0 | 0 | 0 | 0 | 0 | 0,0 | 0 | 0 | 0 | 0 | 0,0 | 0 | 0 | 0 | 0 | 0,0 |
| 04/2018 | 0,0 | 0 | 0 | 0 | 0 | 0,0 | 0 | 0 | 0 | 0 | 0,0 | 0 | 0 | 0 | 0 | 0,0 |
| 05/2018 | 6,5 | 0 | 2 | 14 | 10 | 4,0 | 0 | 6 | 8 | 2 | 0,0 | 0 | 0 | 0 | 0 | 0,0 |
| 06/2018 | 25,5 | 16 | 30 | 28 | 28 | 22,0 | 17 | 23 | 23 | 25 | 13,0 | 13 | 12 | 14 | 13 | 4,3 |
| 07/2018 | 25,0 | 25 | 25 | 25 | 25 | 31,0 | 31 | 31 | 31 | 31 | 30,5 | 30 | 31 | 31 | 30 | 19,5 |
| 08/2018 | 30,8 | 31 | 31 | 31 | 30 | 31,0 | 31 | 31 | 31 | 31 | 31,0 | 31 | 31 | 31 | 31 | 30,5 |
| 09/2018 | 29,8 | 29 | 30 | 30 | 30 | 29,5 | 29 | 30 | 30 | 29 | 24,3 | 18 | 30 | 30 | 19 | 30,0 |
| 10/2018 | 19,0 | 5 | 30 | 18 | 23 | 13,0 | 0 | 25 | 24 | 3 | 5,8 | 0 | 12 | 11 | 0 | 7,3 |
| 11/2018 | 0,0 | 0 | 0 | 0 | 0 | 0,0 | 0 | 0 | 0 | 0 | 0,0 | 0 | 0 | 0 | 0 | 0,0 |
| 12/2018 | 0,0 | 0 | 0 | 0 | 0 | 0,0 | 0 | 0 | 0 | 0 | 0,0 | 0 | 0 | 0 | 0 | 0,0 |
| 01/2019 | 0,0 | 0 | 0 | 0 | 0 | 0,0 | 0 | 0 | 0 | 0 | 0,0 | 0 | 0 | 0 | 0 | 0,0 |
| 02/2019 | 0,0 | 0 | 0 | 0 | 0 | 1,3 | 0 | 0 | 5 | 0 | 0,0 | 0 | 0 | ND | 0 | 0,0 |
| 03/2019 | 0,0 | 0 | 0 | 0 | ND | 2,0 | 0 | 5 | 3 | 0 | 0,0 | 0 | 0 | ND | 0 | 0,0 |
| 04/2019 | 0,0 | 0 | 0 | 0 | ND | 0,3 | 0 | 1 | 0 | 0 | 0,0 | 0 | 0 | ND | 0 | 0,0 |
| 05/2019 | 5,0 | 0 | 13 | 2 | ND | 4,8 | 0 | 12 | 7 | 0 | 0,0 | 0 | 0 | ND | 0 | 0,0 |
| 06/2019 | 25,0 | 19 | 30 | 26 | ND | 24,5 | 22 | 27 | 24 | 25 | 11,7 | 10 | 17 | ND | 8 | 10,5 |
| 07/2019 | 24,3 | 31 | 31 | 31 | 4 | 31,0 | 31 | 31 | 31 | 31 | 23,3 | 31 | 31 | 0 | 31 | 31,0 |

| | | | | | | | | | | | | | | | | | | | | |
|---------|-------------|----|----|----|----|-------------|----|----|----|----|-------------|----|----|----|----|-------------|----|----|----|----|
| 08/2019 | 31,0 | 31 | 31 | 31 | 31 | 31,0 | 31 | 31 | 31 | 31 | 23,3 | 31 | 31 | 0 | 31 | 31,0 | 31 | 31 | 31 | 31 |
| 09/2019 | 30,0 | 30 | 30 | 30 | 30 | 30,0 | 30 | 30 | 30 | 30 | 26,5 | 28 | 30 | 22 | 26 | 28,3 | 29 | 30 | 24 | 30 |
| 10/2019 | 24,0 | 17 | 29 | 23 | 27 | 19,0 | 12 | 26 | 25 | 13 | 11,8 | 9 | 16 | 16 | 6 | 8,8 | 5 | 13 | 3 | 14 |
| 11/2019 | 2,0 | 2 | 3 | 1 | 2 | 0,8 | 0 | 2 | 1 | 0 | 0,0 | 0 | 0 | 0 | 0 | 0,0 | 0 | 0 | 0 | 0 |
| 12/2019 | 0,0 | 0 | 0 | 0 | 0 | 0,0 | 0 | 0 | 0 | 0 | 0,0 | 0 | 0 | 0 | 0 | 0,0 | 0 | 0 | 0 | 0 |
| 01/2020 | 0,0 | 0 | 0 | 0 | 0 | 0,0 | 0 | 0 | 0 | 0 | 0,0 | 0 | 0 | 0 | 0 | 0,0 | 0 | 0 | 0 | 0 |
| 02/2020 | 0,0 | 0 | 0 | 0 | ND | 0,0 | 0 | 0 | 0 | 0 | 0,0 | 0 | 0 | 0 | 0 | 0,0 | 0 | 0 | 0 | 0 |
| 03/2020 | 0,0 | 0 | 0 | 0 | ND | 0,0 | 0 | 0 | 0 | 0 | 0,0 | 0 | 0 | 0 | 0 | 0,0 | 0 | 0 | 0 | 0 |
| 04/2020 | 4,7 | 0 | 13 | 1 | ND | 2,0 | 0 | 4 | 4 | 0 | 0,0 | 0 | 0 | 0 | 0 | 0,0 | 0 | 0 | 0 | 0 |
| 05/2020 | 20,7 | 6 | 30 | 26 | ND | 17,5 | 11 | 23 | 22 | 14 | 6,3 | 7 | 4 | 9 | 5 | 2,3 | 0 | 9 | 0 | 0 |
| 06/2020 | 30,0 | ND | 30 | 30 | ND | 25,5 | 23 | 28 | 27 | 24 | 22,8 | 21 | 27 | 26 | 17 | 6,3 | 0 | 15 | 0 | 10 |
| 07/2020 | 31,0 | ND | 31 | 31 | ND | 31,0 | 31 | 31 | 31 | 31 | 31,0 | 31 | 31 | 31 | 31 | 29,3 | 28 | 31 | 27 | 31 |
| 08/2020 | 19,0 | ND | 31 | 7 | ND | 31,0 | 31 | 31 | ND | 31 | 30,5 | 30 | 31 | 31 | 30 | 30,0 | 31 | 31 | 29 | 29 |
| 09/2020 | 25,0 | 21 | 30 | 24 | 25 | 25,0 | 24 | 27 | ND | 24 | 23,0 | 19 | 25 | 24 | 24 | 20,0 | 24 | 25 | 13 | 18 |
| 10/2020 | 3,5 | ND | 1 | 6 | ND | 2,3 | 0 | 7 | ND | 0 | 0,0 | 0 | 0 | 0 | 0 | 0,8 | 0 | 3 | 0 | 0 |
| 11/2020 | 1,8 | 0 | 3 | 1 | 3 | 5,3 | 0 | 16 | ND | 0 | 3,0 | 0 | 3 | 9 | 0 | 0,5 | 0 | 2 | 0 | 0 |
| 12/2020 | 0,0 | ND | 0 | 0 | ND | 0,0 | 0 | 0 | ND | 0 | 0,0 | 0 | 0 | 0 | 0 | 0,0 | 0 | 0 | 0 | 0 |
| 01/2021 | 0,0 | ND | 0 | 0 | ND | 0,0 | 0 | 0 | ND | 0 | 0,0 | 0 | 0 | 0 | 0 | 0,0 | 0 | 0 | 0 | 0 |
| 02/2021 | 0,0 | ND | 0 | 0 | ND | 0,0 | 0 | 0 | ND | 0 | 0,0 | 0 | 0 | 0 | 0 | 0,0 | 0 | 0 | 0 | 0 |
| 03/2021 | 0,0 | ND | 0 | 0 | ND | 0,0 | 0 | 0 | ND | 0 | 0,0 | 0 | 0 | 0 | 0 | 0,0 | 0 | 0 | 0 | 0 |
| 04/2021 | 0,5 | ND | 1 | 0 | ND | 0,3 | 0 | 1 | ND | 0 | 0,0 | 0 | 0 | 0 | 0 | 0,0 | 0 | 0 | 0 | 0 |
| 05/2021 | 16,0 | ND | 18 | 14 | ND | 8,3 | 3 | 16 | ND | 6 | 2,0 | 5 | 0 | 0 | 3 | 2,0 | 0 | 4 | 0 | 4 |
| 06/2021 | 29,8 | 29 | 30 | 30 | 30 | 30,0 | 30 | 30 | ND | 30 | 26,8 | 26 | 26 | 30 | 25 | 11,8 | 0 | 21 | 7 | 19 |
| 07/2021 | 31,0 | ND | 31 | 31 | ND | 31,0 | 31 | 31 | ND | 31 | 31,0 | 31 | 31 | 31 | 31 | 30,8 | 31 | 31 | 30 | 31 |
| 08/2021 | 31,0 | 31 | 31 | 31 | 31 | 31,0 | 31 | 31 | 31 | 31 | 31,0 | 31 | 31 | 31 | 31 | 31,0 | 31 | 31 | 31 | 31 |
| 09/2021 | 29,5 | 29 | 30 | 29 | 30 | 29,3 | 29 | 30 | 30 | 28 | 25,0 | 20 | 30 | 30 | 20 | 25,8 | 26 | 28 | 20 | 29 |
| 10/2021 | 20,5 | 5 | 29 | 19 | 29 | 18,0 | 5 | 31 | 31 | 5 | 14,0 | 0 | 29 | 27 | 0 | 12,5 | 2 | 24 | 0 | 24 |
| 11/2021 | 0,5 | 0 | 1 | 0 | 1 | 2,5 | 0 | 6 | 4 | 0 | 0,3 | 0 | 0 | 1 | 0 | 0,0 | 0 | 0 | 0 | 0 |
| 12/2021 | 0 | 0 | 0 | 0 | 0 | 0,0 | 0 | 0 | 0 | 0 | 0,0 | 0 | 0 | 0 | 0 | 0,0 | 0 | 0 | 0 | 0 |
| 01/2022 | 0 | 0 | 0 | 0 | 0 | 0,0 | 0 | 0 | 0 | 0 | 0,0 | 0 | 0 | 0 | 0 | 0,0 | 0 | 0 | 0 | 0 |
| 02/2022 | 0 | 0 | 0 | 0 | 0 | 0,0 | 0 | 0 | 0 | 0 | 0,0 | 0 | 0 | 0 | 0 | 0,0 | 0 | 0 | 0 | 0 |
| 03/2022 | 0 | 0 | 0 | 0 | 0 | 0,0 | 0 | 0 | 0 | 0 | 0,0 | 0 | 0 | 0 | 0 | 0,0 | 0 | 0 | 0 | 0 |
| 04/2022 | 1 | 0 | 1 | 0 | 3 | 1,5 | 0 | 0 | 6 | 0 | 0,0 | 0 | 0 | 0 | 0 | 0,0 | 0 | 0 | 0 | 0 |
| 05/2022 | 20,8 | 9 | 25 | 20 | 29 | 20,3 | 11 | 25 | 28 | 17 | 13,5 | 6 | 21 | 19 | 8 | 2,0 | 0 | 5 | 0 | 3 |
| 06/2022 | 30 | 30 | 30 | 30 | 30 | 30,0 | 30 | 30 | 30 | 30 | 30,0 | 30 | 30 | 30 | 30 | 28,8 | 28 | 30 | 28 | 29 |
| 07/2022 | 31 | 31 | 31 | 31 | 31 | 31,0 | 31 | 31 | 31 | 31 | 31,0 | 31 | 31 | 31 | 31 | 31,0 | 31 | 31 | 31 | 31 |
| 08/2022 | 31 | 31 | 31 | 31 | 31 | 31,0 | 31 | 31 | 31 | 31 | 31,0 | 31 | 31 | 31 | 31 | 31,0 | 31 | 31 | 31 | 31 |
| 09/2022 | 28 | 26 | 29 | 28 | 29 | 27,0 | 24 | 30 | 30 | 24 | 26,3 | 22 | 30 | 30 | 23 | 23,5 | 24 | 24 | 23 | 23 |
| 10/2022 | 30,8 | 30 | 31 | 31 | 31 | 26,3 | 21 | 31 | 31 | 22 | 13,8 | 3 | 25 | 24 | 3 | 9,8 | 4 | 19 | 2 | 14 |
| 11/2022 | 1,75 | 0 | 3 | 1 | 3 | 4,8 | 0 | 9 | 10 | 0 | 1,0 | 0 | 2 | 2 | 0 | 0,0 | 0 | 0 | 0 | 0 |
| 12/2022 | 0 | 0 | 0 | 0 | 0 | 0,0 | 0 | 0 | 0 | 0 | 0,0 | 0 | 0 | 0 | 0 | 0,0 | 0 | 0 | 0 | 0 |
| 01/2023 | 0 | 0 | 0 | 0 | 0 | 0,0 | 0 | 0 | 0 | 0 | 0,0 | 0 | 0 | 0 | 0 | 0,0 | 0 | 0 | 0 | 0 |
| 02/2023 | 0 | 0 | 0 | 0 | 0 | 2,3 | 0 | 4 | 5 | 0 | 0,0 | 0 | 0 | 0 | 0 | 0,0 | 0 | 0 | 0 | 0 |
| 03/2023 | 0,5 | 0 | 1 | 1 | 0 | 3,3 | 0 | 6 | 7 | 0 | 0,0 | 0 | 0 | 0 | 0 | 0,0 | 0 | 0 | 0 | 0 |
| 04/2023 | 6 | 0 | 8 | 11 | 5 | 7,3 | 0 | 14 | 15 | 0 | 1,5 | 3 | 2 | 1 | 0 | 0,8 | 0 | 3 | 0 | 0 |
| 05/2023 | 19,8 | 16 | 23 | 20 | 20 | 16,0 | 9 | 22 | 21 | 12 | 14,5 | 9 | 22 | 21 | 6 | 3,0 | 0 | 12 | 0 | 0 |
| 06/2023 | 30 | 30 | 30 | 30 | 30 | 29,5 | 28 | 30 | 30 | 30 | 28,8 | 28 | 30 | 30 | 27 | 21,0 | 16 | 26 | 24 | 18 |
| 07/2023 | 31 | 31 | 31 | 31 | 31 | 31,0 | 31 | 31 | 31 | 31 | 31,0 | 31 | 31 | 31 | 31 | 31,0 | 31 | 31 | 31 | 31 |
| 08/2023 | 31 | 31 | 31 | 31 | 31 | 31,0 | 31 | 31 | 31 | 31 | 24,5 | 29 | 31 | 10 | 28 | 29,0 | 30 | 30 | 28 | 28 |
| 09/2023 | 30 | 30 | 30 | 30 | ND | 29,5 | 29 | 30 | 30 | 29 | 29,3 | 29 | 31 | ND | 28 | 22,8 | 9 | 30 | 24 | 28 |
| 10/2023 | 22 | 23 | 23 | 20 | ND | 20,3 | 19 | 21 | 22 | 19 | 28,0 | 28 | 30 | ND | 26 | 12,0 | 0 | 18 | 12 | 18 |
| 11/2023 | 1,6 | 4 | 0 | 1 | ND | 4,3 | 0 | 8 | 9 | 0 | 16,3 | 15 | 19 | ND | 15 | 0,0 | 0 | 0 | 0 | 0 |
| 12/2023 | 0 | 0 | 0 | 0 | ND | 1,0 | 0 | 2 | 2 | 0 | 0,0 | 0 | 0 | ND | 0 | 0,0 | 0 | 0 | 0 | 0 |
| 01/2024 | 0 | 0 | 0 | 0 | ND | 3,5 | 0 | 7 | 7 | 0 | 0,0 | 0 | 0 | ND | 0 | 0,0 | 0 | 0 | 0 | 0 |

| 02/2024 | 0 | 0 | 0 | 0 | ND | 3,8 | 0 | 7 | 8 | 0 | 0,0 | 0 | 0 | ND | 0 | 0,0 | 0 | 0 | 0 | 0 | 0 | |
|---------|-----------------------------------|----|----|----|----|----------------------------|----|----|----|----|-----------------|----|----|----|----|---|---|----|----|----|---|--|
| 03/2024 | 2 | 6 | 0 | 0 | ND | 2,3 | 0 | 0 | 9 | 0 | 0,0 | 0 | 0 | ND | 0 | 0,0 | 0 | 0 | 0 | 0 | 0 | |
| 04/2024 | 3,3 | 10 | 0 | 0 | ND | 6,0 | 0 | 11 | 13 | 0 | 0,0 | 0 | 0 | ND | 0 | 0,0 | 0 | 0 | 0 | 0 | 0 | |
| 05/2024 | 10,6 | 16 | 9 | 7 | ND | 9,3 | 0 | 15 | 16 | 6 | 0,0 | 0 | 0 | ND | 0 | 0,0 | 0 | 0 | 0 | 0 | 0 | |
| 06/2024 | 30 | 30 | 30 | 30 | ND | 29,3 | 28 | 30 | 30 | 29 | 1,0 | 0 | 3 | ND | 0 | 11,5 | 0 | 24 | 0 | 22 | | |
| 07/2024 | 31 | 31 | 31 | 31 | ND | 31,0 | 31 | 31 | 31 | 31 | 20,0 | 16 | 30 | ND | 14 | 18,3 | 0 | 31 | 11 | 31 | | |
| 08/2024 | 31 | 31 | 31 | 31 | ND | 31,0 | 31 | 31 | 31 | 31 | 31,0 | 31 | 31 | ND | 31 | 23,3 | 0 | 31 | 31 | 31 | | |
| 09/2024 | | | | | | | | | | | 31,0 | 31 | 31 | ND | 31 | 6,8 | 0 | 14 | 4 | 9 | | |
| 10/2024 | | | | | | | | | | | 20,7 | 15 | 30 | ND | 17 | | | | | | | |
| MESES | MED | N | S | E | W | MED | N | S | E | W | MED | N | S | E | W | MED | N | S | E | W | | |
| | Punta de las Tres Güegas (2302 m) | | | | | Vértice de Anayet (2555 m) | | | | | Bacías (2731 m) | | | | | Robiñera, Morrón de Sobresplucas (2827 m) | | | | | | |





9.3. La T y el PV en la zona piloto ES-MON (Sistema Ibérico - Moncayo)

Hemos analizado los datos de los 16 termómetros automáticos que tenemos instalados desde verano de 2012 en la ZP ES-MON, Sistema Ibérico-Moncayo, correspondiente a la alta montaña ibérica silícea.

9.3.1. Evolución de la temperatura del suelo

Como comentario general podemos decir que, en las cuatro cimas, el año más frío que hemos registrado ha sido el 2013 mientras que el año más cálido fue el 2022, que será recordado por el verano de las tres olas de calor intensas y prolongadas que se iniciaron ya en el mes de junio.

Durante el periodo 2013-23, en la cima de **Peña Negrilla** (2118 m) la T media ha pasado de **5,02** en 2013 a **6,63°C** (el promedio del periodo es de $5,81^{\circ}\text{C} \pm 0,46^{\circ}\text{C}$); la orientación más cálida es la Sur ($7 \pm 0,6^{\circ}\text{C}$), mientras que la más fría es la Este ($4,8 \pm 0,4^{\circ}\text{C}$).

La T promedio de la **Peña Lobera** (2226 m) ha pasado de **4,57** en 2013 a **6,35°C** (el promedio del periodo es de $5,4^{\circ}\text{C} \pm 0,5^{\circ}\text{C}$); la orientación más cálida es la Oeste ($6,1 \pm 0,7^{\circ}\text{C}$). La orientación más fría es la Sur ($4,9 \pm 0,6^{\circ}\text{C}$).

La T promedio de la **Peña Morca** (2274 m) ha pasado de **3,77** en 2013 a **5,9°C** (el promedio del periodo es de $4,9^{\circ}\text{C} \pm 0,5^{\circ}\text{C}$); la orientación más cálida es la Sur ($6,3 \pm 0,5^{\circ}\text{C}$). La orientación más fría es la Este ($3,8 \pm 0,6^{\circ}\text{C}$).

La T promedio del **Moncayo-Peña San Miguel** (2314 m) ha pasado de **4,02** en 2013 a **5,94°C** (el promedio del periodo es de $4,97^{\circ}\text{C} \pm 0,56^{\circ}\text{C}$); la orientación más cálida es la Sur ($5,9 \pm 0,5^{\circ}\text{C}$). La orientación más fría es la Oeste ($4,3 \pm 0,6^{\circ}\text{C}$) a la par que la Norte ($4,4 \pm 0,7^{\circ}\text{C}$).

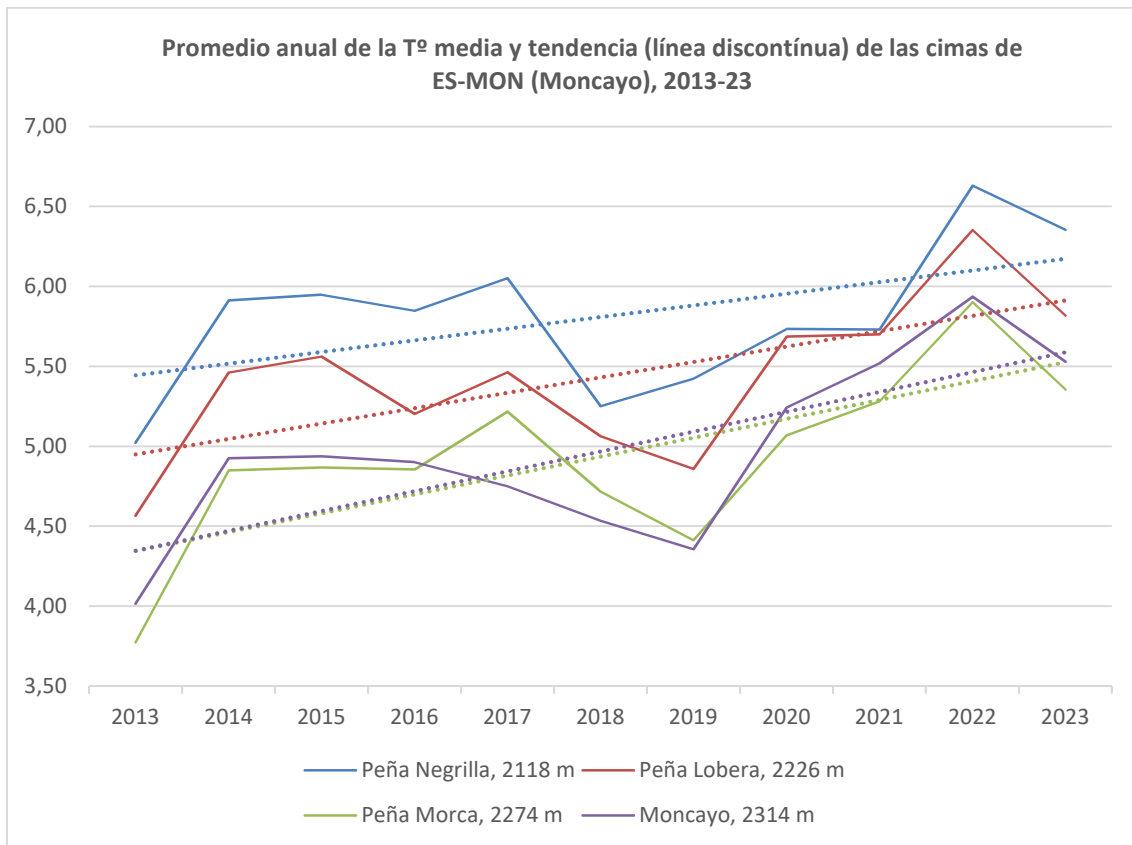
A continuación, exponemos las tablas que resumen la temperatura del suelo en las cuatro cimas de la ZP Moncayo, tanto en su forma sintética anual, como mensual por orientaciones.

| Tabla de la temperatura media anual por cimas en ES-MON (Moncayo), 2013-2023 | | | | |
|--|---------------|-------------|-------------|-------------|
| T (°C) | Peña Negrilla | Peña Lobera | Peña Morca | Moncayo |
| Año/Alt. | 2118 m | 2226 m | 2274 m | 2314 m |
| 2013 | 5,02 | 4,57 | 3,77 | 4,02 |
| 2014 | 5,91 | 5,46 | 4,85 | 4,93 |
| 2015 | 5,95 | 5,56 | 4,87 | 4,94 |
| 2016 | 5,85 | 5,20* | 4,86 | 4,90 |
| 2017 | 6,05 | 5,46* | 5,22 | 4,75* |
| 2018 | 5,25 | 5,06* | 4,72 | 4,53 |
| 2019 | 5,42 | 4,86 | 4,41 | 4,36 |
| 2020 | 5,73* | 5,69 | 5,07 | 5,24* |
| 2021 | 5,73* | 5,70 | 5,28 | 5,52* |
| 2022 | 6,63 | 6,35 | 5,90 | 5,94 |
| 2023 | 6,35 | 5,82 | 5,35 | 5,53 |
| Promedio | 5,81 | 5,43 | 4,94 | 4,97 |
| Desv. Est. | 0,46 | 0,49 | 0,55 | 0,56 |
| En azul, el año con promedio más frío, en rojo el año más cálido. *Años con datos incompletos | | | | |

**Tablas de las temperaturas medias anuales en ES-MON (Moncayo),
de 2013 a 2023, por orientaciones y en promedio de la cima**

| AÑO | Peña Negrilla (2118 m) | | | | Peña Lobera (2226 m) | | | |
|------------|------------------------|-------------|-------------|-------------|----------------------|-------------|-------------|-------------|
| | N | S | E | W | N | S | E | W |
| 2013 | 4,47 | 5,94 | 4,59 | 5,09 | 4,88 | 4,07 | 4,38 | 4,93 |
| 2014 | 5,38 | 6,94 | 5,13 | 6,20 | 5,61 | 5,09 | 5,33 | 5,81 |
| 2015 | 5,63 | 7,07 | 5,01 | 6,08 | 5,61 | 5,11 | 5,55 | 5,98 |
| 2016 | 5,42 | 7,11 | 4,74 | 6,12 | 5,87 | 4,55 | 5,19 | ND |
| 2017 | 5,90 | 7,36 | 4,71 | 6,25 | 6,07 | 4,79 | 5,54 | ND |
| 2018 | 5,03 | 6,42 | 4,13 | 5,43 | 5,59 | 4,56 | 5,04 | ND |
| 2019 | 5,35 | 6,59 | 4,26 | 5,49 | 5,48 | 4,09 | 4,02 | 5,86 |
| 2020 | 6,12 | N/D | 4,97 | 6,12 | 6,33 | 5,12 | 4,89 | 6,41 |
| 2021 | 5,93 | N/D | 5,11 | 6,15 | 6,21 | 5,28 | 4,79 | 6,51 |
| 2022 | 6,56 | 7,88 | 5,46 | 6,62 | 6,76 | 6,03 | 5,51 | 7,11 |
| 2023 | 6,24 | 7,80 | 5,42 | 5,95 | 6,31 | 5,33 | 5,00 | 6,63 |
| MED | 5,64 | 7,01 | 4,87 | 5,95 | 5,88 | 4,91 | 5,02 | 6,16 |
| DEST | 0,59 | 0,63 | 0,43 | 0,44 | 0,52 | 0,58 | 0,49 | 0,66 |

| AÑO | Peña Morca (2274 m) | | | | Moncayo (2314 m) | | | |
|------------|---------------------|-------------|-------------|-------------|------------------|-------------|-------------|-------------|
| | N | S | E | W | N | S | E | W |
| 2013 | 3,33 | 5,09 | 2,54 | 4,13 | 3,12 | 4,97 | 4,33 | 3,64 |
| 2014 | 4,41 | 5,97 | 3,89 | 5,12 | 4,37 | 5,80 | 5,07 | 4,46 |
| 2015 | 4,21 | 6,17 | 3,50 | 5,58 | 4,09 | 5,75 | 5,24 | 4,66 |
| 2016 | 4,35 | 6,24 | 3,74 | 5,09 | 4,31 | 6,00 | 5,12 | 4,17 |
| 2017 | 4,51 | 6,66 | 3,99 | 5,70 | 4,22 | ND | 5,48 | 4,55 |
| 2018 | 4,13 | 6,10 | 3,59 | 5,04 | 3,99 | 5,53 | 4,77 | 3,84 |
| 2019 | 3,76 | 5,87 | 3,06 | 4,95 | 3,88 | 5,55 | 4,56 | 3,44 |
| 2020 | 4,37 | 6,42 | 3,93 | 5,55 | 4,79 | 5,63 | 5,31 | N/D |
| 2021 | 6,57 | 4,22 | 5,51 | 5,03 | 6,24 | 5,30 | N/D | 6,57 |
| 2022 | 7,18 | 4,90 | 6,11 | 5,75 | 6,80 | 5,79 | 5,41 | 7,18 |
| 2023 | 4,82 | 6,65 | 4,19 | 5,76 | 5,04 | 6,66 | 5,59 | 4,83 |
| MED | 4,38 | 6,27 | 3,78 | 5,32 | 4,42 | 5,89 | 5,14 | 4,33 |
| DEST | 0,55 | 0,54 | 0,62 | 0,53 | 0,71 | 0,55 | 0,44 | 0,62 |



**Tablas de la temperatura media mensual (°C) en ES-MON, 2012-2024, por orientaciones
(ND: series de datos incompletas)**

| T (°C) | Peña Negrilla (2118 m) | | | | Peña Lobera (2226 m) | | | |
|---------|------------------------|-------|-------|-------|----------------------|-------|-------|-------|
| | N | S | E | W | N | S | E | W |
| 09/2012 | 9,18 | 11,28 | 9,44 | 10,23 | 10,12 | 9,15 | 9,24 | 10,45 |
| 10/2012 | 5,69 | 7,25 | 6,41 | 6,41 | 6,16 | 5,26 | 5,19 | 6,69 |
| 11/2012 | 0,96 | 2,19 | 2,24 | 1,73 | 1,09 | 0,07 | 0,41 | 1,44 |
| 12/2012 | -1,15 | -0,06 | 0,41 | -0,31 | -0,65 | -2,61 | -1,64 | -0,52 |
| 01/2013 | -1,64 | -0,19 | -0,06 | -0,89 | -1,71 | -2,00 | -1,51 | -1,12 |
| 02/2013 | -2,11 | -0,57 | -0,15 | -1,85 | -2,15 | -3,40 | -2,27 | -1,62 |
| 03/2013 | -1,22 | -0,23 | -0,09 | -0,90 | -0,95 | -1,40 | -1,11 | -0,65 |
| 04/2013 | 2,41 | 1,94 | 0,88 | 1,29 | 0,85 | 1,09 | 0,98 | 0,86 |
| 05/2013 | 2,00 | 2,43 | 2,04 | 2,30 | 2,36 | 0,98 | 1,60 | 1,68 |
| 06/2013 | 8,48 | 9,72 | 6,91 | 8,85 | 9,75 | 8,86 | 8,81 | 8,99 |
| 07/2013 | 15,04 | 16,19 | 12,06 | 14,89 | 15,64 | 14,28 | 14,64 | 14,92 |
| 08/2013 | 14,73 | 17,08 | 12,44 | 15,47 | 15,94 | 15,02 | 15,71 | 15,69 |
| 09/2013 | 10,45 | 13,62 | 10,18 | 11,87 | 12,02 | 11,60 | 11,90 | 12,63 |
| 10/2013 | 6,15 | 8,04 | 7,16 | 7,01 | 6,79 | 5,94 | 6,12 | 7,35 |
| 11/2013 | 0,44 | 2,51 | 2,76 | 2,14 | 1,34 | -0,44 | -0,43 | 1,45 |
| 12/2013 | -1,04 | 0,78 | 0,90 | 0,84 | -1,34 | -1,68 | -1,85 | -1,00 |
| 01/2014 | -1,11 | 0,42 | 0,26 | 0,40 | -0,93 | -0,47 | -0,72 | -0,54 |
| 02/2014 | -1,22 | 0,36 | -0,13 | -0,01 | -2,28 | -0,90 | -1,48 | -1,36 |
| 03/2014 | -0,18 | 0,29 | -0,03 | 0,07 | -0,73 | -0,31 | -0,68 | -0,13 |
| 04/2014 | 4,32 | 6,27 | 2,88 | 5,24 | 3,73 | 3,47 | 3,89 | 3,83 |
| 05/2014 | 5,58 | 8,21 | 5,25 | 7,15 | 7,13 | 5,74 | 5,86 | 6,96 |
| 06/2014 | 10,93 | 11,57 | 8,19 | 10,70 | 11,26 | 9,98 | 10,53 | 10,86 |
| 07/2014 | 11,96 | 13,69 | 9,97 | 12,81 | 13,47 | 12,19 | 12,66 | 13,02 |
| 08/2014 | 14,96 | 16,14 | 12,07 | 14,55 | 14,78 | 13,43 | 14,94 | 14,56 |
| 09/2014 | 11,80 | 13,97 | 10,97 | 12,58 | 12,19 | 11,31 | 12,09 | 12,57 |
| 10/2014 | 7,34 | 8,84 | 7,67 | 7,99 | 7,45 | 7,44 | 7,58 | 8,08 |
| 11/2014 | 1,62 | 3,33 | 3,43 | 2,81 | 2,21 | 1,17 | 1,53 | 2,49 |
| 12/2014 | -1,44 | 0,16 | 1,00 | 0,15 | -0,92 | -1,94 | -2,22 | -0,63 |
| 01/2015 | -3,48 | -0,01 | -0,35 | -0,73 | -2,46 | -2,29 | -2,23 | -1,60 |
| 02/2015 | -2,78 | -0,52 | -0,60 | -1,69 | -3,08 | -3,26 | -3,70 | -1,51 |
| 03/2015 | -0,50 | -0,03 | -0,13 | -0,26 | -0,37 | -0,14 | -0,43 | -0,22 |
| 04/2015 | 3,44 | 4,96 | 1,35 | 3,57 | 2,35 | 1,48 | 3,18 | 1,37 |
| 05/2015 | 7,79 | 8,12 | 5,23 | 7,23 | 7,45 | 6,77 | 7,05 | 7,19 |
| 06/2015 | 12,28 | 13,08 | 9,04 | 12,35 | 12,79 | 12,59 | 12,67 | 12,51 |
| 07/2015 | 19,56 | 19,53 | 13,30 | 17,91 | 18,59 | 18,01 | 19,70 | 18,35 |
| 08/2015 | 14,46 | 15,76 | 12,02 | 14,13 | 14,34 | 12,07 | 14,01 | 14,49 |
| 09/2015 | 8,08 | 11,09 | 8,87 | 9,90 | 9,47 | 8,21 | 8,60 | 9,98 |
| 10/2015 | 4,87 | 6,66 | 5,84 | 5,87 | 5,35 | 4,27 | 4,53 | 5,92 |
| 11/2015 | 2,71 | 4,30 | 3,86 | 3,56 | 2,88 | 2,99 | 2,69 | 3,93 |
| 12/2015 | 1,06 | 1,88 | 1,73 | 1,13 | 0,03 | 0,58 | 0,58 | 1,29 |
| 01/2016 | -0,90 | 0,37 | 0,49 | 0,06 | -0,32 | -1,33 | -0,84 | -0,22 |
| 02/2016 | -1,60 | 0,14 | 0,15 | -0,22 | -0,89 | -1,35 | -1,99 | -0,81 |
| 03/2016 | -1,87 | -0,58 | -0,06 | -1,57 | -1,53 | -1,98 | -2,08 | ND |
| 04/2016 | 0,71 | 1,33 | 0,19 | 0,59 | -0,13 | -0,15 | -0,20 | ND |
| 05/2016 | 4,97 | 6,34 | 3,49 | 5,21 | 4,32 | 3,12 | 3,64 | ND |

| | | | | | | | | |
|---------|-------|-------|-------|-------|-------|-------|-------|-------|
| 06/2016 | 11,60 | 12,83 | 8,19 | 11,81 | 12,07 | 9,30 | 10,59 | ND |
| 07/2016 | 16,71 | 18,36 | 11,05 | 16,78 | 17,25 | 13,86 | 15,90 | ND |
| 08/2016 | 16,88 | 19,62 | 12,05 | 17,86 | 17,91 | 15,73 | 17,81 | ND |
| 09/2016 | 11,22 | 14,31 | 10,34 | 12,67 | 12,71 | 11,39 | 11,96 | ND |
| 10/2016 | 6,81 | 9,07 | 7,04 | 7,79 | 7,05 | 6,10 | 6,64 | ND |
| 11/2016 | 0,91 | 2,82 | 2,84 | 1,93 | 1,60 | 0,75 | 0,87 | ND |
| 12/2016 | -0,37 | 0,72 | 1,06 | 0,56 | 0,37 | -0,83 | 0,01 | ND |
| 01/2017 | -3,21 | -0,63 | -0,22 | -1,41 | -1,56 | -4,00 | -2,41 | ND |
| 02/2017 | -0,78 | -0,13 | -0,02 | -0,57 | -0,64 | -0,52 | -0,49 | ND |
| 03/2017 | 0,59 | 2,28 | -0,06 | 0,80 | 0,03 | 0,27 | 0,38 | ND |
| 04/2017 | 4,00 | 6,63 | 1,66 | 4,71 | 4,14 | 3,67 | 3,76 | ND |
| 05/2017 | 8,37 | 9,17 | 5,24 | 8,12 | 8,39 | 6,49 | 7,26 | ND |
| 06/2017 | 14,89 | 14,79 | 9,98 | 13,95 | 14,38 | 11,89 | 12,94 | ND |
| 07/2017 | 16,02 | 16,06 | 10,81 | 14,93 | 15,32 | 12,77 | 14,32 | ND |
| 08/2017 | 16,58 | 17,65 | 11,79 | 16,05 | 16,15 | 14,35 | 16,47 | ND |
| 09/2017 | 9,02 | 11,67 | 8,43 | 10,12 | 10,05 | 8,28 | 8,95 | ND |
| 10/2017 | 7,75 | 9,68 | 7,32 | 8,27 | 8,07 | 7,45 | 8,41 | ND |
| 11/2017 | 0,01 | 1,58 | 1,86 | 0,99 | 0,63 | -0,29 | -0,50 | ND |
| 12/2017 | -2,49 | -0,48 | -0,28 | -0,98 | -2,14 | -2,93 | -2,68 | ND |
| 01/2018 | -1,64 | -0,19 | -0,19 | -0,29 | -1,08 | -1,17 | -0,84 | ND |
| 02/2018 | -2,91 | -0,32 | -0,75 | -2,23 | -1,96 | -2,34 | -2,08 | ND |
| 03/2018 | -1,47 | -0,01 | -0,68 | -1,58 | -0,82 | -0,85 | -0,69 | ND |
| 04/2018 | 3,00 | 0,18 | -0,09 | 1,37 | 1,16 | 0,56 | 1,40 | ND |
| 05/2018 | 4,00 | 5,98 | 1,51 | 4,91 | 5,28 | 3,48 | 4,10 | ND |
| 06/2018 | 10,01 | 11,74 | 7,05 | 10,73 | 11,46 | 9,86 | 10,12 | ND |
| 07/2018 | 15,42 | 16,17 | 10,57 | 14,53 | 15,64 | 12,38 | 13,63 | ND |
| 08/2018 | 15,95 | 18,37 | 11,68 | 16,13 | 16,80 | 15,38 | 17,35 | ND |
| 09/2018 | 11,76 | 14,68 | 10,59 | 12,85 | 12,62 | 12,10 | 12,55 | ND |
| 10/2018 | 5,32 | 7,52 | 6,26 | 6,32 | 6,16 | 5,13 | 4,81 | ND |
| 11/2018 | 0,68 | 2,01 | 2,34 | 1,89 | 1,54 | -0,01 | 0,53 | 1,83 |
| 12/2018 | 0,29 | 0,89 | 1,22 | 0,52 | 0,26 | 0,16 | -0,34 | 0,87 |
| 01/2019 | -2,50 | -0,85 | -0,14 | -1,39 | -1,61 | -3,11 | -3,05 | -0,64 |
| 02/2019 | -0,83 | 0,36 | -0,03 | -0,55 | -0,89 | -0,41 | -0,69 | -0,10 |
| 03/2019 | 0,60 | 2,53 | -0,04 | 0,52 | -0,12 | 0,65 | -0,63 | 1,40 |
| 04/2019 | 0,50 | 2,53 | 0,06 | 1,41 | 0,51 | -0,08 | 0,08 | 1,16 |
| 05/2019 | 3,73 | 5,81 | 2,56 | 4,76 | 5,79 | 3,76 | 3,12 | 5,80 |
| 06/2019 | 13,97 | 12,04 | 7,17 | 10,98 | 12,05 | 8,94 | 9,20 | 11,53 |
| 07/2019 | 16,42 | 16,67 | 10,85 | 15,60 | 16,24 | 13,13 | 13,12 | 15,75 |
| 08/2019 | 15,58 | 16,70 | 11,29 | 15,03 | 15,02 | 12,92 | 12,74 | 14,96 |
| 09/2019 | 10,15 | 12,12 | 8,99 | 10,63 | 10,77 | 9,09 | 8,80 | 11,32 |
| 10/2019 | 6,71 | 8,34 | 6,80 | 7,15 | 6,90 | 5,38 | 5,81 | 7,60 |
| 11/2019 | 0,06 | 2,08 | 2,72 | 1,51 | 1,09 | -0,99 | 0,21 | 1,29 |
| 12/2019 | -0,24 | 0,79 | 0,93 | 0,28 | -0,05 | -0,22 | -0,53 | 0,25 |
| 01/2020 | -0,85 | 0,20 | 0,42 | -0,22 | -0,62 | -1,27 | -1,01 | 0,39 |
| 02/2020 | 1,73 | 2,57 | 1,22 | 1,01 | 0,44 | 1,41 | 0,75 | 1,42 |
| 03/2020 | 1,30 | 1,76 | 1,31 | 1,13 | 0,97 | 0,58 | 0,57 | 1,22 |
| 04/2020 | 3,07 | 3,77 | 2,53 | 3,65 | 2,86 | 1,90 | 2,12 | 2,55 |
| 05/2020 | 9,69 | 9,93 | 6,23 | 9,04 | 9,49 | 8,43 | 7,31 | 9,46 |
| 06/2020 | 10,78 | ND | 7,79 | 10,36 | 11,82 | 8,64 | 8,27 | 10,23 |
| 07/2020 | 17,32 | ND | 11,27 | 16,37 | 17,93 | 16,39 | 15,29 | 16,95 |

| | | | | | | | | |
|---------|-------|-------|-------|-------|-------|-------|-------|-------|
| 08/2020 | 16,75 | ND | 11,88 | 15,49 | 16,15 | 13,22 | 13,53 | 15,82 |
| 09/2020 | 9,75 | ND | 8,87 | 10,61 | 10,87 | 9,79 | 9,08 | 11,38 |
| 10/2020 | 2,91 | ND | 4,31 | 3,62 | 3,85 | 2,30 | 2,30 | 4,22 |
| 11/2020 | 2,40 | ND | 3,35 | 2,79 | 2,59 | 2,47 | 1,96 | 3,49 |
| 12/2020 | -1,45 | ND | 0,42 | -0,42 | -0,43 | -2,44 | -1,53 | -0,16 |
| 01/2021 | -2,01 | ND | -0,32 | -1,46 | -1,42 | -3,95 | -2,62 | -0,89 |
| 02/2021 | 0,37 | ND | 0,21 | 0,01 | -0,04 | -0,18 | -0,33 | 0,08 |
| 03/2021 | -0,37 | ND | 0,26 | -0,15 | -0,55 | -0,98 | -1,35 | 0,06 |
| 04/2021 | 2,27 | ND | 1,71 | 2,56 | 1,92 | 1,32 | 0,66 | 2,69 |
| 05/2021 | 5,28 | ND | 5,00 | 6,31 | 6,41 | 4,55 | 3,67 | 5,99 |
| 06/2021 | 10,74 | ND | 9,98 | 11,80 | 12,08 | 9,85 | 8,65 | 11,44 |
| 07/2021 | 14,88 | ND | 11,97 | 14,78 | 15,26 | 13,34 | 12,21 | 14,63 |
| 08/2021 | 16,47 | ND | 13,05 | 15,85 | 16,43 | 15,09 | 13,94 | 16,44 |
| 09/2021 | 10,97 | ND | 10,81 | 11,67 | 11,05 | 9,14 | 8,79 | 11,14 |
| 10/2021 | 5,20 | 7,71 | 5,68 | 5,80 | 6,00 | 5,75 | 4,77 | 7,49 |
| 11/2021 | -0,63 | 1,29 | 1,61 | 0,44 | 0,37 | -0,81 | -0,73 | 0,92 |
| 12/2021 | -0,28 | 0,70 | 1,14 | 0,30 | 0,18 | -0,55 | -0,11 | 0,77 |
| 01/2022 | -2,50 | -1,67 | 0,23 | -0,77 | -1,36 | -2,04 | -2,44 | -0,22 |
| 02/2022 | -0,53 | -0,34 | -0,53 | -0,70 | -0,71 | -0,43 | -0,87 | 0,02 |
| 03/2022 | -0,33 | 0,03 | -0,05 | -0,15 | -0,21 | -0,55 | -0,59 | -0,01 |
| 04/2022 | 1,11 | 3,05 | 0,60 | 1,08 | 0,61 | 0,42 | 0,23 | 1,06 |
| 05/2022 | 8,81 | 10,02 | 5,97 | 8,29 | 8,84 | 7,77 | 6,89 | 9,18 |
| 06/2022 | 14,92 | 15,11 | 9,70 | 13,10 | 14,22 | 12,58 | 12,27 | 13,77 |
| 07/2022 | 19,78 | 21,21 | 13,18 | 18,76 | 19,23 | 19,67 | 17,92 | 18,81 |
| 08/2022 | 16,44 | 19,33 | 13,44 | 16,74 | 17,54 | 16,28 | 14,85 | 17,76 |
| 09/2022 | 10,37 | 13,04 | 9,71 | 10,71 | 11,22 | 9,34 | 9,10 | 11,88 |
| 10/2022 | 7,85 | 9,24 | 7,62 | 7,92 | 7,97 | 7,13 | 6,82 | 8,72 |
| 11/2022 | 2,03 | 3,58 | 3,63 | 2,77 | 2,64 | 1,62 | 1,49 | 2,96 |
| 12/2022 | 0,25 | 1,29 | 1,48 | 1,01 | 0,44 | -0,08 | -0,14 | 0,68 |
| 01/2023 | -1,95 | 0,18 | 0,62 | -0,72 | -1,05 | -3,36 | -2,33 | -0,05 |
| 02/2023 | -2,70 | -0,51 | -0,18 | -1,39 | -2,04 | -3,48 | -3,22 | -1,01 |
| 03/2023 | 1,53 | 2,49 | 0,61 | 0,29 | 0,08 | 0,21 | -0,03 | 0,87 |
| 04/2023 | 4,49 | 6,38 | 3,12 | 3,90 | 4,23 | 3,96 | 2,83 | 4,99 |
| 05/2023 | 5,32 | 7,54 | 4,39 | 5,56 | 6,19 | 4,61 | 3,67 | 6,34 |
| 06/2023 | 11,19 | 12,91 | 9,08 | 11,18 | 12,05 | 10,70 | 10,01 | 11,40 |
| 07/2023 | 17,55 | 18,29 | 12,12 | 15,03 | 16,68 | 14,27 | 14,10 | 15,91 |
| 08/2023 | 17,93 | 19,51 | 12,82 | 15,75 | 17,18 | 16,89 | 15,59 | 17,02 |
| 09/2023 | 11,00 | 12,58 | 9,89 | 10,55 | 11,31 | 10,09 | 9,75 | 11,58 |
| 10/2023 | 8,44 | 9,76 | 7,83 | 7,98 | 7,98 | 8,07 | 7,77 | 8,74 |
| 11/2023 | 2,01 | 3,25 | 3,33 | 2,43 | 2,28 | 1,68 | 1,52 | 2,68 |
| 12/2023 | -0,48 | 0,73 | 1,09 | 0,23 | 0,19 | -0,29 | -0,31 | 0,59 |
| 01/2024 | 0,33 | 1,08 | 0,83 | -0,18 | -0,56 | -1,24 | -0,54 | 0,31 |
| 02/2024 | 0,01 | 1,55 | 1,07 | 0,54 | 0,10 | -0,16 | 0,05 | 1,09 |
| 03/2024 | 1,14 | 2,20 | 1,32 | 0,78 | 0,93 | -0,24 | 0,47 | 1,32 |
| 04/2024 | 2,74 | 4,81 | 2,32 | 2,34 | 3,70 | 2,23 | 1,56 | 3,91 |
| 05/2024 | 6,14 | 7,87 | 4,82 | 5,47 | 6,51 | 4,64 | 4,46 | 6,14 |
| 06/2024 | 11,46 | 13,11 | 8,60 | 9,75 | 12,22 | 9,97 | 9,28 | 11,60 |
| 07/2024 | 16,44 | 17,38 | 11,74 | 13,29 | 16,16 | 14,85 | 13,74 | 15,71 |
| 08/2024 | 16,87 | 19,05 | 13,41 | 14,67 | 17,18 | 16,32 | 15,40 | 17,12 |
| 09/2024 | 7,49 | 10,18 | 8,36 | 8,03 | 9,32 | 7,32 | 7,17 | 9,71 |

| T (°C) | Peña Negrilla (2118 m) | | | | Peña Lobera (2226 m) | | | |
|-------------|------------------------|------|------|------|----------------------|------|------|------|
| Orientación | N | S | E | W | N | S | E | W |
| PROMEDIO | 5,59 | 6,84 | 4,90 | 5,87 | 5,87 | 4,84 | 4,94 | 5,92 |

| T (°C) | Peña Morca (2274 m) | | | | Peña San Miguel - Moncayo (2314 m) | | | |
|-----------|---------------------|-------|-------|-------|------------------------------------|-------|-------|-------|
| FECHA/Or. | N | S | E | W | N | S | E | W |
| 09/2012 | 7,44 | 10,62 | 7,12 | 9,06 | 7,41 | 10,00 | 8,73 | 7,93 |
| 10/2012 | 3,63 | 6,10 | 3,63 | 5,69 | 4,36 | 5,82 | 5,19 | 4,04 |
| 11/2012 | -0,45 | 1,17 | -1,21 | 0,91 | -0,10 | 0,85 | 0,61 | 0,06 |
| 12/2012 | -2,11 | 0,14 | -3,12 | -0,05 | -1,99 | -0,23 | 0,09 | -1,23 |
| 01/2013 | -1,80 | -0,63 | -3,32 | -1,01 | -3,39 | -0,76 | -0,74 | -2,58 |
| 02/2013 | -2,41 | -1,66 | -4,30 | -1,53 | -3,22 | -1,11 | -0,64 | -1,53 |
| 03/2013 | -1,52 | -1,09 | -1,21 | -0,84 | -1,75 | -0,82 | -0,24 | -0,80 |
| 04/2013 | -0,05 | 0,81 | 0,04 | 0,02 | -0,08 | 0,58 | 0,07 | 0,15 |
| 05/2013 | 0,35 | 1,64 | -0,05 | 0,82 | 0,77 | 1,43 | 0,93 | 0,87 |
| 06/2013 | 6,84 | 8,68 | 5,51 | 6,85 | 7,15 | 8,65 | 7,55 | 7,28 |
| 07/2013 | 13,21 | 15,18 | 12,20 | 13,16 | 14,30 | 15,06 | 13,90 | 13,16 |
| 08/2013 | 13,72 | 16,33 | 12,93 | 13,59 | 14,21 | 16,19 | 14,14 | 13,99 |
| 09/2013 | 9,32 | 12,86 | 9,08 | 10,70 | 9,45 | 12,24 | 10,24 | 9,60 |
| 10/2013 | 4,57 | 6,69 | 4,71 | 6,45 | 4,99 | 6,50 | 5,81 | 4,59 |
| 11/2013 | -0,68 | 1,77 | -2,00 | 1,47 | -1,29 | 1,39 | 1,02 | 0,03 |
| 12/2013 | -1,62 | 0,54 | -3,07 | -0,13 | -3,70 | 0,26 | -0,05 | -1,05 |
| 01/2014 | -0,08 | 0,44 | 0,01 | -0,14 | -0,53 | 0,25 | -0,00 | -0,49 |
| 02/2014 | -0,04 | 0,41 | -0,12 | -0,28 | -1,07 | 0,18 | 0,00 | -0,27 |
| 03/2014 | -0,01 | 0,27 | -0,12 | -0,23 | -0,63 | 0,21 | 0,04 | -0,06 |
| 04/2014 | 0,18 | 3,02 | 0,04 | 2,27 | 1,24 | 3,52 | 1,99 | 1,93 |
| 05/2014 | 3,85 | 6,80 | 2,41 | 5,81 | 4,46 | 6,45 | 5,42 | 3,95 |
| 06/2014 | 9,20 | 10,93 | 8,50 | 9,34 | 9,58 | 10,56 | 9,72 | 8,66 |
| 07/2014 | 10,63 | 12,68 | 10,04 | 11,12 | 11,20 | 12,51 | 11,35 | 10,28 |
| 08/2014 | 12,99 | 14,49 | 12,38 | 12,97 | 13,63 | 14,54 | 13,50 | 13,44 |
| 09/2014 | 10,76 | 12,67 | 10,35 | 11,43 | 10,51 | 12,25 | 11,00 | 10,67 |
| 10/2014 | 6,19 | 7,86 | 5,91 | 7,08 | 5,49 | 7,64 | 6,69 | 6,05 |
| 11/2014 | 0,87 | 2,02 | 0,17 | 2,10 | 0,60 | 1,81 | 1,47 | 0,24 |
| 12/2014 | -1,58 | 0,05 | -2,91 | -0,00 | -2,06 | -0,32 | -0,36 | -0,84 |
| 01/2015 | -2,83 | -0,07 | -4,41 | 0,01 | -5,03 | -1,52 | -1,16 | -1,56 |
| 02/2015 | -4,01 | -0,09 | -4,40 | 0,14 | -4,95 | -1,24 | -0,65 | -1,01 |
| 03/2015 | -0,84 | 0,01 | -2,24 | 0,25 | -0,75 | -0,31 | -0,02 | -0,26 |
| 04/2015 | 0,92 | 1,11 | 0,60 | 1,75 | 0,93 | 0,76 | 1,30 | 0,66 |
| 05/2015 | 4,91 | 6,98 | 4,60 | 6,37 | 5,50 | 6,72 | 6,14 | 5,39 |
| 06/2015 | 10,85 | 12,77 | 9,54 | 10,91 | 11,31 | 12,13 | 11,28 | 10,71 |
| 07/2015 | 17,98 | 18,79 | 16,93 | 16,46 | 17,87 | 18,59 | 17,09 | 18,03 |
| 08/2015 | 12,35 | 14,12 | 11,35 | 13,41 | 13,20 | 14,33 | 13,29 | 12,15 |
| 09/2015 | 6,79 | 9,35 | 6,38 | 9,00 | 7,31 | 9,41 | 8,32 | 6,63 |
| 10/2015 | 3,28 | 5,46 | 3,36 | 5,07 | 3,42 | 5,15 | 4,48 | 3,40 |
| 11/2015 | 1,51 | 4,26 | 1,05 | 3,16 | 1,29 | 4,02 | 2,61 | 1,94 |
| 12/2015 | -0,34 | 1,37 | -0,76 | 0,43 | -1,00 | 0,98 | 0,22 | -0,19 |
| 01/2016 | -0,87 | -0,46 | -1,82 | -0,10 | -1,65 | -0,44 | -0,18 | -1,88 |
| 02/2016 | -2,22 | -0,17 | -3,40 | -0,54 | -2,34 | -0,57 | -1,13 | -2,57 |
| 03/2016 | -2,07 | -0,77 | -3,31 | -1,20 | -3,00 | -0,72 | -0,74 | -1,98 |
| 04/2016 | -0,15 | -0,29 | -0,43 | -0,44 | -0,51 | -0,27 | -0,04 | -0,65 |

| | | | | | | | | |
|---------|-------|-------|-------|-------|-------|-------|-------|-------|
| 05/2016 | 2,48 | 3,23 | 2,25 | 2,39 | 3,11 | 3,83 | 2,90 | 2,62 |
| 06/2016 | 9,73 | 11,54 | 8,85 | 10,06 | 10,37 | 11,34 | 10,42 | 9,50 |
| 07/2016 | 14,70 | 17,98 | 13,82 | 14,89 | 15,67 | 17,39 | 15,38 | 14,94 |
| 08/2016 | 15,34 | 19,52 | 14,80 | 15,77 | 15,69 | 18,85 | 15,87 | 16,10 |
| 09/2016 | 10,35 | 13,92 | 9,75 | 11,66 | 10,40 | 13,02 | 11,12 | 10,29 |
| 10/2016 | 5,31 | 8,11 | 4,99 | 6,78 | 5,15 | 7,61 | 6,27 | 5,42 |
| 11/2016 | -0,10 | 2,13 | -0,32 | 1,65 | 0,50 | 1,88 | 1,36 | -0,31 |
| 12/2016 | -0,36 | 0,18 | -0,26 | 0,16 | -1,71 | 0,10 | 0,25 | -1,41 |
| 01/2017 | -2,91 | -1,40 | -2,67 | -0,69 | -5,23 | -1,41 | -0,75 | -3,53 |
| 02/2017 | -1,04 | -0,30 | -0,76 | -0,17 | -2,04 | -0,13 | -0,17 | -0,79 |
| 03/2017 | -0,11 | 0,65 | -0,06 | -0,03 | -0,60 | 0,13 | -0,04 | -0,82 |
| 04/2017 | 0,27 | 5,65 | -0,24 | 2,77 | 1,74 | 5,20 | 2,94 | 2,30 |
| 05/2017 | 5,91 | 8,28 | 5,30 | 7,16 | 6,89 | 8,04 | 7,07 | 5,91 |
| 06/2017 | 12,72 | 14,31 | 11,77 | 13,06 | 13,78 | 13,99 | 12,75 | 11,92 |
| 07/2017 | 14,60 | 15,52 | 13,41 | 14,01 | 14,16 | ND | 13,79 | 14,07 |
| 08/2017 | 14,71 | 16,73 | 14,40 | 15,03 | 14,62 | ND | 14,71 | 15,05 |
| 09/2017 | 7,10 | 10,55 | 7,19 | 9,46 | 7,66 | ND | 8,85 | 7,61 |
| 10/2017 | 6,48 | 9,89 | 6,37 | 7,66 | 5,28 | ND | 6,93 | 6,55 |
| 11/2017 | -1,69 | 1,24 | -2,51 | 1,04 | -1,60 | 1,29 | 0,52 | -1,08 |
| 12/2017 | -1,96 | -1,16 | -4,25 | -0,85 | -4,06 | -0,65 | -0,80 | -2,56 |
| 01/2018 | -0,99 | -0,68 | -1,51 | -0,98 | -2,95 | -0,86 | -0,62 | -2,06 |
| 02/2018 | -1,94 | -0,32 | -4,07 | -0,85 | -4,31 | -0,92 | -1,05 | -2,23 |
| 03/2018 | -0,86 | -0,03 | -1,09 | -0,20 | -1,44 | -0,24 | -0,27 | -0,78 |
| 04/2018 | -0,10 | 0,01 | -0,10 | 0,11 | -0,34 | -0,05 | -0,00 | 0,03 |
| 05/2018 | 2,03 | 4,76 | 1,92 | 3,24 | 3,16 | 3,30 | 2,56 | 2,44 |
| 06/2018 | 9,32 | 11,56 | 8,82 | 10,02 | 9,56 | 10,58 | 9,45 | 8,27 |
| 07/2018 | 13,45 | 15,74 | 12,26 | 14,11 | 14,66 | 15,05 | 14,07 | 12,27 |
| 08/2018 | 14,88 | 18,05 | 14,72 | 15,19 | 15,47 | 16,90 | 15,12 | 14,81 |
| 09/2018 | 10,69 | 14,29 | 10,36 | 12,08 | 11,16 | 13,77 | 11,79 | 10,80 |
| 10/2018 | 3,39 | 7,06 | 3,52 | 5,90 | 3,98 | 6,75 | 5,26 | 3,56 |
| 11/2018 | 0,07 | 2,03 | -0,40 | 1,49 | -0,24 | 1,62 | 1,15 | -0,08 |
| 12/2018 | -0,40 | 0,76 | -1,30 | 0,35 | -0,82 | 0,49 | -0,16 | -0,96 |
| 01/2019 | -3,48 | -0,73 | -4,74 | -0,96 | -4,86 | -1,04 | -2,13 | -3,99 |
| 02/2019 | -2,12 | -0,01 | -2,91 | -0,26 | -2,91 | -0,11 | -0,73 | -1,00 |
| 03/2019 | -1,85 | 1,12 | -2,09 | -0,35 | -1,36 | 0,24 | -0,55 | -1,35 |
| 04/2019 | -0,37 | 0,86 | -0,68 | 0,11 | -0,43 | 0,76 | 0,13 | -0,73 |
| 05/2019 | 2,21 | 5,86 | 0,59 | 3,62 | 3,16 | 5,47 | 2,64 | 2,15 |
| 06/2019 | 10,65 | 12,28 | 9,75 | 10,61 | 10,93 | 11,26 | 10,41 | 9,13 |
| 07/2019 | 14,23 | 16,47 | 13,38 | 14,93 | 14,95 | 16,04 | 14,66 | 13,21 |
| 08/2019 | 13,64 | 15,63 | 12,40 | 14,25 | 14,33 | 15,49 | 14,15 | 12,97 |
| 09/2019 | 7,84 | 11,14 | 8,11 | 10,16 | 8,57 | 10,95 | 9,51 | 7,80 |
| 10/2019 | 5,18 | 7,29 | 5,28 | 6,54 | 4,89 | 6,96 | 5,79 | 4,98 |
| 11/2019 | -0,31 | 0,72 | -1,29 | 0,88 | 0,17 | 0,75 | 0,65 | -0,69 |
| 12/2019 | -0,46 | -0,20 | -1,05 | -0,11 | -0,89 | -0,20 | 0,19 | -1,17 |
| 01/2020 | -1,83 | -0,02 | -2,84 | -0,47 | -2,43 | -0,45 | -1,17 | -1,86 |
| 02/2020 | 0,19 | 1,50 | 0,30 | -0,08 | -0,28 | 0,42 | 0,10 | ND |
| 03/2020 | -0,98 | 0,84 | -0,93 | 0,09 | -0,27 | 0,68 | 0,15 | ND |
| 04/2020 | 0,68 | 2,20 | -0,20 | 2,36 | 1,79 | 2,85 | 2,40 | ND |
| 05/2020 | 7,46 | 9,35 | 6,92 | 8,53 | 8,37 | 8,99 | 8,20 | ND |
| 06/2020 | 8,28 | 10,20 | 7,93 | 9,67 | 9,40 | 10,03 | 9,63 | ND |
| 07/2020 | 16,49 | 18,44 | 15,61 | 16,19 | 16,93 | 17,58 | 15,94 | ND |

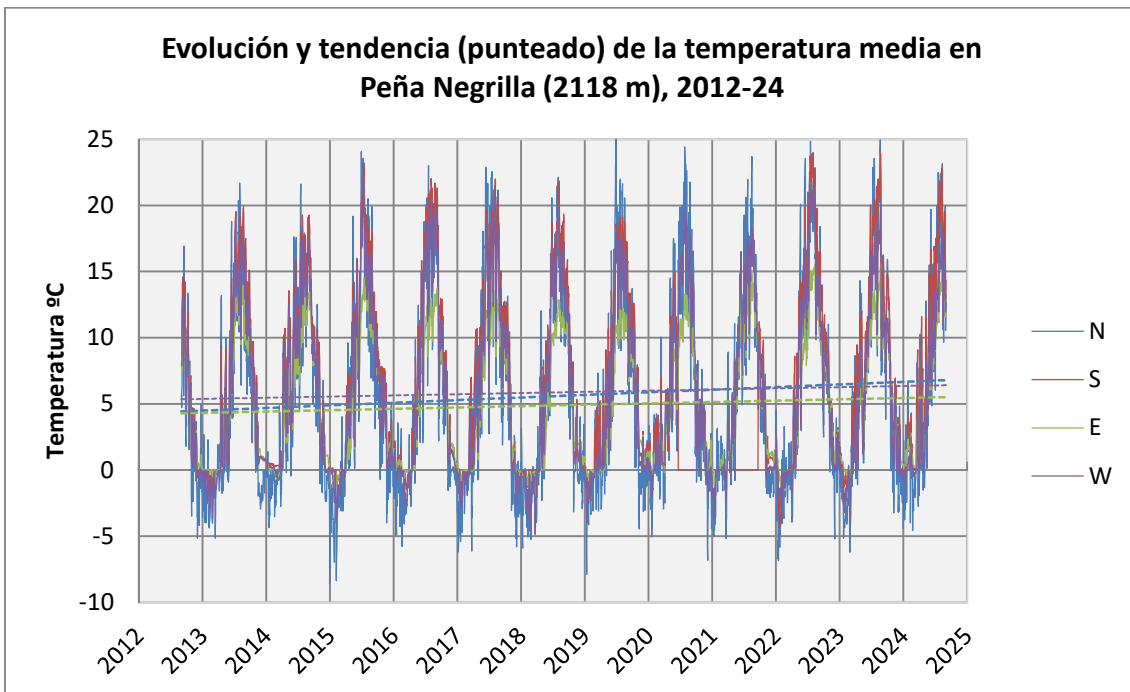
| | | | | | | | | |
|----------------|----------------------------|-------|-------|-------|---|-------|-------|-------|
| 08/2020 | 14,15 | 16,15 | 13,39 | 14,92 | 14,75 | 15,96 | 14,72 | ND |
| 09/2020 | 8,05 | 12,08 | 8,00 | 10,14 | 8,45 | 11,31 | 9,52 | ND |
| 10/2020 | 7,89 | 11,94 | 7,86 | 9,99 | 8,24 | ND | 9,36 | ND |
| 11/2020 | 1,32 | 3,70 | 1,39 | 3,29 | 1,92 | 3,59 | 2,90 | ND |
| 12/2020 | 1,14 | 3,10 | 1,08 | 2,38 | 1,19 | 2,88 | 1,97 | ND |
| 01/2021 | -2,36 | -0,39 | -3,36 | -0,22 | -2,12 | -0,56 | -0,50 | ND |
| 02/2021 | -2,67 | -0,65 | -4,48 | -1,00 | -4,38 | -1,39 | -1,42 | ND |
| 03/2021 | -0,45 | -0,16 | -0,78 | -0,19 | -0,85 | -0,26 | -0,16 | -0,66 |
| 04/2021 | -2,13 | -0,19 | -1,50 | -0,86 | -2,01 | -0,62 | -0,37 | -1,79 |
| 05/2021 | 0,07 | 2,89 | -0,13 | 0,71 | 0,74 | 1,65 | 0,56 | 0,47 |
| 06/2021 | 3,91 | 5,25 | 3,73 | 4,46 | 4,84 | 5,27 | 4,53 | 3,66 |
| 07/2021 | 9,96 | 11,25 | 9,18 | 10,75 | 11,14 | 11,23 | 10,48 | 9,02 |
| 08/2021 | 15,03 | 15,22 | 13,29 | 13,67 | 15,03 | 15,23 | 13,69 | 13,12 |
| 09/2021 | 15,01 | 16,69 | 13,82 | 14,79 | 15,86 | 17,03 | 14,89 | 15,20 |
| 10/2021 | 4,02 | 7,33 | 3,64 | 5,85 | 3,75 | 7,24 | 5,32 | 3,84 |
| 11/2021 | -2,51 | 0,46 | -2,83 | 0,29 | -1,85 | 0,24 | -0,15 | -2,03 |
| 12/2021 | -0,92 | 0,22 | -1,13 | 0,06 | -1,07 | 0,33 | -0,13 | -0,30 |
| 01/2022 | -4,19 | -0,36 | -4,31 | -1,12 | -4,38 | -0,59 | -1,71 | -3,46 |
| 02/2022 | -2,08 | -0,27 | -2,47 | -0,89 | -2,60 | -0,90 | -1,57 | -2,07 |
| 03/2022 | -1,30 | -0,04 | -1,12 | -0,37 | -1,41 | -0,39 | -0,52 | -1,21 |
| 04/2022 | -0,19 | 1,31 | -0,12 | 0,17 | -0,30 | 0,09 | 0,32 | -0,09 |
| 05/2022 | 7,22 | 9,04 | 5,32 | 6,93 | 8,18 | 8,68 | 6,68 | 6,95 |
| 06/2022 | 14,52 | 14,45 | 12,90 | 13,08 | 14,58 | 14,09 | 12,52 | 13,31 |
| 07/2022 | 19,78 | 20,60 | 18,69 | 17,74 | 19,85 | 19,67 | 17,38 | 19,54 |
| 08/2022 | 15,60 | 18,37 | 15,04 | 16,35 | 17,14 | 17,87 | 16,03 | 15,91 |
| 09/2022 | 8,72 | 11,62 | 8,39 | 10,84 | 9,94 | 11,70 | 10,34 | 9,05 |
| 10/2022 | 6,35 | 8,24 | 6,31 | 7,54 | 6,39 | 8,18 | 7,23 | 6,35 |
| 11/2022 | 0,48 | 2,40 | 0,50 | 2,32 | 1,26 | 2,38 | 2,04 | 0,72 |
| 12/2022 | -0,60 | 0,15 | -1,08 | 0,04 | -0,43 | 0,15 | 0,14 | -0,71 |
| 01/2023 | -2,98 | -0,58 | -4,46 | -0,57 | -3,46 | -0,56 | -0,83 | -2,62 |
| 02/2023 | -3,49 | -1,38 | -5,15 | -1,44 | -4,75 | -1,26 | -1,28 | -2,80 |
| 03/2023 | -0,63 | 0,55 | -0,80 | -0,26 | -1,29 | 0,51 | 0,10 | 0,03 |
| 04/2023 | 2,20 | 5,01 | 2,44 | 3,30 | 3,19 | 4,87 | 3,08 | 2,71 |
| 05/2023 | 3,34 | 6,48 | 3,23 | 5,19 | 4,37 | 6,11 | 4,52 | 3,66 |
| 06/2023 | 10,38 | 11,58 | 9,87 | 10,79 | 11,59 | 11,57 | 10,69 | 10,08 |
| 07/2023 | 16,86 | 16,70 | 14,94 | 15,51 | 17,68 | 17,05 | 15,42 | 14,99 |
| 08/2023 | 16,18 | 17,88 | 15,74 | 15,71 | 16,24 | 18,14 | 15,50 | 16,44 |
| 09/2023 | 9,51 | 11,41 | 9,10 | 10,65 | 10,05 | 11,76 | 10,49 | 9,29 |
| 10/2023 | 6,83 | 9,27 | 6,34 | 7,93 | 6,97 | 8,92 | 7,54 | 7,05 |
| 11/2023 | 0,72 | 2,05 | 0,47 | 1,71 | 0,54 | 2,00 | 1,53 | 0,36 |
| 12/2023 | -1,64 | 0,26 | -2,28 | 0,03 | -1,35 | 0,17 | -0,10 | -1,77 |
| 01/2024 | -0,92 | 0,30 | -1,83 | -0,40 | -1,55 | 0,05 | -0,40 | -0,90 |
| 02/2024 | -1,02 | 1,06 | -1,51 | -0,10 | -0,69 | 0,74 | N/D | -0,97 |
| 03/2024 | -0,87 | 1,40 | -1,15 | 0,47 | -0,97 | 1,32 | N/D | -0,21 |
| 04/2024 | 0,29 | 3,75 | -0,69 | 2,88 | 1,52 | 3,70 | N/D | 0,89 |
| 05/2024 | 4,27 | 5,84 | 3,16 | 5,32 | 5,20 | 6,00 | N/D | 4,23 |
| 06/2024 | 9,81 | 11,69 | 9,04 | 10,71 | 11,70 | 11,82 | N/D | 9,53 |
| 07/2024 | 16,02 | 16,42 | 13,95 | 14,54 | 16,45 | 16,51 | N/D | 14,83 |
| 08/2024 | 16,19 | 18,10 | N/D | 15,86 | 16,87 | 18,23 | N/D | 15,94 |
| 09/2024 | 6,25 | 9,06 | N/D | 8,52 | 7,41 | 9,57 | N/D | 6,09 |
| T (°C) | Peña Morca (2274 m) | | | | Peña San Miguel - Moncayo (2314 m) | | | |
| Orientación | N | S | E | W | N | S | E | W |

| | | | | | | | | |
|----------|------|------|---|------|------|------|---|------|
| PROMEDIO | 4,31 | 6,22 | * | 5,29 | 4,40 | 5,74 | * | 4,32 |
|----------|------|------|---|------|------|------|---|------|

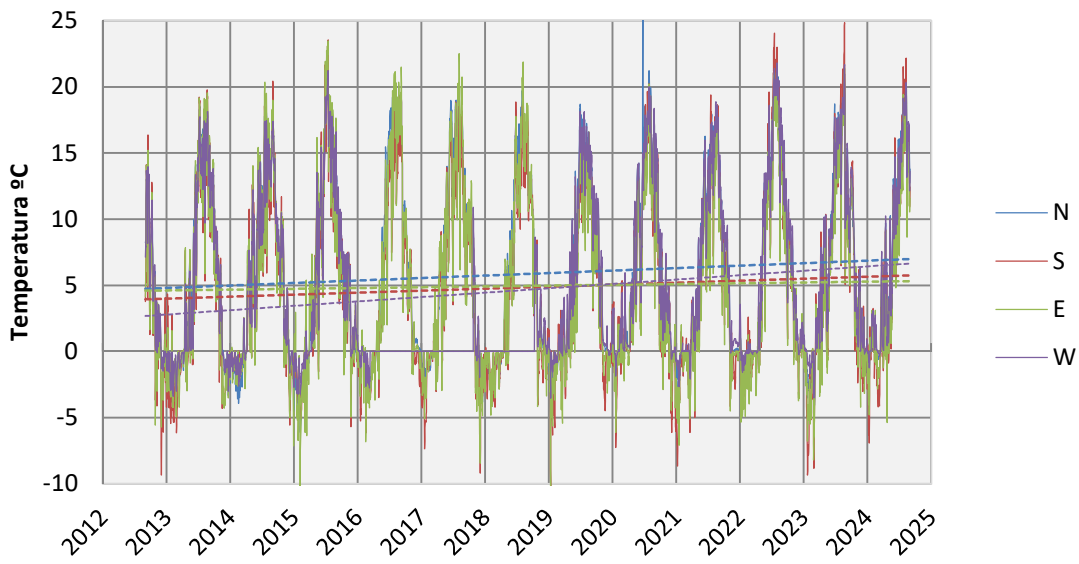
| Tabla de temperaturas mínimas y máximas absolutas por orientación, 2012-2023 | | | | | | | | |
|--|--------------------|--------------------|--------------------|--------------------|-------------------|------------------|------------------|------------------|
| | MÍNIMAS ABSOLUTAS | | | | MÁXIMAS ABSOLUTAS | | | |
| | N | S | E | W | N | S | E | W |
| NEG | -10,68 13/01/22 | -5,78 28/01/22 | -2,17 22/3/18 | -5,41 22/3/18 | 37,62 29/6/19 | 28,16 15/7/15 | 18,53 21/8/13 | 27,56 15/7/18 |
| LOB | -6,42 06/02/15 | -12,14 11/01/19 | -13,14 10/01/19 | -4,45 11/01/19 | 33,64 23/6/20 | 37,25 13/7/15 | 33,44 15/7/15 | 28,31 17/7/22 |
| MOR | -14,01 11/01/19 | -6,07 11/01/19 | -13,91 28/02/23 | -5,13 28/02/23 | 31,17 15/7/22 | 31,84 15/7/15 | 28,13 18/7/22 | 24,61 29/7/20 |
| MON | -10,87 11/01/19 | -4,06 01/3/23 | -7,56 11/01/19 | -13,62 11/01/19 | 26,36 24/7/22 | 27,54 01/8/22 | 25,19 16/7/15 | 29,84 10/7/19 |

Los datos de T máxima y mínima de NEG-N se deben a que la parcela es muy pedregosa, apenas tiene suelo, por lo que las variaciones de temperatura son más acusadas y extremas.

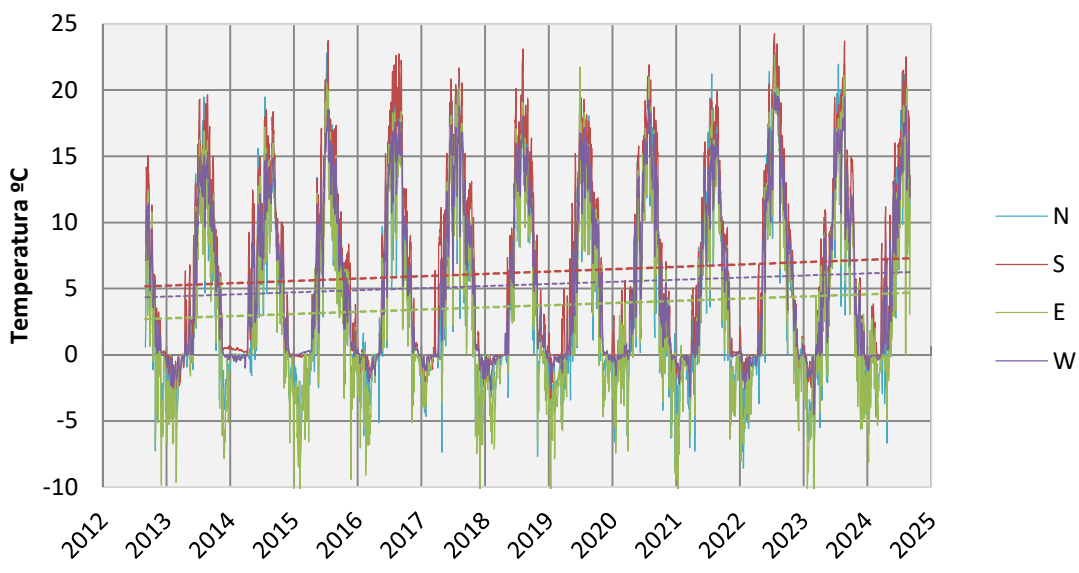
A continuación, exponemos las gráficas de la evolución y la tendencia de la temperatura en las cuatro cimas de la ZP del Moncayo, desde septiembre de 2012 hasta octubre de 2024. En todas las cimas se observa una **tendencia acusada ascendente** de la temperatura.

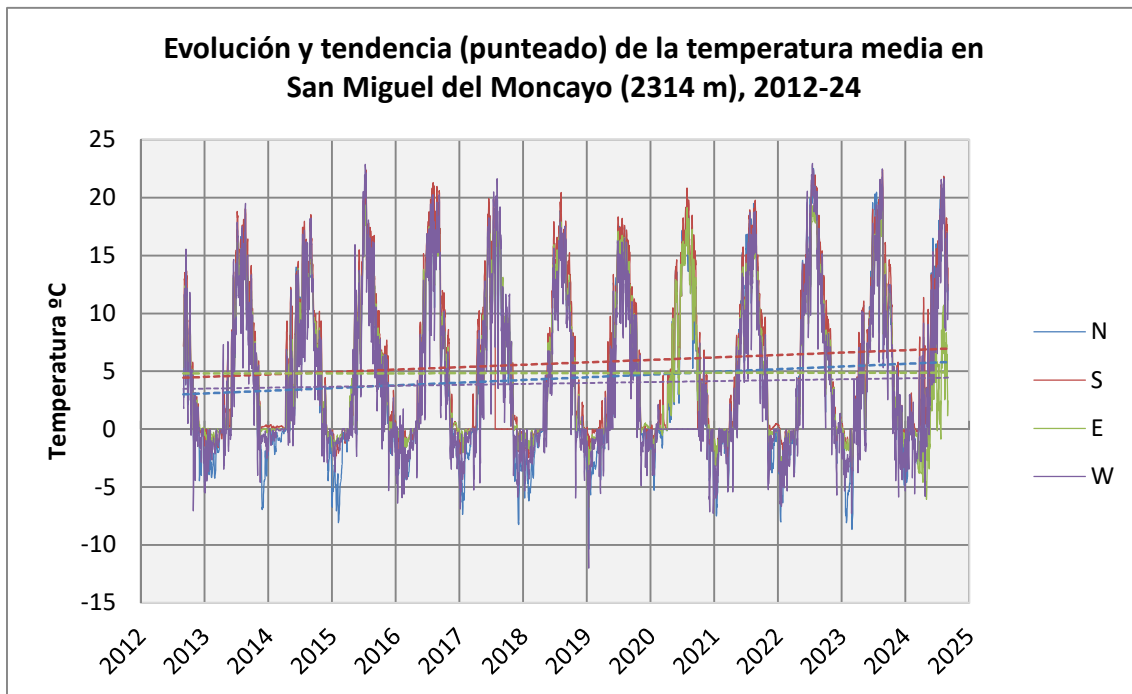


**Evolución y tendencia (punteado) de la temperatura media en
Peña Lobera (2226 m), 2012-24**



**Evolución y tendencia (punteado) de la temperatura media en
Peña Morca (2274 m), 2012-24**





9.3.2. Evolución del periodo vegetativo

El periodo vegetativo (PV) en las dos cimas inferiores, Peña Negrilla y Lobera, es de alrededor de seis meses (6,1 y 5,8 meses o 183,5 y 176,4 días, respectivamente). Las dos cimas superiores, Morca y Moncayo, tienen un PV similar de 5,45 meses (algo más de 163 días). La diferencia entre los extremos es de c. 20 días.

En la **Peña Negrilla** las orientaciones con el PV más corto son E y N, con 174,2 y 178 días de media (c. 6 meses), mientras que en la cara S el PV se alarga casi cuatro semanas más (hasta los 198,7 días o 6,6 meses). La diferencia entre la vertiente más fría (E) y más la más cálida (S) es de 20 días.

Curiosamente, en **Peña Lobera** las orientaciones con el PV más largo son la W y N, con c. 186,3 días (6,2 meses) y 182 (6,1 meses) respectivamente. La más corta es la S con c. 169,8 días (5,7 meses), con una diferencia de 16,5 días con el oeste. Esto puede ser debido a que al sur hay un collado pronunciado donde sopla el viento de forma casi constante, mientras que la cara norte está más protegida de los vientos dominantes del oeste-noroeste (cierzo).

En la **Peña Morca** el PV más corto está al Este (150,4 días, 5 meses), mientras que el PV más largo es más de un mes mayor en la orientación Sur con 182 días (6,1 meses), con una diferencia de más de 31,6 días.

Por fin, en la cima más alta, la **Peña San Miguel del Moncayo**, las orientaciones con el PV más corto son las Oeste y Norte (156,6 y 157,8 días, poco más de 5 meses), mientras que la ladera más cálida es la Sur con 18 días más (174,9 días, 5,8 meses).

En la zona piloto del Moncayo, el PV desciende a razón de 9,9 días cada 100 m de altitud, es decir, un mes (29,7 días) cada 300 metros de desnivel.

| Tablas del periodo vegetativo (PV) anual en ES-MON, 2013-2023, contado en días y meses, por orientaciones. Indicamos en rojo los valores de PV máximos y en azul los mínimos | | | | | | | | |
|--|------------------------|-------|-------|-------|----------------------|-------|-------|-------|
| CIMA VERTIENTE DÍAS PV | Peña Negrilla (2118 m) | | | | Peña Lobera (2226 m) | | | |
| | N | S | E | W | N | S | E | W |
| 2013 | 163 | 169 | 159 | 164 | 162 | 156 | 159 | 161 |
| 2014 | 187 | 214 | 189 | 205 | 199 | 180 | 186 | 199 |
| 2015 | 188 | 209 | 181 | 193 | 183 | 169 | 187 | 181 |
| 2016 | 163 | 187 | 173 | 178 | 176 | 154 | 163 | * |
| 2017 | 183 | 212 | 174 | 199 | 194 | 188 | 187 | * |
| 2018 | 175 | 177 | 152 | 180 | 176 | 165 | 165 | * |
| 2019 | 166 | 193 | 159 | 174 | 178 | 155 | 155 | 186 |
| 2020 | 179 | * | 176 | 188 | 180 | 166 | 158 | 191 |
| 2021 | 178 | * | 175 | 180 | 178 | 169 | 154 | 184 |
| 2022 | 183 | 210 | 186 | 191 | 185 | 181 | 177 | 193 |
| 2023 | 193 | 217 | 192 | 194 | 191 | 185 | 180 | 197 |
| MEDIA | 178,0 | 198,7 | 174,2 | 186,0 | 182,0 | 169,8 | 170,1 | 186,3 |
| DEST | 10,3 | 17,7 | 13,0 | 12,0 | 10,2 | 12,2 | 13,4 | 12,1 |
| MED CIMA DEST | 183,5 ± 15,7 | | | | 176,4 ± 13,6 | | | |
| MESES PV | N | S | E | W | N | S | E | W |
| 2013 | 5,4 | 5,6 | 5,2 | 5,4 | 5,4 | 5,2 | 5,3 | 5,4 |
| 2014 | 6,2 | 7,1 | 6,2 | 6,2 | 6,6 | 6,0 | 6,2 | 6,6 |
| 2015 | 6,3 | 7,0 | 6,3 | 6,2 | 6,1 | 5,6 | 6,2 | 6,0 |
| 2016 | 5,4 | 6,2 | 5,8 | 5,9 | 5,9 | 5,1 | 5,4 | * |
| 2017 | 6,1 | 7,1 | 5,8 | 6,6 | 6,5 | 6,3 | 6,2 | * |
| 2018 | 5,8 | 5,9 | 5,1 | 6,0 | 5,9 | 5,5 | 5,5 | * |
| 2019 | 5,5 | 6,4 | 5,3 | 5,8 | 5,9 | 5,2 | 5,2 | 6,2 |
| 2020 | 6,0 | * | 5,9 | 6,3 | 6,0 | 5,5 | 5,3 | 6,4 |
| 2021 | 5,9 | * | 5,8 | 6,0 | 5,9 | 5,6 | 5,1 | 6,1 |
| 2022 | 6,1 | 7,0 | 6,2 | 6,4 | 6,2 | 6,0 | 5,9 | 6,4 |
| 2023 | 6,4 | 7,2 | 6,4 | 6,5 | 6,4 | 6,2 | 6,0 | 6,6 |
| MEDIA | 5,9 | 6,6 | 5,8 | 6,2 | 6,1 | 5,7 | 5,7 | 6,2 |
| DEST | 0,3 | 0,6 | 0,4 | 0,4 | 0,3 | 0,4 | 0,4 | 0,4 |
| MED CIMA DEST | 6,12 ± 0,5 | | | | 5,88 ± 0,45 | | | |

| CIMA VERTIENTE DÍAS PV | Peña Morca (2274 m) | | | | Moncayo (2314 m) | | | |
|------------------------|---------------------|-----|-----|-----|------------------|-----|-----|-----|
| | N | S | E | W | N | S | E | W |
| 2013 | 141 | 159 | 137 | 149 | 138 | 156 | 148 | 144 |
| 2014 | 157 | 189 | 152 | 180 | 165 | 186 | 176 | 167 |
| 2015 | 153 | 181 | 151 | 175 | 160 | 175 | 168 | 150 |
| 2016 | 151 | 168 | 144 | 165 | 148 | 169 | 161 | 147 |
| 2017 | 155 | 204 | 156 | 187 | 172 | * | 186 | 171 |
| 2018 | 143 | 173 | 141 | 159 | 149 | 163 | 156 | 151 |
| 2019 | 144 | 180 | 139 | 162 | 154 | 173 | 152 | 144 |
| 2020 | 139 | 181 | 143 | 163 | 149 | 179 | 157 | * |
| 2021 | 150 | 184 | 151 | 170 | 156 | 177 | 166 | 148 |
| 2022 | 168 | 189 | 166 | 177 | 175 | 182 | 177 | 169 |

| | | | | | | | | |
|-----------------|---------------------|--------------|--------------|--------------|---------------------|--------------|--------------|--------------|
| 2023 | 174 | 194 | 174 | 181 | 170 | 189 | 177 | 175 |
| MEDIA | 152,3 | 182,0 | 150,4 | 169,8 | 157,8 | 174,9 | 165,8 | 156,6 |
| DEST | 11,0 | 12,4 | 11,5 | 11,3 | 11,7 | 10,2 | 12,1 | 12,3 |
| MED CIMA | 163,6 ± 17,3 | | | | 163,7 ± 13,4 | | | |
| MESES PV | N | S | E | W | N | S | E | W |
| 2013 | 4,7 | 5,3 | 4,6 | 5,0 | 4,6 | 5,2 | 4,9 | 4,8 |
| 2014 | 5,2 | 6,3 | 5,1 | 6,0 | 5,5 | 6,2 | 5,9 | 5,6 |
| 2015 | 5,1 | 6,0 | 5,0 | 5,8 | 5,3 | 5,8 | 5,6 | 5,0 |
| 2016 | 5,0 | 5,6 | 4,8 | 5,5 | 4,9 | 5,6 | 5,4 | 4,9 |
| 2017 | 5,2 | 6,8 | 5,2 | 6,2 | 5,7 | * | 6,2 | 5,7 |
| 2018 | 4,8 | 5,8 | 4,7 | 5,3 | 5,0 | 5,4 | 5,2 | 5,0 |
| 2019 | 4,8 | 6,0 | 4,6 | 5,4 | 5,1 | 5,8 | 5,1 | 4,8 |
| 2020 | 4,6 | 6,0 | 4,8 | 5,4 | 5,0 | 6,0 | 5,2 | * |
| 2021 | 5,0 | 6,1 | 5,0 | 5,7 | 5,2 | 5,9 | 5,5 | 4,9 |
| 2022 | 5,6 | 6,3 | 5,5 | 5,9 | 5,8 | 6,1 | 5,9 | 5,6 |
| 2023 | 5,8 | 6,5 | 5,8 | 6,0 | 5,7 | 6,3 | 5,9 | 5,8 |
| MEDIA | 5,1 | 6,1 | 5,0 | 5,7 | 5,3 | 5,8 | 5,5 | 5,2 |
| DEST | 0,4 | 0,4 | 0,4 | 0,4 | 0,4 | 0,3 | 0,4 | 0,4 |
| MED CIMA | 5,45 ± 0,58 | | | | 5,46 ± 0,45 | | | |
| DEST | | | | | | | | |

El año con el PV más corto, en todas las cimas, fue 2013, mientras que los más cálidos han sido 2014 y significativamente 2023, como podemos ver en la tabla siguiente.

| Tabla del promedio de días de periodo vegetativo de cada cima, años 2013-23 | | | | |
|---|--------------|--------------|--------------|--------------|
| CIMA | Negrilla | Lobera | Morca | Moncayo |
| Alt. (m) | 2118 | 2226 | 2274 | 2314 |
| 2013 | 163,8 | 159,5 | 146,5 | 146,5 |
| 2014 | 198,8 | 191,0 | 169,5 | 173,5 |
| 2015 | 192,8 | 180,0 | 165,0 | 163,3 |
| 2016 | 175,3 | 164,3 | 157,0 | 156,3 |
| 2017 | 192,0 | 189,7 | 175,5 | 176,3 |
| 2018 | 188,0 | 184,8 | 163,3 | 166,0 |
| 2019 | 173,0 | 168,5 | 156,3 | 155,8 |
| 2020 | 181,0 | 173,8 | 156,5 | 161,7 |
| 2021 | 177,7 | 171,3 | 163,8 | 161,8 |
| 2022 | 192,5 | 184,0 | 175,0 | 175,8 |
| 2023 | 199,0 | 188,3 | 180,8 | 177,8 |
| MEDIA | 183,3 | 176,2 | 163,6 | 163,9 |
| DEST | 12,1 | 10,9 | 10,7 | 10,5 |

A continuación, la tabla del número de días de periodo vegetativo (PV, temperatura media diaria $\geq 4^{\circ}\text{C}$) por mes y año, durante el periodo septiembre de 2012 – septiembre de 2024, por cimas y orientaciones.

| PV MENSUAL | Peña Negrilla (2118 m) | | | | Peña Lobera (2226 m) | | | | Peña Morca (2274 m) | | | | Moncayo (2314 m) | | | |
|---------------|------------------------|----|----|----|----------------------|----|----|----|---------------------|----|----|----|------------------|----|----|----|
| | N | S | E | W | N | S | E | W | N | S | E | W | N | S | E | W |
| 09/2012 | 26 | 30 | 30 | 30 | 30 | 24 | 25 | 30 | 22 | 30 | 22 | 30 | 22 | 28 | 28 | 22 |
| 10/2012 | 21 | 27 | 27 | 24 | 24 | 22 | 21 | 25 | 16 | 23 | 16 | 24 | 18 | 23 | 22 | 16 |
| 11/2012 | 3 | 4 | 1 | 1 | 0 | 0 | 0 | 0 | 0 | 0 | 0 | 0 | 0 | 0 | 0 | 0 |

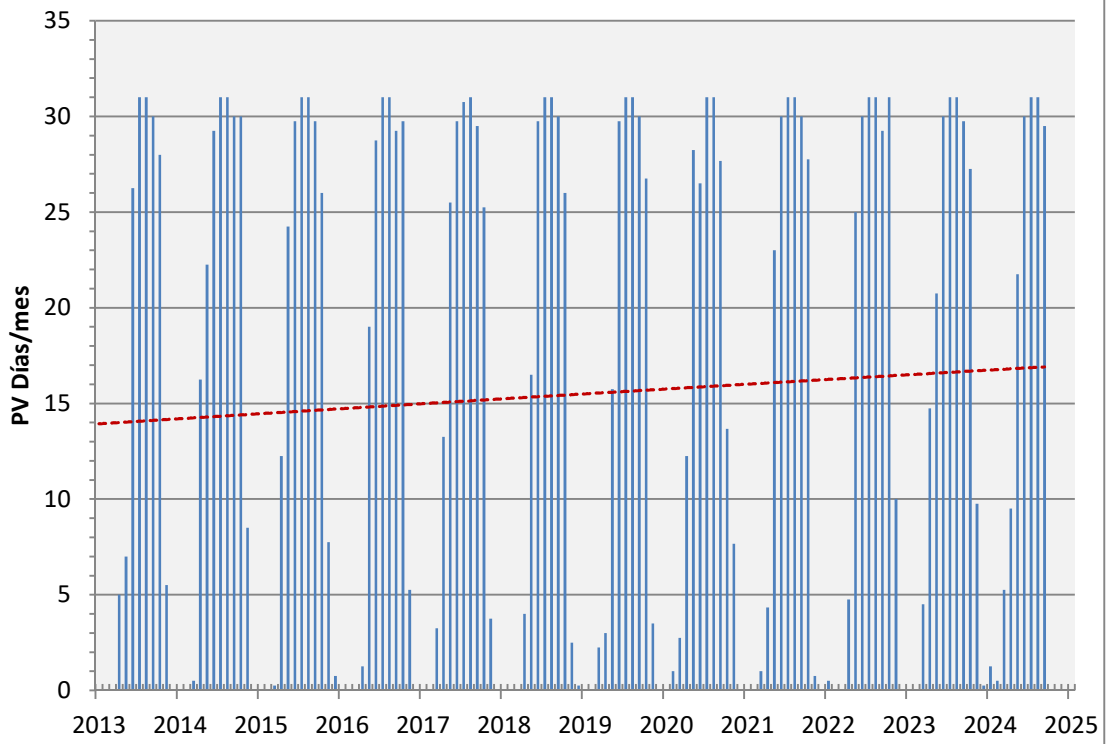
| | | | | | | | | | | | | | | | | | | | | |
|---------|----|----|----|----|----|----|----|----|----|----|----|----|----|----|----|----|----|----|----|----|
| 12/2012 | 1 | 0 | 0 | 0 | 0 | 1 | 0 | 0 | 0 | 0 | 0 | 0 | 0 | 0 | 0 | 0 | 0 | 0 | 0 | 0 |
| 01/2013 | 0 | 0 | 0 | 0 | 0 | 1 | 0 | 0 | 0 | 0 | 0 | 0 | 0 | 0 | 0 | 0 | 0 | 0 | 0 | 0 |
| 02/2013 | 0 | 0 | 0 | 0 | 0 | 0 | 0 | 0 | 0 | 0 | 0 | 0 | 0 | 0 | 0 | 0 | 0 | 0 | 0 | 0 |
| 03/2013 | 0 | 0 | 0 | 0 | 0 | 0 | 0 | 0 | 0 | 0 | 0 | 0 | 0 | 0 | 0 | 0 | 0 | 0 | 0 | 0 |
| 04/2013 | 9 | 7 | 1 | 3 | 3 | 4 | 4 | 2 | 0 | 3 | 0 | 0 | 0 | 1 | 0 | 2 | 5 | 2 | 5 | 0 |
| 05/2013 | 9 | 7 | 5 | 7 | 7 | 5 | 7 | 6 | 1 | 5 | 0 | 0 | 0 | 2 | 5 | 2 | 5 | 2 | 5 | 0 |
| 06/2013 | 23 | 28 | 26 | 28 | 27 | 24 | 26 | 27 | 23 | 26 | 20 | 25 | 24 | 26 | 24 | 23 | 24 | 26 | 24 | 23 |
| 07/2013 | 31 | 31 | 31 | 31 | 31 | 31 | 31 | 31 | 31 | 31 | 31 | 31 | 31 | 31 | 31 | 31 | 31 | 31 | 31 | 31 |
| 08/2013 | 31 | 31 | 31 | 31 | 31 | 31 | 31 | 31 | 31 | 31 | 31 | 31 | 31 | 31 | 31 | 31 | 31 | 31 | 31 | 31 |
| 09/2013 | 30 | 30 | 30 | 30 | 30 | 30 | 30 | 30 | 30 | 30 | 30 | 30 | 30 | 30 | 30 | 30 | 30 | 30 | 30 | 29 |
| 10/2013 | 26 | 29 | 29 | 28 | 28 | 26 | 26 | 28 | 21 | 28 | 21 | 28 | 20 | 28 | 27 | 20 | 20 | 28 | 27 | 20 |
| 11/2013 | 4 | 6 | 6 | 6 | 5 | 4 | 4 | 6 | 4 | 5 | 4 | 4 | 0 | 4 | 3 | 3 | 0 | 4 | 3 | 3 |
| 12/2013 | 0 | 0 | 0 | 0 | 0 | 0 | 0 | 0 | 0 | 0 | 0 | 0 | 0 | 0 | 0 | 0 | 0 | 0 | 0 | 0 |
| 01/2014 | 0 | 0 | 0 | 0 | 0 | 0 | 0 | 0 | 0 | 0 | 0 | 0 | 0 | 0 | 0 | 0 | 0 | 0 | 0 | 0 |
| 02/2014 | 0 | 0 | 0 | 0 | 0 | 0 | 0 | 0 | 0 | 0 | 0 | 0 | 0 | 0 | 0 | 0 | 0 | 0 | 0 | 0 |
| 03/2014 | 2 | 0 | 0 | 0 | 0 | 0 | 0 | 0 | 0 | 0 | 0 | 0 | 0 | 0 | 0 | 0 | 0 | 0 | 0 | 0 |
| 04/2014 | 16 | 23 | 9 | 17 | 15 | 12 | 16 | 15 | 0 | 10 | 0 | 7 | 3 | 12 | 7 | 8 | 3 | 12 | 7 | 8 |
| 05/2014 | 15 | 28 | 19 | 27 | 26 | 16 | 16 | 24 | 14 | 20 | 7 | 18 | 16 | 18 | 16 | 15 | 16 | 18 | 16 | 15 |
| 06/2014 | 28 | 30 | 29 | 30 | 30 | 29 | 29 | 30 | 26 | 30 | 27 | 29 | 27 | 29 | 29 | 27 | 27 | 29 | 29 | 27 |
| 07/2014 | 31 | 31 | 31 | 31 | 31 | 31 | 31 | 31 | 29 | 31 | 30 | 31 | 31 | 31 | 31 | 31 | 31 | 31 | 31 | 29 |
| 08/2014 | 31 | 31 | 31 | 31 | 31 | 31 | 31 | 31 | 31 | 31 | 31 | 31 | 31 | 31 | 31 | 31 | 31 | 31 | 31 | 31 |
| 09/2014 | 30 | 30 | 30 | 30 | 30 | 30 | 30 | 30 | 28 | 30 | 28 | 30 | 30 | 30 | 30 | 30 | 30 | 30 | 30 | 29 |
| 10/2014 | 27 | 31 | 31 | 31 | 31 | 28 | 28 | 31 | 27 | 31 | 27 | 31 | 25 | 31 | 30 | 26 | 25 | 31 | 30 | 26 |
| 11/2014 | 7 | 10 | 9 | 8 | 5 | 3 | 5 | 7 | 2 | 6 | 2 | 3 | 2 | 4 | 2 | 2 | 2 | 4 | 2 | 2 |
| 12/2014 | 0 | 0 | 0 | 0 | 0 | 0 | 0 | 0 | 0 | 0 | 0 | 0 | 0 | 0 | 0 | 0 | 0 | 0 | 0 | 0 |
| 01/2015 | 0 | 0 | 0 | 0 | 0 | 0 | 0 | 0 | 0 | 0 | 0 | 0 | 0 | 0 | 0 | 0 | 0 | 0 | 0 | 0 |
| 02/2015 | 0 | 0 | 0 | 0 | 0 | 0 | 0 | 0 | 0 | 0 | 0 | 0 | 0 | 0 | 0 | 0 | 0 | 0 | 0 | 0 |
| 03/2015 | 1 | 0 | 0 | 0 | 0 | 0 | 0 | 4 | 0 | 0 | 0 | 0 | 0 | 0 | 0 | 0 | 0 | 0 | 0 | 0 |
| 04/2015 | 13 | 24 | 0 | 12 | 4 | 3 | 10 | 0 | 1 | 3 | 0 | 3 | 0 | 0 | 1 | 0 | 0 | 0 | 1 | 0 |
| 05/2015 | 22 | 26 | 23 | 26 | 26 | 24 | 24 | 25 | 17 | 25 | 18 | 23 | 22 | 24 | 23 | 19 | 22 | 24 | 23 | 19 |
| 06/2015 | 29 | 30 | 30 | 30 | 30 | 30 | 30 | 30 | 28 | 30 | 28 | 30 | 28 | 30 | 30 | 27 | 28 | 30 | 30 | 27 |
| 07/2015 | 31 | 31 | 31 | 31 | 31 | 31 | 31 | 31 | 31 | 31 | 31 | 31 | 31 | 31 | 31 | 31 | 31 | 31 | 31 | 31 |
| 08/2015 | 31 | 31 | 31 | 31 | 31 | 31 | 31 | 31 | 31 | 31 | 31 | 31 | 31 | 31 | 31 | 31 | 31 | 31 | 31 | 31 |
| 09/2015 | 29 | 30 | 30 | 30 | 30 | 27 | 30 | 30 | 28 | 30 | 25 | 30 | 28 | 30 | 30 | 24 | 28 | 30 | 30 | 24 |
| 10/2015 | 22 | 27 | 26 | 24 | 26 | 20 | 22 | 27 | 15 | 25 | 16 | 24 | 18 | 25 | 20 | 16 | 18 | 25 | 20 | 16 |
| 11/2015 | 7 | 10 | 7 | 7 | 5 | 3 | 5 | 7 | 2 | 6 | 2 | 3 | 2 | 4 | 2 | 2 | 2 | 4 | 2 | 2 |
| 12/2015 | 3 | 0 | 0 | 0 | 0 | 0 | 0 | 0 | 0 | 0 | 0 | 0 | 0 | 0 | 0 | 0 | 0 | 0 | 0 | 0 |
| 01/2016 | 0 | 0 | 0 | 0 | 0 | 0 | 0 | 0 | 0 | 0 | 0 | 0 | 0 | 0 | 0 | 0 | 0 | 0 | 0 | 0 |
| 02/2016 | 0 | 0 | 0 | 0 | 0 | 0 | 0 | 0 | 0 | 0 | 0 | 0 | 0 | 0 | 0 | 0 | 0 | 0 | 0 | 0 |
| 03/2016 | 0 | 0 | 0 | 0 | 0 | 0 | 0 | 0 | * | 0 | 0 | 0 | 0 | 0 | 0 | 0 | 0 | 0 | 0 | 0 |
| 04/2016 | 2 | 3 | 0 | 0 | 0 | 0 | 0 | 0 | * | 0 | 0 | 0 | 0 | 0 | 0 | 0 | 0 | 0 | 0 | 0 |
| 05/2016 | 17 | 24 | 15 | 20 | 18 | 10 | 15 | * | 10 | 13 | 8 | 7 | 12 | 14 | 11 | 10 | 12 | 14 | 11 | 10 |
| 06/2016 | 25 | 30 | 30 | 30 | 30 | 27 | 27 | * | 25 | 27 | 25 | 30 | 26 | 29 | 28 | 24 | 26 | 29 | 28 | 24 |
| 07/2016 | 31 | 31 | 31 | 31 | 31 | 31 | 31 | * | 31 | 31 | 31 | 31 | 31 | 31 | 31 | 31 | 31 | 31 | 31 | 31 |
| 08/2016 | 31 | 31 | 31 | 31 | 31 | 31 | 31 | * | 31 | 31 | 31 | 31 | 31 | 31 | 31 | 31 | 31 | 31 | 31 | 31 |
| 09/2016 | 27 | 30 | 30 | 30 | 30 | 27 | 27 | * | 27 | 30 | 25 | 30 | 28 | 30 | 29 | 25 | 28 | 30 | 29 | 25 |
| 10/2016 | 26 | 31 | 31 | 31 | 31 | 31 | 24 | 28 | * | 24 | 31 | 22 | 31 | 20 | 30 | 27 | 23 | 24 | 31 | 23 |
| 11/2016 | 4 | 7 | 5 | 5 | 5 | 4 | 4 | * | 3 | 5 | 2 | 5 | 0 | 4 | 4 | 3 | 0 | 4 | 4 | 3 |
| 12/2016 | 0 | 0 | 0 | 0 | 0 | 0 | 0 | * | 0 | 0 | 0 | 0 | 0 | 0 | 0 | 0 | 0 | 0 | 0 | 0 |
| 01/2017 | 0 | 0 | 0 | 0 | 0 | 0 | 0 | * | 0 | 0 | 0 | 0 | 0 | 0 | 0 | 0 | 0 | 0 | 0 | 0 |
| 02/2017 | 0 | 0 | 0 | 0 | 0 | 0 | 0 | * | 0 | 0 | 0 | 0 | 0 | 0 | 0 | 0 | 0 | 0 | 0 | 0 |
| 03/2017 | 2 | 9 | 0 | 2 | 0 | 2 | 2 | * | 0 | 3 | 0 | 0 | 0 | 0 | 0 | 0 | 0 | 0 | 0 | 0 |
| 04/2017 | 15 | 20 | 0 | 18 | 15 | 17 | 17 | * | 2 | 18 | 0 | 9 | 8 | 17 | 13 | 13 | 12 | 14 | 11 | 10 |
| 05/2017 | 23 | 31 | 21 | 27 | 28 | 22 | 24 | * | 19 | 26 | 18 | 27 | 25 | 26 | 26 | 22 | 24 | 25 | 26 | 22 |

| | | | | | | | | | | | | | | | | |
|---------|----|----|----|----|----|----|----|----|----|----|----|----|----|----|----|----|
| 06/2017 | 29 | 30 | 30 | 30 | 30 | 29 | 29 | * | 29 | 30 | 28 | 30 | 30 | 30 | 30 | 28 |
| 07/2017 | 30 | 31 | 31 | 31 | 31 | 30 | 30 | * | 30 | 31 | 30 | 31 | 31 | * | 31 | 30 |
| 08/2017 | 31 | 31 | 31 | 31 | 31 | 31 | 31 | * | 30 | 31 | 31 | 31 | 31 | * | 31 | 30 |
| 09/2017 | 28 | 30 | 30 | 30 | 30 | 30 | 28 | * | 24 | 30 | 26 | 30 | 29 | * | 30 | 24 |
| 10/2017 | 23 | 26 | 26 | 26 | 25 | 24 | 23 | * | 21 | 32 | 22 | 25 | 18 | * | 23 | 24 |
| 11/2017 | 2 | 4 | 5 | 4 | 4 | 3 | 3 | * | 0 | 3 | 1 | 4 | 0 | 3 | 2 | 0 |
| 12/2017 | 0 | 0 | 0 | 0 | 0 | 0 | 0 | 0 | 0 | 0 | 0 | 0 | 0 | 0 | 0 | 0 |
| 01/2018 | 0 | 0 | 0 | 0 | 0 | 0 | 0 | 0 | 0 | 0 | 0 | 0 | 0 | 0 | 0 | 0 |
| 02/2018 | 0 | 0 | 0 | 0 | 0 | 0 | 0 | * | 0 | 0 | 0 | 0 | 0 | 0 | 0 | 0 |
| 03/2018 | 0 | 0 | 0 | 0 | 0 | 0 | 0 | * | 0 | 0 | 0 | 0 | 0 | 0 | 0 | 0 |
| 04/2018 | 10 | 0 | 0 | 6 | 4 | 3 | 5 | * | 0 | 0 | 0 | 0 | 0 | 0 | 0 | 1 |
| 05/2018 | 18 | 23 | 3 | 22 | 23 | 17 | 20 | * | 10 | 21 | 7 | 11 | 13 | 13 | 10 | 12 |
| 06/2018 | 29 | 30 | 30 | 30 | 30 | 29 | 28 | * | 25 | 30 | 27 | 30 | 28 | 30 | 30 | 27 |
| 07/2018 | 31 | 31 | 31 | 31 | 31 | 31 | 31 | * | 31 | 31 | 31 | 31 | 31 | 30 | 31 | 31 |
| 08/2018 | 31 | 31 | 31 | 31 | 31 | 31 | 31 | * | 31 | 31 | 31 | 31 | 31 | 30 | 31 | 31 |
| 09/2018 | 30 | 30 | 30 | 30 | 30 | 30 | 30 | * | 30 | 30 | 30 | 30 | 30 | 30 | 30 | 30 |
| 10/2019 | 23 | 27 | 27 | 27 | 27 | 22 | 20 | 17 | 16 | 26 | 15 | 26 | 16 | 27 | 24 | 19 |
| 11/2019 | 2 | 5 | 0 | 3 | 0 | 2 | 0 | 5 | 0 | 4 | 0 | 0 | 0 | 3 | 0 | 0 |
| 12/2019 | 1 | 0 | 0 | 0 | 0 | 0 | 0 | 0 | 0 | 0 | 0 | 0 | 0 | 0 | 0 | 0 |
| 01/2019 | 0 | 0 | 0 | 0 | 0 | 0 | 0 | 0 | 0 | 0 | 0 | 0 | 0 | 0 | 0 | 0 |
| 02/2019 | 0 | 0 | 0 | 0 | 0 | 0 | 0 | 0 | 0 | 0 | 0 | 0 | 0 | 0 | 0 | 0 |
| 03/2019 | 2 | 7 | 0 | 0 | 0 | 0 | 0 | 0 | 0 | 3 | 0 | 0 | 0 | 0 | 0 | 0 |
| 04/2019 | 3 | 7 | 0 | 2 | 2 | 2 | 0 | 5 | 0 | 2 | 0 | 0 | 0 | 2 | 0 | 0 |
| 05/2019 | 14 | 25 | 4 | 20 | 26 | 15 | 16 | 26 | 10 | 25 | 2 | 13 | 13 | 22 | 9 | 8 |
| 06/2019 | 29 | 30 | 30 | 30 | 30 | 26 | 25 | 30 | 25 | 30 | 26 | 30 | 29 | 30 | 28 | 24 |
| 07/2019 | 31 | 31 | 31 | 31 | 31 | 31 | 31 | 31 | 31 | 31 | 31 | 31 | 31 | 31 | 31 | 31 |
| 08/2019 | 31 | 31 | 31 | 31 | 31 | 31 | 31 | 31 | 31 | 31 | 31 | 31 | 31 | 31 | 31 | 31 |
| 09/2019 | 30 | 30 | 30 | 30 | 30 | 29 | 29 | 32 | 26 | 30 | 27 | 30 | 29 | 30 | 30 | 28 |
| 10/2019 | 24 | 28 | 29 | 26 | 26 | 19 | 21 | 26 | 19 | 26 | 20 | 25 | 19 | 25 | 21 | 20 |
| 11/2019 | 2 | 4 | 4 | 4 | 2 | 2 | 2 | 2 | 2 | 2 | 2 | 2 | 2 | 2 | 2 | 2 |
| 12/2019 | 0 | 0 | 0 | 0 | 0 | 0 | 0 | 0 | 0 | 0 | 0 | 0 | 0 | 0 | 0 | 0 |
| 01/2020 | 0 | 0 | 0 | 0 | 0 | 0 | 0 | 0 | 0 | 0 | 0 | 0 | 0 | 0 | 0 | 0 |
| 02/2020 | 3 | 1 | 0 | 0 | 0 | 3 | 0 | 2 | 0 | 2 | 0 | 0 | 0 | 0 | 0 | 0 |
| 03/2020 | 4 | 5 | 0 | 2 | 2 | 2 | 2 | 3 | 0 | 2 | 0 | 0 | 0 | 2 | 0 | * |
| 04/2020 | 14 | 17 | 1 | 17 | 10 | 6 | 4 | 9 | 0 | 9 | 0 | 5 | 3 | 12 | 5 | * |
| 05/2020 | 25 | 31 | 28 | 29 | 29 | 26 | 24 | 29 | 22 | 26 | 22 | 27 | 25 | 27 | 26 | * |
| 06/2020 | 27 | 19 | 30 | 30 | 30 | 26 | 26 | 31 | 24 | 29 | 25 | 30 | 27 | 28 | 28 | * |
| 07/2020 | 31 | 31 | 31 | 31 | 31 | 31 | 31 | 31 | 31 | 31 | 31 | 31 | 31 | 31 | 31 | * |
| 08/2020 | 31 | 31 | 31 | 31 | 31 | 31 | 31 | 31 | 29 | 31 | 30 | 31 | 31 | 31 | 31 | * |
| 09/2020 | 26 | * | 30 | 27 | 29 | 26 | 26 | 30 | 23 | 28 | 24 | 27 | 25 | 27 | 26 | * |
| 10/2020 | 12 | * | 16 | 13 | 12 | 10 | 9 | 15 | 7 | 14 | 6 | 9 | 5 | 13 | 7 | * |
| 11/2020 | 6 | * | 9 | 8 | 6 | 5 | 5 | 10 | 3 | 9 | 5 | 3 | 2 | 8 | 3 | * |
| 12/2020 | 0 | * | 0 | 0 | 0 | 0 | 0 | 0 | 0 | 0 | 0 | 0 | 0 | 0 | 0 | * |
| 01/2021 | 0 | * | 0 | 0 | 0 | 0 | 0 | 0 | 0 | 0 | 0 | 0 | 0 | 0 | 0 | * |
| 02/2021 | 0 | * | 0 | 0 | 0 | 0 | 0 | 0 | 0 | 0 | 0 | 0 | 0 | 0 | 0 | 0 |
| 03/2021 | 3 | * | 0 | 0 | 0 | 0 | 0 | 0 | 0 | 0 | 0 | 0 | 0 | 0 | 0 | 0 |
| 04/2021 | 7 | * | 0 | 6 | 5 | 0 | 0 | 6 | 0 | 9 | 0 | 0 | 0 | 2 | 0 | 0 |
| 05/2021 | 22 | * | 22 | 25 | 24 | 21 | 15 | 22 | 14 | 21 | 17 | 19 | 21 | 21 | 20 | 15 |
| 06/2021 | 30 | * | 30 | 30 | 30 | 30 | 30 | 32 | 29 | 30 | 30 | 30 | 30 | 30 | 30 | 30 |
| 07/2021 | 31 | * | 31 | 31 | 31 | 31 | 31 | 31 | 30 | 31 | 31 | 31 | 31 | 31 | 31 | 31 |
| 08/2021 | 31 | * | 31 | 31 | 31 | 31 | 31 | 31 | 31 | 31 | 31 | 31 | 31 | 31 | 31 | 31 |
| 09/2021 | 20 | * | 20 | 20 | 28 | 28 | 26 | 28 | 25 | 28 | 26 | 28 | 28 | 28 | 28 | 26 |
| 10/2021 | 30 | * | 30 | 30 | 30 | 30 | 28 | 32 | 27 | 30 | 28 | 30 | 30 | 30 | 30 | 28 |

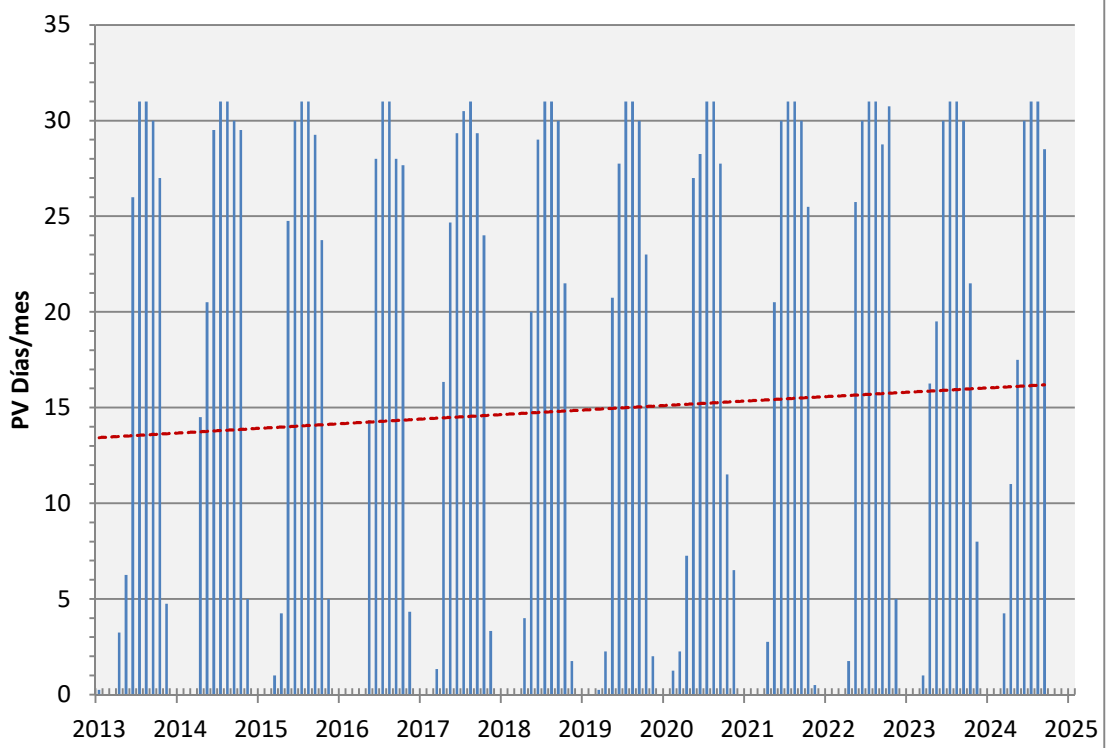
| | | | | | | | | | | | | | | | | |
|---------------|------------------------|----|----|----|----------------------|----|----|----|---------------------|----|----|----|------------------|----|-----|----|
| 11/2021 | 24 | 31 | 30 | 26 | 26 | 26 | 19 | 31 | 19 | 31 | 14 | 28 | 12 | 31 | 24 | 13 |
| 12/2021 | 0 | 1 | 1 | 1 | 1 | 0 | 0 | 1 | 0 | 1 | 0 | 1 | 1 | 1 | 0 | 0 |
| 01/2022 | 0 | 0 | 0 | 0 | 0 | 0 | 0 | 0 | 0 | 0 | 0 | 0 | 0 | 0 | 0 | 0 |
| 02/2022 | 2 | 0 | 0 | 0 | 0 | 0 | 0 | 0 | 0 | 0 | 0 | 0 | 0 | 0 | 0 | 0 |
| 03/2022 | 0 | 0 | 0 | 0 | 0 | 0 | 0 | 0 | 0 | 0 | 0 | 0 | 0 | 0 | 0 | 0 |
| 04/2022 | 0 | 0 | 0 | 0 | 0 | 0 | 0 | 0 | 0 | 0 | 0 | 0 | 0 | 0 | 0 | 0 |
| 05/2022 | 4 | 12 | 0 | 3 | 1 | 2 | 1 | 3 | 0 | 6 | 0 | 0 | 0 | 0 | 0 | 2 |
| 06/2022 | 22 | 31 | 21 | 26 | 27 | 25 | 22 | 29 | 20 | 26 | 18 | 22 | 24 | 26 | 22 | 21 |
| 07/2022 | 30 | 30 | 30 | 30 | 30 | 30 | 30 | 30 | 30 | 30 | 30 | 30 | 30 | 30 | 30 | 30 |
| 08/2022 | 31 | 31 | 31 | 31 | 31 | 31 | 31 | 31 | 31 | 31 | 31 | 31 | 31 | 31 | 31 | 31 |
| 09/2022 | 31 | 31 | 31 | 31 | 31 | 31 | 31 | 31 | 31 | 31 | 31 | 31 | 31 | 31 | 31 | 31 |
| 10/2022 | 28 | 30 | 30 | 29 | 29 | 28 | 29 | 29 | 25 | 29 | 25 | 29 | 28 | 29 | 29 | 25 |
| 11/2022 | 31 | 31 | 31 | 31 | 31 | 31 | 30 | 31 | 30 | 31 | 30 | 31 | 30 | 31 | 31 | 29 |
| 12/2022 | 4 | 14 | 12 | 10 | 5 | 3 | 3 | 9 | 1 | 5 | 1 | 3 | 1 | 4 | 3 | 0 |
| 01/2023 | 0 | 0 | 0 | 0 | 0 | 0 | 0 | 0 | 0 | 0 | 0 | 0 | 0 | 0 | 0 | 0 |
| 02/2023 | 0 | 0 | 0 | 0 | 0 | 0 | 0 | 0 | 0 | 0 | 0 | 0 | 0 | 0 | 0 | 0 |
| 03/2023 | 0 | 0 | 0 | 0 | 0 | 0 | 0 | 0 | 0 | 0 | 0 | 0 | 0 | 0 | 0 | 0 |
| 04/2023 | 8 | 10 | 0 | 0 | 0 | 2 | 0 | 2 | 1 | 1 | 3 | 0 | 0 | 1 | 0 | 2 |
| 05/2023 | 14 | 20 | 10 | 15 | 17 | 15 | 14 | 19 | 13 | 19 | 13 | 13 | 12 | 16 | 12 | 13 |
| 06/2023 | 18 | 24 | 20 | 21 | 22 | 18 | 16 | 22 | 16 | 23 | 14 | 21 | 16 | 21 | 18 | 14 |
| 07/2023 | 30 | 30 | 30 | 30 | 30 | 30 | 30 | 30 | 30 | 30 | 30 | 30 | 30 | 30 | 30 | 30 |
| 08/2023 | 31 | 31 | 31 | 31 | 31 | 31 | 31 | 31 | 31 | 31 | 31 | 31 | 31 | 31 | 31 | 31 |
| 09/2023 | 31 | 31 | 31 | 31 | 31 | 31 | 31 | 31 | 29 | 31 | 31 | 31 | 31 | 31 | 31 | 31 |
| 10/2023 | 29 | 30 | 30 | 30 | 30 | 30 | 30 | 30 | 29 | 30 | 28 | 30 | 30 | 30 | 30 | 29 |
| 11/2023 | 9 | 11 | 10 | 9 | 7 | 8 | 8 | 9 | 5 | 7 | 4 | 4 | 0 | 8 | 5 | 5 |
| 12/2023 | 1 | 0 | 0 | 0 | 0 | 0 | 0 | 0 | 0 | 0 | 0 | 0 | 0 | 0 | 0 | 0 |
| 01/2024 | 5 | 0 | 0 | 0 | 0 | 0 | 0 | 0 | 0 | 0 | 0 | 0 | 0 | 0 | 0 | 0 |
| 02/2024 | 1 | 1 | 0 | 0 | 0 | 0 | 0 | 0 | 0 | 0 | 0 | 0 | 0 | 0 | 0 | 0 |
| 03/2024 | 8 | 8 | 3 | 2 | 4 | 4 | 4 | 5 | 0 | 6 | 0 | 2 | 0 | 5 | N/D | 4 |
| 04/2024 | 9 | 16 | 5 | 8 | 13 | 9 | 8 | 14 | 4 | 14 | 0 | 11 | 4 | 12 | N/D | 6 |
| 05/2024 | 17 | 28 | 20 | 22 | 22 | 14 | 14 | 20 | 14 | 17 | 12 | 17 | 15 | 18 | N/D | 13 |
| 06/2024 | 30 | 30 | 30 | 30 | 30 | 30 | 30 | 30 | 27 | 30 | 28 | 30 | 30 | 30 | N/D | 29 |
| 07/2024 | 31 | 31 | 31 | 31 | 31 | 31 | 31 | 31 | 31 | 31 | 31 | 31 | 31 | 31 | N/D | 31 |
| 08/2024 | 31 | 31 | 31 | 31 | 31 | 31 | 31 | 31 | 31 | 31 | 25 | 31 | 31 | 31 | N/D | 31 |
| 09/2024 | 28 | 30 | 30 | 30 | 30 | 27 | 27 | 30 | 25 | 30 | 25 | 30 | 28 | 30 | N/D | 23 |
| PV MENSUAL | Peña Negrilla (2118 m) | | | | Peña Lobera (2226 m) | | | | Peña Morca (2274 m) | | | | Moncayo (2314 m) | | | |
| | N | S | E | W | N | S | E | W | N | S | E | W | N | S | E | W |

A continuación, exponemos las gráficas de la evolución y la tendencia del periodo vegetativo en las cuatro cimas de la ZP del Moncayo, desde septiembre de 2012 hasta octubre de 2023. En todas las cimas se observa una **tendencia acusada ascendente** del PV.

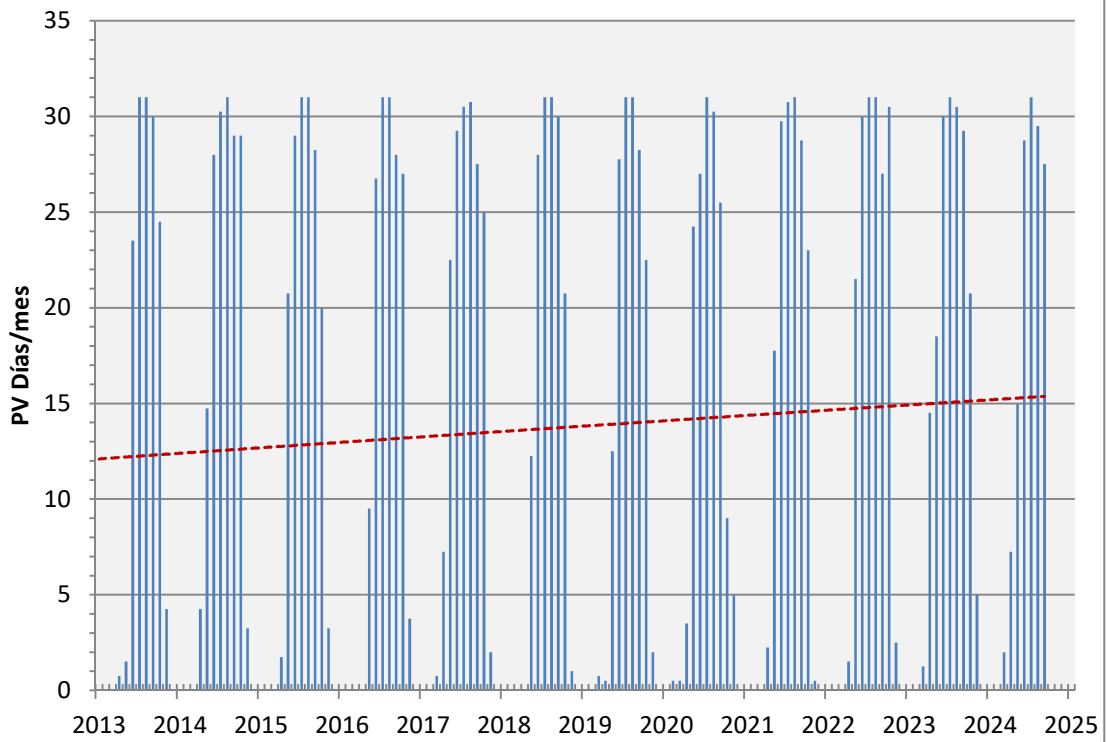
**Periodo vegetativo medio y línea de tendencia (punteado)
en Peña Negrilla (2118 m), 2013-24**



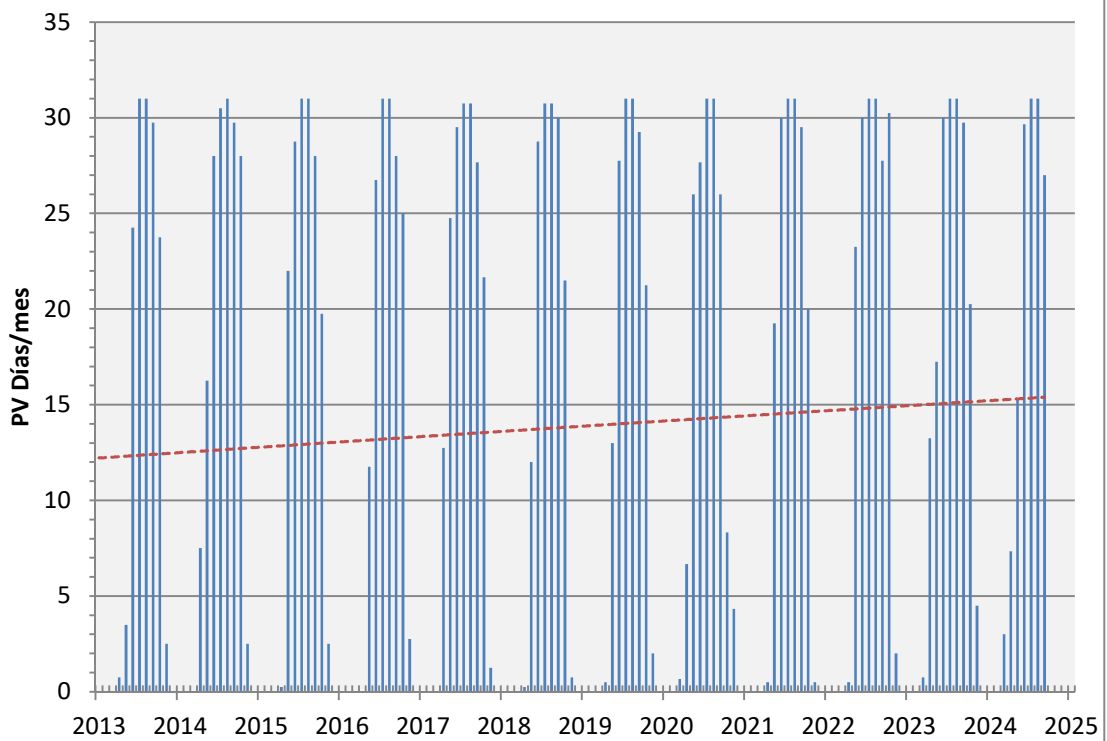
**Periodo vegetativo medio y línea de tendencia (punteado)
en Peña Lobera (2226 m), 2013-24**



**Periodo vegetativo medio y línea de tendencia (punteado)
en Peña Morca (2274 m), 2013-24**



**Periodo vegetativo medio y línea de tendencia (punteado)
en San Miguel del Moncayo (2314 m), 2013-24**



10. Especies de plantas localizadas en las cimas GLORIA-Aragón

A continuación, presentamos en tres tablas las listas de especies de plantas vasculares localizadas correspondientes en las cuatro cimas de cada una las tres zonas piloto GLORIA-Aragón.

10.1. Tabla de taxones inventariados en la zona piloto ES-CPY (Ordesa)

| Taxones ES-CPY | ACU 2242 m | CUS 2519 m | TOB 2779 m | OLA 3022 m |
|--|---------------|---------------|---------------|---------------|
| <i>Achillea millefolium</i> L. | X | . | . | . |
| <i>Agrostis alpina</i> Scop. | . | X | . | . |
| <i>Agrostis capillaris</i> L. | X | . | . | . |
| <i>Alchemilla alpina</i> L. | X | X | . | . |
| <i>Androsace ciliata</i> DC. | . | . | . | X |
| <i>Androsace villosa</i> L. | X | . | . | . |
| <i>Androsace vitaliana</i> (L.) Lapeyr. subsp. <i>vitaliana</i> | X | . | . | . |
| <i>Antennaria dioica</i> (L.) Gaertn. | X | X | . | . |
| <i>Anthyllis montana</i> L. | X | . | . | . |
| <i>Anthyllis vulneraria</i> L. subsp. <i>alpestris</i> (Kit. ex Schult.) Asch. & Graebn. | . | X | . | . |
| <i>Arabis scabra</i> All. | X | . | . | . |
| <i>Arenaria moehringioides</i> J. Murr | . | X | . | . |
| <i>Arenaria grandiflora</i> L. | X | . | . | . |
| <i>Arenaria purpurascens</i> Ramond ex DC. | X | X | X | . |
| <i>Arenaria serpyllifolia</i> L. | . | X | . | . |
| <i>Artemisia umbelliformis</i> Lam. | . | . | . | X |
| <i>Asplenium viride</i> Huds. | . | X | . | . |
| <i>Aster alpinus</i> L. | X | . | . | . |
| <i>Borderea pyrenaica</i> Miégev. | X | . | . | . |
| <i>Botrychium lunaria</i> (L.) Sw. | . | X | . | . |
| <i>Bupleurum ranunculoides</i> L. | X | . | . | . |
| <i>Calluna vulgaris</i> (L.) Hull | X | . | . | . |
| <i>Campanula cochlearifolia</i> Lam. | . | X | . | . |
| <i>Campanula agg. scheuchzeri</i> Vill. | X | X | . | . |
| <i>Carduus carlinoides</i> Gouan subsp. <i>carlinoides</i> | . | X | X | . |
| <i>Carex ericetorum</i> Pollich | X | . | . | . |
| <i>Carex ornithopoda</i> Willd. | X | X | . | . |
| <i>Carex parviflora</i> Host | X | . | . | . |
| <i>Carex rupestris</i> All. | X | X | . | . |
| <i>Cerastium alpinum</i> L. | X | . | . | . |
| <i>Cerastium arvense</i> L. | X | . | . | . |
| <i>Cirsium acaule</i> Scop. subsp. <i>acaule</i> | X | . | X | . |
| <i>Crepis pygmaea</i> L. | . | . | X | . |
| <i>Cystopteris fragilis</i> (L.) Bernh. | . | X | . | . |
| <i>Dianthus benearensis</i> Loret | X | . | . | . |
| <i>Draba dubia</i> Suter subsp. <i>laevipes</i> (DC.) Braun-Blanq. | . | . | . | X |
| <i>Erigeron uniflorus</i> L. | X | X | . | . |

| | | | | |
|--|---|---|---|---|
| <i>Erinus alpinus</i> L. | X | . | . | . |
| <i>Euphrasia salisburgensis</i> Funck | X | X | . | . |
| <i>Festuca eskia</i> Ramond ex DC. | X | . | . | . |
| <i>Festuca gautieri</i> (Hack.) K. Richt. subsp. <i>scoparia</i> (A.Kerner & Hack) Kerguélen | X | X | . | . |
| <i>Festuca glacialis</i> (Miégev. ex Hack.) K. Richt. | X | X | X | . |
| <i>Festuca ovina</i> L. s.l. | X | . | . | . |
| <i>Festuca pyrenaica</i> Reut. | X | X | X | . |
| <i>Festuca rubra</i> L. s.l. | X | X | . | . |
| <i>Galium marchandii</i> Roem. & Schult. | X | . | . | . |
| <i>Galium pyrenaicum</i> Gouan | . | X | X | . |
| <i>Gentiana nivalis</i> L. | . | X | . | . |
| <i>Gentiana verna</i> L. subsp. <i>verna</i> | X | X | . | . |
| <i>Gentianella campestris</i> (L.) Börner | . | X | . | . |
| <i>Geranium cinereum</i> Cav. | X | X | X | . |
| <i>Helictotrichon sedenense</i> (DC.) Holub | X | X | . | . |
| <i>Hieracium lactucella</i> Wallr. | . | X | X | . |
| <i>Hieracium pilosella</i> L. | X | . | . | . |
| <i>Juniperus communis</i> L. subsp. <i>hemisphaerica</i> (J. Presl & C. Presl) Nyman | . | . | . | . |
| <i>Leontodon hispidus</i> L. | X | X | . | . |
| <i>Leontodon pyrenaicus</i> Gouan subsp. <i>pyrenaicus</i> | X | X | . | . |
| <i>Leucanthemopsis alpina</i> (L.) Heywood | . | X | X | . |
| <i>Linaria alpina</i> (L.) Mill. | . | X | X | X |
| <i>Lotus alpinus</i> (DC.) Schleich. ex Ramond | X | X | . | . |
| <i>Luzula spicata</i> (L.) DC. | . | X | . | . |
| <i>Minuartia cerastiifolia</i> (Ramond ex DC.) Graebn. | . | . | . | X |
| <i>Minuartia verna</i> (L.) Hiern subsp. <i>verna</i> | X | X | . | . |
| <i>Nardus stricta</i> L. | X | . | . | . |
| <i>Oxytropis campestris</i> (L.) DC. | X | . | . | . |
| <i>Oxytropis pyrenaica</i> Godr. & Gren. | X | . | X | . |
| <i>Paronychia kapela</i> (Hacq.) A. Kern. subsp. <i>serpyllifolia</i> (Chaix) Graebner | X | . | . | . |
| <i>Phyteuma hemisphaericum</i> L. | X | X | . | . |
| <i>Phyteuma orbiculare</i> L. | X | . | . | . |
| <i>Pimpinella saxifraga</i> L. | X | . | . | . |
| <i>Plantago alpina</i> L. | X | . | . | . |
| <i>Plantago monosperma</i> Pourr. | X | . | . | . |
| <i>Poa alpina</i> L. | X | X | X | X |
| <i>Polygala alpestris</i> Rchb. | X | X | . | . |
| <i>Polygonum viviparum</i> L. | . | X | . | . |
| <i>Potentilla brauniana</i> Hoppe | . | X | . | . |
| <i>Potentilla nivalis</i> Lapeyr. | . | X | X | . |
| <i>Potentilla tabernaemontani</i> Asch. | X | X | . | . |
| <i>Pritzelago alpina</i> (L.) Kuntze subsp. <i>alpina</i> | . | . | X | X |
| <i>Ranunculus parnassifolius</i> L. subsp. <i>heterocarpus</i> P. Kämpfer | . | X | . | . |
| <i>Rhinanthus mediterraneus</i> (Sterneck) Adamovic | X | . | . | . |
| <i>Saponaria caespitosa</i> DC. | X | . | . | . |
| <i>Saxifraga aizoides</i> L. | . | X | . | . |

| | | | | |
|---|-----------------------|-----------------------|-----------------------|-----------------------|
| <i>Saxifraga moschata</i> Wulfen | X | X | . | . |
| <i>Saxifraga oppositifolia</i> L. | . | X | X | X |
| <i>Saxifraga paniculata</i> Mill. | X | X | . | . |
| <i>Saxifraga pubescens</i> Pourr. subsp. <i>iratiana</i> (F.W. Schultz) Engl. & Irmsch. | . | . | . | X |
| <i>Sedum atratum</i> L. subsp. <i>atratum</i> | . | X | . | . |
| <i>Sedum brevifolium</i> DC. | . | X | . | . |
| <i>Sempervivum montanum</i> L. subsp. <i>montanum</i> | X | X | . | . |
| <i>Seseli nanum</i> Dufour | X | . | . | . |
| <i>Sideritis hyssopifolia</i> L. subsp. <i>eynensis</i> (Sennen) Malagarr. | X | . | . | . |
| <i>Silene acaulis</i> (L.) Jacq. | X | X | . | . |
| <i>Taraxacum</i> agg. <i>dissectum</i> (Lebed.) Lebed. (<i>T. pyrenaicum</i> Reut.) | . | X | . | . |
| <i>Thalictrum alpinum</i> L. | . | X | . | . |
| <i>Thymelaea nivalis</i> (Ramond) Meisn. | X | . | . | . |
| <i>Thymus nervosus</i> J. Gay ex Willk. | X | X | X | . |
| <i>Trifolium alpinum</i> L. | X | . | . | . |
| <i>Trifolium pratense</i> L. | X | X | . | . |
| <i>Trifolium thalii</i> Vill. | . | X | X | . |
| <i>Vaccinium uliginosum</i> L. subsp. <i>microphyllum</i> Lange | X | . | . | . |
| <i>Veronica alpina</i> L. | . | . | X | . |
| <i>Veronica aphylla</i> L. | . | . | . | . |
| <i>Veronica nummularia</i> Gouan | . | . | X | . |
| <i>Vicia pyrenaica</i> Pourr. | X | . | . | . |
| Nº total de taxones por cima | 67 | 56 | 20 | 9 |
| Taxones ES-CPY | ACU 2242 m | CUS 2519 m | TOB 2779 m | OLA 3022 m |

10.2. Tabla de taxones inventariados en la zona piloto ES-SPY (Pirineo silíceo)

| Taxones ES-SPY | GUE 2302 m | ANA 2555 m | BAC 2731 | ROB 2827 m |
|--|---------------|---------------|-------------|---------------|
| <i>Agrostis alpina</i> Scop. | . | . | X | . |
| <i>Agrostis capillaris</i> L. | X | . | . | . |
| <i>Agrostis rupestris</i> All. | . | X | X | . |
| <i>Ajuga pyramidalis</i> L. | X | . | . | . |
| <i>Alchemilla alpina</i> L. | X | X | X | . |
| <i>Alchemilla flabellata</i> Buser | . | X | . | . |
| <i>Androsace ciliata</i> DC. | . | X | . | X |
| <i>Androsace laggeri</i> A. Huet | X | . | . | . |
| <i>Androsace vitaliana</i> (L.) Lapeyr. subsp. <i>vitaliana</i> | X | X | . | . |
| <i>Antennaria carpatica</i> (Wahlenb.) Bluff & Fingerh. | X | X | X | . |
| <i>Anthyllis vulneraria</i> L. subsp. <i>alpestris</i> (Kit. ex Schult.) Asch. & Graebn. | . | . | . | X |
| <i>Arenaria moehringioides</i> J. Murr | . | X | . | . |
| <i>Armeria alpina</i> Willd. | . | X | X | X |
| <i>Artemisia umbelliformis</i> Lam. | . | . | . | X |
| <i>Bellardiochloa violacea</i> (Bellardi) Chiov. | X | . | . | . |
| <i>Botrychium lunaria</i> (L.) Sw. | X | X | . | X |
| <i>Campanula cochlearifolia</i> Lam. | . | . | . | X |
| <i>Campanula agg. scheuchzeri</i> Vill. | X | . | X | . |
| <i>Cardamine resedifolia</i> L | X | . | X | . |
| <i>Carduus carlinoides</i> Gouan subsp. <i>carlinoides</i> | . | X | . | X |
| <i>Carex curvula</i> All. | . | X | X | X |
| <i>Carex parviflora</i> Host | . | X | . | . |
| <i>Carlina acanthifolia</i> All. | X | . | . | . |
| <i>Carlina acaulis</i> L. | . | X | . | . |
| <i>Cerastium alpinum</i> L. | X | X | . | X |
| <i>Crepis pygmaea</i> L. | . | X | . | X |
| <i>Cruciata glabra</i> (L.) Ehrend. | X | . | . | . |
| <i>Cryptogramma crispa</i> (L.) R. Br. ex Hook. | X | . | X | . |
| <i>Deschampsia flexuosa</i> (L.) Trin. | X | . | . | . |
| <i>Draba aizoides</i> L subsp. <i>aizoides</i> | . | X | . | X |
| <i>Draba siliquosa</i> subsp. <i>carinthiaca</i> (Hoppe) O. Bolòs & Vigo | . | X | . | . |
| <i>Erigeron uniflorus</i> L. | X | X | X | X |
| <i>Euphrasia alpina</i> subsp. <i>alpina</i> Lam. | . | . | . | X |
| <i>Euphrasia minima</i> Jacq. ex DC. in Lam. & DC. | . | . | X | . |
| <i>Euphrasia salisburgensis</i> Funck | X | X | X | X |
| <i>Euphrasia stricta</i> J.P. Wolff ex J.F. Lehm. | . | . | . | X |
| <i>Festuca eskia</i> Ramond ex DC. | X | . | X | . |
| <i>Festuca gautieri</i> (Hack.) K. Richt. subsp. <i>scoparia</i> (A.Kerner & Hack) Kerguélen | . | X | . | X |
| <i>Festuca glacialis</i> (Miégev. ex Hack.) K. Richt. | . | X | X | X |
| <i>Festuca nigrescens</i> Lam. | X | X | . | . |
| <i>Festuca ovina</i> L. s.l. (incl. <i>F. altopyrenaica</i>) | X | X | X | . |
| <i>Festuca pyrenaica</i> Reut. | . | . | . | X |
| <i>Festuca rubra</i> L. s.l. | X | . | X | . |

| | | | | |
|---|---|---|---|---|
| <i>Galium aparine</i> L. subsp. <i>aparine</i> | X | . | . | . |
| <i>Galium cespitosum</i> Lam | X | X | X | X |
| <i>Galium cometerhizon</i> Lapeyr. | . | . | . | X |
| <i>Galium marchandii</i> Roem. & Schult. | X | X | . | . |
| <i>Galium verum</i> L. subsp. <i>verum</i> | X | . | . | . |
| <i>Gentiana acaulis</i> L. | X | . | X | . |
| <i>Gentiana alpina</i> Vill. | . | . | X | . |
| <i>Gentiana lutea</i> L. subsp. <i>lutea</i> | X | . | . | . |
| <i>Gentiana nivalis</i> L. | . | X | . | . |
| <i>Gentiana verna</i> L. subsp. <i>verna</i> | . | X | . | X |
| <i>Gentianella campestris</i> (L.) Börner | . | X | . | . |
| <i>Geranium cinereum</i> Cav. | X | X | . | . |
| <i>Globularia repens</i> Lam. | . | X | . | . |
| <i>Helictotrichon sedenense</i> (DC.) Holub | X | X | X | X |
| <i>Hieracium amplexicaule</i> L. | X | . | . | . |
| <i>Hieracium lactucella</i> Wallr. | X | . | X | X |
| <i>Hieracium pilosella</i> L. | X | . | X | . |
| <i>Hieracium piliferum</i> Hoppe | X | . | X | . |
| <i>Iberis spathulata</i> DC. in Lam. & DC. | . | . | . | X |
| <i>Jasione laevis</i> Lam. subsp. <i>laevis</i> | X | . | X | . |
| <i>Juniperus communis</i> L. subsp. <i>alpina</i> (Suter) Celak. | X | X | X | . |
| <i>Kobresia myosuroides</i> (Vill.) Fiori in Fiori & Paol. | . | X | . | . |
| <i>Leontodon pyrenaicus</i> Gouan subsp. <i>pyrenaicus</i> | X | X | X | . |
| <i>Leucanthemopsis alpina</i> (L.) Heywood | X | X | X | X |
| <i>Linaria alpina</i> (L.) Mill. | X | X | X | X |
| <i>Lotus alpinus</i> (DC.) Schleich. ex Ramond | X | X | . | X |
| <i>Luzula nutans</i> (Vill.) Duval-Jouve | X | . | . | . |
| <i>Luzula spicata</i> (L.) DC. | X | X | X | . |
| <i>Lychnis alpina</i> L. | X | . | . | . |
| <i>Meum athamanticum</i> Jacq. | X | . | . | . |
| <i>Minuartia sedoides</i> (L.) Hiern | . | . | . | X |
| <i>Minuartia verna</i> (L.) Hiern subsp. <i>verna</i> | X | X | X | . |
| <i>Myosotis alpestris</i> F.W. Schmidt | . | X | . | . |
| <i>Nardus stricta</i> L. | X | . | . | . |
| <i>Omalotheca supina</i> (L.) DC. | . | . | X | . |
| <i>Oreochloa blanka</i> Deyl | . | . | X | . |
| <i>Oxyria digyna</i> (L.) Hill | . | . | . | X |
| <i>Oxytropis pyrenaica</i> Godr. & Gren. | . | . | . | X |
| <i>Paronychia kapela</i> (Hacq.) A. Kern. subsp. <i>serpyllifolia</i> (Chaix) Graebner | . | X | . | X |
| <i>Paronychia polygonifolia</i> (Vill.) DC. in Lam. & DC. | X | . | . | . |
| <i>Pedicularis pyrenaica</i> J. Gay | X | . | X | . |
| <i>Phyteuma hemisphaericum</i> L. | X | X | X | . |
| <i>Phyteuma orbiculare</i> L. | X | . | . | . |
| <i>Plantago alpina</i> L. | X | | . | . |
| <i>Poa alpina</i> L. | X | X | X | X |
| <i>Poa cenisia</i> All. subsp. <i>sardoa</i> Em. Schmid | X | X | X | . |
| <i>Poa nemoralis</i> L. | X | X | . | . |
| <i>Polygala alpestris</i> Rchb. | X | | . | . |

| | | | | |
|--|---|-----------------------|-----------------------|-----------------------|
| <i>Polygonum viviparum</i> L. | . | X | . | . |
| <i>Potentilla crantzii</i> (Crantz) Beck ex Fritsch | . | X | . | X |
| <i>Potentilla neumanniana</i> Rchb. | . | . | X | . |
| <i>Potentilla nivalis</i> Lapeyr. | . | X | X | X |
| <i>Potentilla tabernaemontani</i> Asch. | . | X | . | . |
| <i>Primula hirsuta</i> All. | . | X | X | . |
| <i>Primula integrifolia</i> L. | . | X | . | . |
| <i>Pritzelago alpina</i> (L.) Kuntze subsp. <i>alpina</i> | . | . | . | X |
| <i>Ranunculus amplexicaulis</i> L. | X | . | . | . |
| <i>Rhododendron ferrugineum</i> L. | . | . | X | . |
| <i>Salix reticulata</i> L. | . | X | . | . |
| <i>Saxifraga bryoides</i> L. | . | X | X | . |
| <i>Saxifraga moschata</i> Wulfen | X | X | X | X |
| <i>Saxifraga oppositifolia</i> L. s.l. | . | X | . | X |
| <i>Saxifraga paniculata</i> Mill. | X | X | . | X |
| <i>Saxifraga pubescens</i> Pourr. s.l. | . | X | . | X |
| <i>Scleranthus perennis</i> L. | X | . | . | . |
| <i>Scutellaria alpina</i> L. subsp. <i>alpina</i> | . | X | . | . |
| <i>Sedum alpestre</i> Vill. | . | X | X | X |
| <i>Sedum anglicum</i> Huds. subsp. <i>pyrenaicum</i> Lange | X | . | . | . |
| <i>Sedum atratum</i> L. subsp. <i>atratum</i> | . | . | . | X |
| <i>Sedum brevifolium</i> DC. | X | X | X | X |
| <i>Sempervivum arachnoideum</i> L. | X | X | . | . |
| <i>Sempervivum montanum</i> L. subsp. <i>montanum</i> | X | X | X | . |
| <i>Sibbaldia procumbens</i> L. | . | . | X | X |
| <i>Sideritis hyssopifolia</i> L. s.l. | . | X | . | . |
| <i>Silene acaulis</i> (L.) Jacq. | X | X | X | X |
| <i>Silene rupestris</i> L. | X | X | X | . |
| <i>Solidago virgaurea</i> L. | . | . | X | . |
| <i>Taraxacum</i> agg. <i>dissectum</i> (Lebed.) Lebed. (<i>T. pyrenaicum</i> Reut.) | . | X | . | X |
| <i>Thalictrum alpinum</i> L. | . | X | . | . |
| <i>Thesium pyrenaicum</i> Pourr. subsp. <i>pyrenaicum</i> | . | . | X | . |
| <i>Thymus praecox</i> Opiz subsp. <i>polytrichus</i> (A.Kern. ex Borbás) Jalas | X | X | X | X |
| <i>Trifolium alpinum</i> L. | X | X | X | . |
| <i>Trifolium thalii</i> Vill. | . | X | . | . |
| <i>Urtica dioica</i> L. | . | X | . | . |
| <i>Vaccinium myrtillus</i> L. | X | . | X | . |
| <i>Vaccinium uliginosum</i> L. subsp. <i>microphyllum</i> Lange | . | . | X | . |
| <i>Veronica bellidiodoides</i> L. | X | X | . | . |
| <i>Veronica fruticulosa</i> L. | X | . | X | . |
| <i>Veronica nummularia</i> Gouan | . | . | . | X |
| Nº total de taxones por cima | | 69 | 72 | 55 |
| Taxones ES-SPY | | GUE 2302 m | ANA 2555 m | BAC 2731 |
| | | | | ROB 2827 m |

10.3. Tabla de taxones inventariados en la zona piloto ES-MON (Moncayo)

| Taxones ES-MON | NEG 2118 m | LOB 2226 m | MOR 2274 m | MON 2314 m |
|--|---------------|---------------|------------------|------------------|
| <i>Achillea millefolium</i> L. | X | . | . | . |
| <i>Agrostis castellana</i> Boiss. & Reut. | X | X | X | X |
| <i>Agrostis capillaris</i> L. | . | X | . | . |
| <i>Agrostis cf. rupestris</i> All. | . | . | . | X |
| <i>Aira caryophyllea</i> L. | X | . | . | . |
| <i>Alchemilla saxatilis</i> Buser | . | X | X | X |
| <i>Antennaria dioica</i> (L.) Gaertn. | X | X | X | X |
| <i>Anthoxanthum odoratum</i> L. | . | X | . | . |
| <i>Arenaria serpyllifolia</i> L. | X | . | . | . |
| <i>Armeria bigerrensis</i> (Pau ex C. Vicioso & Beltrán) Rivas Mart. subsp. <i>microcephala</i> (Willk.) Nieto Fel. | X | X | X | X |
| <i>Armeria alliacea</i> (Cav.) Hoffmanns. & Link | X | . | . | . |
| <i>Arrhenatherum elatius</i> (L.) P.Beauv. ex J.Presl & C.Presl | X | X | . | . |
| <i>Avenula sulcata</i> (J. Gay ex Boiss.) Dumort. subsp. <i>sulcata</i> | X | . | . | . |
| <i>Biscutella valentina</i> (Loefl. ex L.) Heywood subsp. <i>pyrenaica</i> (A. Huet) Grau & Klingenberg | . | X | X | X |
| <i>Bromus hordeaceus</i> L. | X | . | . | . |
| <i>Campanula urbionensis</i> Rivas Mart. & G. Navarro | . | . | . | X |
| <i>Carex caryophyllea</i> Latourr. | X | X | X | X |
| <i>Cerastium arvense</i> L. | X | X | X | X |
| <i>Chenopodium bonus-henricus</i> L. | X | . | . | . |
| <i>Cryptogramma crispa</i> (L.) R.Br. ex Hook. | . | . | X | . |
| <i>Cytisus oromediterraneus</i> Rivas Martínez & al. | X | . | . | . |
| <i>Deschampsia flexuosa</i> (L.) Trin. | X | X | X | X |
| <i>Erophila verna</i> (L.) Chevall. | X | . | . | . |
| <i>Euphrasia minima</i> Jacq. ex DC. | X | X | X | X |
| <i>Festuca indigesta</i> Boiss. subsp. <i>aragonensis</i> (Willk.) Kerguélen | X | X | X | X |
| <i>Festuca rivas-martinezii</i> Fuente & Ortúñez | X | . | . | . |
| <i>Festuca rubra</i> L. var. <i>iberica</i> Hack. | X | X | . | X |
| <i>Galeopsis ladanum</i> subsp. <i>carpetana</i> (Willk.) O. Bolòs & Vigo | X | X | . | . |
| <i>Galium idubedae</i> (Pau ex Debeaux) Pau ex Ehrend. | X | X | . | . |
| <i>Hieracium schmidii</i> Tausch | X | . | . | . |
| <i>Hieracium castellanum</i> Boiss. & Reut. | X | X | X | X |
| <i>Hieracium vahlii</i> Froelich in DC. | X | X | X | X |
| <i>Jasione crispa</i> (Pourr.) Samp. subsp. <i>crispa</i> | X | X | X | X |
| <i>Juniperus communis</i> L. subsp. <i>alpina</i> (Suter) C\$Kelak. | X | X | X | X |
| <i>Koeleria crassipes</i> Lange | . | X | . | . |
| <i>Leontodon hispidus</i> L. subsp. <i>bougaeanus</i> (Willk.) Rivas Martínez | . | X | . | . |

| | | | | |
|--|---|-----------------------|-----------------------|---------------------------|
| <i>Linaria alpina</i> (L.) Mill. | X | X | X | X |
| <i>Luzula hispanica</i> Chrtek & Krísa | X | X | X | X |
| <i>Merendera pyrenaica</i> (Pourr.) P.Fourn. | X | . | . | . |
| <i>Nardus stricta</i> L. | . | . | . | X |
| <i>Poa alpina</i> L. | X | . | . | . |
| <i>Poa bulbosa</i> L. | X | . | . | . |
| <i>Poa nemoralis</i> L. | X | . | . | X |
| <i>Ranunculus ollissiponensis</i> Pers. subsp. <i>alpinus</i> (Boiss. & Reut.) Grau | X | . | . | . |
| <i>Rubus idaeus</i> L. | X | . | . | . |
| <i>Rubus ulmifolius</i> Schott | X | . | . | X |
| <i>Rumex acetosella</i> L. subsp. <i>angiocarpus</i> (Murb.) Murb. | X | X | X | X |
| <i>Saxifraga dichotoma</i> Willd. ex Sternb. | X | X | X | X |
| <i>Saxifraga pentadactylis</i> Lapeyr. subsp. <i>willkommiana</i> (Boiss. ex Engl.) Rivas Mart. | . | . | X | X |
| <i>Scleranthus perennis</i> L. | X | X | . | X |
| <i>Sedum amplexicaule</i> DC. subsp. <i>tenuifolium</i> (Sm.) Greuter | X | X | . | X |
| <i>Sedum brevifolium</i> DC. | X | X | X | X |
| <i>Senecio pyrenaicus</i> L. subsp. <i>pyrenaicus</i> | X | X | X | X |
| <i>Silene ciliata</i> Pourret | X | X | X | X |
| <i>Solidago virgaurea</i> L. | X | X | X | X |
| <i>Vaccinium myrtillus</i> L. | . | . | . | X |
| <i>Veronica fruticans</i> Jacq. | X | X | X | X |
| <i>Veronica hederifolia</i> L. subsp. <i>hederifolia</i> | X | . | . | . |
| <i>Viola montcaunica</i> Pau | . | X | . | X |
| Nº total de taxones por cima | | 46 | 34 | 25 |
| Taxones ES-MON | | NEG 2118 m | LOB 2226 m | MOR 2274 m |
| | | | | MON 2314 m |

11. Proyección de GLORIA

11.1. Presencia pública

Informes publicados en la web de la Estrategia Aragonesa de Cambio Climático 2030 del Gobierno de Aragón, dentro del Observatorio del Cambio Climático en Aragón: <http://www.estrategiaaragonesacambioclimatico.es/observatorio/>

Presentación del proyecto GLORIA-Aragón en el **III Coloquio internacional sobre cambio climático en zonas de montaña**, organizado por el Observatorio Pirenaico del Cambio climático (OPCC) de la Comunidad de Trabajo de los Pirineos (CTP), el 22 y 23 de octubre de 2019 (<https://www.opcc-ctp.org/es/contenido/3o-colloquio-internacional-cambio-climatico-en-zonas-montana>).

Entrevista a José Luis Benito en el programa **Ágora de Aragón Radio**, el 25 de enero de 2020, en la que hablamos del proyecto GLORIA y los efectos de calentamiento global sobre las plantas en alta montaña. Se puede escuchar en la siguiente dirección: <http://www.aragonradio.es/podcast/emision/agora-25012020-paseo-cientifico-por-ordesa/>

Presencia en la **VI Jornada de investigación del del Parque Nacional de Ordesa y Monte Perdido** (PNOMP) celebrada el día 2 de diciembre de 2020, donde se expusieron los resultados de algunos de los proyectos de investigación que se están desarrollando en ese espacio protegido. Fuimos invitados para presentar el proyecto GLORIA-Aragón y las conclusiones extraídas hasta el momento en el ámbito del PNOMP. Dicha jornada se desarrolló vía telemática (enlace del programa: <https://jolube.wordpress.com/2020/11/30/vi-jornada-de-investigacion-del-parque-nacional-de-ordesa-y-monte-perdido/>).

Las presentaciones fueron editadas en abril de 2021 en el libro de las **VI Jornada de investigación del del Parque Nacional de Ordesa y Monte Perdido**, publicado por el Parque: <https://jolube.wordpress.com/2021/09/23/vi-jornada-de-investigacion-parque-nacional-de-ordesa-y-monte-perdido/>

Actualización periódica de la web del proyecto GLORIA-Aragón: <https://jolube.wordpress.com/proyecto-gloria/>

Entrada en Wikipedia del proyecto GLORIA: [https://es.wikipedia.org/wiki/GLORIA_\(proyecto_de_investigaci%C3%B3n\)](https://es.wikipedia.org/wiki/GLORIA_(proyecto_de_investigaci%C3%B3n))

11.2. Las bases de datos de GLORIA en GrassPlot

Desde 2018, las bases de datos del proyecto GLORIA-Aragón han sido incorporadas a **GrassPlot (Database of Scale-Dependent Phytodiversity Patterns in Palearctic Grasslands)** (Dengler & al., 2018). Se trata de una plataforma que reúne los datos de parcelas de estudios sobre vegetación del hemisferio Norte. Está organizada por el *Eurasian Dry Grassland Group* (www.EDGG.org) y listada en el *Global Index of Vegetation-Plot Databases* (www.GIVD.info/ID/EU-00-003). GrassPlot recoge registros de parcelas (inventarios) de pastos y otros hábitats abiertos del reino biogeográfico Paleártico. Se centra en parcelas delimitadas con exactitud, como en el caso de GLORIA, con ocho tamaños de muestreo estándar (desde 0,0001 hasta los 1.000 m²) y en series de parcelas con al menos cuatro tamaños diferentes.

Se trata de la mayor base de datos mundial de este tipo de vegetación, los pastos. En nuestro caso hemos contribuido con los datos de los inventarios de flora del proyecto GLORIA-Aragón de sus tres zonas piloto.

El uso de *GrassPlot* está regulado por estatutos que pretenden equilibrar los intereses de los contribuyentes y usuarios de datos. La versión actual (v. 1.00) contiene datos de aproximadamente 170.000 parcelas de diferentes tamaños y 2.800 series.

Alrededor de 18.000 parcelas tienen registros casi completos de briofitas terrícolas y líquenes, además de plantas vasculares. En la actualidad, *GrassPlot* contiene datos de 36 países del Paleártico, muchos de ellos realizados a lo largo de laderas de las montañas y en ella se recogen los tipos de pastos más importantes de esta región del mundo. *GrassPlot*, con su enfoque multiescala y multitaxón, complementa las bases de datos internacionales de parcelas de vegetación más grandes, como el *Archivo Europeo de Vegetación* (EVA) y la base de datos global "sPlot". Su objetivo principal es facilitar los estudios sobre la escala y la dependencia de los taxones en los patrones de biodiversidad y de los generadores de cambio a lo largo de los gradientes macroecológicos. *GrassPlot* es una base de datos dinámica que se ampliará mediante la recopilación de nuevos datos.

11.3. Proyecto *SoilTemp*

En ecología, los análisis y predicciones actuales de los patrones y procesos espaciales suelen basarse en datos climáticos interpolados de estaciones meteorológicas normalizadas, de forma que se toman como representativos de las condiciones térmicas medias a largo plazo, pero con una resolución espacial que resulta demasiado grosera. Por lo tanto, muchos factores climáticos que operan con resoluciones espaciales y temporales finas siguen sin ser considerados. Esto es particularmente importante en relación con los efectos de la altura de observación (por ejemplo, las características de la vegetación, la nieve y el suelo) y en los hábitats que varían en su exposición a la radiación, la humedad y el viento (por ejemplo, la topografía, el forzamiento radiativo o la acumulación de aire frío). Dado que los organismos que viven cerca del suelo están más relacionados con estas condiciones microclimáticas que con las temperaturas del aire libre, se necesitan urgentemente datos microclimáticos sobre el suelo y las cercanías de la superficie para poder hacer pronósticos realistas del destino de estos organismos en el marco del cambio climático antropogénico, así como del funcionamiento de los ecosistemas en los que viven.

Para llenar este vacío se ha puesto en marcha la iniciativa *SoilTemp* (Lempprech & al., 2020), para formar una base de datos geoespaciales mundiales que recopila datos sobre la temperatura del suelo y la temperatura cercana a la superficie. Esta base de datos, que actualmente contiene series cronológicas de 6.748 sensores de temperatura de 48 países de todos los biomas principales, allanará el camino hacia una mejor comprensión mundial del microclima. *SoilTemp* tiene como objetivo dar un gran paso adelante para salvar la brecha entre los datos climáticos disponibles y el clima relevante para la mayoría de los organismos y procesos de los ecosistemas. Para ello, proporcionará datos sobre la temperatura del suelo y la temperatura cercana a la superficie, disponibles a nivel mundial y con resoluciones espacio-temporales pertinentes, para su uso en análisis ecológicos, con mediciones justo allí donde se concentra gran parte de la biodiversidad y funciona el ecosistema.

El proyecto GLORIA-Aragón participa de dicha iniciativa aportando las series temporales de datos de temperatura del suelo (10 cm de profundidad) que tenemos de nuestras tres zonas piloto: desde 2001 en la ZP de Ordesa (Pirineo central español calizo, ES-CPY); desde 2011 en la ZP del Valle de Tena (Pirineo central español silíceo, ES-SPY); y 2012 en la ZP del Sistema Ibérico (Moncayo, ES-MON).

11.4. Proyecto *ReSurveyEurope*

ReSurveyEurope es una iniciativa dentro del Archivo Europeo de Vegetación (EVA) que tiene como objetivo movilizar los datos para permitir nuevas exploraciones de los datos de las parcelas de vegetación en los que se han realizado mediciones repetidas a lo largo del tiempo.

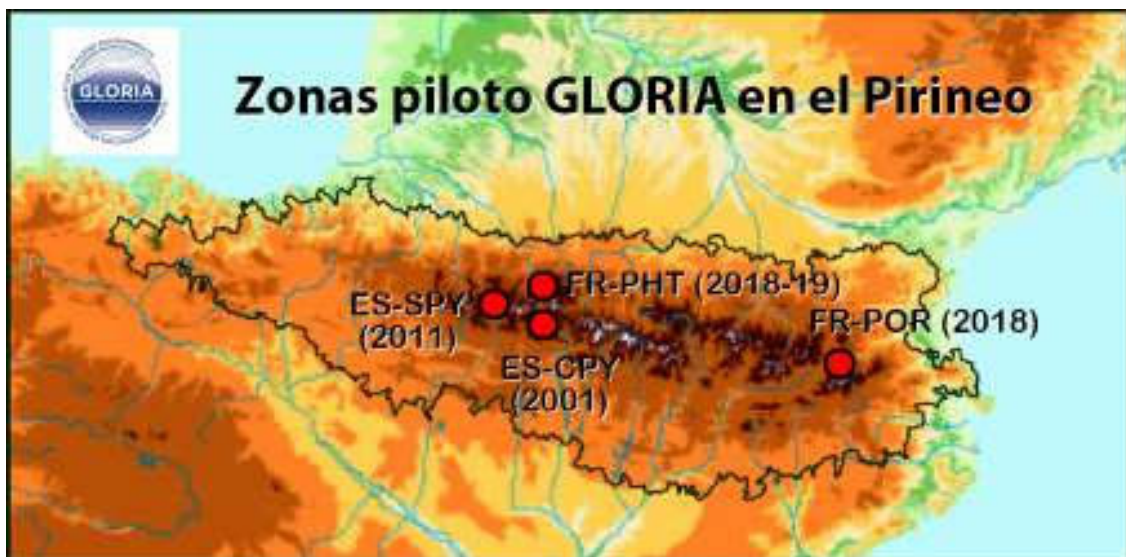
Todo ello permitiría establecer una serie de colaboraciones para una reevaluación robusta de las tendencias de la biodiversidad realizadas en áreas pequeñas y definidas durante períodos más largos, dentro del continente europeo. Esta iniciativa tiene como objetivo la inclusión de series temporales con muestreos repetidos de la misma parcela en el EVA o la identificación de dichas muestras en las bases de datos existentes del EVA si ya están incluidas. También apoya una iniciativa paralela dentro de la base de datos global de vegetación sPlot (a partir de su próxima versión 4.0). Mientras que el *ReSurveyEurope* dentro de EVA se centra en Europa, sPlot recogerá esas series temporales fuera de Europa y buscará el consentimiento de los colaboradores de EVA para combinar los datos a escala global, siguiendo las normas de sPlot.

11.5. Nuevas zonas piloto pirenaicas

El proyecto GLORIA ha sido adoptado por el Observatorio Pirenaico para el Cambio Climático (OPCC) de la Comunidad de Trabajo de los Pirineos (CTP), en su fase 2, tras nuestra presentación en los coloquios de la OPCC de Toulouse (2013) y Andorra (2015). A raíz de nuestra asesoría, han establecido dos zonas piloto en el Pirineo francés:

- FR-PHT: Pirineo Central Norte (Hautes Pyrénées - Gavarnie)
- FR-POR: Pirineo Oriental Norte (Pyrénées Orientales - Vallée d'Eyne)

Esto significa un impulso para nuestro proyecto a escala pirenaica, que sin duda complementa nuestras dos zonas piloto aragonesas en la cordillera.



11.6. Otras repercusiones internacionales

Además de la repercusión que tiene en los trabajos científicos internacionales, los datos del proyecto GLORIA están siendo usados por el **Servicio Geológico de los Estados Unidos** (*USGS's National Climate Adaptation Science Center*) para hacer meta-análisis de amplio espectro y revisiones de estudios mundiales, para mejorar el conocimiento que se tiene de los ecosistemas de alta montaña en todo el mundo, lo cual es un honor para este proyecto.

12. Posibles consecuencias del calentamiento global sobre la flora de alta montaña

El calentamiento global es un hecho científico incontestable que se confirma en cada nuevo informe de panel intergubernamental de cambio climático (IPCC), que ya está teniendo consecuencias medibles en todos los ecosistemas de la Tierra. En este mismo informe vemos una tendencia ascendente de la temperatura, en las tres zonas piloto estudiadas en el proyecto GLORIA-Aragón, reflejada en nuestro caso en un aumento del periodo vegetativo.

12.1. *El ascenso altitudinal de las especies de flora*

En el ámbito que nos ocupa desde el proyecto GLORIA, la flora vascular de alta montaña, ya estamos observando las consecuencias del calentamiento global a nivel europeo. En tan sólo siete años (2001-2008), además del aumento de la temperatura, hemos visto una respuesta muy rápida de la flora alpina en forma de ascenso altitudinal de las plantas amantes del calor o termófilas hacia las partes altas de las montañas (Gottfried & al., 2012; Pauli & al., 2012). Es lo que hemos llamado la “termofilización” de la montaña. El análisis de los datos del seguimiento que hicimos en 2015 de la zona piloto de Ordesa (ES-CPY), permitirá confirmar si sigue esta tendencia. Se trata de un hecho sorprendente, dada la inercia que tienen estos ecosistemas y la menor capacidad de desplazamiento que tienen estos organismos si los comparamos, por ejemplo, con los animales.

Por otra parte, en un estudio a lo largo de 20 años en los Apeninos y los Alpes (Rogora & al., 2018), también han observado esta rápida respuesta de los ecosistemas montañosos al cambio climático. A medida que las temperaturas aumentaron, la cubierta vegetal en cumbres alpinas y subalpinas también aumentó.

Esto nos podría hacer pensar en que las plantas de zonas bajas podrían desplazar a las plantas más frioleras ya que, en su desplazamiento en altitud, llegaría un momento en el que las especies de ecosistemas más fríos ya no tuvieran un espacio físico que colonizar con condiciones de temperatura y humedad adecuadas y que llegaran a extinguirse.

A este respecto, nuestros estudios apuntan en dos direcciones: en las montañas del centro y norte de Europa se aprecia un aumento de la biodiversidad, ya que las especies de zonas más bajas colonizan la alta montaña, mientras que las especies más frioleras mantienen su estatus. Sin embargo, en las montañas mediterráneas se está evidenciando una pérdida de diversidad vegetal, probablemente consecuencia de un aumento de la evapotranspiración durante el periodo vegetativo por el aumento del calor, con una menor disposición de agua para las plantas (Gottfried & al., 2012; Pauli & al., 2012). Este hecho no afecta a las montañas del norte donde no se produce este déficit hídrico. Para el ámbito aragonés, en las cumbres pirenaicas encontramos también un aumento de la diversidad vegetal, aunque no tan acusado como en las montañas del norte de Europa. En el Moncayo, como montaña mediterránea, parece previsible un retroceso del número de especies, pero no podremos confirmarlo hasta que analicemos los datos obtenidos en la repetición del muestreo de flora que hicimos en 2019.

Otra de las conclusiones del proyecto GLORIA es que, a escala de nuestro continente, las laderas que más exposición solar reciben son, por orden, este, sur, oeste y norte, si bien en el Pirineo la ladera que más energía recibe es la sur, mientras que la este y la oeste van más o menos parejas. Al parecer, en las montañas del centro y norte de Europa la formación de nubes a partir de media mañana haría que la exposición este fuera la que recibiera la mayor radiación, mientras que en el Pirineo las nubes evolucionan más tarde, pasado el mediodía o ya de tardes.

Es precisamente en las orientaciones con mayor radiación solar donde se están observando la mayor parte de los desplazamientos de las plantas (Winkler & al, 2016). En las cumbres mediterráneas, la sequía estival puede limitar el número de especies en las laderas más cálidas.

12.2. *La actividad biológica del suelo en las cimas GLORIA ES-CPY (Ordesa)*

Esta es una investigación incluida dentro de las actividades adicionales de GLORIA. La hemos puesto en marcha en 2016 en la zona piloto de Ordesa, gracias a la participación del Dr. Juan José Fernández, investigador del IPE-CSIC de Jaca, especialista en la vida del suelo. Este muestreo se inició conjuntamente con otros 336 sitios en todo el mundo y pretende estudiar la actividad microbiana del suelo a través de la descomposición de la materia orgánica. Para ello usamos sustratos estandarizados (bolsas de roibos y té verde) con los que comparar la pérdida de masa en diferentes ecosistemas (Djukic & al., 2018).

Como ejemplo previo podemos poner el reciente trabajo de Rogora & al. (2018) de estudio de la microbiota del suelo en los Alpes y Apeninos. Ellos han visto que en los años en los que la nieve duró menos, se observó un aumento de la temperatura del suelo y de la biomasa microbiana durante la época de crecimiento. Es importante conocer este dato pues la descomposición de la materia orgánica emite una enorme cantidad de carbono a la atmósfera.

Nosotros aquí presentamos los primeros resultados de los muestreos de microorganismos en los suelos de las cuatro cimas GLORIA de Ordesa, recientemente publicado en Jiménez & al. (2019).

Los microorganismos del suelo son fundamentales para los flujos de C y N en los ecosistemas terrestres, ya que promueven importantes procesos relacionados con el ciclo de los nutrientes, como la mineralización del N del suelo para la absorción por las plantas. También dependen en gran medida de los factores climáticos (humedad y temperatura), las características edáficas como la mineralogía de la arcilla y las características físicas y químicas de los recursos en descomposición. Los ecosistemas montañosos son entornos frágiles que desempeñan una función como sistemas de alerta temprana debido a su sensibilidad al calentamiento de la Tierra. Por lo tanto, se prevé que las funciones del suelo como la mineralización de N y la nitrificación en estas zonas se verán muy afectadas por el cambio climático (CC). Se prevé que factores de CC conexos como la deposición de nitrógeno, las elevadas concentraciones de dióxido de carbono (CO_2) en la atmósfera, la erosión eólica e hídrica, los cambios en el uso de la tierra y la alteración de los regímenes de perturbación afectarán a la composición y la cubierta de la comunidad vegetal, la productividad primaria neta (PN) y el almacenamiento de carbono (C). También afectarán a las tasas de descomposición del suelo al modificar la composición y la estructura de la comunidad de microorganismos del suelo.

En algunos estudios se ha informado del efecto de la cubierta vegetal sobre las comunidades microbianas y sus funciones, también sobre la interacción planta-suelo en el contexto de CC a lo largo de los gradientes altitudinales, incluidos los ecosistemas ártico-alpinos. Se prevé que la actual reducción de la cubierta de nieve en los ecosistemas alpinos por el aumento de las temperaturas debido al calentamiento mundial afectará a la dinámica de las plantas y la cubierta vegetal con la progresiva disminución de los hábitats y la biota de las montañas frías, y cabe esperar una reorganización de las especies en los gradientes altitudinales como consecuencia de la respuesta individual de las especies. En una serie de zonas montañosas europeas se ha descrito un efecto de calentamiento denominado termofilización, proceso por el cual las especies vegetales adaptadas al frío son reemplazadas progresivamente por especies adaptadas al calor. También se ha determinado que la orientación de una ladera es un determinante principal del ritmo de los procesos de migración de plantas inducidos por el clima. En las regiones templadas de Europa, las laderas de las montañas orientadas al este y al sur favorecen la riqueza de especies vegetales específicas del lugar, en comparación con las laderas occidentales y septentrionales de las mismas montañas. La productividad de las plantas puede ser mayor en las vertientes meridionales en comparación con otras exposiciones a las mismas altitudes, incluso a las altitudes mayores, como resultado de temperaturas menos frías, con períodos más cortos de cobertura de nieve y mayor insolación. La migración ascendente de las

plantas como respuesta al CC puede asociarse con cambios concomitantes en los procesos del suelo, como la descomposición, y a que un régimen de temperatura alterado puede afectar a la renovación de los nutrientes del suelo y a la estructura de la comunidad vegetal. Por consiguiente, se prevé que la reducción general de la productividad de las plantas con el aumento de la altitud que se produce en las zonas montañosas se contrarrestará en las vertientes meridionales mediante la reducción de las limitaciones climáticas a la descomposición de la materia orgánica (OM).

En las zonas montañosas, los factores abióticos como las fuerzas erosivas y los ciclos de hielo-deshielo prevalecen a grandes altitudes, mientras que los factores de origen más antrópico, como la explotación de la tierra, son fuertes determinantes de los progresos relacionados con los nutrientes del suelo a menor altitud. Es preciso abordar los procesos relacionados con los nutrientes en los suelos de las montañas con cambios relacionados con el aumento previsto de la temperatura y la temperatura, las variaciones del régimen de lluvias y la dinámica de la cubierta vegetal en los próximos decenios. La abundancia de hongos, bacterias y actinobacterias del suelo en descomposición está impulsada principalmente por la producción vegetal y, por lo tanto, responde en su mayor parte a la cantidad de insumos de las plantas en el suelo. Aunque algunos estudios han documentado la relación entre la biomasa microbiana, la actividad microbiana y las transformaciones de N en las cumbres de las montañas, en nuestra zona piloto no se ha realizado hasta ahora ningún estudio que relate la composición microbiana con los factores ambientales del suelo. Por lo tanto, es necesario utilizar más estudios para alimentar a los modelos de predicción sobre, por ejemplo, el impacto del cambio climático en los ciclos de C o N del suelo en esos entornos. Por lo tanto, se necesitan datos de referencia para compararlos con futuras evaluaciones de la dinámica de los nutrientes del suelo y la composición de la comunidad microbiana conexa en los ecosistemas de montaña. De esta manera se logrará una mayor comprensión de los mecanismos microbianos que intervienen en la descomposición de los suelos de montaña en un clima cambiante.

En este estudio investigamos la comunidad microbiana del suelo desde una perspectiva funcional utilizando biomarcadores específicos de ácidos grasos derivados de fosfolípidos (PLFA⁶) en las cuatro orientaciones de cuatro las cuatro cumbres GLORIA de la ZP de Ordesa (ES-CPY, 2242-3022 m). Probamos la hipótesis de que: (1) los referidos biomarcadores PLFA variaban entre las cumbres; (2) las concentraciones de nutrientes disponibles en el suelo disminuían con la altitud; y (3) la composición de la comunidad microbiana y los procesos del ecosistema como la descomposición se veían influidos por un conjunto de factores ambientales a lo largo de la jerarquía clásica aceptada de factores impulsores.

Así pues, el objetivo de este estudio era caracterizar la composición de la comunidad microbiana mediante PLFA y su relación con la disponibilidad de N del suelo, la mineralización de N y el potencial de nitrificación. También se determinó el carbono orgánico del suelo (C), la biomasa microbiana y la dinámica de nutrientes (NH_4^+ + NO_3^- , N mineral y potencial de nitrificación).

⁶ Los ácidos grasos derivados de fosfolípidos (PLFAs) se utilizan ampliamente en la ecología microbiana como marcadores quimiotaxonómicos de bacterias y otros organismos. Los fosfolípidos son los lípidos primarios que componen las membranas celulares. Los fosfolípidos pueden ser saponificados, lo que libera los ácidos grasos contenidos en su cola de diglicéridos. Una vez que los fosfolípidos de una muestra desconocida se saponifican, la composición del PLFA resultante puede compararse con el PLFA de los organismos conocidos para determinar la identidad del organismo de la muestra. El análisis de PLFA puede combinarse con otras técnicas, como el sondeo de isótopos estables para determinar qué microbios son metabólicamente activos en una muestra.

Como **resultado** hemos visto que el C, N y P total disminuyó con la altitud mientras que el pH aumentó.

Las concentraciones **N total** mayores se obtuvieron en las dos cumbres más bajas (ACU 0,4% y CUS 0,3%), mientras que los valores más bajos se encontraron en las dos cumbres más altas (TOB, OLA). La concentración más baja de P total fue en las dos cumbres superiores (TOB, OLA), con menos de 0,1%.

Con respecto a la **concentración de P**, los valores más altos se encontraron en CUS-W (1,2 ppm) y ACU-N (0,53 ppm). Las dos cumbres más bajas la menor concentración se encontró en ACU-E (0,14 ppm) y CUS-N (0,001).

El **pH del suelo** más bajo lo encontramos en ACU-W (4,0; se trata de areniscas con pastos de *Festuca eskia*) y más alto en CUS-N y OLA-E, ambos con un valor de 7,9.

El **análisis de los cationes** del suelo mostró que las concentraciones de Ca_2^+ , Mg_2^+ y K^+ más altas las encontramos en CUS-W, donde también obtenemos la concentración más baja de Na^+ . En general, las menores concentraciones catiónicas están en la cumbre superior, OLA.

La **biomasa microbiana** (determinada en forma de C orgánico del suelo), fue más alta en la cumbre más baja (ACU) y disminuyó en aproximadamente 50%, 14% y 12% con el aumento de la altitud.

En cada cumbre las concentraciones de NH_4^+ y NO_3^- en el suelo difirieron significativamente entre las cumbres y las orientaciones. El NH_4^+ fue significativamente más alto en las dos cumbres más bajas en comparación con las cumbres más altas, es decir, 11,9 y 9,5 mg/kg en las vertientes occidentales de ACU y CUS, respectivamente. La concentración de NH_4^+ en ACU-W es significativamente diferente de las demás vertientes, mientras que fue menor en las vertientes occidentales de las cumbres más altas.

La mayor **concentración de NO_3^-** la hemos encontrado en CUS-S (84,3 mg/kg). En ACU la cara con mayor concentración es la Oeste (67 mg/kg). En la cumbre TOB, no se encontraron diferencias significativas entre las orientaciones. El valor más bajo de las cuatro cumbres lo encontramos en OLA, donde hay variaciones significativas entre vertientes (6,8 mg/kg en W; 41 mg/kg en el N).

El **potencial de nitrificación** del suelo varió significativamente entre cumbres y orientaciones, por ejemplo, Sur frente al Norte, Este frente al Oeste.

La **biomasa total de PLFA** (abundancia total de lípidos extraídos) disminuyó con el aumento de la altitud. El análisis mostró que la mayoría de los grupos funcionales de PLFA estaban presentes en todas las cumbres y vertientes. En la cumbre inferior (ACU), se obtuvo una alta abundancia de bacterias *gram-negativas*, mientras que los biomarcadores anaerobios y eucariotas sólo se encontraron en la cumbre superior (OLA). Las bacterias *gram-negativas* y los grupos funcionales de actinobacterias dominaron la comunidad microbiana, con casi el 40% del total de PLFA.

En general, nuestros resultados demuestran un papel fundamental para el medio ambiente, principalmente la humedad, la temperatura y la materia orgánica en la explicación del patrón observado para los biomarcadores PLFA del suelo. Bajo un escenario de cambio global, necesitamos arrojar luz sobre las relaciones entre los grupos funcionales de microbios del suelo y las variables relacionadas con los nutrientes del suelo para identificar los patrones asociados de las tasas de descomposición y los procesos del suelo impulsados por las comunidades microbianas en las zonas montañosas. Por lo tanto, los resultados podrían utilizarse en modelos predictivos mundiales sobre el impacto del cambio climático en los ciclos C o N en estos entornos. Con este estudio hemos dado un primer paso que con objetivo de continuidad futura.

12.3. La importancia del pastoreo

El pastoreo de ovejas, cabras, vacas o caballos en las montañas aragonesas es secular y ha moldeado los ecosistemas de alta montaña, de hecho, recientemente se ha hallado en el Puerto Bajo de Góriz y en el barranco Pardina de Añisclo, en el parque Nacional de Ordesa Y Monte Perdido, restos de actividad humana asociada al pastoralismo datados en el Neolítico, hace unos 4500 años (Laborda & al., 2017; Montes, 2019). El abandono o el cambio de uso de muchos de los pastos es un factor más a tener en cuenta a la hora de valorar los efectos del calentamiento global en la flora de alta montaña, tal como dijimos en su momento (Villar & Benito, 2003b). En puertos de pasto como los de Góriz en Ordesa, se está viendo cómo está cambiando el manejo de los rebaños de ovejas y está disminuyendo su carga ganadera ovina, que ha pasado de las más de 30.000 cabezas a principios del s. XX (Revilla, 1987), a unas 5000 en la actualidad (Alados & al., 2017). Además, el manejo también tiene gran importancia, pues los rebaños que llevan pastor aprovechan los pastos de forma más homogénea, mientras que cuando va a su aire tienen querencia por ciertos lugares que pueden llegar a nitrificarse, como ya estamos viendo con las ovejas de Fanlo sin pastor en la cara sur de la Sierra Custodia, alcanzando la cima donde nitrifican el terreno, las cabras de Torla y Buesa en la cara sur del Punta Acuta o las vacas en el valle de Otal, en Bujaruelo (Benito, 2018: 381).

Un reciente estudio realizado en pastos de montañas de Noruega durante 10 años, a diferentes altitudes y presiones ganaderas (Speed & al., 2012, 2013), presenta evidencias de que el pastoreo de las ovejas disminuye o incluso frena el avance en altitud de la comunidad vegetal, y sugiere esta actividad puede limitar la ascensión de la vegetación.

Este trabajo (Speed & al., 2013) nos muestra que, cuando cesó el pastoreo, la riqueza de especies disminuyó en 3,7 especies a baja altitud y se incrementó en hasta 3,5 especies a alta altitud, mientras que en los lugares donde se mantuvo o aumentó el pastoreo, los cambios fueron menos extremos a lo largo del gradiente de elevación. La estabilidad temporal de las comunidades vegetales fue más alta en altitudes bajas y más baja en zonas altas donde el pastoreo se redujo. No hubo diferencias claras en la homogeneización espacial entre los tratamientos de pastoreo, aunque la rotación espacial de especies aumentó en los brezales donde disminuyó el pastoreo.

Esto implica que la gestión del pastoreo tiene el potencial de amortiguar los cambios climáticos en las comunidades vegetales. A la inversa, los recientes cambios generalizados en los usos de la tierra y del ganado, con reducciones en las grandes densidades de herbívoros en las zonas alpinas, podrían aumentar aún más la vulnerabilidad de las comunidades alpinas al calentamiento.

El valle de Ordesa es pastado todos los años por un rebaño de unas 40 vacas de Torla. Normalmente estas vacas primero suelen aprovechar la floración primaveral de la Pradera de Ordesa (1200-1300 m de altitud), entre mayo y junio, para luego pasar al fondo del valle (Soaso-Cola de Caballo, 1600-1750 m) en julio hasta septiembre u octubre. Sin embargo, el 30 de mayo de 2020 pudimos constatar que dicho rebaño ya estaba en el área de Soaso-Cola de Caballo, desaprovechado el pasto de la Pradera. Nos informa el APN que otros años ha habido incidentes con perros de turistas que han molestado a las vacas, lo que ha obligado al ganadero a cambiar de zona de pastos muy temprano. Este cambio de manejo puede tener consecuencias en la pradería de Ordesa, pues si no se pasta todos los años se acelerará el proceso de matorralización que estamos observando.

12.4. Microtopografía y microclimas en alta montaña

¿Por qué en las montañas del norte de Europa las especies frioleras no son desplazadas por las que ascienden desde parte bajas?

La alta montaña alpina suele ser un ambiente con poca cobertura vegetal, donde dominan la piedra y el suelo desnudo sobre la vegetación, por tanto, tiene muchos "huecos" potencialmente colonizables. Nosotros ya demostramos que, en una misma montaña, a la misma altitud, la exposición norte tiene un periodo vegetativo alrededor de un mes más corto que la sur (Benito, 2006). Recientes estudios más finos sobre microtopografía de alta montaña, usando termómetros de rayos infrarrojos (Scherrer & Körner, 2010, 2011), han demostrado que los contrastes térmicos a pequeña escala, de metros, superan significativamente las proyecciones de calentamiento del IPCC para los próximos 100 años. Dicho de otro modo, en alta montaña hay microhabitats generados por la microtopografía con grandes diferencias térmicas, en apenas pocos metros de distancia, mucho mayores que las de los escenarios de calentamiento del IPCC, cuyas características térmicas permitirían la supervivencia de especies frioleras por desplazamiento hacia estos nichos vacíos.

Eso supone que los modelos basados sólo en isotermia podrían sobreestimar las pérdidas de hábitat alpino. Por tanto, en teoría, muchas especies podrían encontrar hábitats de "escape" térmicamente adecuados en distancias cortas. No obstante, eso provocará una mayor competencia por los lugares más fríos de la ladera de la montaña. Por otra parte, hay un riesgo cierto de extinción o de rarefacción de algunas especies que ya en la actualidad dependen de los microhabitats más raros y más fríos y que cada vez se van a hacer más escasos.

Por otra parte, en un reciente estudio realizado en 11 cumbres de los Alpes suizos (Kulones & al., 2018), sobre el cambio en las ocurrencias de especies de flora alpina durante el siglo pasado, teniendo en cuenta el rango de altitudes en las cumbres, así como las características locales del microhabitat (temperatura, tipo de sustrato), han visto que, durante el siglo pasado, las especies con una frecuencia cada vez mayor eran más abundantes en los pedregales y las pendientes más cálidas. Las especies con tendencias de frecuencia negativas o estables eran más abundantes en el suelo orgánico y en las laderas más frías. Los microhabitats preferidos de estos últimos eran los más raros en general, disminuyeron con la altitud y tenían los vecinos más competitivos.

Por lo tanto, en un mundo cálido, es probable que los paisajes alpinos, debido a su variabilidad topográfica, sean lugares más seguros para la mayoría de las especies frioleras que los terrenos de tierras bajas, sin descartar algunas extinciones o rarefacciones.

12.5. El cierre de las masas boscosas

Por último, quisieramos reseñar un artículo de los efectos microclimáticos provocados por el cierre del dosel forestal (DeFrenne & al., 2013) en bosques templados europeos y norteamericanos. Aunque este ejemplo no sea de aplicación para las zonas piloto GLORIA del Pirineo, dado que se encuentran por encima del límite del bosque, puede ser de interés para la ZP del Moncayo, ya que allí se aprecia una matorralización de la cima más baja y una previsible colonización y avance en altitud de la masa arbórea.

En muchos de los bosques analizados en dicho estudio se ha encontrado una significativa termofilización de las comunidades vegetales de la capa de suelo. Estos cambios reflejan disminuciones concurrentes en especies adaptadas a condiciones más frescas y aumentos en especies adaptadas a condiciones más cálidas, en paralelo con lo que estamos viendo en la alta montaña.

Sin embargo, la termofilización, en particular el aumento de especies adaptadas al calor, se atenúa en los bosques cuyas copas se han vuelto más densas, lo que probablemente refleja temperaturas del suelo más frescas en la estación de crecimiento debido al aumento de la sombra. Es un hecho que en las últimas décadas está aumentando la masa arbórea en bosques templados, con una densificación, y los efectos microclimáticos locales pueden estar moderando los impactos del calentamiento macroclimático en los sotobosques. A la inversa, el aumento de

la extracción de biomasa leñosa -por ejemplo, para la bioenergía- puede abrir las cubiertas forestales y acelerar la termofilización de la biodiversidad forestal templada.

12.6. Temperatura mínima y duración del período vegetativo en el límite superior de los pastizales en las altas montañas europeas

En el equipo GLORIA estamos elaborando un artículo (en revisión) que investiga la temperatura media mínima del suelo y la duración del período vegetativo en el límite superior de distribución de los pastos alpinos.

La exploración de los umbrales fisiológicos para el crecimiento de las plantas ayuda a comprender su distribución y su cambio potencial bajo el cambio climático. La tolerancia al frío de la vegetación en las montañas es particularmente visible como límites relativamente marcados en el paisaje. Si bien el límite altitudinal que alcanzan los bosques y la línea de árboles han sido estudiados con frecuencia, las condiciones climáticas correspondientes al límite superior de los pastizales, la ecocline alpino-subnival, son todavía poco conocidas.

Para este artículo en preparación se ha usado los datos de 85 cumbres en montañas europeas inventariadas en el programa GLORIA, distribuidas en biomas boreal, templado y mediterráneo. La información analizada ha sido la cobertura de plantas vasculares estimada visualmente en 332 parcelas, distribuidas en cada orientación de las cumbres. Las temperaturas asociadas del suelo se midieron entre 2 y 7 años, a partir de los cuales se determinó la duración de la temporada de crecimiento y la temperatura media. La temperatura y la longitud correspondientes a una cobertura vegetal del 50% se mantuvieron como las condiciones mínimas para el desarrollo del césped.

Resultados. Los pastos alpinos estaban presentes en lugares con una temperatura media del suelo superior a 5,8°C o una duración mínima de la temporada de crecimiento de 84 días, con días de crecimiento $\geq 2^{\circ}\text{C}$ ($6,7^{\circ}\text{C}$ y 80 días con días de crecimiento $\geq 3,2^{\circ}\text{C}$). La temporada de crecimiento fue más larga en las zonas templadas que en las cumbres boreales.

Principales conclusiones. El límite superior de los pastizales alpinos se asoció con una temperatura media del suelo muy similar a la observada anteriormente en la línea de árboles. Se corresponde con el umbral fisiológico de crecimiento de las raíces ya observado para muchas especies, y corrobora una limitación bastante universal del crecimiento relacionado con la temperatura para las plantas vasculares. Por el contrario, en comparación con los árboles, los pastos alpinos aprovechan el suelo calentado por la radiación solar y, dado que las plantas no producen madera, pueden prosperar en lugares con una estación de crecimiento más corta y, en consecuencia, desarrollarse a mayor altitud.

13. Últimas publicaciones relacionadas con el proyecto GLORIA

- Benito Alonso, J.L. (2021). *El proyecto GLORIA en el Parque Nacional de Ordesa y Monte Perdido. Cómo afecta el calentamiento global a la flora de alta montaña.*** In: JOLUBE (Ed.) VI Jornada de Investigación, 2 de diciembre de 2020. Parque Nacional de Ordesa y Monte Perdido. Parque Nacional de Ordesa y Monte Perdido, Gobierno de Aragón, Jaca. <https://jolube.wordpress.com/2021/09/23/vi-jornada-de-investigacion-parque-nacional-de-ordesa-y-monte-perdido/>
- Bürli, S., Theurillat, JP., Winkler, M., [...], **J.L. Benito Alonso, L. Villar, [...] & al.** (2021) **A common soil temperature threshold for the upper limit of alpine grasslands in European mountains.** *Alp Botany* **131**, 41–52 (2021). <https://doi.org/10.1007/s00035-021-00250-1>.
- Biurrun, I., Pielech, R., Dembicz, I., Gillet, F., Kozub, Ł., Marcenò, C., [...], **J.L. Benito Alonso, L. Villar, [...] & al.** (2021) **Benchmarking plant diversity of Palaearctic grasslands and other open habitats.** *Journal of Vegetation Science* 32: e13050. <https://doi.org/10.1111/jvs.13050>.
- Chytrý, K., Helm, N., Hülber, K., Moser, D., Wessely, J., Hausharter, J., Kollert, A., Mayr, A., Rutzinger, M., Winkler, M., Pauli, H., Saccone, P., Paetzolt, M., Hietz, P. & Dullinger, S. (2023). **Limited impact of microtopography on alpine plant distribution.** *Ecography* e06744, 13 pp. <https://doi.org/10.1111/ecog.06744>.
- Ilona Knollová, M.C., Helge Bruelheide, Stefan Dullinger, Ute Jandt, Markus Bernhardt-Römermann, Idoia Biurrun, Francesco De Bello, Michael Glaser, Stephan Hennekens, Florian Jansen, Borja Jiménez-Alfaro, Daniel Kadaš, Ekin Kaplan, Klára Klinkovská, Bernd Lenzner, Harald Pauli, Marta Gaia Sperandii, Kris Verheyen, Manuela Winkler, Otar Abdaladze, Svetlana Aćić, Alicia T. R. Acosta, Audrey Alignier, Christopher Andrews, Raphaël Arlettaz, Fabio Attorre, Irena Axmanová, Manuel Babbi, Lander Baeten, Jakub Baran, Elena Barni, **José-Luis Benito-Alonso & al.** (2024). **ReSurveyEurope: A database of resurveyed vegetation plots in Europe.** *Journal of Vegetation Science* **35**(2)(e13235). <https://doi.org/10.1111/jvs.13235>.
- Kwon, T., H. Shibata, S. Kepfer-Rojas, I.K. Schmidt, K.S. Larsen, C. Beier, B. Berg, K. Verheyen, J.-F. Lamarque, F. Hagedorn, [...], **J.L. Benito Alonso, L. Villar, [...] & al.** (2021). **Effects of climate and atmospheric nitrogen deposition on early to mid-term stage litter decomposition across biomes.** *Frontiers in Forests and Global Change* 4: 18. <https://doi.org/10.3389/ffgc.2021.678480>.
- Lembrechts, J., van den Hoogen, J., Aalto, J., Ashcroft, M., De Frenne, P., Kemppinen, J. [...], **J.L. Benito Alonso, L. Villar, [...] & al.** (2022). **Global maps of soil temperature.** *Global Change Biology* 28(9): 3110-3144. <https://doi.org/10.1111/gcb.16060>.
- Lodetti, S., Orsenigo, S., Erschbamer, B., Stanisci, A., Tomaselli, M., Petraglia, A., Carbognani, M. & di Cecco, V. (2024). **A new approach for assessing winning and losing plant species facing climate change on the GLORIA alpine summits.** *Flora* 310: 152441 (12 pp). <https://doi.org/10.1016/j.flora.2023.152441>.
- Malanson, G.P., Dullinger, S., Pauli, H., Winkler, M., Saccone, P. & Jiménez-Alfaro, B. (2024). **Species richness responds to buffer effectiveness and competitive priorities in simulations of alpine microrefugia.** *Journal of Biogeography*: 51(10): 1910–1920. <https://doi.org/10.1111/jbi.14858>.
- Staudé, I.R., H.M. Pereira, G.N. Daskalova, M. Bernhardt-Römermann, M. Diekmann, H. Pauli, H. Van Calster, M. Vellend, A.D. Bjorkman, J. Brunet [...], **J.L. Benito Alonso, L. Villar, [...] & al.** (2021). **Directional turnover towards larger-ranged plants over time and across habitats.** *Ecology Letters* 25(2): 466-482. <https://doi.org/10.1111/ele.13937>.

14. Bibliografía

- Alados, A., M. Gartzia, M. Castillo & Y. Pueyo (2017). Estudio para la conservación de los pastos en el Parque Nacional de Ordesa y Monte Perdido. In *III Jornada de Investigación del Parque Nacional de Ordesa y Monte Perdido*. Pp. 51-59. Torla. [En <https://goo.gl/rAXnWK>].
- Ammann, B. (1995). *Paleorecords of plant biodiversity in the Alps*. In: Chapin III, F.S. & Körner, C. (eds.). Arctic y Alpine Biodiversity: Patterns, Causes y Ecosystem Consequences. Ecological Studies. Springer, Berlín 113: 137-149.
- Benito Alonso, J.L.** (2006). *Catálogo florístico del Parque Nacional de Ordesa y Monte Perdido (Sobrarbe, Pirineo central aragonés)*. 383 pp. Colección Pius Font i Quer, n.º 4. Institut d'Estudis Illerdencs. Diputación de Lérida. Disponible en www.jolube.es.
- Benito Alonso, J.L.** Coord. (2005-2010). *Cartografía de los hábitats CORINE de Aragón a escala 1: 25.000. II. Lista de hábitats de Aragón (versión 4.08)*. 90 pp. Jolube Consultor Botánico y Editor y Departamento de Medio Ambiente del Gobierno de Aragón. Disponible en www.jolube.es.
- Benito Alonso, J.L.** (2018). *Mapa de vegetación actual, a escala 1: 10.000, del Parque Nacional de Ordesa y Monte Perdido y su zona periférica de protección. Manual de interpretación de los hábitats Corine-Mapa de Hábitats de Aragón y de Importancia Comunitaria*. Mapa sintético a escala 1: 50.000. 450 pp. Serie técnica. Organismo Autónomo Parque Nacionales, Madrid. Disponible en www.jolube.es.
- Benito Alonso, J.L.** (2021). *El proyecto GLORIA en el Parque Nacional de Ordesa y Monte Perdido. Cómo afecta el calentamiento global a la flora de alta montaña*. In: JOLUBE (Ed.) VI Jornada de Investigación, 2 de diciembre de 2020. Parque Nacional de Ordesa y Monte Perdido. Parque Nacional de Ordesa y Monte Perdido, Gobierno de Aragón, Jaca. <https://jolube.wordpress.com/2021/09/23/vi-jornada-de-investigacion-parque-nacional-de-ordesa-y-monte-perdido/>
- Bürli, S., Theurillat, JP., Winkler, M., [...], **J.L. Benito Alonso, L. Villar**, [...] & al. (2021) **A common soil temperature threshold for the upper limit of alpine grasslands in European mountains**. *Alp Botany* **131**, 41–52 (2021). <https://doi.org/10.1007/s00035-021-00250-1>.
- Biurrun, I., Pielech, R., Dembicz, I., Gillet, F., Kozub, Ł., Marcenò, C., [...], **J.L. Benito Alonso, L. Villar**, [...] & al. (2021) **Benchmarking plant diversity of Palaearctic grasslands and other open habitats**. *Journal of Vegetation Science* **32**: e13050. <https://doi.org/10.1111/jvs.13050>.
- Breiner, F., G.-R. Walther & M. Camenisch (2011). Neue Gipfelstürmer unter den Pflanzen. *Cratschla Informationen aus dem Schweizerischen Nationalpark* **2/2011**: 4-5.
- Cuesta, F., P. Muriel, S. Beck, R.I. Meneses, S. Halloy, S. Salgado, E. Ortiz & M.T. Becerra, Eds. (2012). *Biodiversidad y Cambio Climático en los Andes Tropicales - Conformación de una red de investigación para monitorear sus impactos y delinear acciones de adaptación*. 180 pp. Red Gloria-Andes. Consorcio para el Desarrollo Sostenible de la Ecorregión Andina Lima-Quito.
- De Frenne, P., F. Rodríguez-Sánchez, D.A. Coomes, L. Baeten, G. Verstraeten, M. Vellend, M. Bernhardt-Römermann & al. (2013). Microclimate moderates plant responses to macroclimate warming. *Proceedings of the National Academy of Sciences* **110**: 18561–18565.
- Dengler, J., V. Wagner, I. Dembicz, I. García-Mijangos, A. Naqinezhad, S. Boch, A. Chiarucci, T. Conradi, G. Filibeck, R. Guarino, **J.L. Benito Alonso** & al. (2018). **GrassPlot - a database of multi-scale plant diversity in Palaearctic grasslands**. *Phytocoenologia* **48** (3): 331-347. [DOI:10.1127/phyto/2018/0267].
- Djukic, I., S. Kepfer-Rojas, I. Kappelschmidt, K. Steenberg Larsen, C. Beier, B. Berg, K. Verheyend [...], **J.L. Benito Alonso, J.J. Jiménez, L. Villar** & al. (2018). **Early stage litter decomposition across biomes**. *Science of the Total Environment* **628-629**: 1369–1394. [<https://doi.org/10.1016/j.scitotenv.2018.01.012>].
- Erschbamer, B., M. Mallaun, P. Unterluggauer, O. Abdaladze, M. Akhalkatsi & G. Nakutsrishvili (2010). Plant diversity along altitudinal gradients in the Central Alps (South Tyrol, Italy) and in the Central Greater Caucasus (Kazbegi region, Georgia). *Tuxenia* **30**: 11-29.
- Erschbamer, B., P. Unterluggauer, E. Winkler & M. Mallaun (2011). Changes in plant species diversity revealed by long-term monitoring on mountain summits in the Dolomites (northern Italy). *Preslia* **83**: 387-401.
- Fernández Calzado, M.R. & J. Molero Mesa (2011). The cartography of vegetation in the cryromediterranean belt of Sierra Nevada: a tool for biodiversity conservation. *Lazaroa* **30**: 101-115.

- Friedmann, B., H. Pauli, M. Gottfried & G. Grabherr (2011). Suitability of methods for recording species numbers and cover in alpine long-term vegetation monitoring. *Phytocoenologia* 41 (2): 143–149.
- García, M.B., C.L. Alados, R. Antor, **J.L. Benito Alonso**, J.J. Camarero, F. Carmena, P. Errea, F. Fillat, R. García-González, J.M. García-Ruiz, **L. Villar** & al. (2016). **Integrando escalas y métodos LTER para comprender la dinámica global de un espacio protegido de montaña: el Parque Nacional de Ordesa y Monte Perdido.** *Ecosistemas* 25(1): 19-30.
- Gobierno de Aragón (2009). *Estrategia Aragonesa de Cambio Climático y Energías Limpias.* 190 pp. Departamento de Medio Ambiente. Zaragoza.
- Gottfried, M., H. Pauli, A. Futschik, M. Akhalkatsi, P. Barančok, **J.L. Benito Alonso**, **L. Villar** & al. (2012). **Continent-wide response of mountain vegetation to climate change.** *Nature Climate Change* 2: 111-115 (10 de enero de 2012) doi:[10.1038/nclimate1329](https://doi.org/10.1038/nclimate1329). Disponible en www.jolube.es.
- Gottfried, M., M. Hantel, C. Maurer, R. Toechterle, H. Pauli & G. Grabherr (2011). Coincidence of the alpine-nival ecotone with the summer snowline. *Environmental Research Letters* 6.
- Grabherr, G., Gottfried M. & Pauli, H. (2001). Long-term monitoring of mountain peaks in the Alps. In: C. A. Burga & A. Kratochwil (eds.). Biomonitoring: General y applied aspects on regional y global scales. *Tasks for Vegetation Science* 35, Kluwer, pp. 153-177.
- Grabherr, G., Gottfried, M. & Pauli, H. (1994). Climate effects on mountain plants. *Nature* 369: 448.
- Grabherr, G., Gottfried, M. & Pauli, H. (2000a). GLORIA: A Global Observation Research Initiative in Alpine Environments. *Mountain Research & Development* 20(2): 190-191.
- Grabherr, G., Gottfried, M. & Pauli, H. (2000b). Hochgebirge als "hot spots" der Biodiversität – dargestellt am Beispiel der Phytodiversität. *Ber. d. Reinh.-Tüxen-Ges.* 12: 101-112.
- Grabherr, G., Gottfried, M., Gruber, A. & Pauli, H. (1995). Patterns y Current Changes in Alpine Plant Diversity. In: Chapin III, F. S. y Körner, C. (eds.). *Arctic y Alpine Biodiversity: Patterns, Causes y Ecosystem Consequences.* Ecological Studies 113: 167-181. Springer, Berlin.
- Grabherr, G., M. Gottfried & H. Pauli (2010). Climate Change Impacts in Alpine Environments. *Geography Compass* 4/8: 1133–1153.
- Gutiérrez-Girón, A. & R.-G. Gavilán (2010). Spatial patterns and interspecific relations analysis help to better understand species distribution patterns in a Mediterranean high mountain grassland. *Plant Ecol* 210: 137-151.
- Haeberli, W., Hoelzle, M. & Suter, S. (1996). *Glacier Mass Balance Bulletin. A contribution to the Global Environment Monitoring System (GEMS) y the International Hydrological Programme.* Compiled by the World Glacier Monitoring Service, IAHS (ICSI), UNEP, UNESCO 4 (1994-1995): 88 pp.
- Halloy, S., K. Yager, C. García, S. Beck, J. Carilla, A. Tupayachi, J. Jácome, R.I. Meneses, J. Farfán, A. Seimon & al. (2010). South America: Climate Monitoring and Adaptation Integrated across Regions and Disciplines. In: Al., S.E. (Ed.) *Atlas of Biodiversity Risk.* Pensoft Publishers, Sofía (EU FP-6 Integrated Project ALARM).
- Holzinger, B., K. Hülber, M. Camenisch & G. Grabherr (2008). Changes in plant species richness over the last century in the eastern Swiss Alps: elevational gradient, bedrock effects and migration rates. *Plant Ecology* 195: 179–196.
- Houghton, J.T., Ding, Y., Griggs, D.J., Nouger, M., van der Linden, P.J., Dai, X., Maskell, K. & Johnson, C.A., eds. (2001). *Climate change 2001: the scientific basis.* Intergovernmental Panel on Climate Change, Working group I. Cambridge University Press, Cambridge.
- Jiménez, J. J., J. M. Igual, L. Villar & J.L. Benito-Alonso** & J. Abadías-Ullod (2019). **Hierarchical drivers of soil microbial community structure variability in “Monte Perdido” Massif (Central Pyrenees).** *Scientific Reports* 9(8768): 1-17.
- Kohler, T., Wehrli, A. & Jurek, M., eds. (2014). *Mountains and Climate Change. A Global Concern.* Centre for Development and Environment (CDE), Swiss Agency for Development and Cooperation (SDC) and Geographica Bernensia. 136 pp.
- Körner, C. (2002). *Mountain biodiversity, its causes y function: an overview.* In. Körner, C. & Spehn, E.M. (eds.) *Mountain Biodiversity – A Global Assessment,* pp. 3-20. Parthenon, Londres y Nueva York.
- Kwon, T., H. Shibata, S. Kepfer-Rojas, I.K. Schmidt, K.S. Larsen, C. Beier, B. Berg, K. Verheyen, J.-F. Lamarque, F. Hagedorn, [...], **J.L. Benito Alonso**, **L. Villar**, [...] & al. (2021). **Effects of climate and**

- atmospheric nitrogen deposition on early to mid-term stage litter decomposition across biomes.** *Frontiers in Forests and Global Change* 4: 18.
- Kulonen, A., R.A. Imboden, C. Rixen, S.B. Maier & S. Wipf (2018). Enough space in a warmer world? Microhabitat diversity and small-scale distribution of alpine plants on mountain summits. *Diversity and Distributions* 24(2): 252-261. [doi: 10.1111/ddi.12673].
- Laborda Lorente, R., V. Villalba-Mouco, P. Lanau, M. Gisbert, M. Sebastián, R. Domingo & L. Montes (2017). El Puerto Bajo de Góriz (Parque Nacional de Ordesa y Monte Perdido). Ocupación y explotación de un paisaje de alta montaña desde la prehistoria hasta el siglo XX. *Bolskan* 26: 9-30.
- Lembrechts J.J., [...], **J.L. Benito Alonso, L. Villar**, [...] & al. (2020). [SoilTemp: a global database of near-surface temperatures](#). *Global Change Biology* 26(11): 6616-6629. [doi.org/10.1111/gcb.15123].
- Lembrechts, J., van den Hoogen, J., Aalto, J., Ashcroft, M., De Frenne, P., Kemppinen, J. [...], **J.L. Benito Alonso, L. Villar**, [...] & al. (2021) **Global maps of soil temperature**. *EcoEvoRxiv*, 21 Mar. 2021. <https://doi.org/10.32942/osf.io/pksqw>.
- Loureiro, J., M. Castro, J.C.D. Oliveira, L. Mota & R. Torices (2013). Genome size variation and polyploidy incidence in the alpine flora from Spain. *Anales del Jardín Botánico de Madrid* 70(1): 39-47.
- McCarthy, J.J., Canziani, O.F., Leary, N.A., Dokken, D.J. & White, K.S., eds. (2001). *Climate change 2001: impacts, adaptation, and vulnerability*. Intergovernmental Panel on Climate Change, Working group II. Cambridge University Press, Cambridge.
- Michelsen, O., A.O. Syverhuset, B. Pedersen & J.I. Holten (2011). The Impact of Climate Change on Recent Vegetation Changes on Dovrefjell, Norway. *Diversity* 3: 91-111.
- Montes, L., R. Domingo Martínez, R. Laborda Lorente, P. Lanau, V. Villalba-Mouco, M. Gisbert & M. Sebastián (2019). Le canyon de la Pardina et ses estives : approche archéologique d'un territoire de haute montagne dans le parc national d'Ordesa et du mont Perdu (Fanlo, Huesca, Espagne). *La conquête de la montagne : des premières occupations humaines à l'anthropisation du milieu*. Pp. 1-25. Éditions du Comité des travaux historiques et scientifiques, París. [<http://books.openedition.org/cths/6937>].
- Nagy, L., F.-W. Badeck, S. Pompe, M. Gottfried, H. Pauli & G. Grabherr (2010). Is Atmospheric Nitrogen Deposition a Cause for Concern in Alpine Ecosystems? In: Al., S.E. (Ed.) *Atlas of Biodiversity Risk*. Pensoft Publishers, Sofia (EU FP-6 Integrated Project ALARM).
- Nagy, L., H. Pauli, M. Gottfried & G. Grabherr (2010). Climate Change Impacts on the Future Extent of the Alpine Climate Zone. In: Al., S.E. (Ed.) *Atlas of Biodiversity Risk*. Pensoft Publishers, Sofia (EU FP-6 Integrated Project ALARM).
- Nagy, L., N. Dendoncker, A. Butler, I. Reginster, M. Rounsevell, G. Grabherr, M. Gottfried & H. Pauli (2010). Where Have All the Flowers Gone? From Natural Vegetation to Land Use - Land Cover Types: Past Changes and Future Forecasts. In: Al., S.E. (Ed.) *Atlas of Biodiversity Risk*. Pensoft Publishers, Sofia (EU FP-6 Integrated Project ALARM).
- Norooz, J., H. Pauli, G. Grabherr & S.-W. Breckle (2011). The subnival-nival vascular plant species of Iran: a unique high-mountain flora and its threat from climate warming. *Biodiv. and Cons.* 20: 1319-1338.
- Parmesan, C. & Yohe, G. (2003). A globally coherent fingerprint of climate change impacts across natural systems. *Nature* 421: 37-42.
- Pauli, H., Gottfried, M., Dirnböck, T., Dullinger, S. & Grabherr, G. (2003). Assessing the long-term dynamics of endemic plants at summit habitats. In: Nagy, L., Grabherr, G., Körner, C. & Thompson, D.B.A. (eds.). *Alpine Biodiversity in Europe - A Europe-wide Assessment of Biological Richness y Change*. *Ecological Studies* 167: 195-207, Springer.
- Pauli, H., M. Gottfried & G. Grabherr (2011). Nemorale und mediterrane Hochgebirge: Klima, Vegetationsstufen, Artenvielfalt und Klimawandel am Beispiel der Alpen und der spanischen Sierra Nevada. In: *Ökozonen im Wandel, Passauer Kontaktstudium Geographie*. Pp. 145-158.
- Pauli, H., M. Gottfried, C. Klettner & G. Grabherr (2010). Mount Schrankogel (3497 m, Stubai Alps, Tyrol) - the GLORIA pioneer master site. In: Borsdorf, A., G. Grabherr, K. Heinrich, B. Scott & J. Stötter (Ed.) *Challenges for Mountain Regions - Tackling Complexity*. Böhlau Verlag, Viena.
- Pauli, H., M. Gottfried, Hohenwallner, K. Reiter, G. Grabherr & L. Villar, Eds. (2003). *Manual para el trabajo de campo del Proyecto GLORIA. Iniciativa para la investigación y el seguimiento global de los ambientes*

- alpinos, como contribución al sistema terrestre de observación global (GTOS).* 70 pp. Universidad de Viena e Instituto Pirenaico de Ecología, CSIC, Jaca (Huesca).
- Pauli, H., M. Gottfried, S. Dullinger, O. Abdaladze, M. Akhalkatsi, **J.L. Benito Alonso, L. Villar & al.** (2012). **Recent Plant Diversity Changes on Europe's Mountain Summits.** *Science* 336(6079): 353-355 (20 de Abril de 2012). DOI: 10.1126/science.1219033. Disponible en www.jolube.es.
- Pauli, H.; Gottfried, M.; Lamprecht, A.; Niessner, S.; Rumpf, S.; Winkler, M.; Steinbauer, K. & Grabherr, G., coords. & eds. (2015). **Manual para el trabajo de campo del proyecto GLORIA. Aproximación al estudio de las cimas. Métodos básico, complementarios y adicionales. 5ª edición.** 150 pp. Global Observation Research Initiative in Alpine Environments (GLORIA). Editor: GLORIA-Coordinación, Academia Austriaca de Ciencias y Universidad de Recursos Naturales y Ciencias de la Vida, Viena, Austria. Edición en español a cargo de **Benito, J.L. & Villar, L.**, Jaca, España. ISBN: 978-92-79-47948-9. DOI: 10.2777/37575.
- Pauli, H.; Gottfried, M.; Lamprecht, A.; Niessner, S.; Rumpf, S.; Winkler, M.; Steinbauer, K. & Grabherr, G., coords. & eds. (2015). **The GLORIA Field Manual Standard Multi-Summit Approach, supplementary methods and extra approaches. 5th edition.** 150 pp. Global Observation Research Initiative in Alpine Environments (GLORIA), Editor: GLORIA-Coordination, Austrian Academy of Sciences & University of Natural Resources and Life Sciences, Viena, Austria. ISBN: 978-92-79-45694-7. DOI: 10.2777/095439.
- Price, M. F. & Barry, R. G. (1997). *Climate change. Mountains of the World.* In: Messerli, B. y Ives, J. D. (eds.). The Parthenon Publishing Group, Nueva York, pp. 409-445.
- Revilla, E. (1987). *Las zonas de montaña y su entorno económico. Análisis estructural y bases técnicas para la planificación de la ganadería en los Altos Valles del Sobrarbe.* Tesis doctoral. Facultad de Veterinaria. Universidad de Zaragoza. Zaragoza.
- Rogora, M. & al. (2018) Assessment of climate change effects on mountain ecosystems through a cross-site analysis in the Alps and Apennines. *Science of The Total Environment* 624: 1429-1442. [DOI10.1016/j.scitotenv.2017.12.155].
- Root, T.L., Price, J.T., Hall, K.R., Schneider, S.H., Rosenzweig, C. & Pounds, J.A. (2003). Fingerprints of global warming on wild animals and plants. *Nature* 421: 57-60.
- Scherrer, D. & C. Körner (2010). Infra-red thermometry of alpine landscapes challenges climatic warming projections. *Global Change Biology* 16: 2602–2613.
- Scherrer, D. & C. Körner (2011). Topographically controlled thermal-habitat differentiation buffers alpine plant diversity against climate warming. *Journal of Biogeography* 38: 406-416.
- Serrano-Notivoli, R., S.T. Buisán Sanz, L.M. Abad Pérez, E. Sierra Álvarez, C. Rodríguez Ballesteros, J.I. López Moreno & J.M. Cuadrat (2018). Tendencias recientes en precipitación, temperatura y nieve de alta montaña en los Pirineos (refugio de Góriz, Huesca). In: *Climatología*, A.E.D. (Ed.) *El clima: aire, agua, tierra y fuego (Actas del XI Congreso Internacional AEC)*. Pp. 267-280. Asociación Española de Climatología. [<http://hdl.handle.net/20.500.11765/9907>].
- Speed, J.D.M., G. Austrheim & A. Mysterud (2013). The response of plant diversity to grazing varies along an elevational gradient. *Journal of Ecology* 101: 1225–1236.
- Speed, J.D.M., G. Austrheim, A.J. Hester & A. Mysterud (2012). Elevational advance of alpine plant communities is buffered by herbivory. *Journal of Vegetation Science* 23: 617–625.
- Staudte., I.R., Pereira, H.M., Daskalova, G., Bernhardt-Römermann, M., Diekmann, M., Pauli, H., Van Calster, H., Vellend, M., Bjorkman, A.D., Brunet, J., De Frenne, P., Hédl, R., Jandt, U., Lenoir, J., Myers-Smith, I.H., Verheyen, K., Wipf, S., Wulf, M., Andrews, C., Barančok, P., Barni, E., **Benito-Alonso, J.-L.**, Bennie, J., Berki, I., Blüml, V., Chudomelová, M., Decocq, G., Dick, J., Dirnböck, T., Durak, T., Eriksson, O., Erschbamer, B., Graae, B.J., Heinken, T., Høistad Schei, F., Jaroszewicz, B., Kopecký, M., Kudernatsch, T., Macek, M., Malicki, M., Máliš, F., Michelsen, O., Naaf, T., Nagel, T.A., Newton, A.C., Nicklas, L., Oddi, L., Ortmann-Ajkai, A., Palaj, A., Petraglia, A., Petřík, P., Pielech, R., Porro, F., Puçsaş, M., Kamila Reczyńska, Rixen, C., Schmidt, W., Standovár, T., Steinbauer, K., Świerkosz, K., Teleki, B., Theurillat, J.-P., Turtoreanu, P.D., Ursu, T.-M., Vanneste, T., Vergeer, P., Vild, O., **Villar, L.**, Vittoz, P., Winkler, M. & Baeten, L. (2022). Directional turnover towards larger-ranged plants over time and across habitats. *Ecology Letters* 25 466-482.
- Sundstol, S.A. & A. Odland (2017). Responses of alpine vascular plants and lichens to soil temperatures. *Ann. Bot. Fennici* 54: 17-28.

- Venn, S., C. Pickering & K. Green (2012). Short-term variation in species richness across an altitudinal gradient of alpine summits. *Biodiversity and Conservation*: 3157-3186.
- Villar, L. & J.L. Benito Alonso** (2003a). **La flora alpina y el cambio climático: el caso del Pirineo central (Proyecto GLORIA-Europe)**. In: Aeet (Ed.) *España ante los compromisos del Protocolo de Kyoto: Sistemas Naturales y Cambio Climático*. Pp. 92-105. VII Congreso Nacional de la Asociación Española de Ecología Terrestre, Barcelona. 84-688-2620-0.
- Villar, L. & J.L. Benito Alonso** (2003b). *Pastoreo y excrementos en el piso alpino del Parque Nacional de Ordesa y Monte Perdido (Proyecto GLORIA-Europe)*. In: ROBLES, A.B., M.E. RAMOS, M.C. MORALES, E. SIMÓN, J.L. GONZÁLEZ REBOLLAR & J. BOZA (Ed.). **Pastos, desarrollo y conservación**. Pp. 507-511. Sociedad Española para el Estudio de Pastos y Consejería de Agricultura y Pesca (Junta de Andalucía). Granada. ISBN: 84-8474-100-1.
- Vittoz, P., M. Camenisch, R. Mayor, L. Miserere, M. Vust & J.-P. Theurillat (2012). Subalpine-nival gradient of species richness for vascular plants, bryophytes and lichens in the Swiss Inner Alps. *Botanica Helvetica* 120(2): 139-149. [<http://link.springer.com/article/10.1007%2Fs00035-010-0079-8>].
- Walther, G.-R., L. Nagy, R.K. Heikkinen, J. Peñuelas, J. Ott, H. Pauli, J. Pöyry, S. Berger & T. Hickler (2010). Observed Climate-Biodiversity Relationships In: Al., S.E. (Ed.) *Atlas of Biodiversity Risk*. Pensoft Publishers, Sofia (EU FP-6 Integrated Project ALARM).
- Walther, G.-R., Post, E., Convey, P., Menzel, A., Parmesan, C., Beebee, T.J.C., Fromentin, J.-M., Hoegh-Guldberg, O. & Bairlein, F. (2002). Ecological responses to recent climate change. *Nature* **416**: 389-395.
- Winkler, M., A. Lamprecht, K. Steinbauer, K. Hülber, J.-P. Theurillat, F. Breiner, P. Choler, S. Ertl, A. Gutiérrez-Girón, G. Rossi, **J.L. Benito Alonso, L. Villar & al.** (2016). **The rich sides of mountain summits – a pan-European view on aspect preferences of alpine plants**. *J. Biogeogr.* **43**: 2261–2273.
- Wipf, S., V. Stöckli, K. Herz & C. Rixen (2013). The oldest monitoring site of the Alps revisited: accelerated increase in plant species richness on Piz Linard summit since 1835. *Plant Ecology & Diversity* DOI:10.1080/17550874.2013.764943.